

**ANWENDUNG DER
NEUEN EUROP. REGELWERKE
AUF RAHMEN TRAGWERKE AUS STAHL**

Diplomarbeit

von
Johann Franz Ferdinand PLATZER

eingereicht am
Institut für Stahlbau, Holzbau und Flächentragwerke
der
Technischen Universität Graz

Vorstand
o. Univ.-Prof. Dipl.-Ing. Dr. techn. Richard Greiner

Graz, im März 1991



INHALTSVERZEICHNIS

Seite

Einleitung	1
1. ZIELSETZUNG	2
2. VORAUSSETZUNGEN	3
2.1 Allgemeine Voraussetzungen	3
2.2 Spezielle Voraussetzungen	8
3. DURCHFÜHRUNG DER BERECHNUNG	11
3.1 Allgemeines	11
3.2 Elastizitäts- und Fließgelenktheorie I. und II. Ordnung unter Zugrundelegung der Deformationsmethode	13
3.3 Schematischer Ablauf der Berechnung - ideal starre Knoten	30
3.4 Theorie der nachgiebigen Knoten	33
3.5 Schematischer Ablauf der Berechnung - nachgiebige Knoten	47
3.6 Nachweise	49
4. SCHLUSSFOLGERUNGEN	51
4.1 Allgemeines	51
4.2 Ideal starre Knoten	51
4.2.1 Bemessungs- und Gebrauchslasten Beispiel 1	55
4.2.2 Bemessungs- und Gebrauchslasten Beispiel 2	56
4.2.3 Bemessungs- und Gebrauchslasten Beispiel 3	57
4.2.4 Bemessungs- und Gebrauchslasten Beispiel 4	58
4.2.5 Belastungs-Verformungs - Diagramme Beispiel 1 und 2	59
4.2.6 Belastungs-Verformungs - Diagramme Beispiel 3 und 4	60
4.3 Nachgiebige Knoten	61
4.3.1 Bemessungs- und Gebrauchslasten Beispiel 5	64
4.3.2 Belastungs-Verformungs - Diagramme Beispiel 5	65
4.4 Zusammenfassung	66
LITERATURVERZEICHNIS	67
ANHANG	68
A 1. Beispiel 1	70
A 2. Beispiel 2	103
A 3. Beispiel 3	124
A 4. Beispiel 4	144
A 5. Beispiel 5	166

EINLEITUNG

Ausgehend von der Zielformulierung, den allgemeinen und spezifischen Voraussetzungen dieser Arbeit, folgen im Kapitel "Durchführung" die Zusammenstellung der theoretischen Grundlagen und der schematische Ablauf der Berechnungen. Die anschließenden Schlußfolgerungen werden durch die Zusammenfassung der Rechenergebnisse in Tabellenform und durch Diagramme untermauert. Literaturhinweise werden, sofern sie im Text angeführt sind, durch [] dargestellt und befinden sich vor dem Anhang. Die Berechnung selbst ist in vollständiger Form im Anhang wiedergegeben.

An dieser Stelle möchte ich meinem Betreuer, Herrn o. Univ.-Prof. Dipl.-Ing. Dr. techn. Richard Greiner, danken, vorallem auch dafür, daß ich meine Diplomarbeit an seinem Institut abfassen durfte.

Graz, im März 1991

1. ZIELSETZUNG

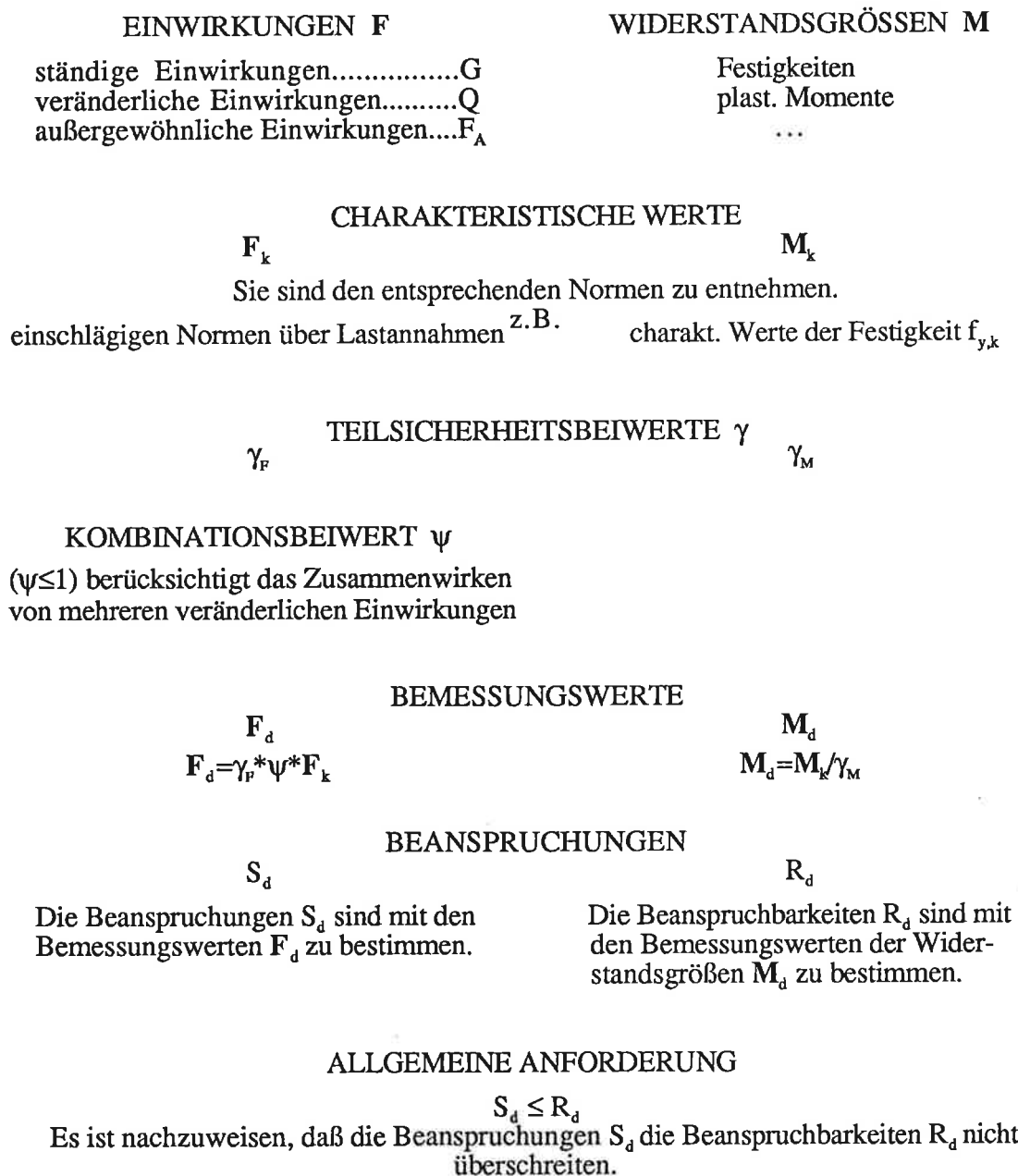
Das Ziel dieser Arbeit ist es, die Berechnungsmöglichkeiten von Tragwerken nach den europäischen Regelwerken aufzuzeigen, wobei die Berechnung in der leicht nachvollziehbaren Form einer Handrechnung an einem repräsentativen Beispiel erfolgt. Im besonderen wird dabei versucht, die plastische Schnittkraftermittlung von Tragwerken - nach der Fließgelenktheorie - in anschaulicher Form und mit baustatisch üblichen Methoden darzustellen und anzuwenden. Ebenso soll das Erfassen von Fließgelenken im Feldbereich von Stäben, das Wandern von Fließgelenken, dargelegt werden.

Ein weiterer Aspekt ist die Berücksichtigung der Knotennachgiebigkeit.

2. VORAUSSETZUNGEN

2.1 Allgemeine Voraussetzungen

Konzept der Teilsicherheitsbeiwerte



Grenzzustände für den Nachweis der Tragsicherheit

Beginn des Fließens
 Durchplastizieren eines Querschnittes
 Ausbilden einer Fließgelenkkette
 Bruch

Erforderliche Nachweise

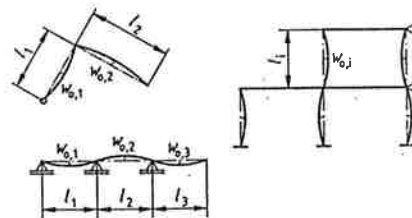
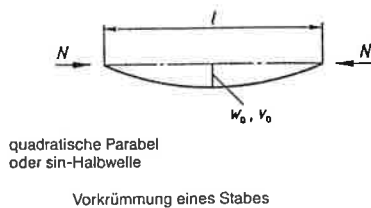
- Nachweis der Tragsicherheit
- Nachweis der Lagesicherheit
- Nachweis der Gebrauchstauglichkeit

Nachweisverfahren

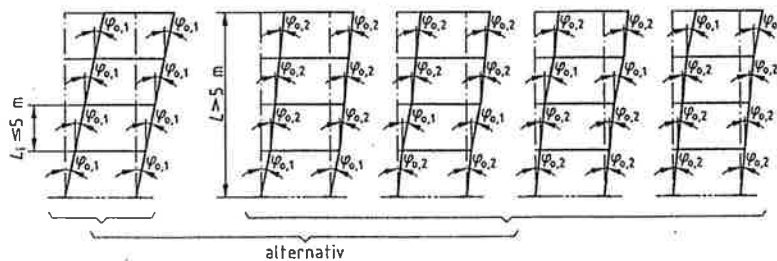
- Elastisch-Elastisch (EE): Die Beanspruchungen S_d und die Beanspruchbarkeiten R_d werden nach der Elastizitätstheorie ermittelt.
- Elastisch-Plastisch (EP): Die Beanspruchungen S_d werden nach der Elastizitätstheorie und die Beanspruchbarkeiten R_d nach der Plastizitätstheorie ermittelt.
- Plastisch-Plastisch (PP): Die Beanspruchbarkeiten S_d und die Beanspruchbarkeiten R_d werden nach der Plastizitätstheorie ermittelt.

Grundsätzlich zu berücksichtigende Einflüsse

- Tragwerksverformungen: Diese sind zu berücksichtigen, wenn sie zu Vergrößerungen der Beanspruchungen führen (Theorie II. Ordnung).
- Imperfektionen von Tragwerken: Der Einfluß von geometrischen und strukturellen Imperfektionen wird in der Form von Vorverdrehungen der Stabachsen und Vorkrümmungen berücksichtigt.

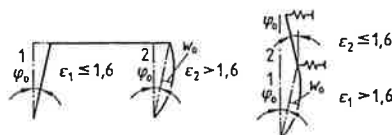


Beispiele für den Ansatz von Vorkrümmungen



$$\varphi_{0,1} = r_2 \frac{1}{200} \quad \varphi_{0,2} = r_2 \frac{1}{200} r_1 \quad n = 2$$

Beispiele für Vorverdrehungen in Stabwerken und Rahmen



Beispiele für die gleichzeitige Berücksichtigung von Vorkrümmung und Vorverdrehung

Größe der Imperfektionen: Je nachdem welche Globalanalyse (Theorie I. Ordnung oder Theorie II. Ordnung) der Berechnung zugrunde gelegt wird, dürfen bzw. müssen unterschiedliche Größenwerte der Imperfektionen angesetzt werden.

Theorie II. Ordnung:

Vorkrümmung: Für Einzelstäbe, für Stäbe von Stabwerken mit unverschieblichen Knotenpunkten und für Stäbe mit $\epsilon > 1,6$.

Tabelle 3. Stich der Vorkrümmung

	Stabart	Stich w_0, v_0 der Vorkrümmung
	Einteilige Stäbe mit Querschnitten, denen nach Tabelle 5 folgende Knickspannungslinie zugeordnet ist.	
1	a	$l/300$
2	b	$l/250$
3	c	$l/200$
4	d	$l/150$
5	Mehrtellige Stäbe, wenn der Nachweis nach Abschnitt 4.3 erfolgt	$l/500$

Vorverdrehung:

für einteilige Stäbe:

$$\varphi_0 = \frac{1}{200} r_1 \cdot r_2$$

Es bedeuten:

$$r_1 = \sqrt{\frac{5}{l}}$$

Reduktionsfaktor für Stäbe oder Stabzüge mit $l > 5$ m, wobei l die Systemlänge des vorverdrehen Stabes L bzw. Stabzuges L_r in m ist. Maßgebend ist jeweils derjenige Stab oder Stabzug, dessen Vorverdrehung sich auf die betrachtete Beanspruchung am ungünstigsten auswirkt.

$$r_2 = \frac{1}{2} \left(1 + \sqrt{\frac{1}{n}} \right)$$

Reduktionsfaktor zur Berücksichtigung von n voneinander unabhängigen Ursachen für Vorverdrehungen von Stäben und Stabzügen.

Bei Anwendung des Berechnungsverfahrens Elastisch-Elastisch (EE) brauchen nur 2/3 der Werte der Ersatzimperfektionen in Rechnung gestellt werden.

Theorie I. Ordnung:

Vorkrümmung: Wenn das Abgrenzungskriterium für die Anwendung der Theorie I. Ordnung ($N/N_{Ki} \leq 0,10$) erfüllt ist, darf ohne Ansatz von Vorkrümmungen gerechnet werden.

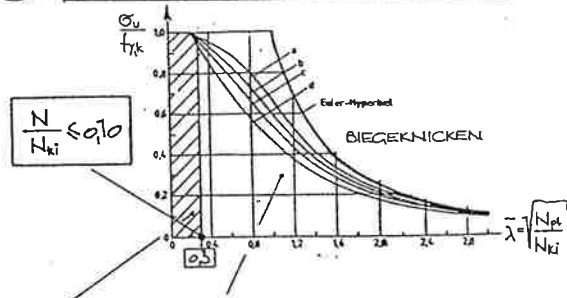
Vorverdrehung: Wenn das Abgrenzungskriterium für die Anwendung der Theorie I. Ordnung ($N/N_{Ki} \leq 0,10$) erfüllt ist, darf mit verminderten Vorverdrehungen gerechnet werden.

$$\varphi_0 = \frac{1}{400} r_1 \cdot r_2$$

Verfahren für den Tragsicherheitsnachweis

Globale Systembetrachtung

1 SYSTEMSTABILITÄT



a.) SYSTEME OHNE EFFEKT 2. ORDNUNG: $\alpha = \frac{1}{1 - (N/N_{ki})}$
 => THEORIE 1. ORD. (→ KEIN BIEGEKNICKNACHWEIS)

BERECHNUNGSVERFAHREN

	EE	EP	PP
SYSTEMBERECHNUNG :	ELAST. TH. 1. ORD.	ELAST. TH. 1. ORD.	PLAST.-FLIESSGELENKTH. 1. ORD.
QUERSCHNITTSBERE. :	ELAST.	ELAST.	PLAST.

b.) SYSTEME MIT EFFEKT 2. ORDNUNG :
 => THEORIE 2. ORD. (→ KEIN BIEGEKNICKNACHWEIS)

BERECHNUNGSVERFAHREN

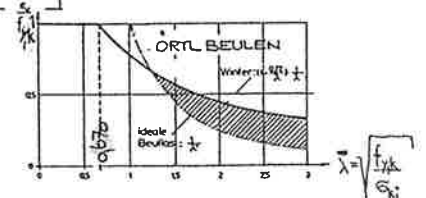
	EE	EP	PP
SYSTEMBERECHNUNG :	ELAST. TH. 2. ORD.	ELAST. TH. 2. ORD.	PLAST.-FLIESSGELENKTH. 2. ORD.
QUERSCHNITTSBERE. :	ELAST.	PLAST.	PLAST.

NAHERUNG :

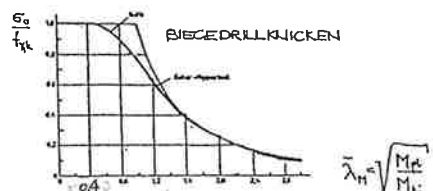
- ERSATZSTABVERFAHREN (TH. 1. ORD. MIT BIEGEKNICKNACHWEIS)
- TH. 1. ORD. MIT α -VERGROSSERUNGSFAKTOR

2 ÖRTLICHE STABILITÄT

• AM QUERSCHNITT - LOKALES BEULEN
 → NACHWEIS MIT GRENZ (b/t)



• AM STAB - BIEGEDRILLKNICKEN
 → BIEGEDRILLKNICKNACHWEIS



STABILITÄTSEFFEKTE
(siehe Seite 6)

- (1) auf der Ebene des Systems (Systemknicken) und
- (2) im lokalen Bereich (Querschnittsbeulen, Kippen)

werden unterschiedlich behandelt.

Bei (1) durch die Systemberechnung (Theorie II. Ordnung) und
bei (2) durch die (b/t)-Nachweise bzw. durch die Biegedrillknicknachweise.

In beiden Fällen werden Bereiche durch Plateau-Werte abgegrenzt, in denen der Stabilitätseffekt gegeben ist.

Bei (1) ist der Stabilitätseffekt abhängig von N/N_{ki} oder $\bar{\lambda}_k$. Für $N/N_{ki} \leq 0,10$ bzw. $\bar{\lambda}_k \leq 0,30$ - Systeme ohne Effekt II. Ordnung - darf nach Theorie I. Ordnung gerechnet werden bzw. heißt das, daß kein Stabilitätseffekt auftritt; andernfalls muß nach Theorie II. Ordnung - Systeme mit Effekt II. Ordnung - gerechnet werden. Neuerdings werden sämtliche Systemberechnungen mit Berücksichtigung von Systemimperfektionen (Vorkrümmungen, Vorverdrehungen) durchzuführen sein.

Bei (2) gibt es Grenzwerte für die (b/t)-Verhältnisse und die Kiplängen bzw. für $\bar{\lambda}_M$.

2.2 Spezielle Voraussetzungen

Regelwerke

Die Berechnung der Beispiele erfolgt aus Gründen der Einheitlichkeit anhand der neuen DIN 18 800 [1] und [2], die für die zugrundegelegte Zielsetzung im wesentlichen mit dem EUROCODE 3 [4] übereinstimmt.

Nur die Traglastermittlung nach dem Ersatzstabverfahren (β -Verfahren) erfolgt für das Berechnungsverfahren Elastisch-Plastisch in Anlehnung an den EUROCODE. Zum Vergleich wird für das sogenannte Ersatzstabverfahren auch noch die Berechnung nach Ö-NORM B 4600 vorgenommen, basierend auf der Ermittlung der Gebrauchslast.

Tragsicherheitsnachweise

Diese erfolgen sowohl für Theorie I. Ordnung als auch für Theorie II. Ordnung jeweils für die Berechnungsverfahren Elastisch-Elastisch (EE), Elastisch-Plastisch (EP) und Plastisch-Plastisch (PP). Bei der Theorie II. Ordnung werden auch noch die Näherungsmethoden, α -Verfahren und β -Verfahren, herangezogen, mit der Aufspaltung in das Berechnungsverfahren Elastisch-Elastisch und Elastisch-Plastisch. Unter dem α -Verfahren versteht man bei verschieblichen Systemen die Vergrößerung der Schnittkräfte aus dem Verschiebungszustand. Das β -Verfahren ist als Ersatzstabverfahren bekannt.

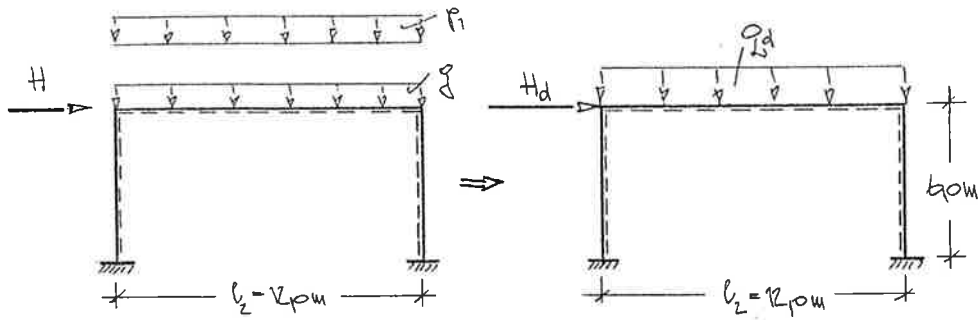
Annahmen für den Tragsicherheitsnachweis

TEILSICHERHEITSBEIWERTE

Einwirkungen		Widerstandsgrößen
ständige Einwirkungen	$\gamma_P = 1.35$	für Bemessungswert der Festigkeit $\gamma_M = 1.1$
veränderliche Einwirkungen	$\gamma_F = 1.5$	für Bemessungswert der Steifigkeit $\gamma_M = 1.1$
Kombinationsbeiwert	$\psi = 0.9$	$(EJ)_d = (EJ)/\gamma_M$

Dieser Effekt, der durch die Berücksichtigung des Teilsicherheitsbeiwertes $\gamma_M=1.1$ bei der Ermittlung des Bemessungswertes der Steifigkeit auftritt, findet sich nur in der DIN 18 800. Es wird dabei vorausgesetzt, daß die abgeminderte Steifigkeit erhöhend wirkt, ansonsten darf mit $\gamma_M=1.0$ gerechnet werden.

Eine mögliche Beeinflussung durch Lastkombinationen wird - im Hinblick auf das Ziel dieser Arbeit - im vorhinein eliminiert, indem man den Kombinationslastfall aus der veränderlichen Einwirkung Riegelgleichlast und der veränderlichen Einwirkung Riegelhorizontalkraft als maßgebend voraussetzt.



Biegedrillknicknachweis

Der Nachweis erfolgt unter der Voraussetzung von Gabellagerungen, sodaß diese Annahmen auch konstruktiv vorzunehmen wären.

Annahmen für den Gebrauchstauglichkeitsnachweis

TEILSICHERHEITSBEIWERTE

Einwirkungen		Widerstandsgrößen	
ständige Einwirkungen	$\gamma_F = 1.0$	für Bemessungswert der Einwirkungen	$\gamma_M = 1.0$
veränderliche Einwirkungen	$\gamma_F = 1.0$	für Bemessungswert der Steifigkeit	$\gamma_M = 1.0$
Kombinationsbeiwert	$\psi = 1.0$		

Der Nachweis der Gebrauchstauglichkeit erfolgt ohne Ansatz von Vorverformungen (Vorverdrehungen, Vorkrümmungen).

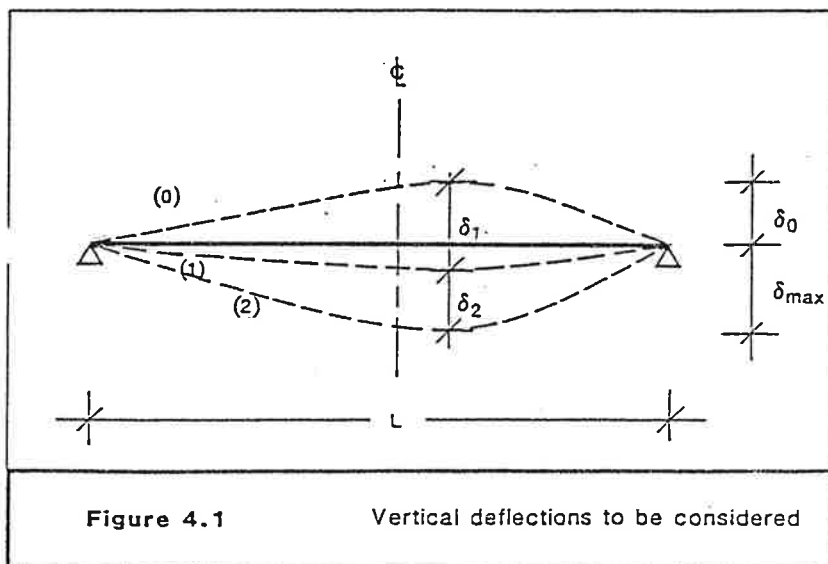


Figure 4.1

Vertical deflections to be considered

Conditions	Limits (see figure 4.1)	
	δ_{max}	δ_2
roofs generally	L/200	L/250
roofs frequently carrying personnel other than for maintenance	L/250	L/300
floors generally	L/250	L/300
floors and roofs supporting plaster or other brittle finish or non-flexible partitions	L/250	L/350
floors supporting columns (unless the deflection has been included in the global analysis for the ultimate limit state)	L/400	L/500
where δ_{max} can impair the appearance of the building	L/250	-

ans [4]

For crane gantry girders and runway beams, the horizontal and vertical deflections should be limited according to the use and class of the equipment.

For buildings the recommended limits for horizontal deflections at the tops of the columns are:

- Portal frames without gantry cranes: $h/150$
- Other single storey buildings: $h/300$
- In a multistorey building:
 - In each storey $h/300$
 - On the structure as a whole $h_0/500$

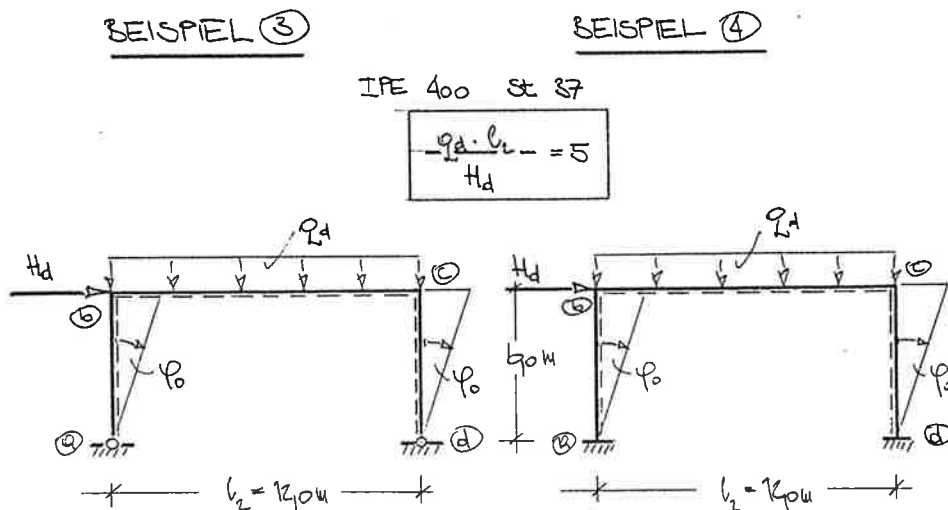
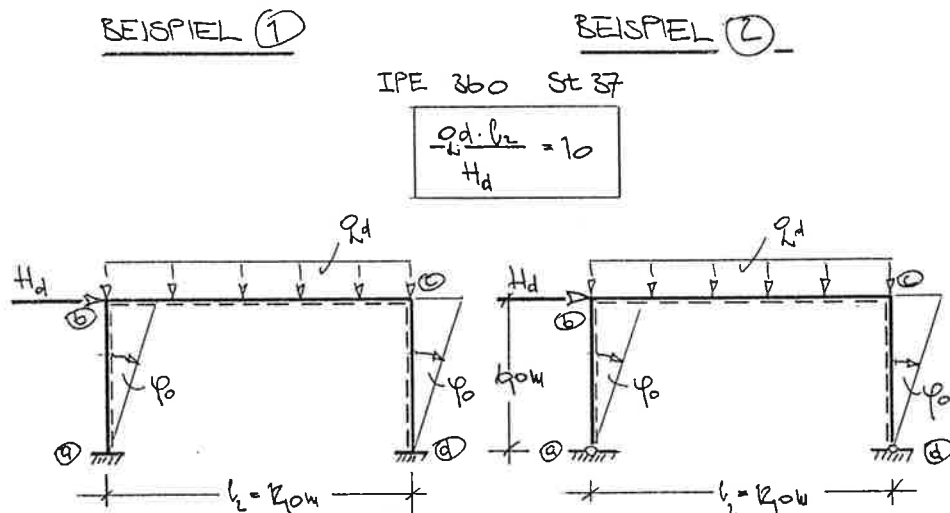
where h = height of the column or of the storey
and h_0 = overall height of the structure.

3. DURCHFÜHRUNG DER BERECHNUNG

3.1 Allgemeines

An einem repräsentativen Beispiel, nach [3], werden die möglichen Nachweisverfahren Elastisch-Elastisch, Elastisch-Plastisch und Plastisch-Plastisch nach den europ. Regelwerken dargelegt, getrennt nach Theorie I. Ordnung und Theorie II. Ordnung. Bei der Theorie II. Ordnung werden auch die Näherungsverfahren, α -Verfahren und β -Verfahren, berücksichtigt.

Die Berechnung erfolgt zuerst nur für Systeme mit ideal starren Knoten, sowohl für eingespannte als auch gelenkig gelagerte Stiele. Der Einfluß der Horizontalkraft im Riegel wird durch Änderung des Belastungsverhältnisses miterfaßt (Beispiele 1 bis 4).

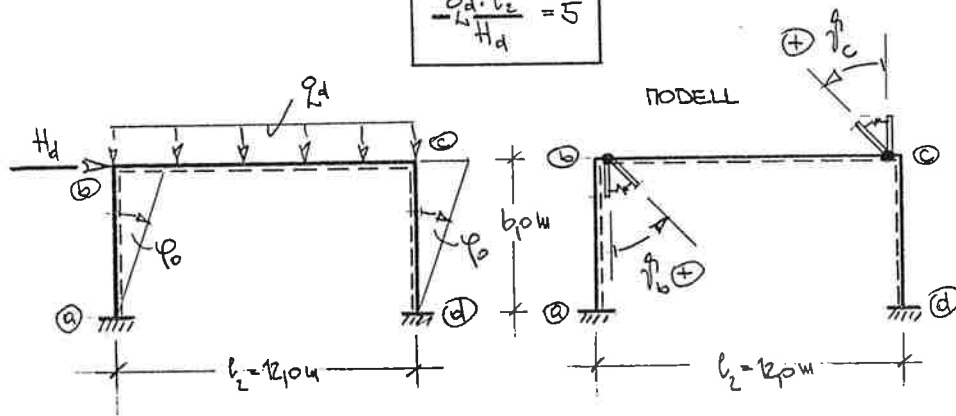


Anhand des Rahmens mit den eingespannten Stielen und einem Belastungsverhältnis von $(q_d \cdot l_2)/H = 5$ wird die Knotennachgiebigkeit - je nach Knotenausbildung - untersucht und mit den Ergebnissen des ideal starren Knotens verglichen (Beispiel 5).

BEISPIEL 5 - NACHGIEBIGE KNOTEN

IPE 400 St 37

$$\frac{q_d \cdot l_2}{H_d} = 5$$



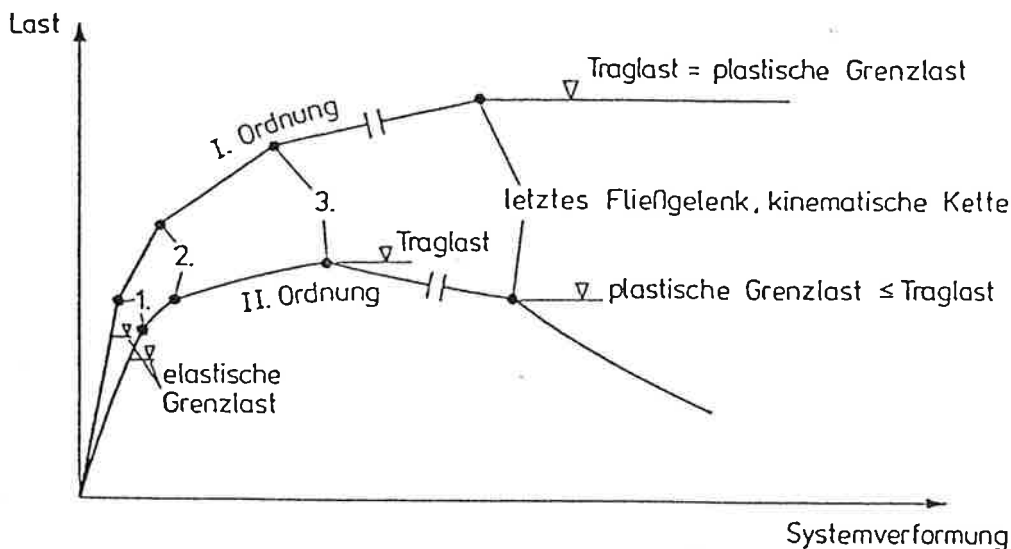
Gesucht sind sowohl die maximale Bemessungslast q_d , die dazugehörenden Verformungen w (ermittelt an der Stelle des maximalen Riegefeldmomentes) und die Horizontalverformung v_c , als auch die maximale Gebrauchslaste q_{zul} mit den Verformungen w und v_c .

3.2 Elastizitäts- und Fließgelenktheorie I. und II. Ordnung unter Zugrundelegung der Deformationsmethode

aus [9]

Ausgehend von der Elastizitätstheorie werden Fließgelenke sukzessive dort eingeführt, wo Tragfähigkeitsüberschreitungen gemäß den Interaktionsbeziehungen auftreten. Die baustatische Erfassung der Fließgelenke erfolgt nicht durch Einführung eines neuen Systems, sondern durch Überlagerung von Knickwinkeln an den Fließgelenkstellen. Matrix und Lastspalte des elastischen Systems bleiben damit erhalten, jedes Fließgelenk ergibt eine neue Unbekannte (Knickwinkel) und dementsprechend eine Vergrößerung des Gleichungssystems.

Last-Verformungs-Verhalten



Theorie II. Ordnung bedeutet: Gleichgewicht am verformten System.

Nachweis bei:

Elastizitätstheorie: Bemessungslast \leq elastische Grenzlast,

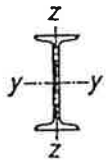
Fließgelenktheorie: Bemessungslast \leq Traglast.

Schwierigkeiten bei Fließgelenktheorie: Traglast tritt in irgend einem Fließgelenkzustand auf, der nicht bekannt ist. Theorie II. Ordnung-Effekt kann erheblich größer sein als bei Elastizitätstheorie, Kurven weichen zunehmend voneinander ab. Für zunehmende Plastizierung gilt: Steigende Systemfestigkeit - fallende Systemsteifigkeit.

Interaktionsbeziehungen

Beziehungen zwischen denjenigen Schnittgrößen, die volle Plastizierung des Querschnitts hervorrufen, diese Schnittgrößen sind stets größer als die zul. Schnittgrößen nach Elastizitätstheorie ("plastische Querschnittsreserve").

Tabelle 16. Vereinfachte Tragsicherheitsnachweise für doppelsymmetrische I-Profile mit N, M_y, V_z

Momente um y-Achse 	Gültigkeitsbereich	$\frac{V}{V_{pl,d}} \leq 0,33$	$0,33 < \frac{V}{V_{pl,d}} \leq 0,9$
		$\frac{N}{N_{pl,d}} \leq 0,1$	$\frac{M}{M_{pl,d}} \leq 1$
	$0,1 < \frac{N}{N_{pl,d}} \leq 1$	$0,9 \frac{M}{M_{pl,d}} + \frac{N}{N_{pl,d}} \leq 1$	$0,8 \frac{M}{M_{pl,d}} + 0,89 \frac{N}{N_{pl,d}} + 0,33 \frac{V}{V_{pl,d}} \leq 1$

Schnittgrößen im vollplastischen Zustand für doppelsymmetrische I-Querschnitte

Die Schnittgrößen im vollplastischen Zustand sind Bild 18 zu entnehmen.

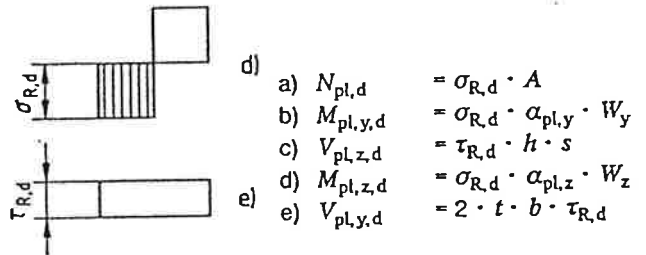
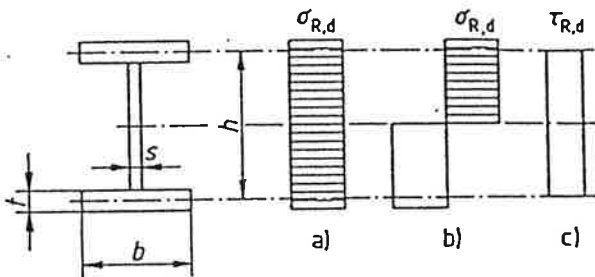


Bild 18. Spannungsverteilung für doppelsymmetrische I-Querschnitte für Schnittgrößen im vollplastischen Zustand

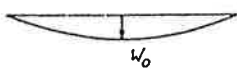
aus [1]

Moment eines Fließgelenks wird aus Interaktionsbeziehung ermittelt.

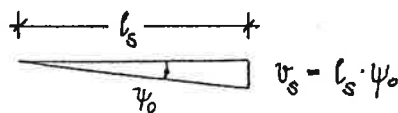
Interaktionsbeziehungen sind nur auf Querschnitt bezogen, somit unabhängig von Theorie I. oder II. Ordnung.

Vorverformungen

2 Arten: Vorkrümmung
(hier parabolisch)



Vorverdrehung



Anordnung qualitativ wie Knickbiegeline und in ungünstiger Richtung.

Die Vorverformungen sind direkt in die Formeln des Verfahrens eingearbeitet.

Vorverformungen müssen nicht verträglich sein.

Grundgedanken des hier vorgeschlagenen Verfahrens

Ziel: Berechnung grundsätzlich wie üblich bei statisch unbestimmten Systemen:

Planmäßige Rechnung, kein Probieren,

Lineares Gleichungssystem für alle Unbekannten,

Integriertes Verfahren für Elastizitäts- und Fließgelenktheorie sowie

I. und II. Ordnung.

Vorgehensweise:

1. Nicht Berechnung der Traglast, sondern des Zustandes unter Bemessungslast, Nachweis, daß Gleichgewicht stabil und Schnittgrößen sicher (d.h. Interaktionsbeziehungen eingehalten),
2. N und erforderlichenfalls Q werden nach sicheren Seite hin abgeschätzt und für gesamte Rechnung festgehalten,
3. Sukzessive Berechnung: Elastizitätstheorie, Einführung nur so vieler FG(Fließgelenke) wie erforderlich.

Baustatische Behandlung von Fließgelenken:

Grundlage ist stets elastisches System, Fließgelenke werden durch Überlagerung von "Knickwinkeln" berücksichtigt, nicht durch Systemänderung!

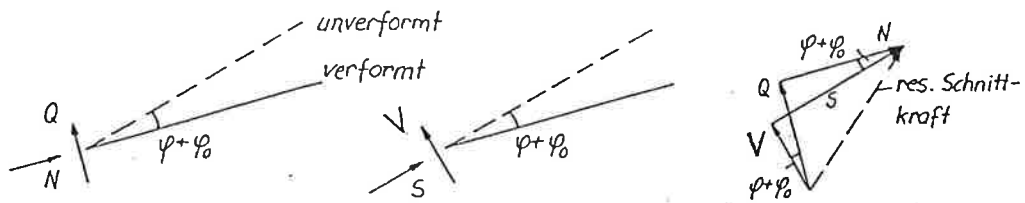
Vorteil: Matrix und Lastglieder des elast. Systems bleiben erhalten,

Pro Fließgelenk neue Spalte (=Zeile), neues Lastglied, neue Unbekannte = Knickwinkel

Anwendungsbereich: beliebig verschiebliche oder unverschiebliche Systeme,

Gelenke und Federgelenke ("elastische Gelenke") an beliebiger

Stelle, Querschnitt für den Einzelstab konstant.



Theorie II. Ordnung: $N = S, \quad Q = V + N(\varphi + \varphi_0)$

Theorie I. Ordnung: $N = S, \quad Q = V$

R, S für Gleichgewichtsbedingungen

Q, N für Beanspruchung des Stabquerschnittes (Interaktionsbeziehungen oder Spannungsnachweis).

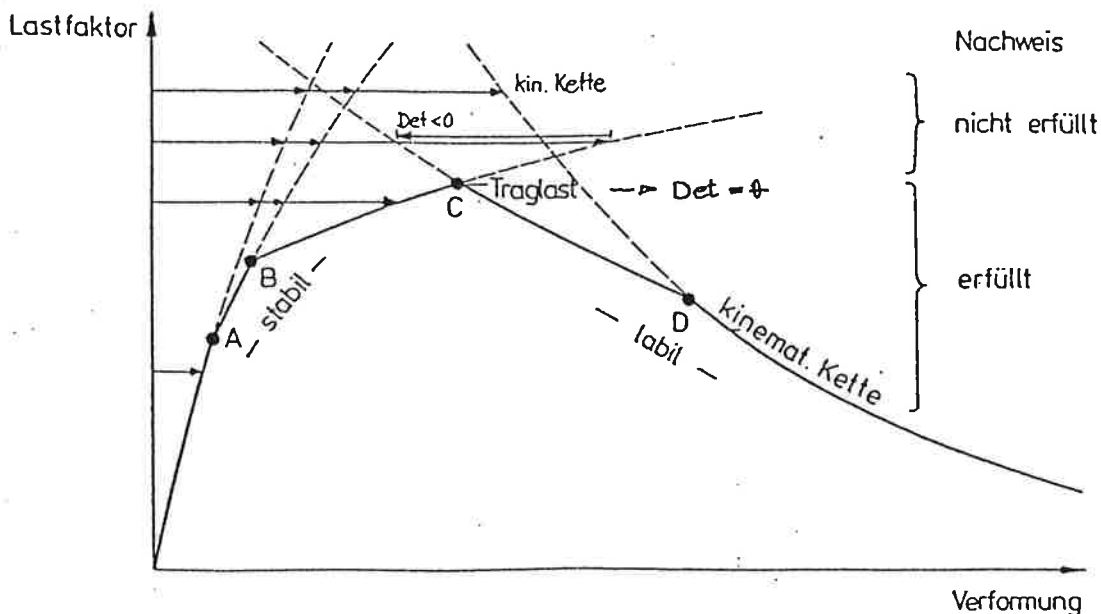
Nachweis der Tragsicherheit

Nachweis erfüllt, wenn:

- 1.) Schnittgrößen sicher, d.h. Interaktionsbez. in jedem Querschnitt eingehalten,
- 2.) Stabiles Gleichgewicht, d.h. $\text{Det} > 0$,
- 3.) In allen Fließgelenken M_f und \bar{p}_f gleiches Vorzeichen.

Nachweis nicht erfüllt, wenn:

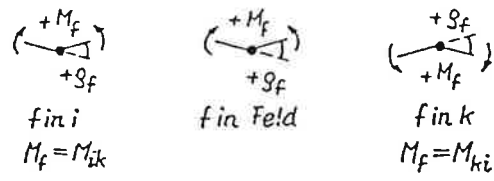
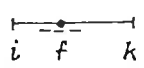
- 1.) $\text{Det} < 0$, oder M_f, \bar{p}_f verschiedene Vorzeichen,
- 2.) so viele Fließgelenke notwendig werden, daß eine kinematische Kette vorliegt.



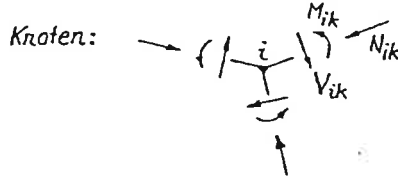
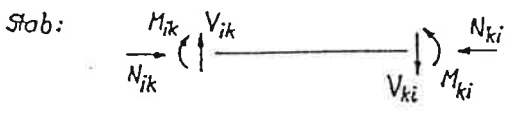
Elastizitäts- und Fließgelenktheorie I. und II. Ordnung nach der Deformationsmethode

Formelzusammenstellung

- φ_i Knotendrehwinkel \curvearrowright
- ψ_s Stabdrehwinkel \curvearrowright
- ϱ_f Knickwinkel eines Fließgelenks
- M_f Moment eines Fließgelenks



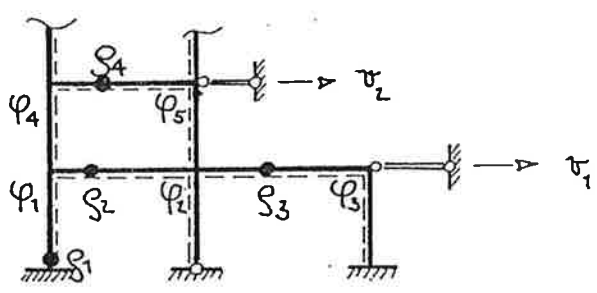
Stabendschnittgrößen



Vorverformungen



Stabkennzahl (bei Th. II. O.): $\epsilon_s = l_s \sqrt{\frac{N_s}{EI_s}}$



- v_i Horizontalverformung
- φ_i Knotendrehwinkel
- ϱ_i Knickwinkel im Fließgelenk

Koeffizientenmatrix, Lastglieder

	φ	v	ϱ	
φ	$Z_{\varphi\varphi}$	$Z_{\varphi v}$	$Z_{\varphi\varrho}$	=
v	$Z_{v\varphi}$	Z_{vv}	$Z_{v\varrho}$	
ϱ	$Z_{\varrho\varphi}$	$Z_{\varrho v}$	$Z_{\varrho\varrho}$	
	$m \times \varphi$	$n \times v$	$\sigma \times \varrho$	

Symmetrie

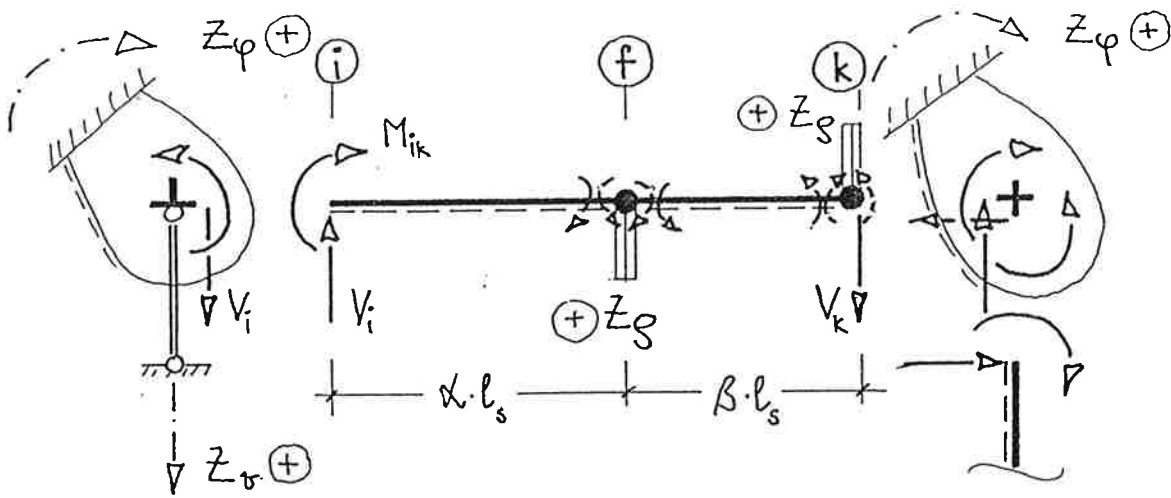
Z_{ik}
 | Ursache
 | Ort

$m \times$ Momentengleichgewicht am Knoten

$n \times$ Systemgleichgewicht

$\sigma \times$ Momentengleichgew. am Fließgelenk

[] Gleichungssystem des elast. Systems



Z_φ : aus $\sum M$ am Knoten

Z_v : aus $\sum V$ am Knoten

Z_g : aus $\sum M = M_{g,f}$ am Fließgelenk

Bestimmung der Einheitsverformungszustände

$$\begin{array}{l}
 \varphi = 1 \\
 v = 1 \\
 g = 1
 \end{array}
 \left\{
 \begin{array}{l}
 M_{ik}, V_{ik} \\
 \text{aus Tab. 1,2}
 \end{array}
 \right\}
 \begin{array}{l}
 \rightarrow Z_{\varphi\varphi}, Z_{v\varphi}, Z_{g\varphi} \\
 \rightarrow Z_{vv}, Z_{\varphi v}, Z_{gv} \\
 \rightarrow Z_{gg}, Z_{\varphi g}, Z_{vg}
 \end{array}$$

Bestimmung der Belastungszustände (q + Vorverformung)

$$q, w_0, v_0
 \left\{
 \begin{array}{l}
 M_{ik}^0, V_{ik}^0 \\
 \text{aus Tab. 3,4}
 \end{array}
 \right\}
 \begin{array}{l}
 \rightarrow Z_{\varphi q} \\
 \rightarrow Z_{v q} \\
 \rightarrow Z_{g q}
 \end{array}$$

Bestimmung von Z_{gq} :

Wobei für das Volleinspannmoment im Fließgelenk gilt:

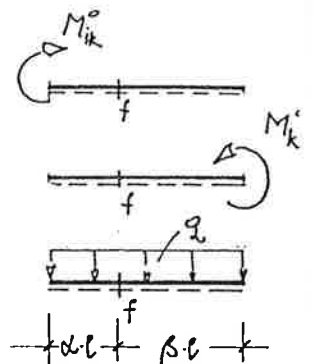
- f in i : $M_f^0 = M_{ik}^0$
 - f in k : $M_f^0 = M_{ki}^0$
- Liegt das FG am Stabende, entspricht M_f^0 dem Volleinspannmoment am Stabende

• f im Feld :

$$\text{Th. II. } \sigma: M_f^o = \frac{\sin \epsilon_s \beta_s}{\sin \epsilon_s} M_{ik}^o + \frac{\sin \epsilon_s \alpha_s}{\sin \epsilon_s} M_{ki}^o + M_f^L$$

$$\text{Th. I. } \sigma: M_f^o = \beta_s M_{ik}^o + \alpha_s M_{ki}^o + M_f^L$$

M_f^L nach Tab. 4, Zeile 3 bis 9, je nach Lastfall



$M_{grf}(N, Q)$ aus Interaktionsbeziehung für Querschnitt f

Auflösung des Gleichungssystems

$\rightarrow \varphi_i, v, \rho$

Endgültigen Schnittkräfte :

• Stabendmomente M_{ik}, M_{ki}

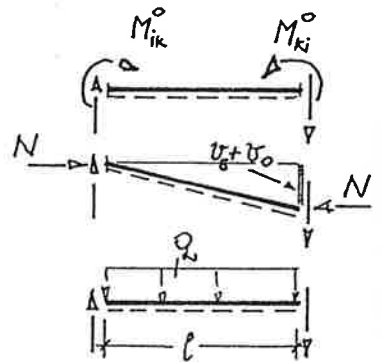
$$M_{ik} = M_{ik}^o + M_{ik}^o \cdot \varphi_i - M_{ik}^o \cdot \varphi_k - M_{ik}^o \cdot v_s - M_{ik}^o \cdot \rho$$

• Stabendkräfte V_{ik} :

$$V_{ik} = V_s + V_{ik}^L$$

$$V_s = -\frac{1}{l_s} \cdot (M_{ik} - M_{ki}) - N \cdot \left(\frac{v_s + v_o}{l_s} \right)$$

V_{ik}^L aus Querbelastung



• Normalkräfte N_{ik} (ebenso Auflagerkräfte) aus $\sum H = 0, \sum V = 0$

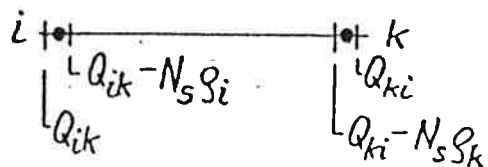
• Stabendquerkräfte :

$$Q_{ik} = V_{ik} + N_s \left(\varphi_i + 4 \frac{w_{os}}{l_s} + \frac{v_{os}}{l_s} \right)$$

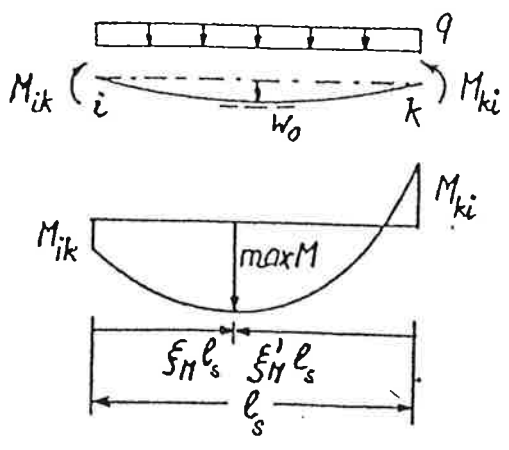
$$Q_{ki} = V_{ki} + N_s \left(\varphi_k - 4 \frac{w_{os}}{l_s} + \frac{v_{os}}{l_s} \right)$$

bei Fließgelenken an Stabenden :

alternativ Q_{ik} nach Tab. 4
oder nach Formeln unten



Ort und Größe von max M für Stab unter Gleichlast ohne \bar{q}_f im Feld



Th. II.O.: $M_0 = \frac{1}{\epsilon^2} (q l_s^2 + 8 N w_0)$

$M_1 = \frac{M_{ik} + M_{ki} + 2M_0}{\cos \epsilon/2}$

$v = \frac{M_{ik} - M_{ki}}{M_1 \sin \epsilon/2}$

$\xi_M = \frac{1}{2} - \frac{1}{\epsilon} \arctan v$
 $\max M = \frac{1}{2} \sqrt{1+v^2} M_1 - M_0$

$Q_{ik} = \frac{1}{l_s} (\max M + M_0) \epsilon \sin \epsilon \xi_M$

$Q_{ki} = -\frac{1}{l_s} (\max M + M_0) \epsilon \sin \epsilon \xi_M'$

Th. I.O. (ohne w_0):

$\xi_M = \frac{1}{2} - \frac{M_{ik} - M_{ki}}{q l_s^2}$
 $\max M = M_{ik} + \frac{1}{2} \xi_M^2 q l_s^2$

$Q_{ik} = \xi_M q l_s$

$Q_{ki} = -\xi_M' q l_s$

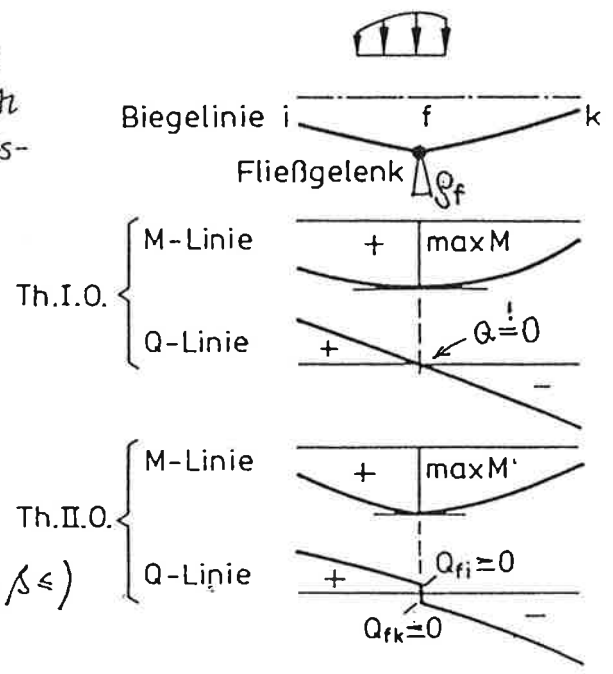
Lage des Fließgelenkes im Feld

Aus der Bedingung daß M_f gleich dem maximalen Moment im Feld ist, ergeben sich aus der Querkraft am FG die Bedingungengleichungen für die Lage des FGs.

$Q_{fi} \geq \theta \rightarrow \alpha$ - Bedingung
und
 $Q_{fk} \leq -\theta \rightarrow \beta$ - Bedingung

\Rightarrow Th. I. Ord. bestimmte FG-Stelle ($\alpha =$ oder $\beta =$)

Th. II. Ord. Lösungsbereich ($\alpha \leq$ und $\beta \leq$)

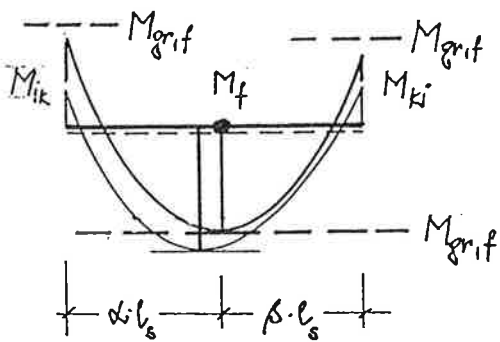


Bedingungen für Fließgelenkstelle im Feld		Th. II. O.	Th. I. O.
		$\alpha \leq \frac{1}{\epsilon} \arccos \frac{M_0 + M_{ik}}{M_0 + M_f}$ und $\beta \leq \frac{1}{\epsilon} \arccos \frac{M_0 + M_{ki}}{M_0 + M_f}$ mit $M_0 = \frac{1}{\epsilon^2} (q l_s^2 + 8 N w_0)$	$\alpha = \sqrt{2 \frac{M_f - M_{ik}}{q l_s^2}}$ oder $\beta = \sqrt{2 \frac{M_f - M_{ki}}{q l_s^2}}$

aus Q_{fk} nach Tabelle 4

allgem. Fall :

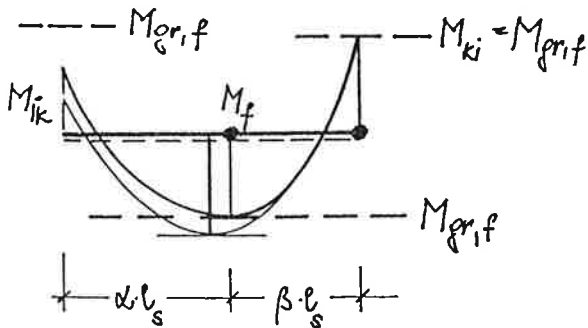
$M_{ik} \neq M_{gr,f}$ $M_{ki} \neq M_{gr,f}$ $\max M_{FELD} > M_{gr,f}$



Annahme von α oder $\beta \rightarrow$ Gleichungssystem
 $\rightarrow M_{ik}, M_{ki} \rightarrow$ Überprüfung der α - und β -Bedingung
 \rightarrow eventuell neue Annahme

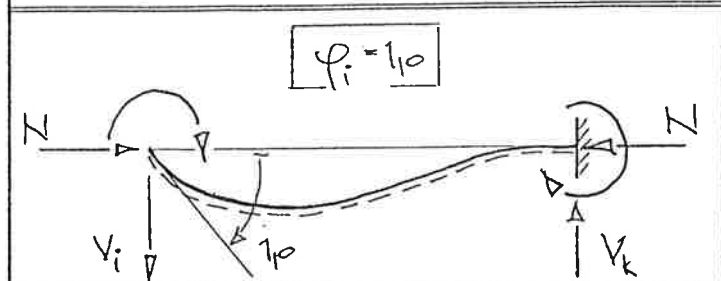
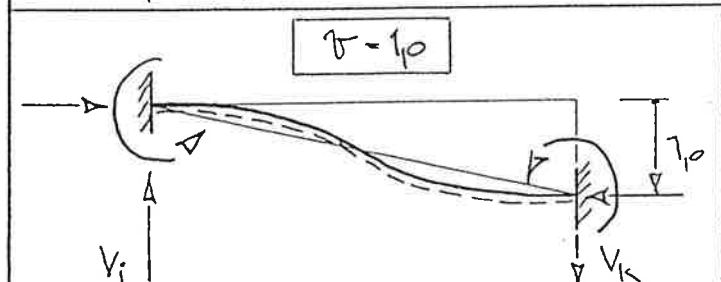
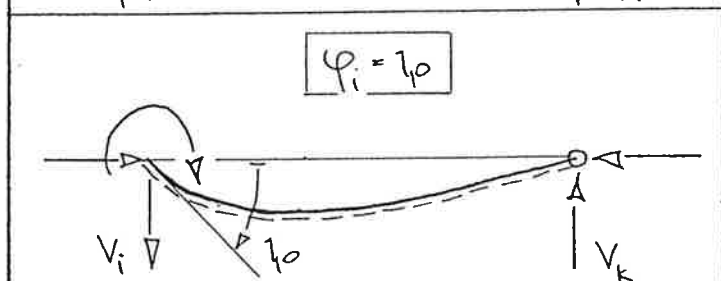
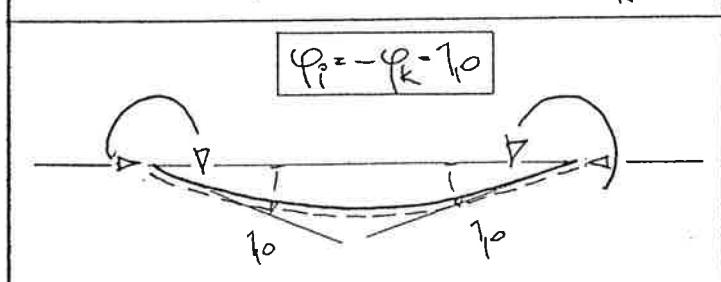
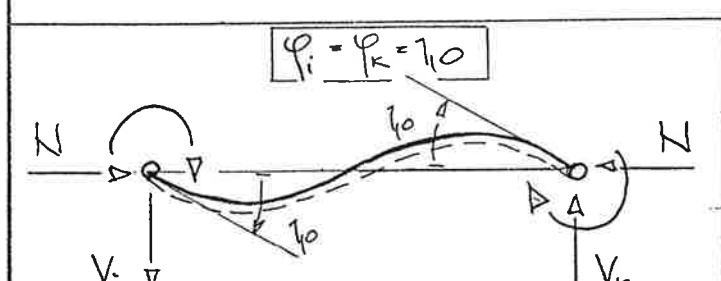
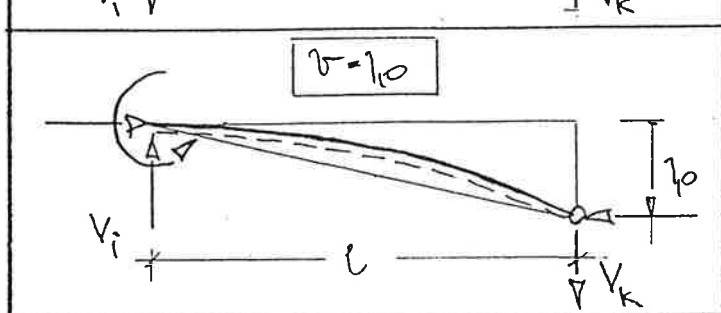
Fließgelenk am Stabende :

$M_{ik} = M_{gr,f}$ oder $M_{ki} = M_{gr,f}$ $\max M_{FELD} > M_{gr,f}$



$M_{ik} = M_{gr,f} \rightarrow \alpha$ -Bedingung
 $M_{ki} = M_{gr,f} \rightarrow \beta$ -Bedingung

EINHEITSVERFORMUNGEN

<div style="display: flex; justify-content: space-around;"> (i) (k) </div>		TH. I	TH. I	
<div style="text-align: center; margin-bottom: 10px;">$\varphi_i = 1_0$</div> 	Π_i Π_k $V_i = V_k$	$\frac{EJ}{l}$ $\frac{EJ}{l^2}$	F_1 F_2 F_3	4 2 6
<div style="text-align: center; margin-bottom: 10px;">$\nu = 1_0$</div> 	Π_i Π_k $V_i = V_k$	$\frac{EJ}{l^2}$ $\frac{EJ}{l^3} \cdot 2 \cdot \frac{F_3}{3} - \frac{1}{l}$	F_3 F_3	6 6 $\frac{EJ}{l^3} \cdot 12$
<div style="text-align: center; margin-bottom: 10px;">$\varphi_i = 1_0$</div> 	Π_i Π_k $V_i = V_k$	$\frac{EJ}{l}$ $\frac{EJ}{l^2}$	F_3 + F_3	3 + 3
<div style="text-align: center; margin-bottom: 10px;">$\varphi_i = -\varphi_k = 1_0$</div> 	Π_i Π_k $V_i = V_k$	$\frac{EJ}{l}$ $\frac{EJ}{l^2}$	F_5 F_5 +	2 2 +
<div style="text-align: center; margin-bottom: 10px;">$\varphi_i = \varphi_k = 1_0$</div> 	Π_i Π_k $V_i = V_k$	$\frac{EJ}{l}$ $\frac{EJ}{l^2}$	F_3 F_3 $2 \cdot F_3$	6 6 12
<div style="text-align: center; margin-bottom: 10px;">$\nu = 1_0$</div> 	Π_i Π_k $V_i = V_k$	$\frac{EJ}{l^2}$ $\frac{EJ}{l^3} \cdot F_3 - \frac{1}{l}$	F_3 +	3 + $3 \cdot \frac{EJ}{l^3}$

				TH. II.	TH. I
Π_i	$\frac{EJ}{l}$ $\frac{EJ}{l^2}$	F_1	4		
Π_k		F_2	2		
Π_f		F_{12}	$2 \cdot (3\beta - 1)$		
$V_i = V_k$		F_3	6		
		Π_i	$\frac{EJ}{l}$ $\frac{EJ}{l^2}$	F_2	2
Π_k	F_1	4			
Π_f	F_{13}	$2 \cdot (3\alpha - 1)$			
$V_i = V_k$	F_3	6			
		Π_i	$\frac{EJ}{l}$ $\frac{EJ}{l^2}$	F_{12}	$2 \cdot (3\beta - 1)$
Π_k	F_{13}	$2 \cdot (3\alpha - 1)$			
Π_f	F_{14}	$4 \cdot (1 - 3\alpha\beta)$			
$V_i = V_k$	F_{15}	6			
		Π_i	$\frac{EJ}{l}$ $\frac{EJ}{l^2}$	F_1	4
Π_k	F_2	2			
Π_f	F_{12}	$2 \cdot (3\beta - 1)$			
$V_i = V_k$	F_3	6			
		Π_i	$\frac{EJ}{l}$ $\frac{EJ}{l^2}$	F_1	2
Π_k	F_2	4			
Π_f	F_{13}	$2 \cdot (3\alpha - 1)$			
$V_i = V_k$	F_3	6			
		Π_i	$\frac{EJ}{l^2}$ $\frac{EJ}{l^2} \cdot 2 \cdot \frac{F_3}{3} - \frac{N}{l}$	F_3	6
Π_k	F_3	6			
Π_f	F_{15}	$6 \cdot (\beta - \alpha)$			
$V_i = V_k$		$\frac{EJ}{l^3} \cdot 12$			

TABELLE 2

LF - EINHEITSVERF.

		(i)	(f)	(k)		TH. II	TH. I
<p>$S_i = 1_0$</p>	Π_i		F_B	3			
	Π_k	$\frac{EJ}{l}$	+	+			
	Π_f	$\frac{EJ}{l^2}$	F_B	$3 \cdot \beta$			
	$V_i = V_k$	$\frac{EJ}{l^2}$	F_B	3			
<p>$S_f = 1_0$</p>	Π_i		F_B	$3 \cdot \beta$			
	Π_k	$\frac{EJ}{l}$	+	+			
	Π_f	$\frac{EJ}{l^2}$	F_B	$3 \cdot \beta^2$			
	$V_i = V_k$	$\frac{EJ}{l^2}$	F_B	$3 \cdot \beta$			
<p>$\varphi_i = 1_0$</p>	Π_i		F_B	3			
	Π_k	$\frac{EJ}{l}$	+	+			
	Π_f		F_B	$3 \cdot \beta$			
	$V_i = V_k$	$\frac{EJ}{l^2}$	F_B	3			
<p>$\nu = 1_0$</p>	Π_i		F_B	3			
	Π_k	$\frac{EJ}{l^2}$	+	+			
	Π_f		F_B	$3 \cdot \beta$			
	$V_i = V_k$	$\frac{EJ}{l^3} \cdot F_B - \frac{N}{l}$		$3 \cdot \frac{EJ}{l^3}$			

F_i(ε) - WERTE

$F_1 =$	$\frac{\varepsilon \cdot (\sin \varepsilon - \varepsilon \cdot \cos \varepsilon)}{2 \cdot (1 - \cos \varepsilon) - \varepsilon \cdot \sin \varepsilon}$
$F_2 =$	$\frac{\varepsilon \cdot (\varepsilon - \sin \varepsilon)}{2 \cdot (1 - \cos \varepsilon) - \varepsilon \cdot \sin \varepsilon}$
$F_3 =$	$\frac{\varepsilon^2 \cdot (1 - \cos \varepsilon)}{2 \cdot (1 - \cos \varepsilon) - \varepsilon \cdot \sin \varepsilon}$
$F_5 =$	$\frac{\varepsilon \cdot (1 + \cos \varepsilon)}{\sin \varepsilon}$
$F_6 =$	$\frac{\varepsilon^2 \cdot \sin \varepsilon}{\sin \varepsilon - \varepsilon \cdot \cos \varepsilon}$

$F_{12} =$	$\varepsilon \cdot \frac{\sin \varepsilon \cdot \kappa + \sin \varepsilon \cdot \beta - \varepsilon \cdot \cos \varepsilon \cdot \beta}{2 \cdot (1 - \cos \varepsilon) - \varepsilon \cdot \sin \varepsilon}$
$F_{13} =$	$\varepsilon \cdot \frac{\sin \varepsilon \cdot \kappa + \sin \varepsilon \cdot \beta - \varepsilon \cdot \cos \varepsilon \cdot \kappa}{2 \cdot (1 - \cos \varepsilon) - \varepsilon \cdot \sin \varepsilon}$
$F_{14} =$	$\varepsilon \cdot \frac{\sin \varepsilon - \varepsilon \cdot \cos \varepsilon \cdot \kappa \cdot \cos \varepsilon \cdot \beta}{2 \cdot (1 - \cos \varepsilon) - \varepsilon \cdot \sin \varepsilon}$
$F_{15} =$	$\frac{\varepsilon^2 \cdot (\cos \varepsilon \cdot \kappa - \cos \varepsilon \cdot \beta)}{2 \cdot (1 - \cos \varepsilon) - \varepsilon \cdot \sin \varepsilon}$
$F_{16} =$	$\frac{\varepsilon^2 \cdot \sin \varepsilon \cdot \beta}{\sin \varepsilon - \varepsilon \cdot \cos \varepsilon}$
$F_{17} =$	$\left(\cos \varepsilon \cdot \kappa - \frac{\sin \varepsilon \cdot \kappa}{\varepsilon} \right) \cdot F_{16}$

Tabelle 3 Volleinspannmomente nach Theorie I. und II. Ordnung

Lastfall	Faktor	$M_{ik}^{\circ} \left(\begin{matrix} i \\ j \end{matrix} \right)$		$M_{ki}^{\circ} \left(\begin{matrix} k \\ l \end{matrix} \right)$		I. O.	Th. II. O.	I. O.	$M_{ik}^{\circ} \left(\begin{matrix} i \\ j \end{matrix} \right)$		Th. II. O.	I. O.
		Th. II. O.	I. O.	Th. II. O.	I. O.							
1	$(q l^2 + 8 N w_0)$	$-\frac{1}{\epsilon^2} \left(1 - \frac{\epsilon/2}{\tan \epsilon/2} \right)$	$-\frac{1}{12}$	$-\frac{1}{\epsilon^2} \left(1 - \frac{\epsilon/2}{\tan \epsilon/2} \right)$	$-\frac{1}{12}$	$-\frac{1}{12}$	$-\frac{1}{\epsilon^2} \left(1 - \frac{\epsilon/2}{\tan \epsilon/2} \right)$	$-\frac{1}{12}$	$-\frac{\tan \epsilon/2}{\epsilon} \frac{1 - \frac{\epsilon/2}{\tan \epsilon/2}}{1 - \frac{\epsilon}{\tan \epsilon}}$	$-\frac{\tan \epsilon}{\epsilon} \left(1 - \frac{\tan \epsilon/2}{\epsilon} \right)$	$-\frac{1}{8}$	$-\frac{1}{2}$
2	$q_i l^2$	$-\frac{1}{2\epsilon^2} \left(2 - \frac{\epsilon/2}{\tan \epsilon/2} - \frac{\epsilon^2/12}{1 - \frac{\epsilon/2}{\tan \epsilon/2}} \right)$	$-\frac{1}{20}$	$-\frac{1}{2\epsilon^2} \left(-\frac{\epsilon/2}{\tan \epsilon/2} + \frac{\epsilon^2/12}{1 - \frac{\epsilon/2}{\tan \epsilon/2}} \right)$	$-\frac{1}{30}$	$-\frac{1}{30}$	$-\frac{1}{2\epsilon^2} \left(-\frac{\epsilon/2}{\tan \epsilon/2} + \frac{\epsilon^2/12}{1 - \frac{\epsilon/2}{\tan \epsilon/2}} \right)$	$-\frac{1}{30}$	$\frac{1}{\epsilon^2} \left(1 - \frac{\epsilon}{\tan \epsilon} \right) \frac{1 - \frac{\tan \epsilon}{\epsilon}}{1 - \frac{\epsilon}{\tan \epsilon}}$	$-\frac{\tan \epsilon}{\epsilon} \left(\frac{1}{2} - \frac{\tan \epsilon/2}{\epsilon} \right)$	$-\frac{1}{15}$	$-\frac{1}{6}$
3	$q_k l^2$	$-\frac{1}{2\epsilon^2} \left(-\frac{\epsilon/2}{\tan \epsilon/2} + \frac{\epsilon^2/12}{1 - \frac{\epsilon/2}{\tan \epsilon/2}} \right)$	$-\frac{1}{30}$	$-\frac{1}{2\epsilon^2} \left(2 - \frac{\epsilon/2}{\tan \epsilon/2} - \frac{\epsilon^2/12}{1 - \frac{\epsilon/2}{\tan \epsilon/2}} \right)$	$-\frac{1}{20}$	$-\frac{1}{20}$	$-\frac{1}{2\epsilon^2} \left(2 - \frac{\epsilon/2}{\tan \epsilon/2} - \frac{\epsilon^2/12}{1 - \frac{\epsilon/2}{\tan \epsilon/2}} \right)$	$-\frac{1}{20}$	$\frac{1}{\epsilon^2} \left(\frac{\epsilon}{\sin \epsilon} - 1 \right) \frac{1 - \frac{\epsilon}{\tan \epsilon}}{1 - \frac{\epsilon}{\tan \epsilon}}$	$-\frac{\tan \epsilon}{\epsilon} \left(\frac{1}{2} - \frac{\tan \epsilon/2}{\epsilon} \right)$	$-\frac{7}{120}$	$-\frac{1}{3}$
4	$P l$	$\frac{1}{\epsilon} \frac{(\sin \epsilon \alpha + \sin \epsilon \beta - \sin \epsilon) + \alpha + \beta \cos \epsilon - \cos \epsilon \beta}{2(1 - \cos \epsilon) - \epsilon \sin \epsilon}$	$-\alpha \beta^2$	$\frac{1}{\epsilon} \frac{(\sin \epsilon \beta + \sin \epsilon \alpha - \sin \epsilon) + \beta + \alpha \cos \epsilon - \cos \epsilon \alpha}{2(1 - \cos \epsilon) - \epsilon \sin \epsilon}$	$-\beta \alpha^2$	$-\beta \alpha^2$	$\frac{1}{\epsilon} \frac{(\sin \epsilon \beta + \sin \epsilon \alpha - \sin \epsilon) + \beta + \alpha \cos \epsilon - \cos \epsilon \alpha}{2(1 - \cos \epsilon) - \epsilon \sin \epsilon}$	$-\beta \alpha^2$	$-\frac{\sin \epsilon \beta}{\sin \epsilon} \frac{\beta - \alpha}{1 - \frac{\epsilon}{\tan \epsilon}}$	$-\frac{\sin \epsilon - \sin \epsilon \beta}{\epsilon \cos \epsilon}$	$\frac{1 + \beta}{2} \alpha \beta$	$-\alpha$
5	M_e	$\frac{\epsilon \sin \epsilon \beta - 1 + \cos \epsilon - \cos \epsilon \alpha + \cos \epsilon \beta}{2(1 - \cos \epsilon) - \epsilon \sin \epsilon}$	$(3\alpha - 1)\beta$	$-\frac{\epsilon \sin \epsilon \alpha - 1 + \cos \epsilon - \cos \epsilon \beta + \cos \epsilon \alpha}{2(1 - \cos \epsilon) - \epsilon \sin \epsilon}$	$-(3\beta - 1)\alpha$	$-(3\beta - 1)\alpha$	$-\frac{\epsilon \sin \epsilon \alpha - 1 + \cos \epsilon - \cos \epsilon \beta + \cos \epsilon \alpha}{2(1 - \cos \epsilon) - \epsilon \sin \epsilon}$	$-(3\beta - 1)\alpha$	$\frac{\epsilon \cos \epsilon \beta}{\sin \epsilon} \frac{-1}{1 - \frac{\epsilon}{\tan \epsilon}}$	$-\frac{\cos \epsilon \beta}{\cos \epsilon}$	$\frac{1 - 3\beta^2}{2}$	-1
6	$\frac{\Delta T}{d} \alpha_1 E I$	-1	-1	-1	-1	-1	-1	-1	$-\frac{\epsilon \tan \epsilon/2}{1 - \frac{\epsilon}{\tan \epsilon}}$	$\frac{1}{\cos \epsilon} - 1$	$-1,5$	0
7	$\Delta \phi \frac{E I}{l}$	$-\epsilon \frac{\sin \epsilon \alpha + \sin \epsilon \beta - \epsilon \cos \epsilon \beta}{2(1 - \cos \epsilon) - \epsilon \sin \epsilon}$	$-2(3\beta - 1)$	$-\epsilon \frac{\sin \epsilon \beta + \sin \epsilon \alpha - \epsilon \cos \epsilon \alpha}{2(1 - \cos \epsilon) - \epsilon \sin \epsilon}$	$-2(3\alpha - 1)$	$-2(3\alpha - 1)$	$-\epsilon \frac{\sin \epsilon \beta + \sin \epsilon \alpha - \epsilon \cos \epsilon \alpha}{2(1 - \cos \epsilon) - \epsilon \sin \epsilon}$	$-2(3\alpha - 1)$	$-\frac{\epsilon^2 \sin \epsilon \beta}{\sin \epsilon} \frac{\epsilon}{1 - \frac{\epsilon}{\tan \epsilon}}$	$\frac{\epsilon \sin \epsilon \beta}{\cos \epsilon}$	-3β	0
8	$\Delta \frac{E I}{l^2}$	$-\frac{\epsilon^2/2}{1 - \frac{\epsilon/2}{\tan \epsilon/2}}$	-6	$\frac{\epsilon^2/2}{1 - \frac{\epsilon/2}{\tan \epsilon/2}}$	6	6	$\frac{\epsilon^2/2}{1 - \frac{\epsilon/2}{\tan \epsilon/2}}$	6	$-\frac{\epsilon^2}{1 - \frac{\epsilon}{\tan \epsilon}}$	$-\frac{\epsilon^2}{1 - \frac{\epsilon}{\tan \epsilon}}$	-3	$-$

Tabelle 4 Biegemomente M, Querkräfte Q nach Theorie I. und II. Ordnung für beliebig gelagerte Stäbe

Lastfall	Be- reich	M ($\overset{+M}{\leftarrow}$)		QI		$\uparrow \overset{+Q}{\leftarrow}$		Q _{ik} l		Q _{kl} l	
		Th.II.O.	I.O.	Th.II.O.	I.O.	Th.II.O.	I.O.	Th.II.O.	I.O.	Th.II.O.	I.O.
 1 M _{ik}		$\frac{\sin \epsilon \xi'}{\sin \epsilon}$	ξ'	$-\frac{\epsilon \cos \epsilon \xi'}{\sin \epsilon}$	-1	$-\frac{\epsilon}{\tan \epsilon}$	-1	$-\frac{\epsilon}{\sin \epsilon}$	-1		
 2 M _{ki}		$-\frac{\sin \epsilon \xi}{\sin \epsilon}$	$-\xi$	$-\frac{\epsilon \cos \epsilon \xi}{\sin \epsilon}$	-1	$-\frac{\epsilon}{\tan \epsilon}$	-1	$-\frac{\epsilon}{\sin \epsilon}$	-1		
 3 (q l ² + 8 N w ₀)		$\frac{1}{\epsilon^2} \left[\frac{\cos \epsilon (0.5 - \xi)}{\cos \epsilon / 2} - 1 \right]$	$\frac{1}{2} \xi \xi'$	$\frac{\sin \epsilon (0.5 - \xi)}{\epsilon \cos \epsilon / 2}$	$\frac{1}{2} - \xi$	$\frac{\tan \epsilon / 2}{\epsilon}$	$\frac{1}{2}$	$\frac{\tan \epsilon / 2}{\epsilon}$	$\frac{1}{2}$	$-\frac{1}{2}$	$-\frac{1}{2}$
 4 q _l l ²		$\frac{1}{\epsilon^2} \left(\frac{\sin \epsilon \xi'}{\sin \epsilon} - \xi' \right)$	$\frac{1}{6} (\xi' - \xi'^3)$	$\frac{1}{\epsilon^2} \left(1 - \frac{\epsilon \cos \epsilon \xi'}{\sin \epsilon} \right)$	$\frac{1}{6} (3\xi'^2 - 1)$	$\frac{1}{\epsilon^2} \left(1 - \frac{\epsilon}{\tan \epsilon} \right)$	$\frac{1}{6}$	$\frac{1}{\epsilon^2} \left(1 - \frac{\epsilon}{\tan \epsilon} \right)$	$\frac{1}{6}$	$-\frac{1}{6}$	$-\frac{1}{6}$
 5 q _k l ²		$\frac{1}{\epsilon^2} \left(\frac{\sin \epsilon \xi}{\sin \epsilon} - \xi \right)$	$\frac{1}{6} (\xi - \xi^3)$	$\frac{1}{\epsilon^2} \left(\frac{\epsilon \cos \epsilon \xi}{\sin \epsilon} - 1 \right)$	$\frac{1}{6} (1 - 3\xi^2)$	$\frac{1}{\epsilon^2} \left(1 - \frac{\epsilon}{\tan \epsilon} \right)$	$\frac{1}{6}$	$\frac{1}{\epsilon^2} \left(1 - \frac{\epsilon}{\tan \epsilon} \right)$	$\frac{1}{6}$	$-\frac{1}{6}$	$-\frac{1}{6}$
 6 P	①	$\frac{\sin \epsilon \beta \sin \epsilon \xi}{\epsilon \sin \epsilon}$	$\beta \xi$	$\frac{\sin \epsilon \beta \cos \epsilon \xi}{\sin \epsilon}$	β	$\frac{\sin \epsilon \beta}{\sin \epsilon}$	β	$\frac{\sin \epsilon \alpha}{\sin \epsilon}$	β	$-\alpha$	$-\alpha$
	②	$\frac{\sin \epsilon \alpha \sin \epsilon \xi'}{\epsilon \sin \epsilon}$	$\alpha \xi'$	$-\frac{\sin \epsilon \alpha \cos \epsilon \xi'}{\sin \epsilon}$	$-\alpha$	$-\frac{\sin \epsilon \alpha}{\sin \epsilon}$	$-\alpha$	$-\frac{\sin \epsilon \alpha}{\sin \epsilon}$	$-\alpha$	$-\alpha$	$-\alpha$
 7 Me	①	$-\frac{\cos \epsilon \beta \sin \epsilon \xi}{\sin \epsilon}$	$-\xi$	$-\frac{\epsilon \cos \epsilon \beta \cos \epsilon \xi}{\sin \epsilon}$	-1	$-\frac{\epsilon \cos \epsilon \beta}{\sin \epsilon}$	-1	$-\frac{\epsilon \cos \epsilon \alpha}{\sin \epsilon}$	-1	$-\alpha$	$-\alpha$
	②	$\frac{\cos \epsilon \alpha \sin \epsilon \xi'}{\sin \epsilon}$	ξ'	$-\frac{\epsilon \cos \epsilon \alpha \cos \epsilon \xi'}{\sin \epsilon}$	-1	$-\frac{\epsilon \cos \epsilon \alpha}{\sin \epsilon}$	-1	$-\frac{\epsilon \cos \epsilon \alpha}{\sin \epsilon}$	-1	$-\alpha$	$-\alpha$
 8 $\frac{\Delta T}{d} \alpha_T E I$		$\frac{\sin \epsilon \xi + \sin \epsilon \xi'}{\sin \epsilon} - 1$	0	$\epsilon \frac{\cos \epsilon \xi - \cos \epsilon \xi'}{\sin \epsilon}$	0	$\epsilon \tan \epsilon / 2$	0	$-\epsilon \tan \epsilon / 2$	0	0	0
 9 N I Δ φ	①	$\frac{\sin \epsilon \beta \sin \epsilon \xi}{\epsilon \sin \epsilon}$	$\beta \xi$	$\frac{\sin \epsilon \beta \cos \epsilon \xi}{\sin \epsilon}$	β	$\frac{\sin \epsilon \beta}{\sin \epsilon}$	β	$\frac{\sin \epsilon \beta}{\sin \epsilon}$	β	$-\alpha$	$-\alpha$
	②	$\frac{\sin \epsilon \alpha \sin \epsilon \xi'}{\epsilon \sin \epsilon}$	$\alpha \xi'$	$-\frac{\sin \epsilon \alpha \cos \epsilon \xi'}{\sin \epsilon}$	$-\alpha$	$-\frac{\sin \epsilon \alpha}{\sin \epsilon}$	$-\alpha$	$-\frac{\sin \epsilon \alpha}{\sin \epsilon}$	$-\alpha$	$-\alpha$	$-\alpha$

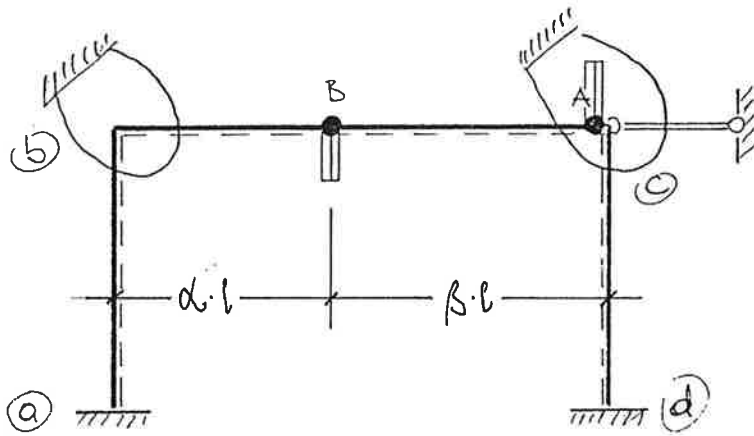
Tabelle 5 : Durchbiegungen $\Delta w(\xi)$ aus [10]

Theorie I. Ordnung		Theorie II. Ordnung	
Bereich	$\Delta w(\xi) =$		$\Delta w(\xi) =$
	$\frac{1}{6} (\xi' - \xi'^3) \frac{M_x l^2}{EI}$	$\left(\frac{\sin \xi'}{\sin \epsilon} - \xi' \right) \frac{M_x}{N}$	
	$\frac{1}{6} (\xi - \xi^3) \frac{M_x l^2}{EI}$	$\left(\frac{\sin \xi}{\sin \epsilon} - \xi \right) \frac{M_x}{N}$	
	$\frac{\xi \xi'}{24} (1 + \xi \xi' + 12 \varrho) \frac{q l^4}{EI}$	$\left[\frac{\gamma}{\epsilon^2} \left(\frac{\cos \epsilon (0,5 - \xi)}{\cos \epsilon / 2} - 1 \right) - \frac{\xi \xi'}{2} \right] \frac{q l^2 + 8 N \varrho^0}{N}$	
	$\frac{1}{24} (\alpha'^2 - \beta'^2) \xi (2 - \alpha'^2 - \beta'^2 - 2 \xi^2 + 12 \varrho) \frac{q l^4}{EI}$	$\left[\frac{\gamma \sin \xi}{\epsilon^2 \sin \epsilon} (\cos \epsilon \beta - \cos \epsilon \alpha') - \frac{\xi}{2} (\alpha'^2 - \beta'^2) \right] \frac{q l^2}{N}$	
	$\frac{1}{24} [(\alpha'^2 - \beta'^2) \xi (2 - \alpha'^2 - \beta'^2 - 2 \xi^2 + 12 \varrho) + (\xi - \alpha')^4 - 12 (\xi - \alpha')^2 \varrho] \frac{q l^4}{EI}$	$\left[\frac{\gamma}{\epsilon^2} \left(\frac{\cos \epsilon \beta \sin \xi + \cos \epsilon \alpha \sin \xi'}{\sin \epsilon} - 1 \right) - \frac{1}{2} (\xi \xi' - \xi^2 \beta^2 - \xi' \alpha^2) \right] \frac{q l^2}{N}$	
	$\frac{1}{24} (\beta'^2 - \alpha'^2) \xi (2 - \beta'^2 - \alpha'^2 - 2 \xi^2 + 12 \varrho) \frac{q l^4}{EI}$	$\left[\frac{\gamma \sin \xi'}{\epsilon^2 \sin \epsilon} (\cos \epsilon \alpha - \cos \epsilon \beta') - \frac{\xi'}{2} (\beta'^2 - \alpha'^2) \right] \frac{q l^2}{N}$	
	$\frac{\xi' - \xi'^3}{360} (7 - 3 \xi'^2 + 60 \varrho) \frac{q_1 l^4}{EI}$	$\left[\frac{\gamma}{\epsilon^2} \left(\frac{\sin \xi \xi'}{\sin \epsilon} - \xi' \right) - \frac{\xi' - \xi'^3}{6} \right] \frac{q_1 l^2}{N}$	
	$\frac{\xi - \xi^3}{360} (7 - 3 \xi^2 + 60 \varrho) \frac{q_1 l^4}{EI}$	$\left[\frac{\gamma}{\epsilon^2} \left(\frac{\sin \xi \xi}{\sin \epsilon} - \xi \right) - \frac{\xi - \xi^3}{6} \right] \frac{q_1 l^2}{N}$	
	$\frac{1}{90} [(1 + \xi \xi')^3 - 1 + 30 \xi \xi' (1 + \xi \xi') \varrho] \frac{q l^4}{EI}$	$\left[\frac{4 \gamma}{\epsilon^2} \left[\frac{2}{\cos \epsilon / 2} (\cos \epsilon (0,5 - \xi)) - 1 \right] - \xi \xi' \right] - \frac{1}{3} \xi \xi' (1 + \xi \xi') \right] \frac{q l^2}{N}$	
	$\frac{\alpha' \xi}{6} (1 - \alpha'^2 - \xi^2 + 6 \varrho) \frac{P l^3}{EI}$	$\left(\frac{\gamma \sin \epsilon \alpha' \sin \xi}{\epsilon \sin \epsilon} - \alpha' \xi \right) \frac{P l}{N}$	
	$\frac{\alpha \xi'}{6} (1 - \alpha'^2 - \xi'^2 + 6 \varrho) \frac{P l^3}{EI}$	$\left(\frac{\gamma \sin \epsilon \alpha \sin \xi'}{\epsilon \sin \epsilon} - \alpha \xi' \right) \frac{P l}{N}$	
	$-\frac{\xi}{6} (1 - 3 \alpha'^2 - \xi^2) \frac{M' l^2}{EI}$	$\left(\xi - \frac{\cos \epsilon \alpha' \sin \xi}{\sin \epsilon} \right) \frac{M'}{N}$	
	$\frac{\xi'}{6} (1 - 3 \alpha'^2 - \xi'^2) \frac{M' l^2}{EI}$	$\left(\frac{\cos \epsilon \alpha \sin \xi'}{\sin \epsilon} - \xi' \right) \frac{M'}{N}$	
	$\frac{1}{2} \xi \xi' l^2 \frac{\Delta T}{d} \alpha_T$	$\frac{\gamma}{\epsilon^2} \left(\frac{\cos \epsilon (0,5 - \xi)}{\cos \epsilon / 2} - 1 \right) l^2 \frac{\Delta T}{d} \alpha_T$	
	$\alpha' \xi l \varphi$	$\frac{\gamma \sin \epsilon \alpha' \sin \xi}{\epsilon \sin \epsilon} l \varphi$	
	$\alpha \xi' l \varphi$	$\frac{\gamma \sin \epsilon \alpha \sin \xi'}{\epsilon \sin \epsilon} l \varphi$	
	$-\xi W$	$-\frac{\cos \epsilon \alpha' \sin \xi}{\sin \epsilon} W$	
	$\xi' W$	$\frac{\cos \epsilon \alpha \sin \xi'}{\sin \epsilon} W$	

Theorie I. Ordnung		Theorie II. Ordnung	
Bereich	$\Delta w(\xi) =$		$\Delta w(\xi) =$
	$\frac{1}{6} (\xi' - \xi'^3) \frac{M_x l^2}{EI}$	$\left(\frac{\sin \xi'}{\sin \epsilon} - \xi' \right) \frac{M_x}{N}$	
	$\frac{1}{6} (\xi - \xi^3) \frac{M_x l^2}{EI}$	$\left(\frac{\sin \xi}{\sin \epsilon} - \xi \right) \frac{M_x}{N}$	
	$\frac{\xi \xi'}{24} (1 + \xi \xi' + 12 \varrho) \frac{q l^4}{EI}$	$\left[\frac{\gamma}{\epsilon^2} \left(\frac{\cos \epsilon (0,5 - \xi)}{\cos \epsilon / 2} - 1 \right) - \frac{\xi \xi'}{2} \right] \frac{q l^2 + 8 N \varrho^0}{N}$	
	$\frac{1}{24} (\alpha'^2 - \beta'^2) \xi (2 - \alpha'^2 - \beta'^2 - 2 \xi^2 + 12 \varrho) \frac{q l^4}{EI}$	$\left[\frac{\gamma \sin \xi}{\epsilon^2 \sin \epsilon} (\cos \epsilon \beta - \cos \epsilon \alpha') - \frac{\xi}{2} (\alpha'^2 - \beta'^2) \right] \frac{q l^2}{N}$	
	$\frac{1}{24} [(\alpha'^2 - \beta'^2) \xi (2 - \alpha'^2 - \beta'^2 - 2 \xi^2 + 12 \varrho) + (\xi - \alpha')^4 - 12 (\xi - \alpha')^2 \varrho] \frac{q l^4}{EI}$	$\left[\frac{\gamma}{\epsilon^2} \left(\frac{\cos \epsilon \beta \sin \xi + \cos \epsilon \alpha \sin \xi'}{\sin \epsilon} - 1 \right) - \frac{1}{2} (\xi \xi' - \xi^2 \beta^2 - \xi' \alpha^2) \right] \frac{q l^2}{N}$	
	$\frac{1}{24} (\beta'^2 - \alpha'^2) \xi (2 - \beta'^2 - \alpha'^2 - 2 \xi^2 + 12 \varrho) \frac{q l^4}{EI}$	$\left[\frac{\gamma \sin \xi'}{\epsilon^2 \sin \epsilon} (\cos \epsilon \alpha - \cos \epsilon \beta') - \frac{\xi'}{2} (\beta'^2 - \alpha'^2) \right] \frac{q l^2}{N}$	
	$\frac{\xi' - \xi'^3}{360} (7 - 3 \xi'^2 + 60 \varrho) \frac{q_1 l^4}{EI}$	$\left[\frac{\gamma}{\epsilon^2} \left(\frac{\sin \xi \xi'}{\sin \epsilon} - \xi' \right) - \frac{\xi' - \xi'^3}{6} \right] \frac{q_1 l^2}{N}$	
	$\frac{\xi - \xi^3}{360} (7 - 3 \xi^2 + 60 \varrho) \frac{q_1 l^4}{EI}$	$\left[\frac{\gamma}{\epsilon^2} \left(\frac{\sin \xi \xi}{\sin \epsilon} - \xi \right) - \frac{\xi - \xi^3}{6} \right] \frac{q_1 l^2}{N}$	
	$\frac{1}{90} [(1 + \xi \xi')^3 - 1 + 30 \xi \xi' (1 + \xi \xi') \varrho] \frac{q l^4}{EI}$	$\left[\frac{4 \gamma}{\epsilon^2} \left[\frac{2}{\cos \epsilon / 2} (\cos \epsilon (0,5 - \xi)) - 1 \right] - \xi \xi' \right] - \frac{1}{3} \xi \xi' (1 + \xi \xi') \right] \frac{q l^2}{N}$	
	$\frac{\alpha' \xi}{6} (1 - \alpha'^2 - \xi^2 + 6 \varrho) \frac{P l^3}{EI}$	$\left(\frac{\gamma \sin \epsilon \alpha' \sin \xi}{\epsilon \sin \epsilon} - \alpha' \xi \right) \frac{P l}{N}$	
	$\frac{\alpha \xi'}{6} (1 - \alpha'^2 - \xi'^2 + 6 \varrho) \frac{P l^3}{EI}$	$\left(\frac{\gamma \sin \epsilon \alpha \sin \xi'}{\epsilon \sin \epsilon} - \alpha \xi' \right) \frac{P l}{N}$	
	$-\frac{\xi}{6} (1 - 3 \alpha'^2 - \xi^2) \frac{M' l^2}{EI}$	$\left(\xi - \frac{\cos \epsilon \alpha' \sin \xi}{\sin \epsilon} \right) \frac{M'}{N}$	
	$\frac{\xi'}{6} (1 - 3 \alpha'^2 - \xi'^2) \frac{M' l^2}{EI}$	$\left(\frac{\cos \epsilon \alpha \sin \xi'}{\sin \epsilon} - \xi' \right) \frac{M'}{N}$	
	$\frac{1}{2} \xi \xi' l^2 \frac{\Delta T}{d} \alpha_T$	$\frac{\gamma}{\epsilon^2} \left(\frac{\cos \epsilon (0,5 - \xi)}{\cos \epsilon / 2} - 1 \right) l^2 \frac{\Delta T}{d} \alpha_T$	
	$\alpha' \xi l \varphi$	$\frac{\gamma \sin \epsilon \alpha' \sin \xi}{\epsilon \sin \epsilon} l \varphi$	
	$\alpha \xi' l \varphi$	$\frac{\gamma \sin \epsilon \alpha \sin \xi'}{\epsilon \sin \epsilon} l \varphi$	
	$-\xi W$	$-\frac{\cos \epsilon \alpha' \sin \xi}{\sin \epsilon} W$	
	$\xi' W$	$\frac{\cos \epsilon \alpha \sin \xi'}{\sin \epsilon} W$	

GLEICHUNGSSYSTEM BEI FLIESSGELENKTHEORIE

FLIESSGELENKE DURCH 'KNICKWINKEL' BERÜCKSICHTIGT
 => KEINE ÄNDERUNG DES ELAST. SYSTEMS



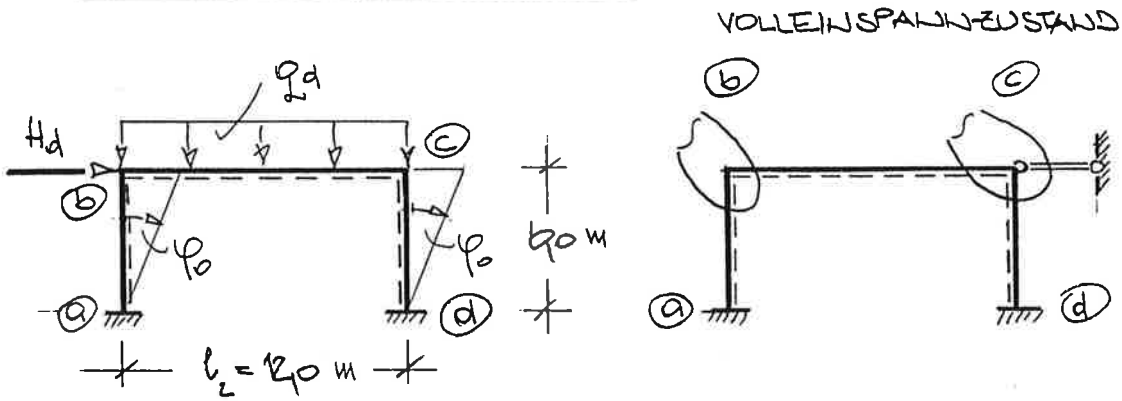
$$\begin{array}{l}
 z_1 = z_{11} \cdot \varphi_b + z_{12} \cdot \varphi_c + z_{13} \cdot \nu + z_{14} \cdot \rho_A + z_{15} \cdot \rho_B \quad | \quad z_{10} = \theta \\
 z_2 = z_{21} \cdot \varphi_b + z_{22} \cdot \varphi_c + z_{23} \cdot \nu + z_{24} \cdot \rho_A + z_{25} \cdot \rho_B \quad | \quad z_{20} = \theta \\
 z_3 = z_{31} \cdot \varphi_b + z_{32} \cdot \varphi_c + z_{33} \cdot \nu + z_{34} \cdot \rho_A + z_{35} \cdot \rho_B \quad | \quad z_{30} = \theta
 \end{array}$$

$$\begin{array}{l}
 z_4 = z_{41} \cdot \varphi_b + z_{42} \cdot \varphi_c + z_{43} \cdot \nu + z_{44} \cdot \rho_A + z_{45} \cdot \rho_B \quad | \quad z_{40} = +\Pi_A \\
 z_5 = z_{51} \cdot \varphi_b + z_{52} \cdot \varphi_c + z_{53} \cdot \nu + z_{54} \cdot \rho_A + z_{55} \cdot \rho_B \quad | \quad z_{50} = -\Pi_B
 \end{array}$$

	φ_b	φ_c	ν	ρ_A	ρ_B	LF
b	z_{11}	z_{12}	z_{13}	z_{14}	z_{15}	$-z_{10}$
c	z_{21}	z_{22}	z_{23}	z_{24}	z_{25}	$-z_{20}$
ν	z_{31}	z_{32}	z_{33}	z_{34}	z_{35}	$-z_{30}$
A	z_{41}	z_{42}	z_{43}	z_{44}	z_{45}	$-z_{40} \pm \Pi_A$
B	z_{51}	z_{52}	z_{53}	z_{54}	z_{55}	$-z_{50} \pm \Pi_B$

3.3 Schematischer Ablauf der Berechnung - ideal starre Knoten

SYSTEM UND BELASTUNG

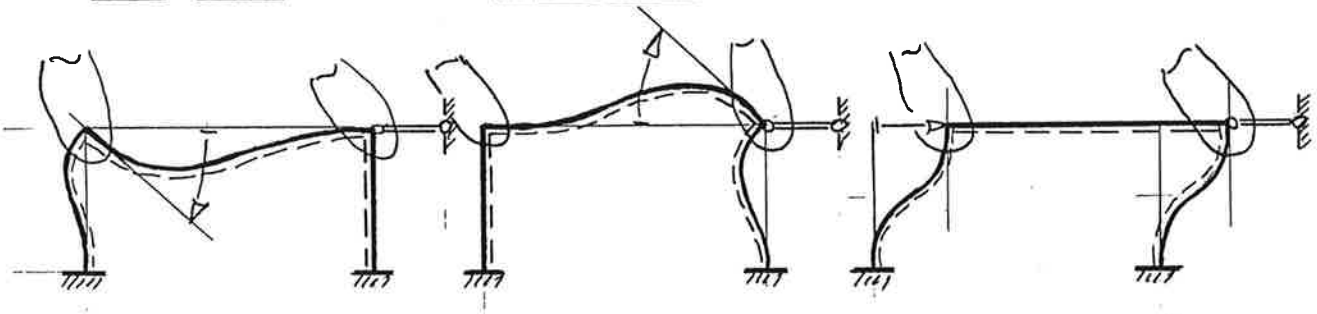


EINHEITSVERFORMUNGEN

LF: $\varphi_b = 1_0$

LF: $\varphi_c = 1_0$

LF: $\varphi_c = 1_0$



VOLLEINSPANNZUSTAND:

LF: q_d, H_d, φ_0

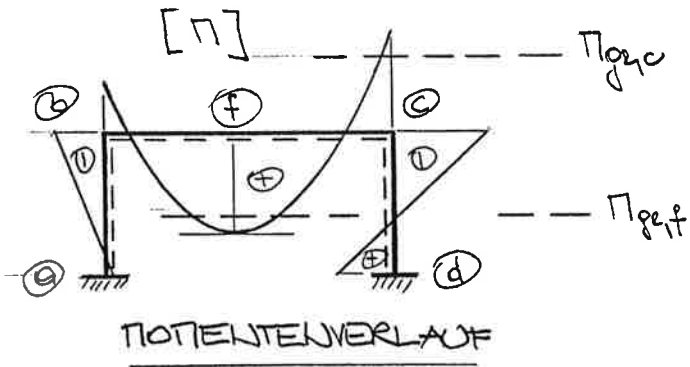
GLEICHUNGSSYSTEM:

$$a_{11} \cdot \varphi_b + a_{12} \cdot \varphi_c + a_{13} \cdot \varphi_c + a_{10} = \Delta$$

$$a_{21} \cdot \varphi_b + a_{22} \cdot \varphi_c + a_{23} \cdot \varphi_c + a_{20} = \Delta$$

$$a_{31} \cdot \varphi_b + a_{32} \cdot \varphi_c + a_{33} \cdot \varphi_c + a_{30} = \Delta$$

SCHNITTGRÖSSEN π, Q, N



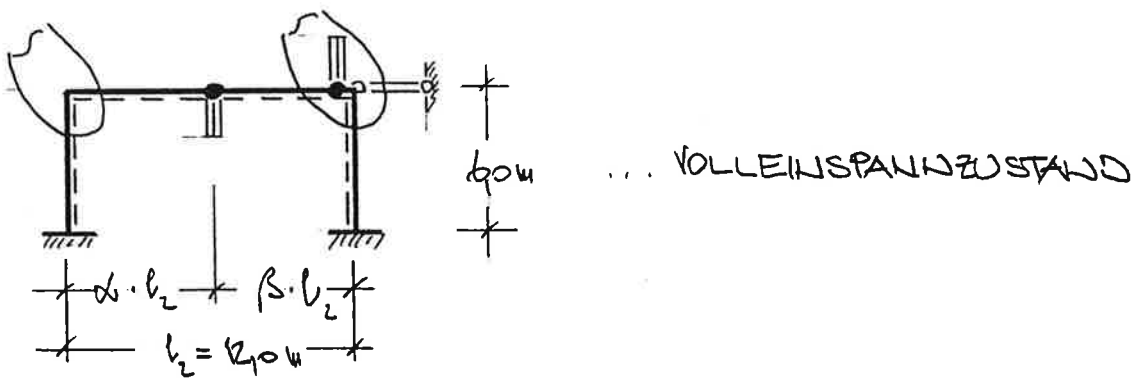
$\pi_{cb} > \pi_{g2c}$ UND $\pi_f > \pi_{g2f} \Rightarrow$

FLIESSGELENKE A UND B

π_{g2} AUS INTERAKTION

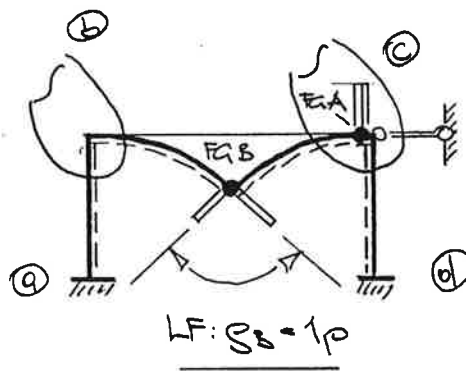
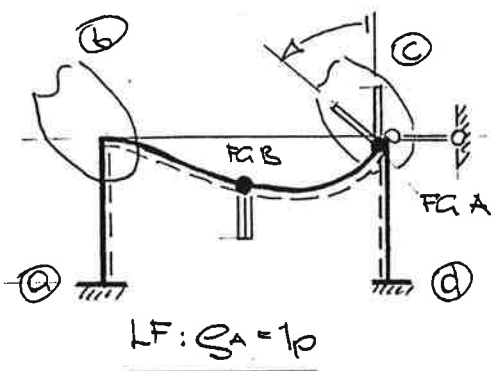
$\pi_{g2} = \pi(N, Q)$

SYSTEM MIT FG A UND B



EINHEITSVERFORMUNGEN

LF: $\varphi_0 = 1_0$, LF: $\varphi_c = 1_0$, LF: $\varepsilon_c = 1_0$ WIE VORHER



VOLLEINSPANNZUSTAND

LF: $\varphi_d, H_d, \varphi_0$

GLEICHUNGSSYSTEM

$$a_{11} \cdot \varphi_b + a_{12} \cdot \varphi_c + a_{13} \cdot \delta_c + a_{14} \cdot S_A + a_{15} \cdot S_B + a_{10} = +$$

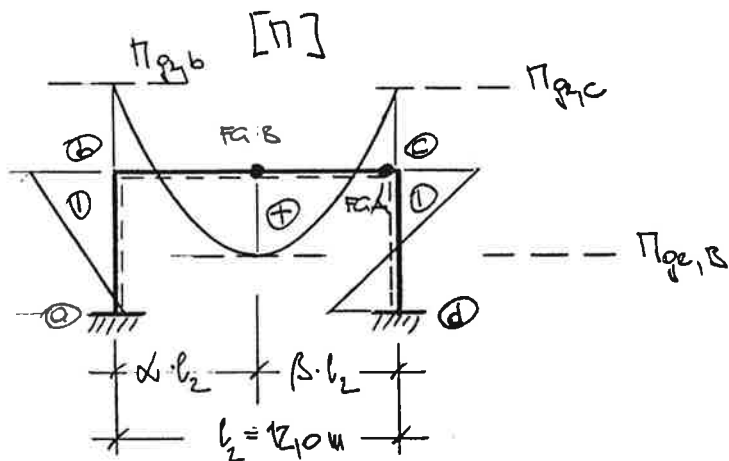
$$a_{21} \cdot \varphi_b + a_{22} \cdot \varphi_c + a_{23} \cdot \delta_c + a_{24} \cdot S_A + a_{25} \cdot S_B + a_{20} = +$$

$$a_{31} \cdot \varphi_b + a_{32} \cdot \varphi_c + a_{33} \cdot \delta_c + a_{34} \cdot S_A + a_{35} \cdot S_B + a_{30} = +$$

$$a_{41} \cdot \varphi_b + a_{42} \cdot \varphi_c + a_{43} \cdot \delta_c + a_{44} \cdot S_A + a_{45} \cdot S_B + a_{40} = \Pi_{q_{1,A}}$$

$$a_{51} \cdot \varphi_b + a_{52} \cdot \varphi_c + a_{53} \cdot \delta_c + a_{54} \cdot S_A + a_{55} \cdot S_B + a_{50} = -\Pi_{q_{2,B}}$$

SCHNITTGRÖSSEN Π, Q, N



... POTENTIALVERLAUF

Π $\Pi_b = \Pi_{q_{1,b}}$ TRAGLAST DES SYSTEMS ERREICHT ($\text{DET} \lambda > +$)

(\Rightarrow KINETAT. BALKENKETTE IN RIEGEL)

3.4 Theorie der nachgiegigen Knoten

DAS VERFORMUNGSVERHALTEN DES KNOTENS aus [8]

Das elastisch-plastische Last-Verformungsverhalten

Definition des Knotens als Element

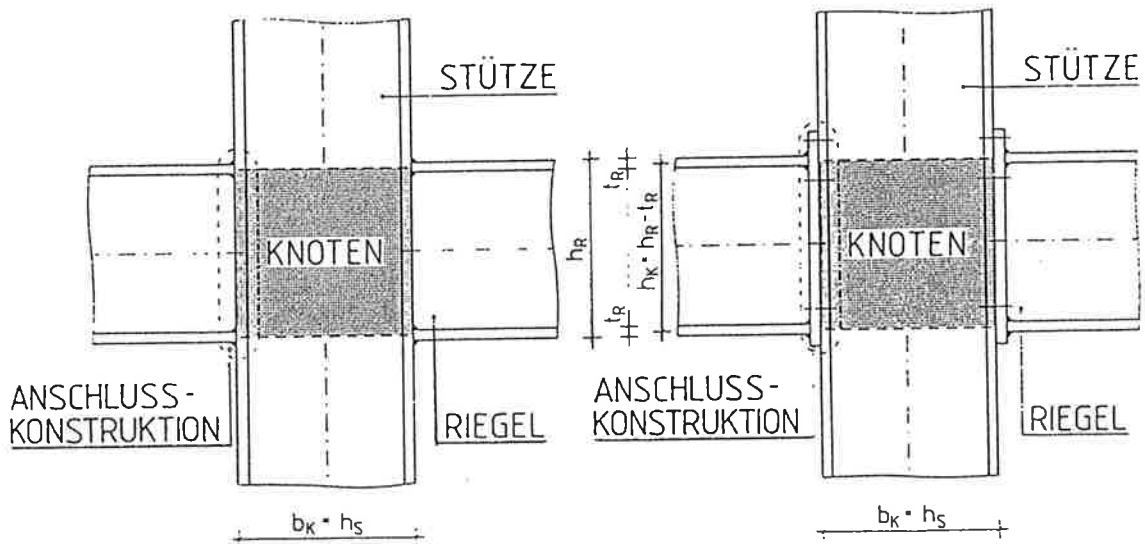
Im Gegensatz zu der bisher üblichen Betrachtungsweise wird der Knoten in der Systemberechnung nicht als starrer Punkt im Schnittpunkt der Systemlinien betrachtet, sondern als Element mit endlichen Abmessungen und elastisch-plastischem Last-Verformungsverhalten definiert.

Damit ergeben sich für die Systemberechnung drei verschiedene Elemente, nämlich:

- Riegel: R
- Stützen: S
- Knoten: K

In Abb. 2 sind zwei Beispiele von steifenlos ausgeführten Knoten dargestellt, wobei im Fall a der Riegel an die Stütze angeschweisst und im Fall b ein Stirnplattenanschluss ausgeführt ist.

In beiden Fällen ist die Nachgiebigkeit des Knotenelementes selbst gleich. Die beiden Varianten unterscheiden sich durch die Nachgiebigkeit des jeweiligen Anschlusses (Schweissanschluss bzw. Schraubanschluss).



- a) Schweissanschluss:
Anschlussnachgiebigkeit
bestimmt durch:
– Schweissnähte

- b) Schraubanschluss:
Anschlussnachgiebigkeit
bestimmt durch:
– Schweissnähte
– Stirnplatte
– Schrauben
– Stützenflansch

Abb. 2: Steifenlose Knoten

Modellbildung für den Knoten

EINFÜHRUNG

Aufgrund von systematischen Versuchen [3] an steifenlosen Knoten ist es möglich, ein mechanisches Modell für den Knoten selbst zu entwickeln, das das elastisch-plastische Verformungsverhalten zutreffend beschreibt.

Dabei wurde der geschweisste Anschluss des Riegels an die Stütze gewählt, um zunächst die Anschlussnachgiebigkeit als Parameter auszuschliessen. In weiteren Untersuchungen [5] wurden statt der Schweissanschlüsse Stirnplattenanschlüsse an steifenlose Knoten untersucht.

Abb. 3a zeigt einen symmetrisch belasteten Innenknoten, der steifenlos mit geschweisstem Anschluss ausgeführt ist.

Durch den Wegfall der Aussteifungsrippen verformen die Kräfte aus den Riegelflanschen den Knoten im Einleitungsbereich. Es handelt sich dabei um ein Krafteinleitungsproblem, bei dem das aufnehmbare Moment des steifenlosen Knotens durch das plastische Beulen des Knotensteges infolge Druck aus dem Riegelflansch begrenzt wird.

Dieses Krafteinleitungsproblem kann durch ein Federpaar, im weiteren als „Einleitungsfedern“ bezeichnet, dargestellt werden. Die Verformungen des Federpaares bedingen eine Endverdrehung ϑ_E des Riegels. (Der Index E steht für „Einleitung“).

Den Zusammenhang zwischen dem Riegelanschlussmoment M und der Verdrehung ϑ_E für einen symmetrisch belasteten Innenknoten zeigt das Diagramm in Abb. 3a.

Bei Erreichen des vollplastischen Grenzmoments M_{pK} des Knotens tritt die Grenzverdrehung ϑ_p auf. Nach Überschreiten von ϑ_p fällt das aufnehmbare Moment ab, es bildet sich eine plastische Beule im Knotensteg (siehe Foto) infolge Druck aus dem Riegelflansch und eine Fließzone beim Zugflansch.

Abb. 3b zeigt einen steifenlosen Randknoten mit geschweisstem Riegelanschluss unter Momentenbelastung.

Gegenüber dem symmetrisch beanspruchten Innenknoten bewirken die Kräfte aus den Riegelflanschen nicht nur eine Verformung aus der Krafteinleitung, sondern auch eine Deformation des gesamten Knotenelementes aus der im Knoten wirkenden Querkraft Q . Das Verhalten des Knotens bei einer Querkraftbeanspruchung wird durch eine Diagonalfeder, im weiteren als „Querkraftfeder“ bezeichnet, beschrieben.

Die Verformung der Querkraftfeder bewirkt eine zusätzliche Riegelendverdrehung ϑ_Q (der Index Q steht hier für „Deformation infolge Querkraft Q im Knoten“). Somit ergibt sich die Gesamtverdrehung $\vartheta_E + \vartheta_Q$.

Das Diagramm in Abb. 3b zeigt den Zusammenhang von Moment M und Riegelendverdrehung $\vartheta_E + \vartheta_Q$, wobei die Anteile aus Einleitung und Querkraft getrennt gekennzeichnet sind. Auch hier gehört zum vollplastischen Grenzmoment M_{pK} ein Grenzwert ϑ_p für die Verdrehung. Der steifenlose Knoten ist demnach weicher, und die Deformationen werden entsprechend grösser.

EINFLUSS DER STÜTZENNORMALKRAFT AUF DEN KNOTEN

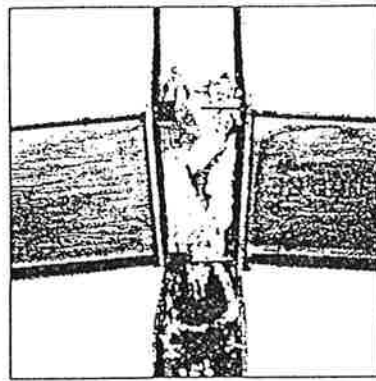
Bei den Versuchen [6] konnte für die Einleitungsfeder keine Interaktion mit der Normalkraft in der Stütze festgestellt werden. Der Anfangsanstieg der Querkraftfeder ist ebenfalls von der Normalkraft im Knoten unabhängig.

Für das plastische Grenzmoment M_{pQ} muss bis zu $N^* = 0,5 N_p$ keine Interaktion berücksichtigt werden. Für $N^* \geq 0,5 N_p$ muss das plastische Grenzmoment der Querkraftfeder wie folgt abgemindert werden:

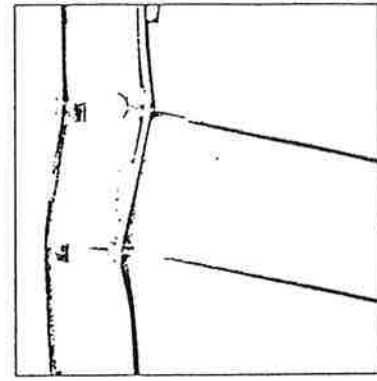
$$M_{pQ,N} = M_{pQ} \cdot \sqrt{1 - \left(\frac{N^*}{N_p}\right)^2}$$

Abb. 3: Verformungsverhalten steifenloser Rand- und Innenknoten mit zugehörigen Federmodellen.

Foto bei Versuchsende

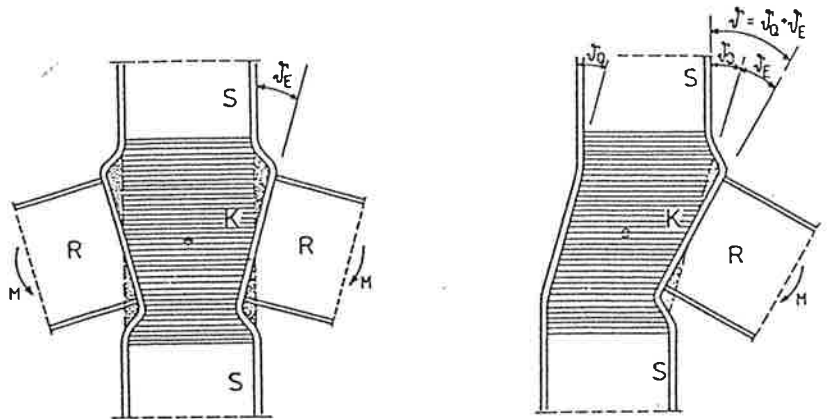


a) Innenknoten
Verformung aus
Einleitung (ϑ_E)

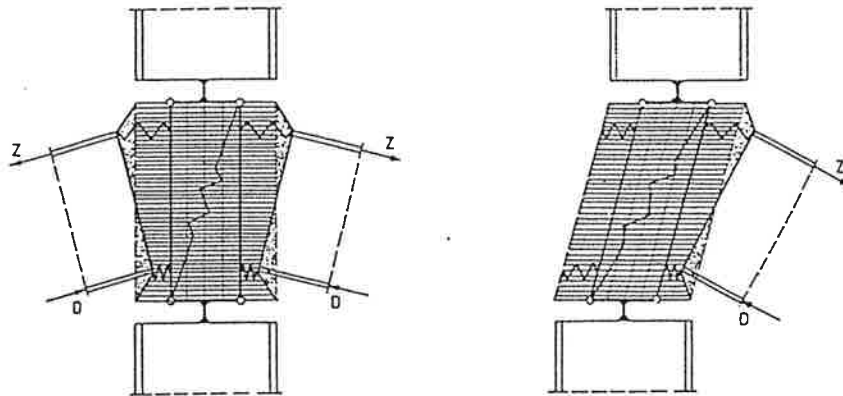


b) Randknoten
Verformung aus
Einleitung (ϑ_E)
und Querkraft (ϑ_Q)

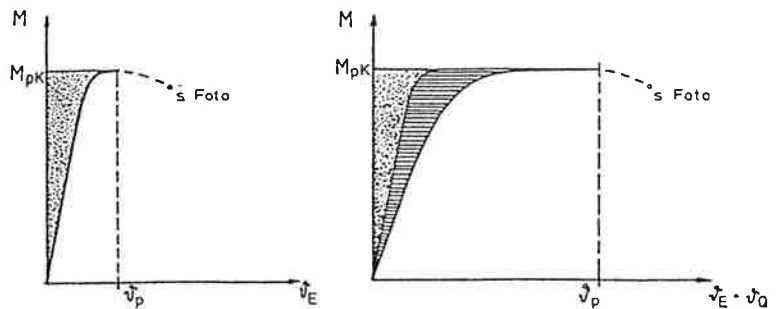
Verformungseinflüsse



Tragmodell



M- ϑ -Verhalten
(Diagramm)



ALLGEMEINES FEDERMODELL

Aufgrund dieser Überlegungen konnte dann ein allgemein gültiges Federmodell gefunden werden [3], das in Abb. 4 dargestellt ist.

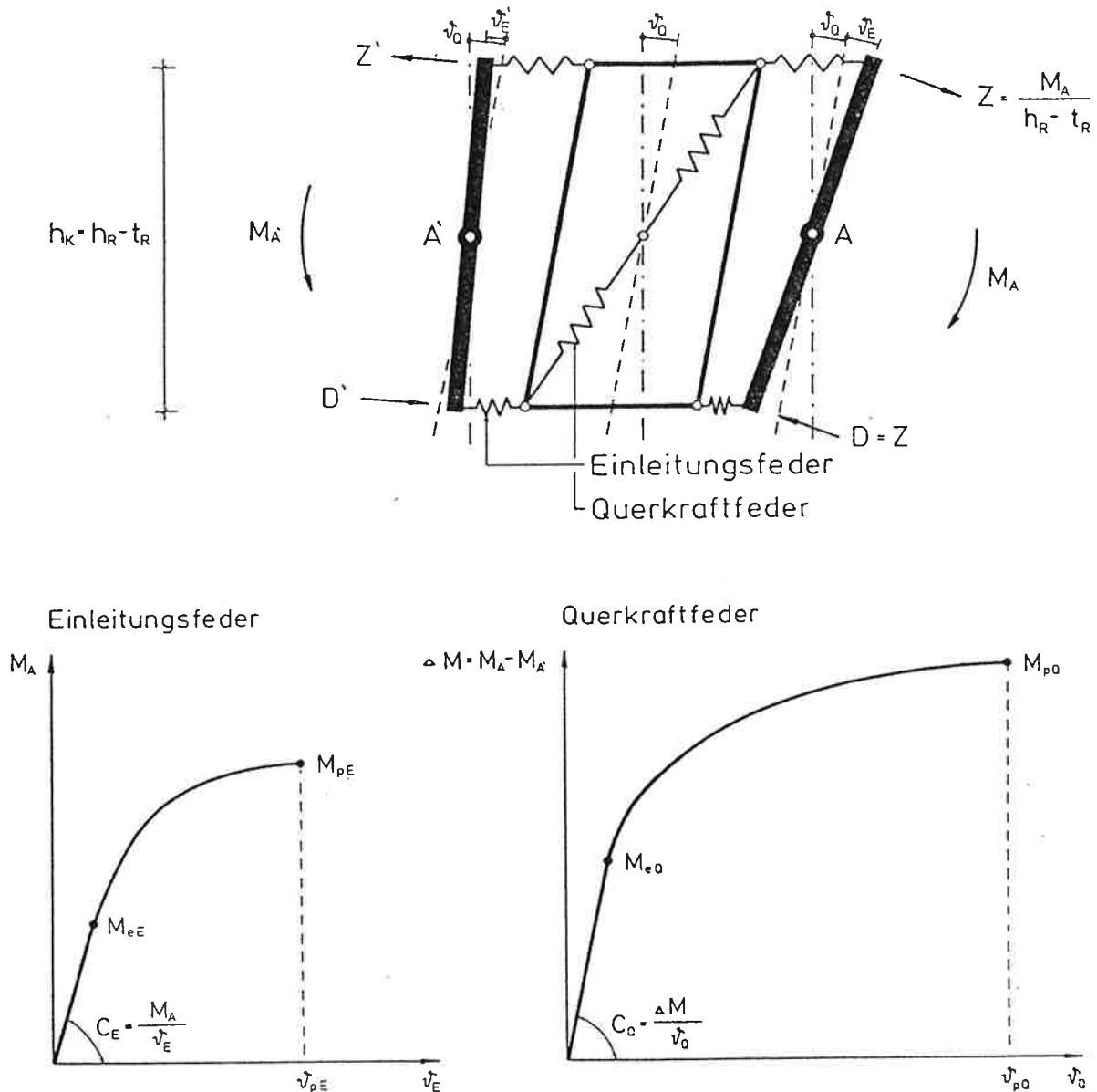


Abb. 4: Federmodell für den Knoten

Das gesamte Verformungsverhalten eines beliebigen Knotens lässt sich mit diesem Modell mechanisch sauber beschreiben. Wird an einem Schnitt im Punkt A das Moment M_A eingeleitet und dieses Moment durch das Kräftepaar $M_A/(h_R - t_R)$ ersetzt, so wirken diese Kräfte vorerst auf die Einleitungsfedern, die sich entsprechend verformen. Daraus resultiert die Verdrehung ϑ_E im Punkt A. In analoger Weise wirkt am Schnitt im Punkt A' das Moment $M_{A'}$, und erzeugt die Verdrehung $\vartheta_{E'}$.

Der Zusammenhang zwischen Moment M und Verdrehung ϑ_E ist durch eine Drehfeder mit elastisch-plastischem Verhalten darstellbar. Abb. 4 zeigt eine entsprechende Federkurve. Zur vollständigen Beschreibung dieser Federkurve sind folgende Kennwerte notwendig:

M_{eE}	elastisches Grenzmoment	} aus Einleitung
M_{pE}	plastisches Grenzmoment	
ϑ_{pE}	Grenzverdrehung	
C_E	Drehfedersteifigkeit (Ursprungsanstieg)	

Diese Kennwerte wurden aus Versuchen ermittelt und werden im Kapitel 3 quantifiziert.

Auf die Querkraftfeder wirkt nur die Momentendifferenz $\Delta M = M_A - M_{A'}$ ein. Diese Momentendifferenz beansprucht den Knoten mit der Querkraft $Q = (M_A - M_{A'}) / (h_R - t_R)$. Daraus resultiert eine Verdrehung ϑ_Q des gesamten Knotens.

Der Zusammenhang zwischen Momentendifferenz ΔM und Knotenverdrehung ϑ_Q kann ebenfalls durch eine Drehfeder mit elastisch-plastischem Verhalten dargestellt werden. Die erforderlichen Kennwerte zur Bestimmung der Querkraftfeder sind:

M_{eQ}	elastisches Grenzmoment	} aus Querkraft
M_{pQ}	plastisches Grenzmoment	
ϑ_{pQ}	Grenzverdrehung	
C_Q	Drehfedersteifigkeit	

Eine Quantifizierung dieser Kennwerte erfolgt in Kapitel 3. Das Momentenrotationsverhalten an einem Schnitt kann somit durch Hintereinanderschalten der Einleitungsfeder und der Querkraftfeder beschrieben werden. Die Einleitungsfeder reagiert auf das entsprechende Riegelendmoment, die Querkraftfeder auf die Momentendifferenz ΔM .

Anwendung des Modells auf verschiedene Knotentypen

INNENKNOTEN UNTER SYMMETRISCHER MOMENTENBELASTUNG

Da die Momentendifferenz ΔM in diesem Knoten gleich null ist, werden nur die Einleitungsfedern beansprucht. In Abb. 5 sind zwei Knotenausbildungen dargestellt, Fall a) mit Einleitungssteifen und Fall b) steifenlos.

Im steifenlosen Knoten treten, bedingt durch die Verformungen des Knotensteges, grössere Verdrehungen auf als beim Knoten mit Einleitungssteifen.

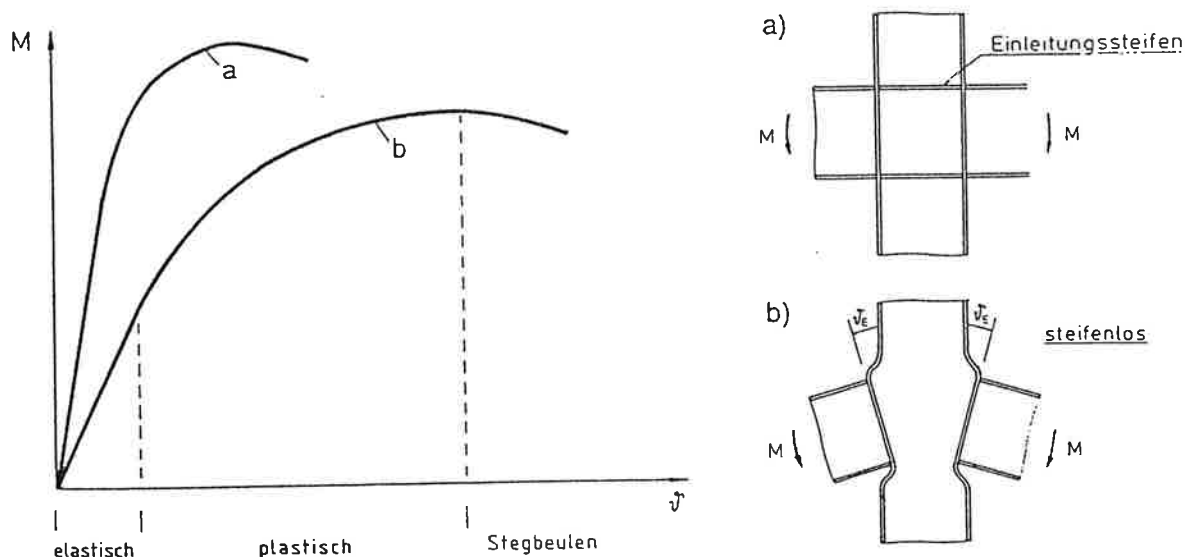


Abb. 5: Innenknoten unter symmetrischer Belastung.

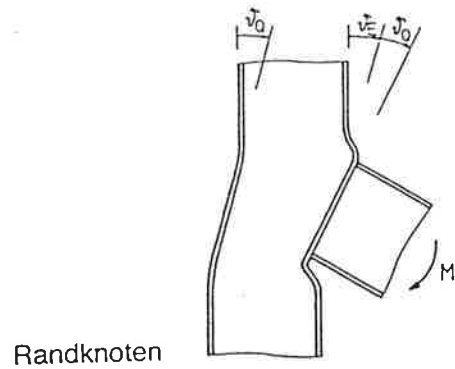
RANDKNOTEN

Für den Sonderfall eines Randknotens gilt $M_A = 0$, womit sich $\Delta M = M_A$ ergibt.

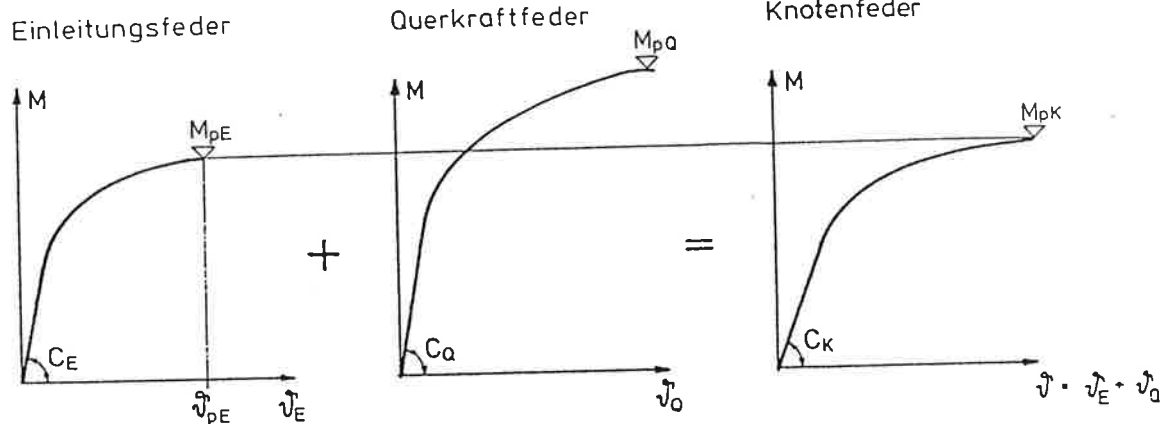
Grundsätzlich können in diesem Fall zwei Versagensarten auftreten, nämlich:

- Versagen auf Einleitung
- Versagen auf Querkraft

In Abb. 6 ist ein steifenloser Randknoten mit dem jeweiligen Momenten-Rotationsverhalten der Knotenfeder für Versagen auf Einleitung bzw. auf Querkraft dargestellt.



- Versagen auf Einleitung



- Versagen auf Querkraft

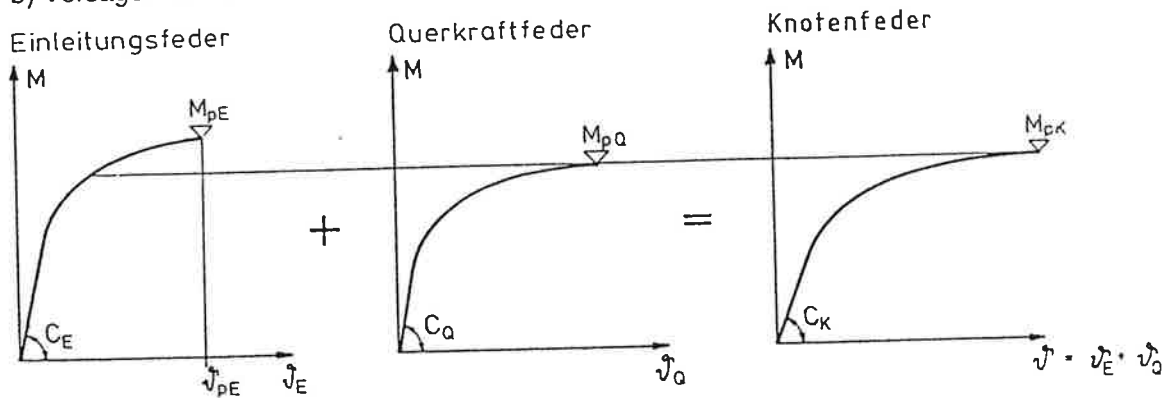


Abb. 6: Steifenlose Randknoten.

Die Gesamtverdrehung im Punkt A ergibt sich aus der Addition der Verdrehungsanteile aus Einleitung und Querkraft, wobei das aufnehmbare Moment M_{pK} im Knoten durch das plastische Grenzmoment der schwächeren Feder begrenzt wird (siehe Abb. 6).

Damit gilt allgemein

$$M_{pK} = \min(M_{pE}, M_{pQ}) \quad (1)$$

Bei steifenloser Ausbildung der Knoten versagt entweder die Einleitungs- oder die Querkraftfeder. Wenn das Versagen auf Querkraft massgebend wird, kann die Tragfähigkeit des Knotens durch das Einschweissen von Einleitungssteifen (Abb. 7) nicht gesteigert werden. Einleitungssteifen beeinflussen das Verhalten eines Knotens auf Querkraftbeanspruchung nicht.

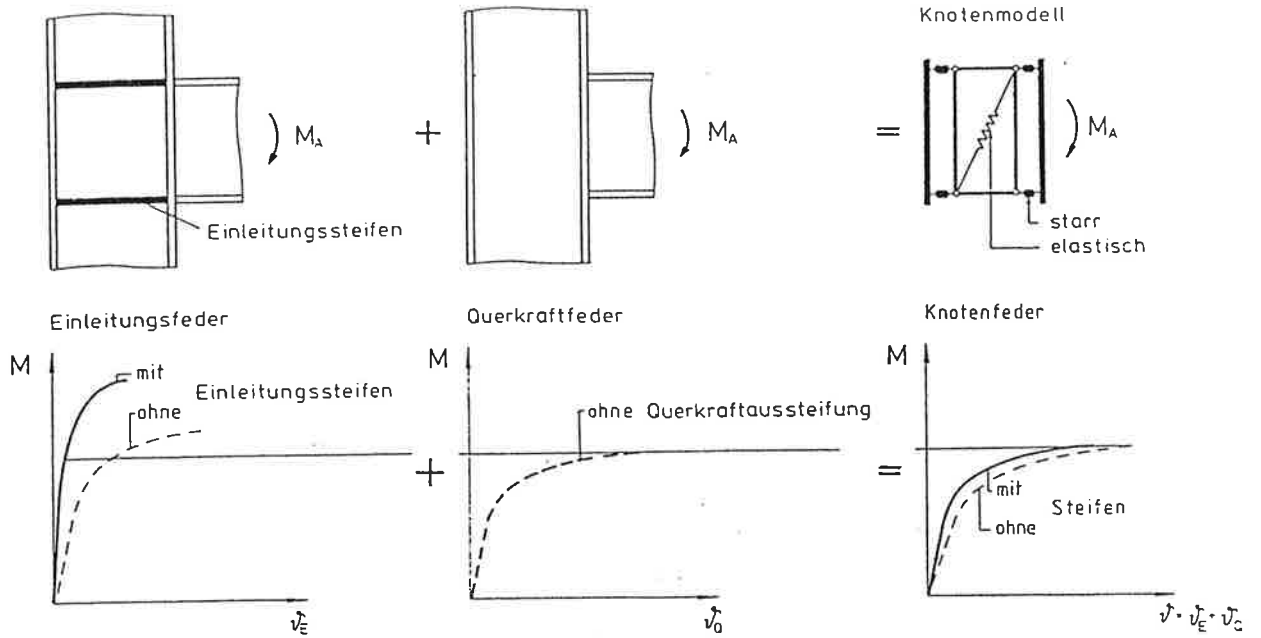


Abb. 7: Randknoten mit Einleitungssteifen.

Will man auch das Verhalten auf Querkraftbeanspruchung verbessern, muss entweder eine zusätzliche Diagonalsteife oder eine Stegverstärkung eingeschweisst werden (siehe Abb. 8).

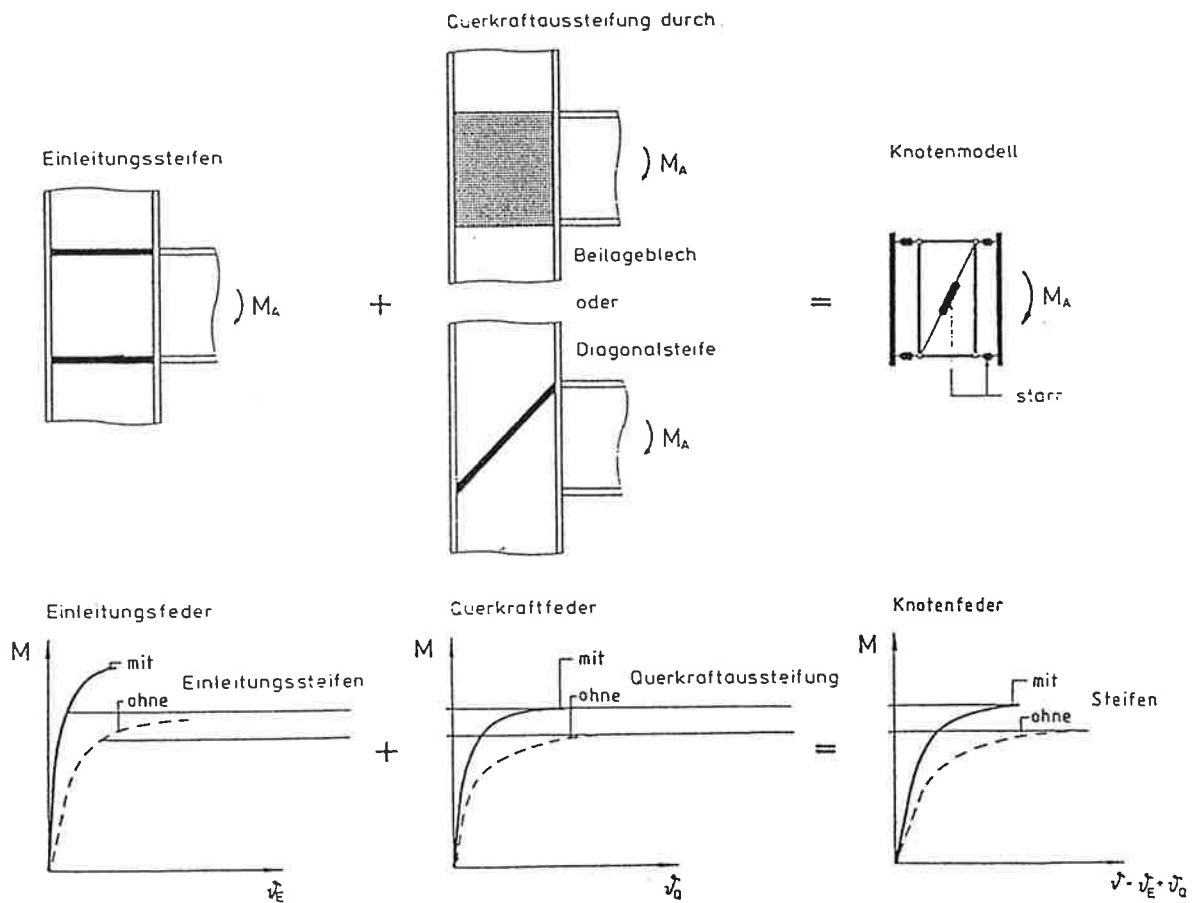


Abb. 8: Randknoten mit Einleitungssteifen und Querkraftaussteifung.

Die Versuche mit europäischen Walzprofilen nach [3] haben gezeigt, dass der Tragwiderstand des Knotens gegen Querkraft im allgemeinen höher liegt als der Tragwiderstand gegen Querkraft Q_{ps} des Stützenquerschnittes. Dies ist auch durch amerikanische Forschungen [8] bestätigt.

Für Randknoten wurde bisher vorgeschlagen [9], den Knotentragwiderstand über die Vergleichsspannungshypothese nach van Mises aus Eindrückung und Querkraft zu ermitteln. Diese Berechnungsmethode führt aber zu sehr konservativen Werten. Der Tragwiderstand des Knotens gegen Querkraft Q_{pk} liegt höher als der Tragwiderstand des Stützensteges Q_{ps} (1. Tragzustand) allein, weil auch die Flansche über Flanschbiegung Querkräfte aufnehmen können und die Ausbildung von plastischen Zonen mit Verfestigung im Stützensteg zu einer weiteren Erhöhung des Tragwiderstandes führt.

In Abb. 9 sind die einzelnen Anteile des Tragwiderstandes des Knotens dargestellt. Im Stützensteg des Knotens liefert das Querkraftfeld den bisher in Rechnung gestellten Anteil Q_{ps} (1. Tragzustand). Bei weiterer Verformungszunahme wird ein 2. Tragzustand aktiviert, in welchem die Fließgelenke in den Stützenflanschen (Abb. 9b) zusammen mit den plastischen Zonen und Verfestigungen im Stützensteg (Abb. 9c) weitere Tragwiderstands-Anteile liefern. Die Verformungen für die einzelnen Tragzustände können den Fotos der Prüfkörper mit aufgespritzten Rastern entnommen werden.

Einleitungssteifen oder Diagonalsteifen werden bei Kenntnis des tatsächlichen Tragverhaltens des Knotens in vielen Fällen überflüssig.

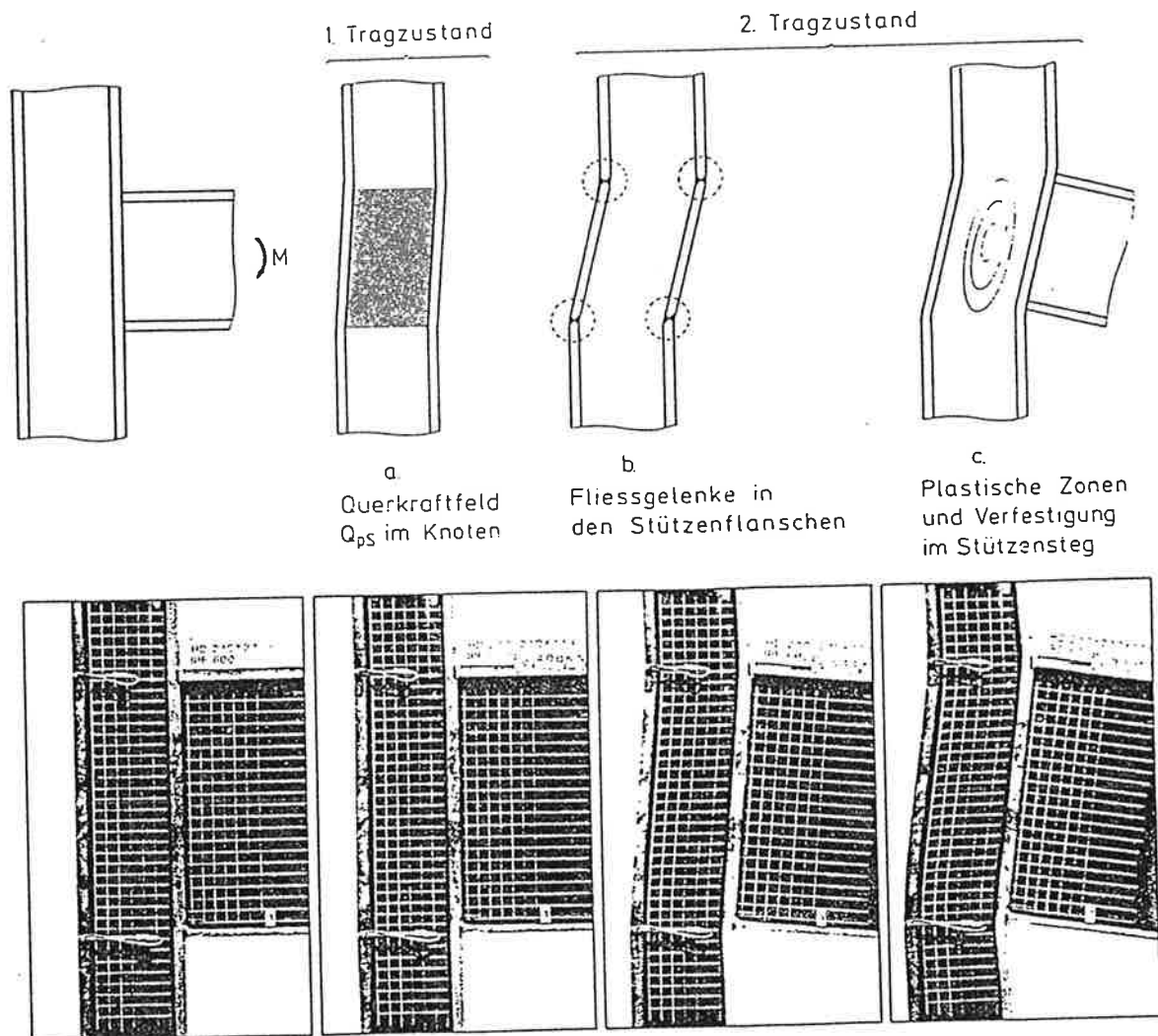
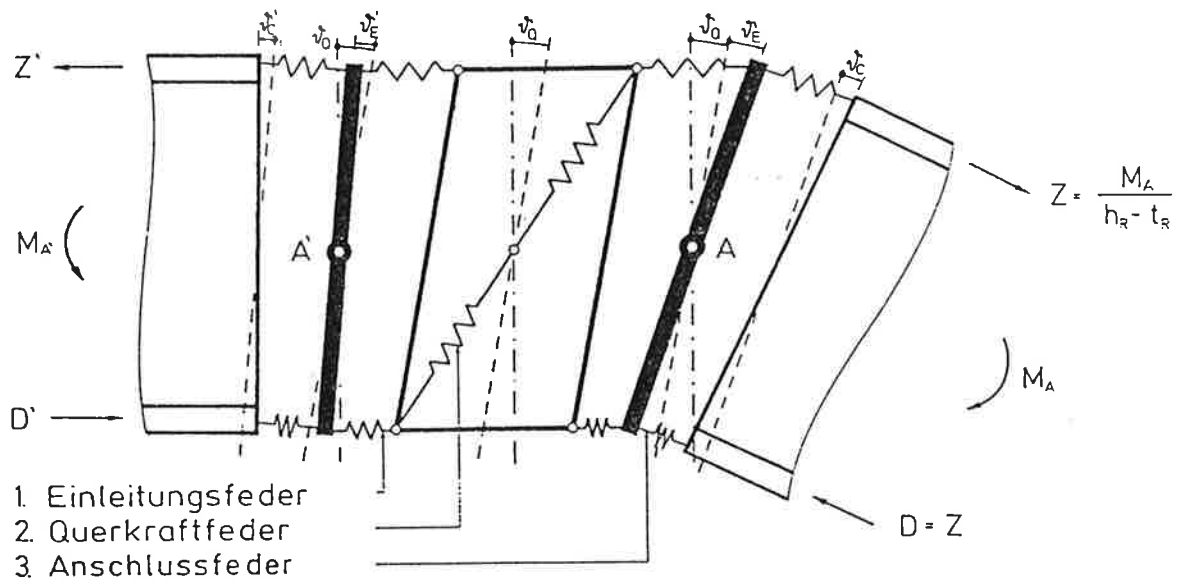


Abb. 9: Beiträge der einzelnen Profilverteile zum Tragwiderstand gegen Querkraft von Randknoten.

Nachgiebigkeit verschiedener Anschlusskonstruktionen

Bisher wurde die Nachgiebigkeit des Knotens selbst betrachtet. Je nach Art des Anschlusses der Riegel an den Knoten ist zusätzlich noch die Nachgiebigkeit der Anschlusskonstruktion zu berücksichtigen.

Dies kann im allgemeinen Knotenmodell durch eine weitere elastisch-plastische Feder für die Anschlusskonstruktion berücksichtigt werden (siehe Abb. 10). Diese Feder ist durch den Ursprungsanstieg C_C , den Tragwiderstand M_{pC} und eine allfällige Rotationsbegrenzung ϑ_{pC} gegeben.



Überlagerung für $M_A = 0$ dh. $\Delta M = M_A$

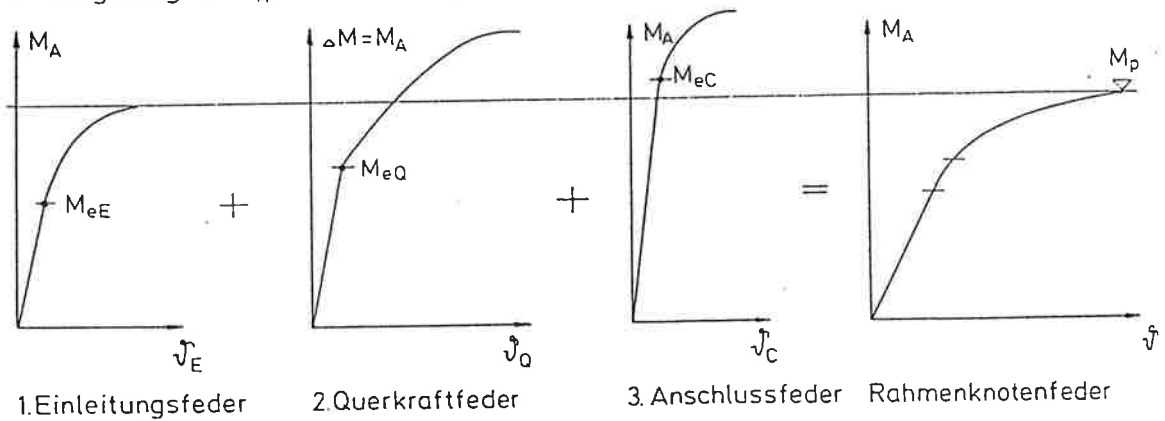


Abb. 10: Allgemeingültiges Federmodell.

Die Anschlusskonstruktionen können unterschiedlich ausgeführt werden und haben sehr stark variierende Nachgiebigkeiten. Einige Beispiele werden in Abb. 11 gezeigt.

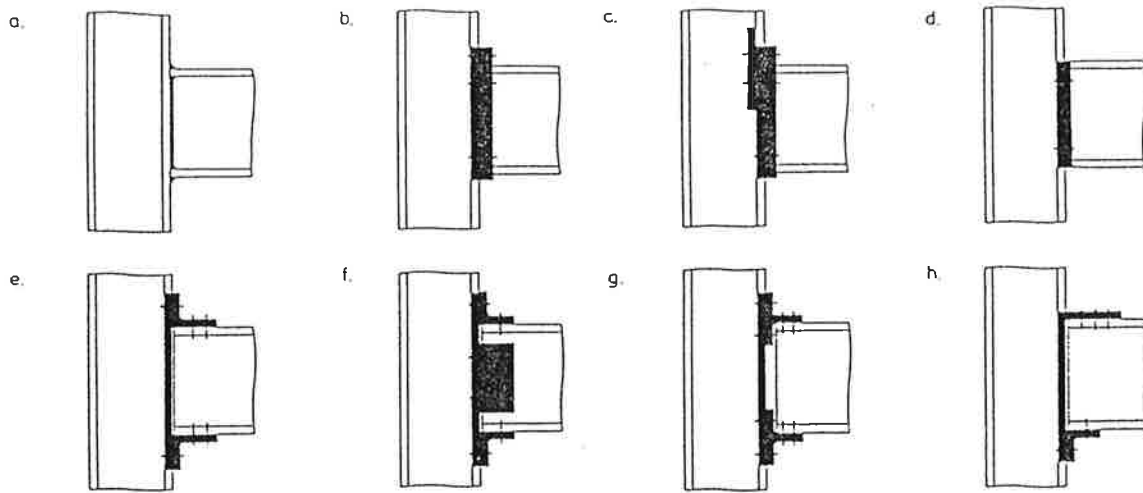


Abb. 11: Beispiele für Anschlusskonstruktionen
(die schwarz gekennzeichneten Bereiche sind Teile der Anschlusskonstruktion).

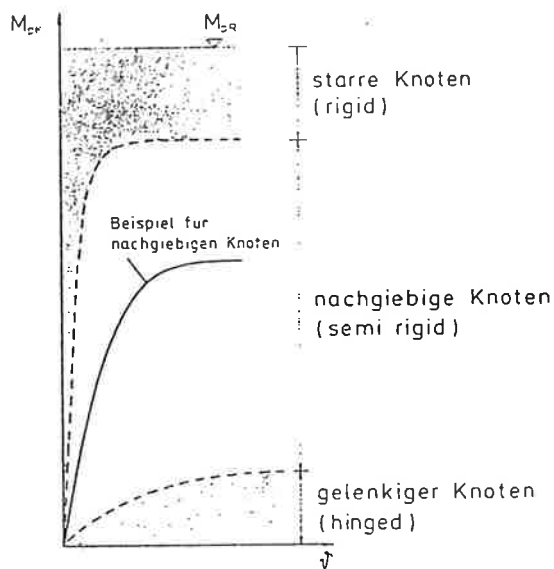


Abb. 12: M- θ -Verhalten der Knoten.

Die Nachgiebigkeit der Anschlusskonstruktion vergrößert die Gesamtverdrehung zu $\vartheta_0 + \vartheta_E + \vartheta_C$. Liegt die plastische Grenzlast der Anschlusskonstruktion unter der des Knotens, so wird diese für den Tragwiderstand des gesamten Knotens massgebend. Daher ist es sinnvoll, Tragwiderstand und Steifigkeit der Anschlusskonstruktion dem Tragwiderstand und der Steifigkeit des Knotens anzupassen. Betrachtet man das Gesamtverhalten eines Knotens inklusive Anschlusskonstruktion, so kann das M- θ -Verhalten in drei Gruppen zusammengefasst werden:

- starrer Knoten (rigid)
- nachgiebiger Knoten (semi rigid)
- gelenkiger Knoten (hinged)

Die Beispiele a, b, c, g und h von Abb. 11 sind als relativ steife Anschlüsse zu bezeichnen, während die Beispiele d (bei sehr dünnen Stirnplatten) sowie e und f einem gelenkigen Anschluss nahekommen.

Diese Arbeit behandelt nur solche Anschlusskonstruktionen, bei denen die Nachgiebigkeit ϑ_C gegenüber der Nachgiebigkeit des Knotens $\vartheta_0 + \vartheta_E$ vernachlässigt werden kann und bei denen zugleich der Tragwiderstand der Anschlusskonstruktion gleich oder grösser der des Knotens ist. Es sind dies

- geschweisste Anschlusskonstruktionen (Abb. 11a)
- Stirnplattenanschlüsse mit vorgespannten hochfesten Schrauben (Abb. 11b und c), wenn sie nach Abschnitt 5.3 dieser Arbeit nachgewiesen werden.

Für beliebige andere Anschlusskonstruktionen ist diese Arbeit sinngemäss anwendbar, wenn für die Anschlusskonstruktion die Steifigkeit C_C und der Tragwiderstand M_{pC} aus Versuchen bekannt sind.

CHARAKTERISTISCHE KNOTENKENNWERTE

Kennwerte der Einleitungsfeder

Elastischer Bereich

Das elastische Grenzdrehmoment M_{eE} kann in sehr guter Näherung allgemein wie folgt beschrieben werden (für A_e und A_{Steife} siehe Abb. 13):

$$M_{eE} = \underbrace{f_y \cdot A_e \cdot (h_R - t_R)}_{\text{Anteil Steg}} + \underbrace{f_y \cdot A_{Steife} \cdot (h_R - t_R)}_{\text{Anteil Steife}} \quad (2)$$

Der Anfangsanstieg C_E kann nach folgender Gleichung bestimmt werden:

$$C_E = \left(1 + \frac{A_{Steife}}{A_e} \right) \cdot \frac{(h_R - t_R)^2}{2} \cdot c_E \quad [\text{kNmm/rad}] \quad (3)$$

Bei angenommener Dimension kN und mm in Gleichung (3) ergab sich aus den Versuchsreihen, dass $c_E = 1200 \text{ kN/mm}$ für alle Profile gleich angesetzt werden kann.

Bei steifenlosen Knoten wird $A_{Steife} = 0$.

Plastischer Bereich

Das plastische Grenzmoment M_{pE} ergibt sich aus der folgenden Gleichung (für A_p siehe Abb. 13):

$$M_{pE} = f_y \cdot A_p \cdot (h_R - t_R) + f_y \cdot A_{Steife} \cdot (h_R - t_R) \quad (4)$$

Bei steifenlosen Knoten wird $A_{Steife} = 0$. Die plastischen Momente können den Tabellen im Anhang entnommen werden.

Die Grenzverdrehungen ϑ_{pE} wurden aus den Versuchen [3] ermittelt. Sie sind im Anhang für verschiedene Riegel-Stützenkombinationen zusammengestellt. Bei ausgesteiften Knoten braucht keine Rotationskapazität beachtet zu werden.

Kennwerte der Querkraftfeder

Elastischer Bereich

Das elastische Grenzmoment M_{eQ} ist erreicht, wenn im Stützenprofil im Bereich des Knotens die plastische Querkraft Q_{pS} auftritt. Dieses Moment kann nach folgender Gleichung bestimmt werden.

$$M_{eQ} = Q_{pS} \cdot (h_R - t_R) + \Delta Q_{pS} \cdot (h_R - t_R) \quad (5)$$

ΔQ_{pS} ergibt sich gemäss Abb. 14 bei Beilageblechen oder Diagonalaussteifungen im Knoten. Fehlen diese, wird $\Delta Q_{pS} = 0$.

Den Anfangsanstieg erhält man bei unausgesteiften Knoten aus der Gleichung:

$$C_Q = s_s \cdot (h_R - t_R) \cdot (h_S - t_S) \cdot G \quad [\text{kNmm/rad}] \quad (6)$$

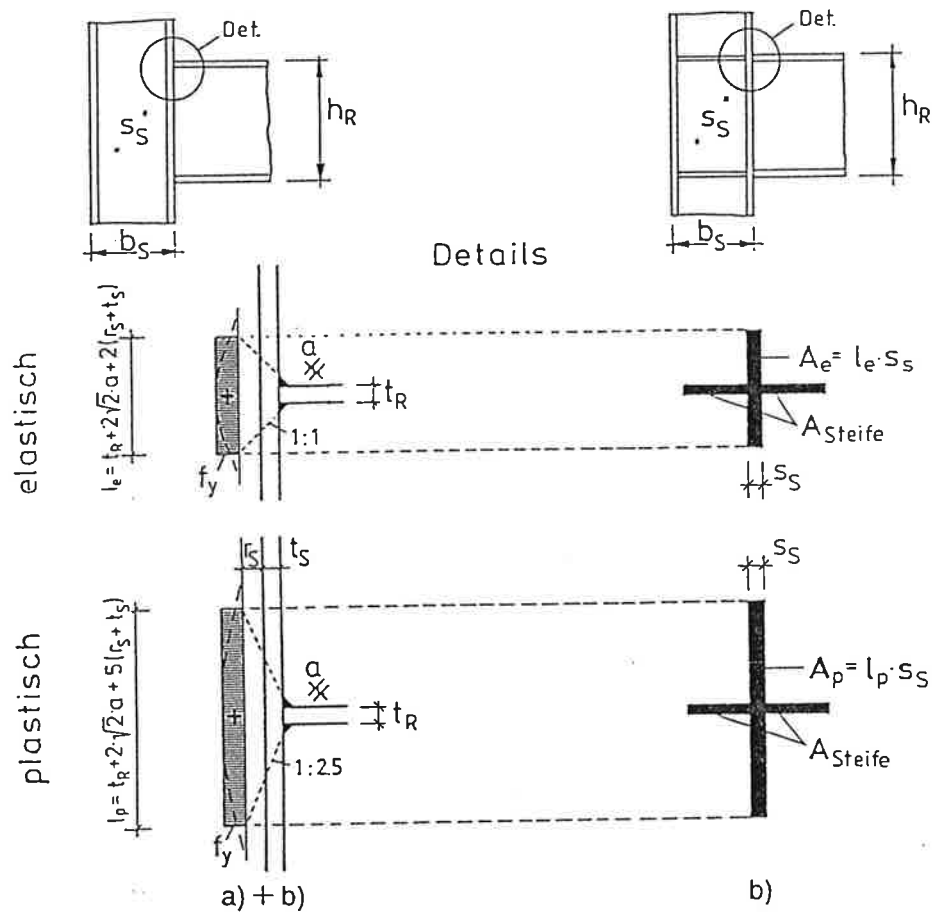
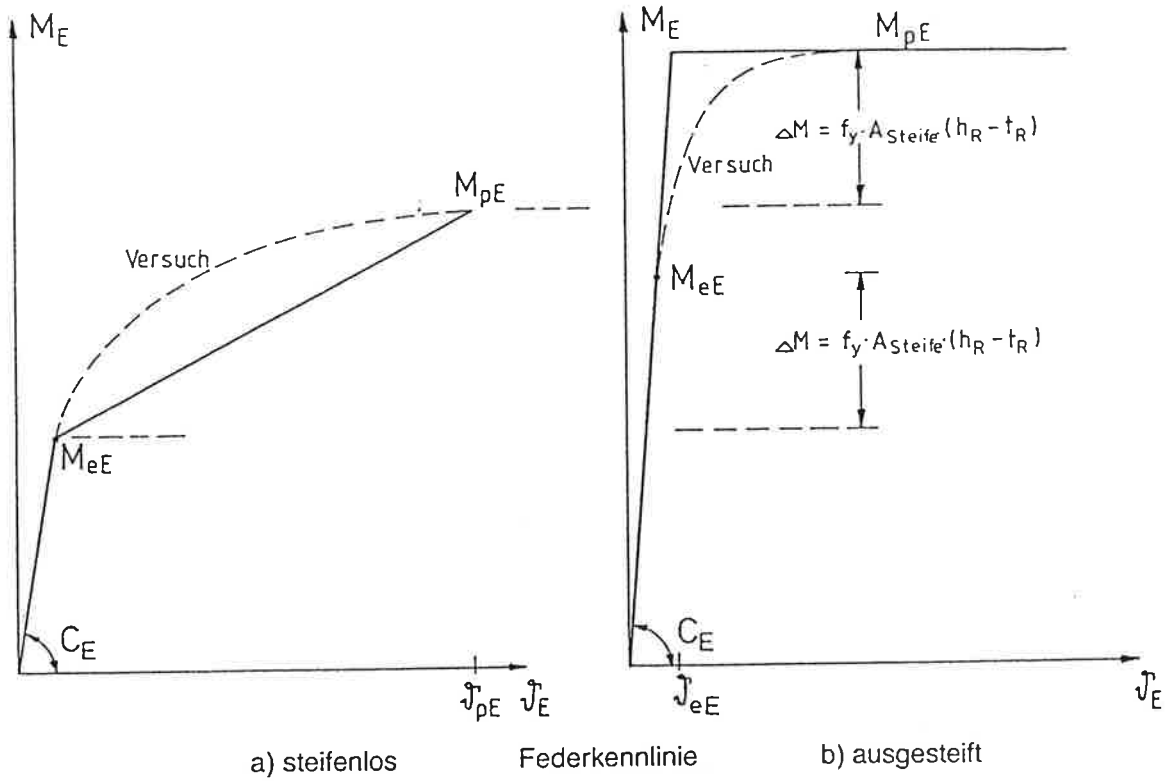
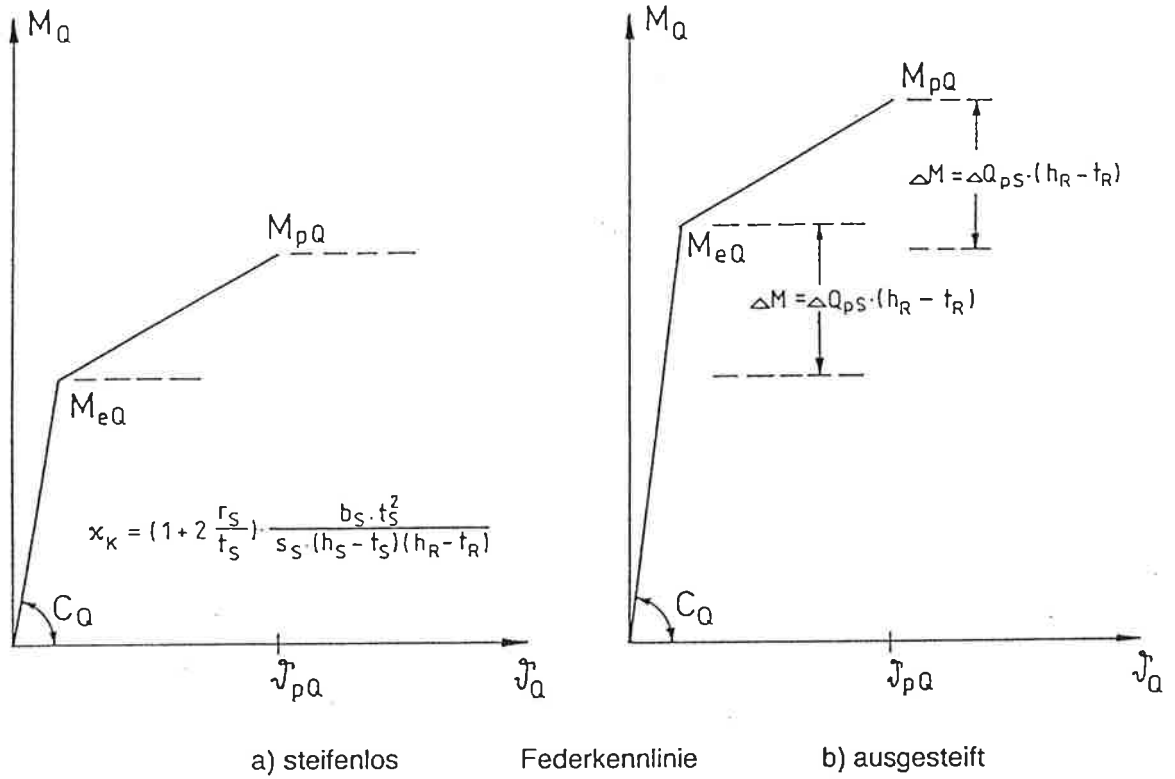
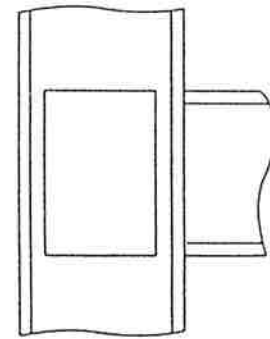
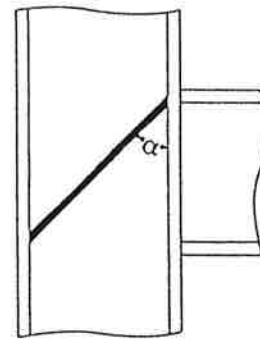
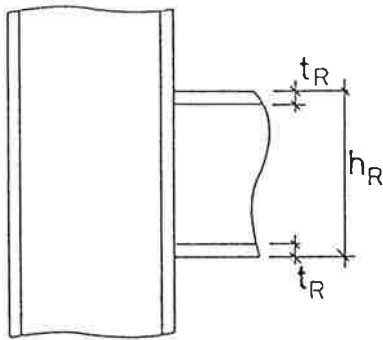
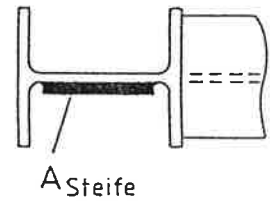
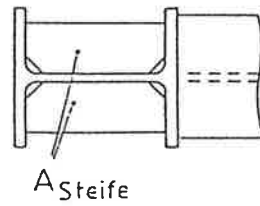
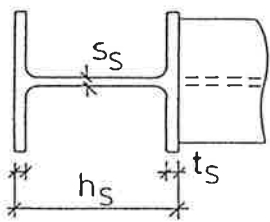


Abb. 13: Federkennlinie für Krafteinleitungsfeder.



$$x_K = \left(1 + 2 \frac{r_S}{t_S}\right) \frac{b_S \cdot t_S^2}{s_S \cdot (h_S - t_S) \cdot (h_R - t_R)}$$



$$\Delta Q_{PS} = A_{Steife} \cdot f_y \cdot \sin \alpha$$

$$\Delta Q_{PS} = A_{Steife} \cdot \frac{f_y}{\sqrt{3}}$$

a)

b)

Abb. 14: Federkennlinie für Querkraftfeder.

Bei Knoten mit Beilageblechen oder Diagonalsteifen kann die Drehfedersteifigkeit durch Einsetzen einer fiktiven Stegblechdicke \bar{s}_S anstelle von s_S in Gleichung (6) ermittelt werden:

$$\text{für Beilagebleche} \quad \bar{s}_S = s_S + \frac{A_{\text{Steife}}}{h_S - t_S}$$

$$\text{für Diagonalsteifen} \quad \bar{s}_S = s_S + \frac{A_{\text{Steife}} \cdot \sin \alpha \cdot \sqrt{3}}{h_S - t_S}$$

Zweckmässigerweise wird hier nicht die Steifigkeit C_O , sondern die Verdrehung ϑ_{eO} bei Erreichen des elastischen Grenzmomentes M_{eO} berechnet, da diese nach Gl. (6a) für jede Profilkombination konstant ist.

$$\vartheta_{eO} = \frac{M_{eO}}{C_O} = 1,73 \cdot 10^{-3} \text{ rad} \quad (6a)$$

Plastischer Bereich

Das plastische Grenzmoment M_{pO} kann nach [4] aus der Gleichung (7) bestimmt werden:

$$M_{pO} = \left(0,66 \cdot \left(1 + \frac{h_R - t_R}{240 \cdot t_S} \right) + 2,624 \cdot x_K \cdot \left(1 - \frac{0,024 \cdot t_S}{h_R - t_R} \right) \right) \cdot Q_{pS} \cdot (h_R - t_R) + \Delta Q_{pS} \cdot (h_R - t_R) \quad (7)$$

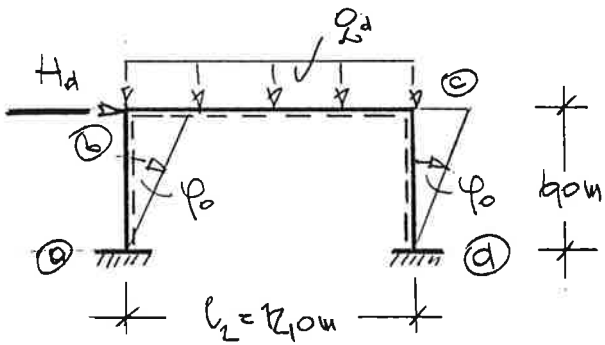
wobei x_K aus Abb. 14 entnommen werden kann.

Bei steifenlosen Knoten wird $\Delta Q_{pS} = 0$. Die plastischen Grenzmomente M_{pO} können den Tabellen im Anhang entnommen werden.

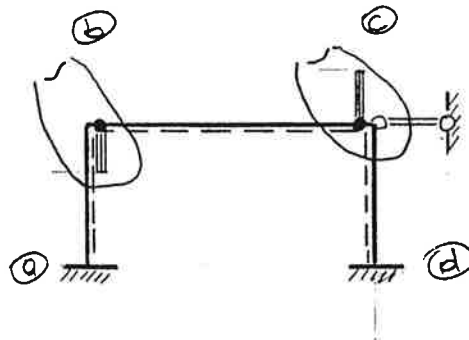
Die Grenzverdrehungen ϑ_{pO} wurden aus Versuchen [4] ermittelt. Für verschiedene Riegel-Stützenkombinationen sind sie im Anhang tabellarisch zusammengestellt. Diese „Grenzverdrehung“ ist keine Grenze an sich, sie dient zur rechnerischen Ermittlung der Federkennwerte. Die Rotationskapazität des Knotens ist aus der Querkraftbeanspruchung praktisch unbegrenzt (Abb. 14).

3.5 Schematischer Ablauf der Berechnung - nachgiebige Knoten

SYSTEM UND BELASTUNG



VOLLEINSPANNZUSTAND

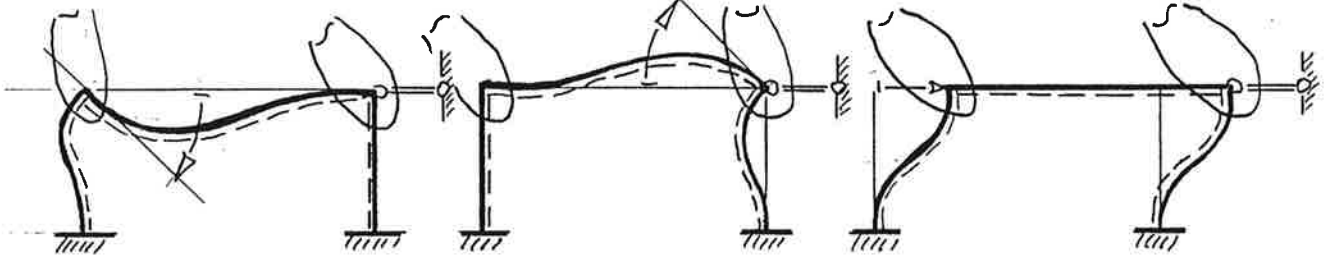


EINHEITSVERFORMUNGEN

LF: $\varphi_b = 1$

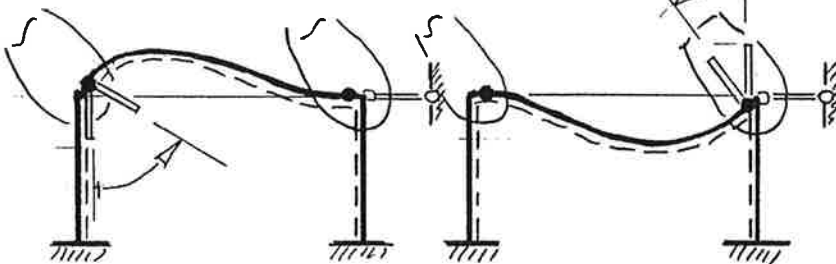
LF: $\varphi_c = 1$

LF: $\varphi_e = 1$



LF: $\varphi_b = 1$

LF: $\varphi_c = 1$

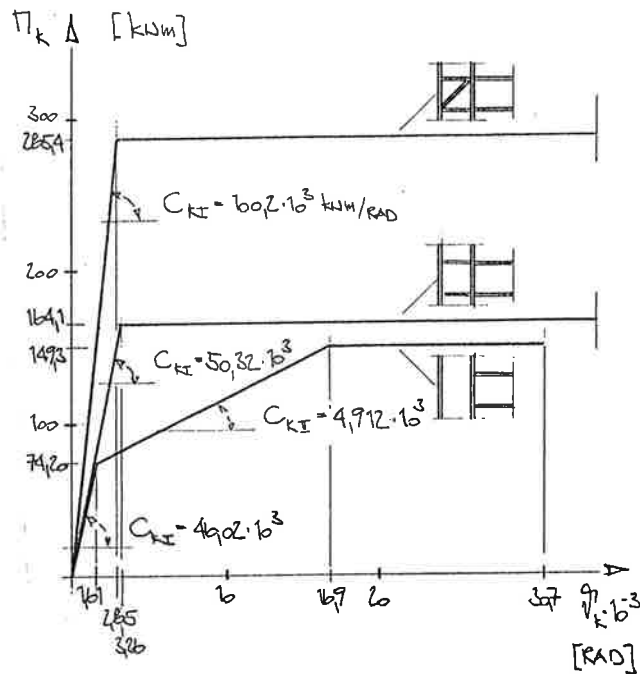


VOLLEINSPANNZUSTAND

LF: Q_d, H_d, φ_0

FEDERCHARAKTERISTIKA - TRAGLASTZUSTAND

KNOTENFEDER

ALEICHUNGSSYSTEM

$$a_{11} \cdot \varphi_b + a_{12} \cdot \varphi_c + a_{13} \cdot v_c + a_{14} \cdot \dot{\varphi}_b + a_{15} \cdot \dot{\varphi}_c + a_{10} = \ddot{\varphi}$$

$$a_{21} \cdot \varphi_b + a_{22} \cdot \varphi_c + a_{23} \cdot v_c + a_{24} \cdot \dot{\varphi}_b + a_{25} \cdot \dot{\varphi}_c + a_{20} = \ddot{\varphi}$$

$$a_{31} \cdot \varphi_b + a_{32} \cdot \varphi_c + a_{33} \cdot v_c + a_{34} \cdot \dot{\varphi}_b + a_{35} \cdot \dot{\varphi}_c + a_{30} = \ddot{\varphi}$$

$$a_{41} \cdot \varphi_b + a_{42} \cdot \varphi_c + a_{43} \cdot v_c + a_{44} \cdot \dot{\varphi}_b + a_{45} \cdot \dot{\varphi}_c + a_{40} = -M_{bc}(\dot{\varphi}_b)$$

$$a_{51} \cdot \varphi_b + a_{52} \cdot \varphi_c + a_{53} \cdot v_c + a_{54} \cdot \dot{\varphi}_b + a_{55} \cdot \dot{\varphi}_c + a_{50} = M_{cb}(\dot{\varphi}_c)$$

SCHNITTGRÖSSEN M, Q, N

3.6 Nachweise

Nach dem Berechnungsverfahren

Für das Berechnungsverfahren Elastisch-Elastisch erfolgt der Tragsicherheitsnachweis auf Spannungsebene, für die Verfahren Elastisch-Plastisch und Plastisch-Plastisch auf Schnittkraftebene, wobei hier die M-Q-N-Interaktion einzuhalten ist.

Nachweis von $\text{grenz}(b/t)$

Er dient der Vermeidung des lokalen Beulens und ist abhängig vom verwendeten Berechnungsverfahren. Hier erfolgt dieser Nachweis - für alle Beispiele - nur bei den Berechnungsverfahren Plastisch-Plastisch, da allen Beispielsgruppen jeweils konstante Querschnitte (I PE 360 und I PE 400) zugrundeliegen und sowohl die Beanspruchungen als auch die Bestimmungen für die $\text{grenz}(b/t)$ -Werte im Verfahren Plastisch-Plastisch am ungünstigen sind.

Biegedrillknicknachweis

Da bei einem Normalkraftverhältnis von $(N_d / N_{pl,d}) \leq 0.10$ kein Einfluß auf die Schnittkraftinteraktion (Berechnungsverfahren Elastisch-Plastisch und Plastisch-Plastisch) gegeben ist, können sich bei der Erfüllung des Biegedrillknicknachweises besonders deshalb Probleme ergeben - vor allem in Bereichen der vollen Auslastung (Fließgelenken) -, da dieser Effekt (kein Einfluß auf die Schnittkraftinteraktion) nur teilweise in den Biegedrillknicknachweis einfließt. Stäbe mit geringer Normalkraft, das sind jene für die $N_d / (\kappa * N_{pl,d}) < 0.10$ ist, dürfen unter Vernachlässigung dieser Normalkraft nachgewiesen werden. Hier wird jedoch die Geringfügigkeit der Normalkraft plötzlich abhängig von κ (κ hängt ab von der bezogenen Schlankheit, dem Querschnitt und von der Ausweichrichtung).

Verformungen

TRAGLASTZUSTAND

Verformungen sind nur im Falle des Berechnungsverfahrens Plastisch-Plastisch nachzuweisen, und auch hier nur die maximale Rotation, die durch die Grenzrotation ($\text{grenz } \rho = 0.07 \dots 0.13$ rad für Stahlprofile - nach [3]) beschränkt ist. Diese Bedingung ist in der Regel erfüllt und war auch bei den berechneten Beispielen nie maßgebend. Eine weitere Begrenzung der Rotation tritt bei steifenlosen Knotenausbildungen auf - siehe [8] -, die jedoch über die Federcharakteristik direkt in die plastische Traglastermittlung einfließt.

GEBRAUCHSLASTZUSTAND

Für den Nachweis der Gebrauchstauglichkeit (unter den Gebrauchslasten) werden die Verformungen w und v_c ermittelt. Die maximale horizontale Riegelverschiebung v_c fällt bei dieser Form der Deformationsmethode direkt an (grenz $v_c = h/150 = 4.0 \text{ cm}$ - [4]). Die vertikale Riegeldurchbiegung w wird an der Stelle des maximalen Riegelfeldmomentes bestimmt, wobei die Tabellen aus [10], für Theorie I. und II. Ordnung, ihre Anwendung finden. Begrenzt ist die Riegeldurchbiegung mit grenz $w = 1/200 = 6 \text{ cm}$ - [4] - für diese Beispiele.

4. SCHLUSSFOLGERUNGEN

4.1 Allgemeines

In den Tabellen 4.2.1, 4.2.2, 4.2.3 und 4.2.4 sind für die Beispiele 1 bis 4 - ideal starre Knoten - die maximalen Bemessungslasten q_d und die maximalen Gebrauchslasten q_{zul} mit den jeweils dazugehörenden Verformungen w (Riegeldurchbiegung an der Stelle des max. Feldmomentes) und v_c (Horizontalverschiebung des Knotens c bzw. des Riegels) zusammengestellt, getrennt nach den globalen Systembertachtungen Theorie I. Ordnung und Theorie II. Ordnung (exakt und nach den Näherungsverfahren α und β) und gegliedert nach den Berechnungsverfahren Elastisch-Elastisch, Elastisch-Plastisch und Plastisch-Plastisch. Für den Gebrauchslastzustand, das ist der entsprechende Lastzustand mit den Teilsicherheitsbeiwerten $\gamma_F=1,0$, $\gamma_M=1,0$ und $\psi=1,0$ - sie sind den entsprechenden Fachnormen zu entnehmen - , befinden sich die graphischen Darstellungen der Größen q_{zul} , w und v_c in den Diagrammen 4.2.5 und 4.2.6.

Die Tabelle 4.3.1 enthält für Theorie II. Ordnung (exakte Berechnung) den Vergleich zwischen dem ideal starren Knoten, anhand des Beispiels 4, und dem nachgiebigen Knoten (steifenloser Knoten, Knoten mit Einleitungssteifen und Knoten mit Einleitungs- und Querkraftsteifen) -je nach Knotenausbildung (Beispiel 5)-, gegliedert nach den Berechnungsverfahren Elastisch-Elastisch, Elastisch-Plastisch und Plastisch-Plastisch. Dargestellt sind wieder die maximalen Bemessungslasten q_d , die maximalen Gebrauchslasten q_{zul} und die jeweils dazugehörenden Verformungen w und v_c . Diagramm 4.3.2 gibt diese Werte für den Gebrauchslastzustand graphisch wieder.

4.2 Ideal starre Knoten

Einfluß der Vorverformung φ_0

Je nach Globalanalyse des Systems (Theorie I. oder II. Ordnung), bei Theorie II. Ordnung zusätzlich auch je nach dem gewählten Berechnungsverfahren (entweder Elastisch-Elastisch oder Elastisch-Plastisch bzw. Plastisch-Plastisch), sind unterschiedliche Vorverformungen φ_0 anzusetzen. Da die Vorverformungen im Falle der Theorie I. Ordnung am geringsten sind, ergeben sich in Fällen in denen die Theorie I. Ordnung anwendbar ist geringfügig größere maximale Bemessungslasten q_d als nach Theorie II. Ordnung. Die Verformungen w und v_c bei Theorie II. Ordnung sind - wie zu erwarten - etwas größer als bei Theorie I. Ordnung bzw. auch gleich.

a) Elastische Systemberechnung

nach Theorie I. Ordnung und Theorie II. Ordnung, getrennt nach den Berechnungsverfahren Elastisch-Elastisch und Elastisch-Plastisch.

Für $N_d/N_{d,Ki} \leq 0,10$ darf nach Theorie I. Ordnung, für $N_d/N_{d,Ki} > 0,10$ muß nach Theorie II. Ordnung gerechnet werden. Bei allen Beispielen war die Berechnung nach Theorie I. Ordnung möglich. Im nachfolgendem werden die Ergebnisse der Theorie II. Ordnung (exakte Berechnung) mit jenen der beiden Näherungsverfahren der Theorie II. Ordnung, α -Verfahren und β -Verfahren, verglichen.

α -Verfahren

Bei diesem Näherungsverfahren für die Theorie II. Ordnung werden die nach Theorie I. Ordnung ermittelten Schnittkräfte aus dem Verschiebungszustand mit dem Faktor α vergrößert ($\alpha = 1/(1 - N/N_{Ki})$) und die Nachweise auf Spannungs- bzw. Schnittkraftebene (Interaktion) durchgeführt.

Das α -Verfahren beschreibt die Theorie II. Ordnung für die betrachteten Beispiele sehr gut, wobei folgendes ersichtlich ist:

Bei den eingespannten Rahmen (Beispiel 1 und 4) gleichen die Verformungen jenen nach Theorie II. Ordnung, die Bemessungslasten q_d sind jedoch etwas höher. Bei den gelenkigen Rahmen (Beispiel 2 und 3) stimmen die Bemessungslasten überein bzw. sind sie geringfügig niedriger als nach Theorie II. Ordnung. Die Verformungen sind gleich bzw. etwas größer als nach der exakten Methode.

β -Verfahren

Auch das β -Verfahren oder sogenannte Ersatzstabverfahren stellt eine Näherung der Theorie II. Ordnung dar. Wiederum von den Schnittgrößen nach Theorie I. Ordnung ausgehend, wird für die einzelnen Stäbe ein Biegeknicknachweis geführt, wobei die zu den entsprechenden Stabwerken gehörenden Knicklängen anzusetzen sind.

Die nach diesem Verfahren ermittelten Bemessungslasten q_d liegen generell und unabhängig von System und Belastung unter jenen nach Theorie II. Ordnung (exakte Methode) oder jenen nach dem α -Verfahren berechneten Werten, bei Zugrundelegung des Berechnungsverfahrens Elastisch-Plastisch und des Eurocode. Durch die geringere max. Bemessungslast q_d sind natürlich auch die Verformungen geringer als jene, die sich nach den anderen Verfahren (Theorie II. Ordnung, α -Verfahren) ergeben.

Zum Vergleich wurde auch die Berechnung nach der Ö-NORM vorgenommen, wobei die Einordnung unter dem Berechnungsverfahren Elastisch-Elastisch erfolgte. Die Erhöhung der Widerstandsmomente um den Faktor 1,07 wurde, sofern dies zulässig war, in Rechnung gestellt. Ein Vergleich mit den nach den anderen Methoden ermittelten Lasten und Verformungen ist jedoch nur auf der Gebrauchslastebene möglich, da die Ö-NORM zur Zeit

noch grundsätzlich auf Gebrauchslasten basiert. Die nach der Ö-NORM berechneten Gebrauchslasten q_{zul} und entsprechenden Verformungen liegen nun zwischen den Werten nach dem Berechnungsverfahren Elastisch-Elastisch und Elastisch-Plastisch.

b) plastische Systemberechnung

nach Theorie I. und II. Ordnung, wobei für $N_d/N_{d,Ki} \leq 0,10$ nach Theorie I. Ordnung gerechnet werden darf und für $N_d/N_{d,Ki} > 0,10$ nach Theorie II. Ordnung vorzugehen ist.

Fließgelenktheorie I. Ordnung

Für alle Systeme und Belastungsverhältnisse war sie unzulässig, da infolge der höheren Traglasten im plastischen Zustand das Kriterium $N_d/N_{d,Ki} \leq 0,10$ nicht mehr einhaltbar war. In diesem Zusammenhang sei auf die Neuerscheinung [11] verwiesen, in der dargelegt wird, daß das Kriterium für die Anwendung der Fließgelenktheorie I. Ordnung im Einzelfall zu ungünstig ist, da das Kriterium alle möglichen Fälle abzudecken hat. Für den eingeschobigen und einfeldigen Rahmen, der durch eine horizontale Einzellast und durch eine gleichmäßig verteilte Riegelast beansprucht wird, findet sich in [11] ein günstigeres Kriterium in Abhängigkeit vom Lastverhältnis $H/(q \cdot l)$ und vom Verhältnis des plastischen Stielmomentes zum plastischen Rieglmoment.

Fließgelenktheorie II. Ordnung

Je größer die Anzahl der sich ausbildenden Fließgelenke ist, umso höher ist die Traglast (größere plastische Systemreserve), wobei die Anzahl der möglichen Fließgelenke auch vom Lastverhältnis abhängt (vergleiche Beispiel 1 und 4).

Begrenzt war die plastische Traglast der Systeme (unabhängig vom Lastverhältnis) durch die Ausbildung einer kinematischen Balkenkette im Riegel, Stabilitätsversagen trat nicht ein, sodaß hier gilt:

$$\text{plast. TRAGLAST} = \text{plast. GRENZLAST.}$$

Unter der plastischen Traglast wird jene Last verstanden, bei der die Systemdeterminante zu Null wird. Hingegen ist jene Last, bei der das kinematische System auftritt, die plastische Grenzlast. Üblicherweise gilt: $\text{plast. Traglast} \geq \text{plast. Grenzlast}$.

Bezüglich der maximalen Rotation - sie tritt im Beispiel 5 auf - gilt:

$$\max \rho = 0.040 \leq 0.07 \dots 0.13 \text{ rad - nach [3].}$$

Die wesentlichen Voraussetzungen für die Ausnutzung der plastischen Traglast sind - die notwendigen Rotationsfähigkeiten der Querschnitte vorausgesetzt - die erforderlichen Biegedrillknickhalterungen. Mit steigender Traglast werden immer engere Kipphalterungen erforderlich, die im Grenzfall - bei den Fließgelenken - sehr eng liegen (1,0 m).

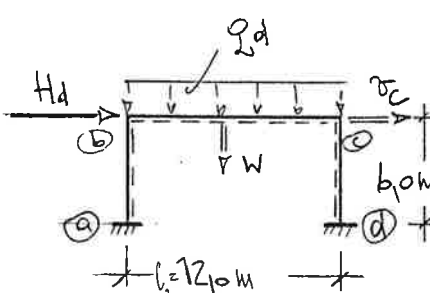
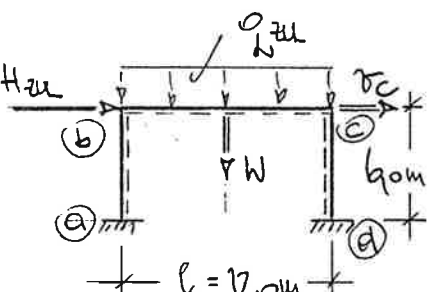
c) Belastungs-Verformungs - Verhalten

Zugrundegelegt sind Beispiel 1 (eingespannte Stiele) und Beispiel 2 (gelenkiggelagerte Stiele) ein Lastverhältnis von $(q_d * 1)/H_d = 10$ und Beispiel 3 (gelenkiggelagerte Stiele) und Beispiel 4 (eingespannte Stiele) ein Lastverhältnis von $(q_d * 1)/H_d = 5$.

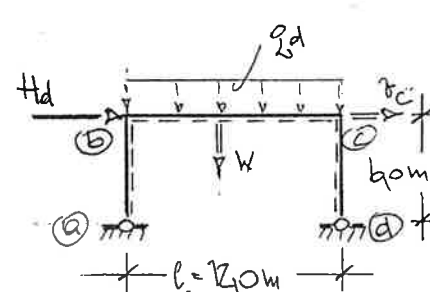
Durch den geringen Einfluß der Theorie II. Ordnung und das rein elastische Systemverhalten (es tritt kein Plastizieren auf) unter den Gebrauchslasten ergeben sich lineare Zusammenhänge zwischen den Gebrauchslasten q_{zul} und den Verformungen w bzw. v_e , was aus den Diagrammen 4.2.5 und 4.2.6 sehr gut ersichtlich ist. Der Einfluß der Stiellagerungen wirkt sich sehr deutlich aus, ersichtlich in den q_{zul} - v_e - Diagrammen, sodaß für Beispiel 2 die größte Horizontalverformung ($\max v_e = 3.9 \text{ cm}$) gerade noch kleiner als die zulässige Grenzverschiebung ($\text{grenz } v_e = 4.0 \text{ cm}$) ist.

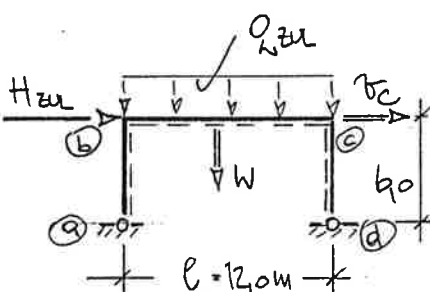
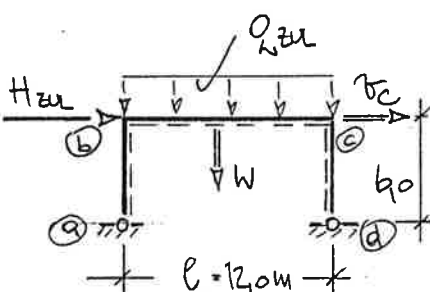
Für die vergrößerte Horizontalkraft (Beispiel 3) treten bereits so große Horizontalverschiebungen auf ($\max v_e = 5.7$), daß die Bedingung $v_e \leq \text{grenz } v_e$ nur mehr für das Berechnungsverfahren Elastisch-Elastisch erfüllbar ist ($v_e = 3.9 \text{ cm}$). In diesem Fall ist eine plastische Ausnutzung des Systems, und sogar die des Querschnittes, durch den Gebrauchstauglichkeitsnachweis beschränkt.

4.2.1 Bemessungs- und Gebrauchslasten - Beispiel 1

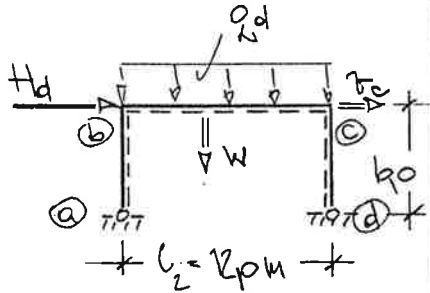
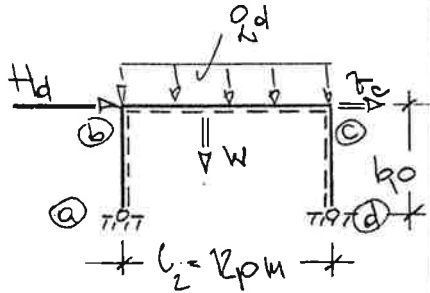
BEMESSUNGSLAST			EE	EP	PP	SYSTEM
H.I. ORD.	EXAKT	q_d kN/m	16,7	290	$\frac{N}{N_{ki}} > 0,1$	<div style="border: 1px solid black; padding: 5px; width: fit-content; margin: 0 auto;"> $\frac{q_d \cdot l_2}{H_d} = 1,0$ </div>  <p>IPE 360 St 37 $H_d = \frac{q_d \cdot l_2}{b}$ W ... STELLE max Π_{FELD} q_d, H_d .. γ_F-FACHE BEMESSUNGSLAST</p>
		W cm	4,7	5,6		
		σ_c cm	1,0	1,2		
THEORIE II ORDNUNG	EXAKT	q_d kN/m	16,5	19,7	23,8	/
		W cm	5,2	6,3	11,5	
		σ_c cm	1,1	1,3	3,7	
	N-VERF.	q_d kN/m	16,7	19,9		
		W cm	5,2	6,2		
		σ_c cm	1,1	1,3		
	S-VERF.	q_d kN/m	-	18,5		
		W cm	-	5,8		
		σ_c cm	-	1,2		
GEBRAUCHSLAST			EE	EP	PP	SYSTEM
H.I. ORD.	EXAKT	q_{zul} kN/m	12,37	14,81	$\frac{N}{N_{ki}} > 0,1$	 <p>IPE 360 St 37 $H_{zul} = \frac{q_{zul} \cdot l_2}{b}$ W ... STELLE max Π_{FELD} (*) NACH 0-NORM B 4600 mit $(1,07 \cdot W_{el})$</p>
		W cm	3,5	4,2		
		σ_c cm	0,68	0,82		
THEORIE II ORDNUNG	EXAKT	q_{zul} kN/m	12,22	14,59	17,63	/
		W cm	3,5	4,2	5,1	
		σ_c cm	0,68	0,82	1,0	
	N-VERF.	q_{zul} kN/m	12,37	14,74		
		W cm	3,5	4,2		
		σ_c cm	0,70	0,84		
	S-VERF.	q_{zul} kN/m	13,55 ^(*)	13,70		
		W cm	3,9	3,9		
		σ_c cm	0,75	0,76		

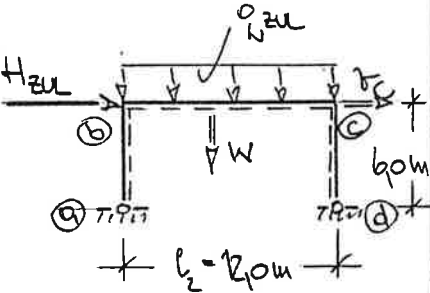
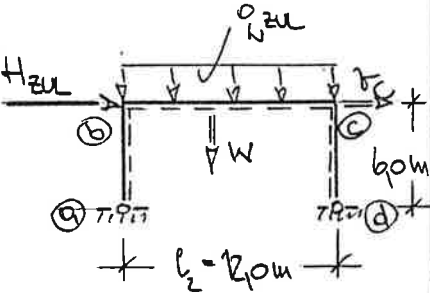
4.2.2 Bemessungs- und Gebrauchslasten - Beispiel 2

BEMESSUNGSLAST			EE	EP	PP	SYSTEM
TH. I. ORD.	EXAKT	q_d kN/m	14,6	17,5	$\frac{N}{N_k} > 0,1$	$\frac{q_d \cdot l_2}{H_d} = 10$
		W cm	4,3	6,1		
		b_c cm	4,1	5,0		
THEORIE II. ORDNUNG	EXAKT	q_d kN/m	14,2	16,9	19,2	 <p> IPE 360 St 37 $H_d = \frac{q_d \cdot l_2}{10}$ W ... STELLE max Π FELD q_d, H_d ... σ_F - FACHE BEMESSUNGSLAST </p>
		W cm	5,0	6,0	9,4	
		b_c cm	4,4	5,4	14,0	
	α -VERF.	q_d kN/m	14,2	16,9	/	
		W cm	5,0	5,9		
		b_c cm	4,4	5,4		
	β -VERF.	q_d kN/m	-	15,1	/	
		W cm	-	5,3		
		b_c cm	-	4,4		

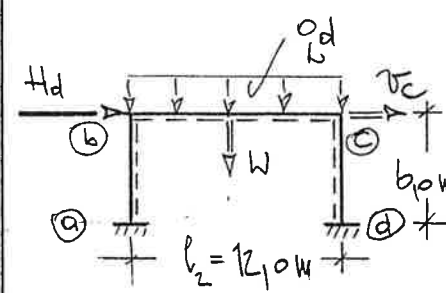
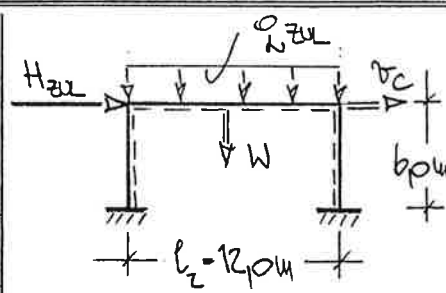
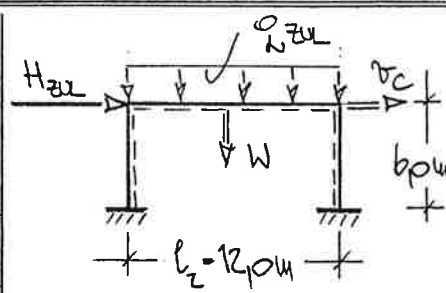
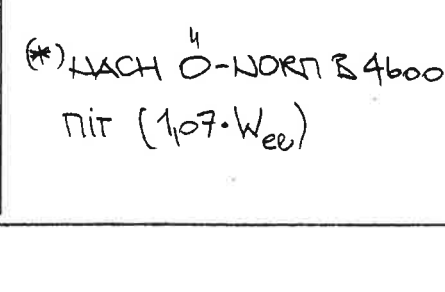
GEBRAUCHSLAST			EE	EP	PP	SYSTEM
TH. I. ORD.	EXAKT	q_{zul} kN/m	10,81	12,76	$\frac{N}{N_k} > 0,1$	 <p> IPE 360 St 37 $H_{zul} = \frac{q_{zul} \cdot l_2}{10}$ W ... STELLE max Π FELD (*) NACH 0-NORM B 4600 mit (1,07 · Wee) </p>
		W cm	3,4	4,1		
		b_c cm	2,7	3,3		
THEORIE II. ORDNUNG	EXAKT	q_{zul} kN/m	10,52	12,52	14,22	 <p> IPE 360 St 37 $H_{zul} = \frac{q_{zul} \cdot l_2}{10}$ W ... STELLE max Π FELD (*) NACH 0-NORM B 4600 mit (1,07 · Wee) </p>
		W cm	3,4	4,0	4,6	
		b_c cm	2,8	3,4	3,9	
	α -VERF.	q_{zul} kN/m	10,52	12,52	/	
		W cm	3,3	4,0		
		b_c cm	2,9	3,5		
	β -VERF.	q_{zul} kN/m	11,54 ^(*)	11,19	/	
		W cm	3,7	3,6		
		b_c cm	2,9	2,8		

4.2.3 Bemessungs- und Gebrauchslasten - Beispiel 3

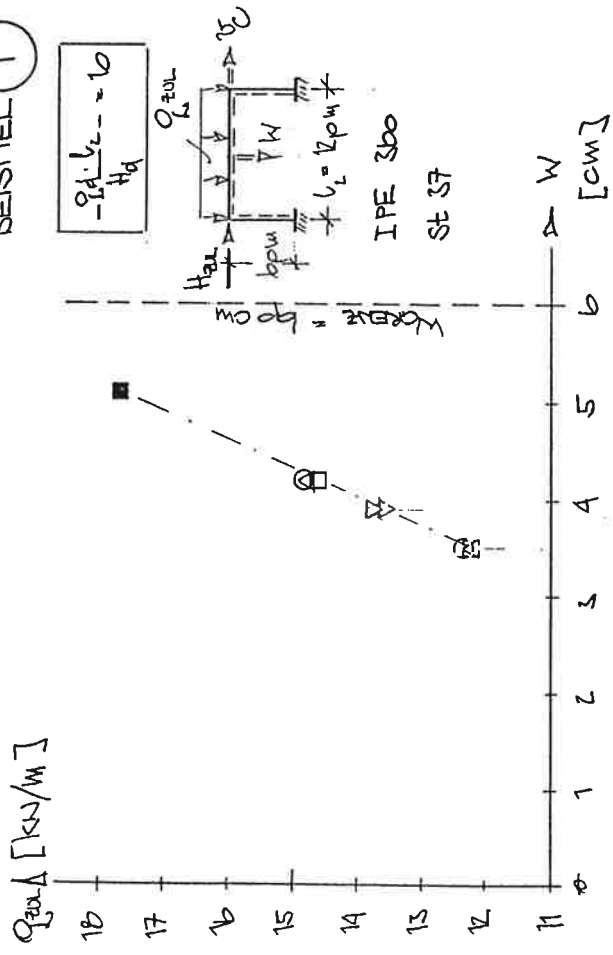
BEMESSUNGSLAST			EE	EP	PP	SYSTEM
TH. I. ORD.	EXAKT	q_d kN/m	11,6	17,5	$\frac{I}{I_{tr}} > 0,1$	$\frac{q_d \cdot l_2}{H_d} = 5$  <p>I PE 400 St 37 $H_d = \frac{q_d \cdot l_2}{5}$ W... STELLE max Π_{feld} $q_d, H_d \dots \gamma_F$-FACHE BEMESSUNGSLAST</p>
		W cm	3,6	4,4		
		r_c cm	5,8	6,9		
THEORIE II. ORDNUNG	EXAKT	q_d kN/m	14,3	16,9	20,5	 <p>I PE 400 St 37 $H_d = \frac{q_d \cdot l_2}{5}$ W... STELLE max Π_{feld} $q_d, H_d \dots \gamma_F$-FACHE BEMESSUNGSLAST</p>
		W cm	3,6	4,3	8,2	
		r_c cm	6,0	7,2	18,0	
	N-VERF.	q_d kN/m	14,2	16,8	/	
		W cm	3,5	4,4		
		r_c cm	6,0	7,2		
	S-VERF.	q_d kN/m	-	15,0	/	
		W cm	-	3,8		
		r_c cm	-	6,0		

GEBRAUCHSLAST			EE	EP	PP	SYSTEM
TH. I. ORD.	EXAKT	q_{zul} kN/m	1,81	12,96	$\frac{I}{I_{tr}} > 0,1$	 <p>I PE 400 St 37 $H_{zul} = \frac{q_{zul} \cdot l_2}{5}$ W... STELLE max Π_{feld} (*) NACH O-NORM B 4600 mit (1,07 · W_{zul})</p>
		W cm	2,4	2,9		
		r_c cm	3,8	4,6		
THEORIE II. ORDNUNG	EXAKT	q_{zul} kN/m	1,59	12,52	15,19	 <p>I PE 400 St 37 $H_{zul} = \frac{q_{zul} \cdot l_2}{5}$ W... STELLE max Π_{feld} (*) NACH O-NORM B 4600 mit (1,07 · W_{zul})</p>
		W cm	2,4	2,9	3,5	
		r_c cm	3,9	4,7	5,7	
	N-VERF.	q_{zul} kN/m	1,52	12,44	/	
		W cm	2,4	2,8		
		r_c cm	4,0	4,8		
	S-VERF.	q_{zul} kN/m	11,79 ^(*)	11,11	/	
		W cm	2,7	2,5		
		r_c cm	4,2	3,9		

4.2.4 Bemessungs- und Gebrauchslasten - Beispiel 4

BEMESSUNGSLAST			EE	EP	PP	SYSTEM
TH. I. ORD	EXAKT	q_{Ed} $\frac{kN/m}{cm}$	19,1	22,8	$\frac{I}{I_{fi}} > 0,1$	$\frac{q_{Ed} \cdot l_2}{H_d} = 5$  <p> IPE 400 St 37 $H_d = \frac{q_{Ed} \cdot l_2}{5}$ W... STELLE max Π FELD $q_{Ed}, H_d \dots \gamma_F$-FACHE BEMESSUNGSL. </p>
		W	4,2	5,0		
		σ_c	1,7	2,0		
THEORIE II. ORDNUNG	EXAKT	q_{Ed} $\frac{kN/m}{cm}$	19,0	22,6	29,9	 <p> IPE 400 St 37 $H_d = \frac{q_{Ed} \cdot l_2}{5}$ W... STELLE max Π FELD $q_{Ed}, H_d \dots \gamma_F$-FACHE BEMESSUNGSL. </p>
		W	4,2	5,1	18,1	
		σ_c	1,7	2,0	8,7	
	N-VERF.	q_{Ed} $\frac{kN/m}{cm}$	19,0	22,7	/	
		W	4,2	5,0		
		σ_c	1,7	2,0		
	N-VERF.	q_{Ed} $\frac{kN/m}{cm}$	-	2,96	/	
		W	-	4,6		
		σ_c	-	1,8		
GEBRAUCHSLAST			EE	EP	PP	SYSTEM
TH. I. ORD	EXAKT	q_{zul} $\frac{kN/m}{cm}$	14,15	16,89	$\frac{I}{I_{fi}} > 0,1$	 <p> IPE 400 St 37 $H_{zul} = \frac{q_{zul} \cdot l_2}{5}$ W... STELLE max Π FELD </p>
		W	2,8	3,4		
		σ_c	1,1	1,3		
THEORIE II. ORDNUNG	EXAKT	q_{zul} $\frac{kN/m}{cm}$	14,07	16,74	22,15	 <p> IPE 400 St 37 $H_{zul} = \frac{q_{zul} \cdot l_2}{5}$ W... STELLE max Π FELD (*) NACH O-NORM B 4600 MIT $(1,07 \cdot W_{ee})$ </p>
		W	2,8	3,4	4,5	
		σ_c	1,1	1,3	1,8	
	N-VERF.	q_{zul} $\frac{kN/m}{cm}$	14,07	16,81	/	
		W	2,8	3,4		
		σ_c	1,1	1,3		
	N-VERF.	q_{zul} $\frac{kN/m}{cm}$	15,46 ^(*)	15,26	/	
		W	3,1	3,0		
		σ_c	1,2	1,2		

BEISPIEL 1

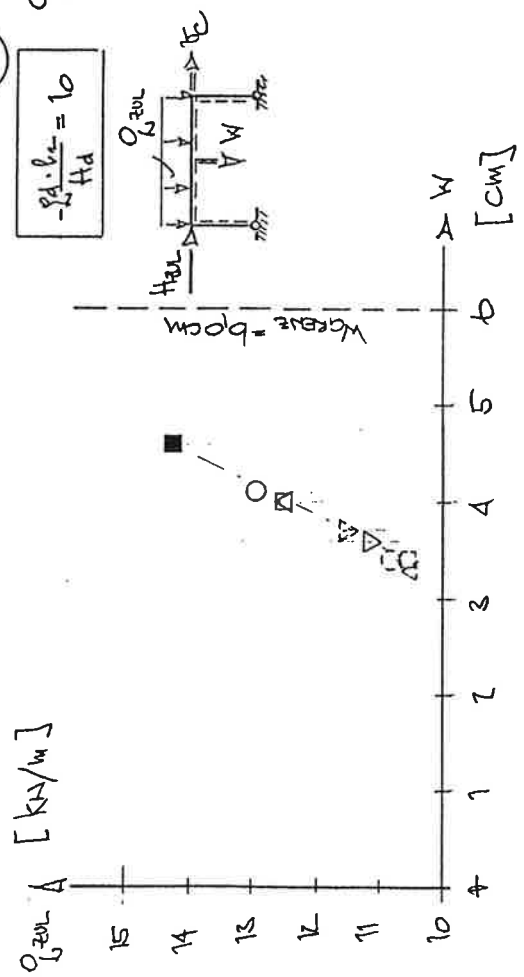


EE	EPP	PP
TH.I	○	●
TH.II	□	■
△	△	▽
▽	▽	▽

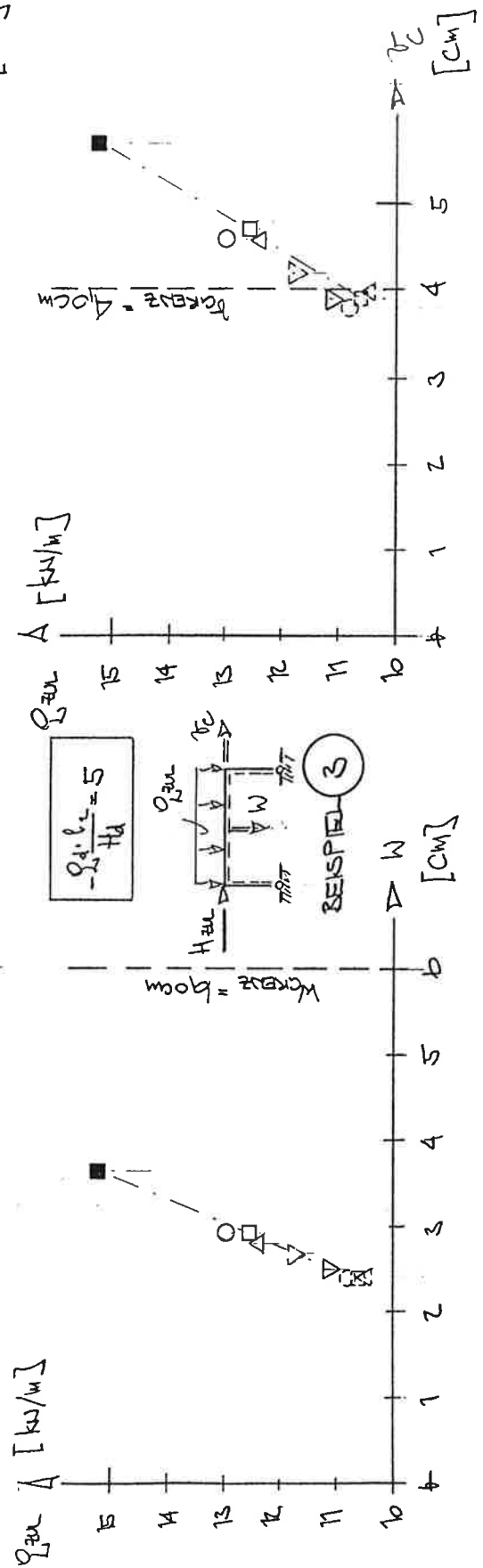
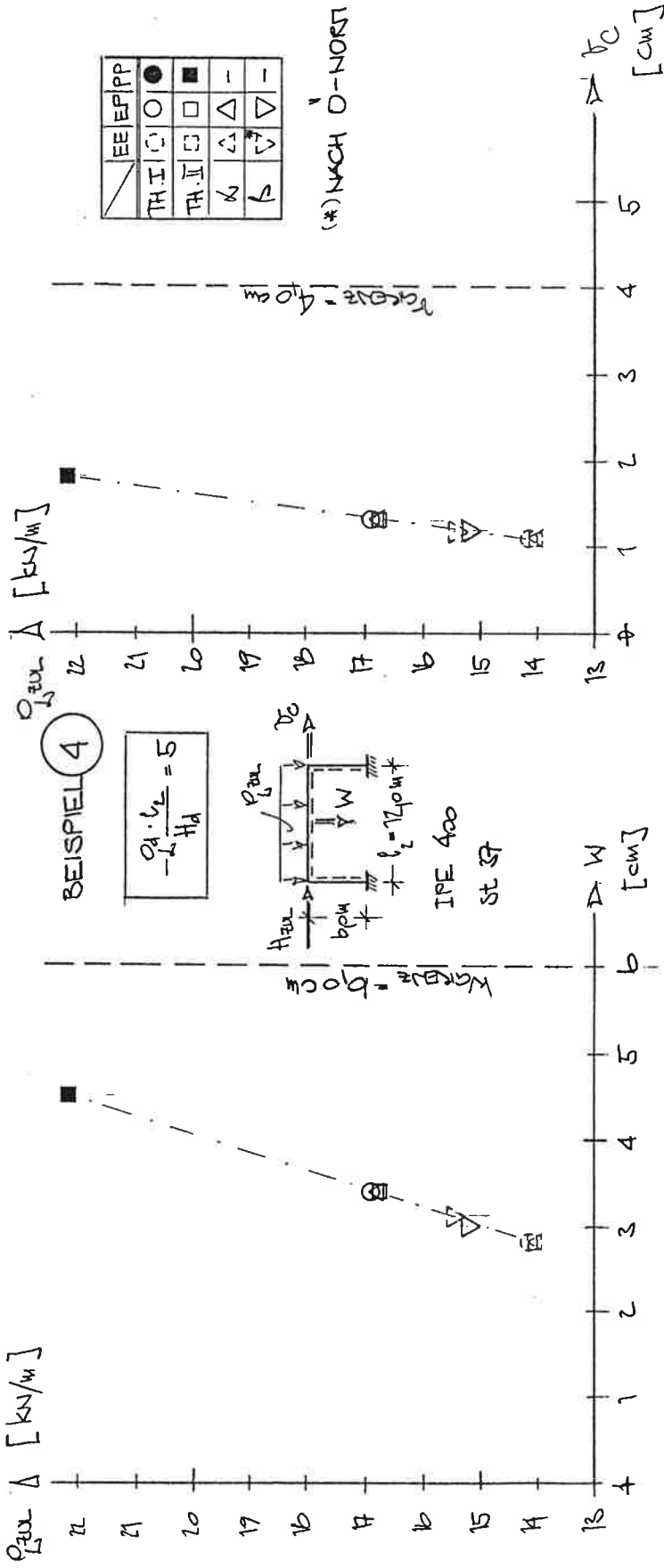
(*) NACH Ö-NORM

Werkstoff = St S7

BEISPIEL 2



4.2.5 Belastungs-Verformungs - Diagramme - Beispiel 1 und 2



4.2.6 Belastungs-Verformungs - Diagramme - Beispiel 3 und 4

4.3 Nachgiebige Knoten

Die Bezeichnungen der Berechnungsverfahren (Elastisch-Elastisch, Elastisch-Plastisch und Plastisch-Plastisch) gelten sowohl für die Knoten als auch für die Stabquerschnitte.

Steifenlose Knoten

Berechnungsverfahren Elastisch-Elastisch (EE):

Bei Anwendung des Verfahrens ergeben sich relativ niedrige Bemessungslasten q_d bzw. Gebrauchslasten q_{zul} , da das geringe elastische Verhalten der Knoten (siehe Federcharakteristika A 5.5) maßgebend ist. Die Stabquerschnitte können nicht ausgenützt werden. Eine Bemessung nach diesem Berechnungsverfahren muß daher als unwirtschaftlich angesehen werden.

Berechnungsverfahren Elastisch-Plastisch (EP):

Es darf wegen der großen Nichtlinearität der Knotenfeder von steifenlosen Knoten nicht angewandt werden.

Berechnungsverfahren Plastisch-Plastisch (PP):

Es ist sofort ersichtlich, daß die Vorteile der steifenlosen Knoten nur durch bzw. erst durch das Berechnungsverfahren Plastisch-Plastisch genützt werden können, da erst dadurch eine wirtschaftliche Systemausnutzung möglich wird. Die Grenze für die maximale Bemessungslast ist durch die Beschränkung der Knotenrotation gegeben (in diesem Fall: $\max\rho=0,0307$ rad), bedingt durch das Stegbeulen im Knotenbereich. Die plastische Reserve beträgt gegenüber (EE) 3,4. Abhängig ist die maximale Rotation von den jeweiligen Riegel- und Stützenquerschnitten, deren Tabellierung [8] entnommen werden kann.

Knoten mit Einleitungssteifen

Berechnungsverfahren Elastisch-Elastisch (EE):

Auch hier ergeben sich relativ niedrige Bemessungslasten q_d bzw. Gebrauchslasten q_{zul} , da die Einleitungssteifen das elastische Verhalten der Knoten nur gering anheben. Die Bemessung nach diesem Verfahren muß daher ebenfalls als unwirtschaftlich angesehen werden.

Berechnungsverfahren Elastisch-Plastisch (EP):

Eine Beschränkung der Knotenrotation, wie bei den steifenlosen Knoten, ist hier nicht mehr gegeben.

Berechnungsverfahren Plastisch-Plastisch (PP):

Einleitungssteifen heben die maximale Bemessungslast q_d bzw. Gebrauchslast q_{zul} nur

geringfügig an, da die Schubnachgiebigkeit überwiegt, d.h., daß die Einleitungsfeder gegenüber der Querkraftfeder für die Knotencharakteristik maßgebend ist. Die plastische Reserve beträgt gegenüber (EE) 3,1.

Knoten mit Einleitungs- und Querkraftsteifen

Berechnungsverfahren Elastisch-Elastisch (EE):

Gut ersichtlich sind hierbei die Abweichungen zwischen dem Modell mit den ideal starren Knoten und jenem mit den nachgiebigen Knoten (Einleitungs- und Querkraftsteifen). Diese Abweichungen sind relativ gering, wobei die maximalen Bemessungslasten q_d bzw. Gebrauchslasten q_{zul} für den ideal starren Knoten etwas höher liegen. Die zugehörigen Verformungen w und v_c sind für das Modell mit den ideal starren Knoten geringer als jene für das Modell mit nachgiebigen Knoten.

Berechnungsverfahren Elastisch-Plastisch (EP):

Bei der Berechnung nach dem Verfahren Elastisch-Plastisch tritt nun plötzlich der Effekt auf, daß die maximale Bemessungslast q_d für das System mit den nachgiebigen Knoten größer ist. Wegen der Knotennachgiebigkeit sind die Eckmomente beim nachgiebigen Modell niedriger als beim ideal starren. Bei diesen Systemen und Beanspruchungen tritt nun ein Plastizieren im Rahmeneck auf, sodaß im Falle des nachgiebigen Knotens eine größere Belastung auftreten kann, bis ein Durchplastizieren des Querschnittes eintritt. Die Verformungen sind naturgemäß größer.

Berechnungsverfahren Plastisch-Plastisch (PP):

Auch hier sind die nahezu geringfügigen Abweichungen zwischen dem Modell mit den ideal starren Knoten und jenem mit den nachgiebigen Knoten (Einleitungs- und Querkraftsteifen) gut ersichtlich. Die maximalen Bemessungslasten q_d bzw. Gebrauchslasten q_{zul} liegen für den ideal starren Knoten minimal höher, wobei die Verformungen geringer sind. Die plastische Reserve beträgt gegenüber (EE) 1,8 (für den ideal starren Knoten 1,6).

Belastungs-Verformungs -Verhalten

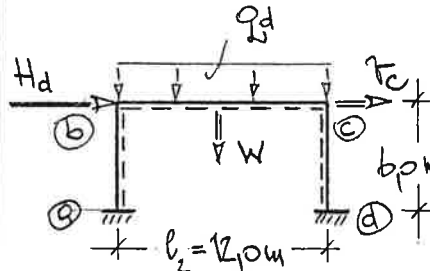
Wie schon bei den Systemen mit den ideal starren Knoten kommt es auch hier, durch den geringen Einfluß der Theorie II. Ordnung und die geringe Auswirkung des plastischen Knotenverhaltens, zu einem linearen Zusammenhang zwischen den Gebrauchslasten q_{zul} und den Verformungen w und v_c , allerdings nur für den Knoten mit den Einleitungs- und Querkraftsteifen, wie dem Diagramm 4.3.2 entnommen werden kann. Die Abweichungen der Vertikalverformungen w sind größer als jene der Horizontalverschiebungen v_c , verglichen

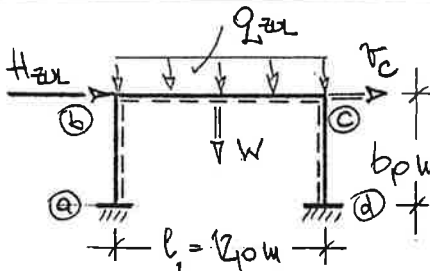
mit dem ideal starren Knotenmodell.

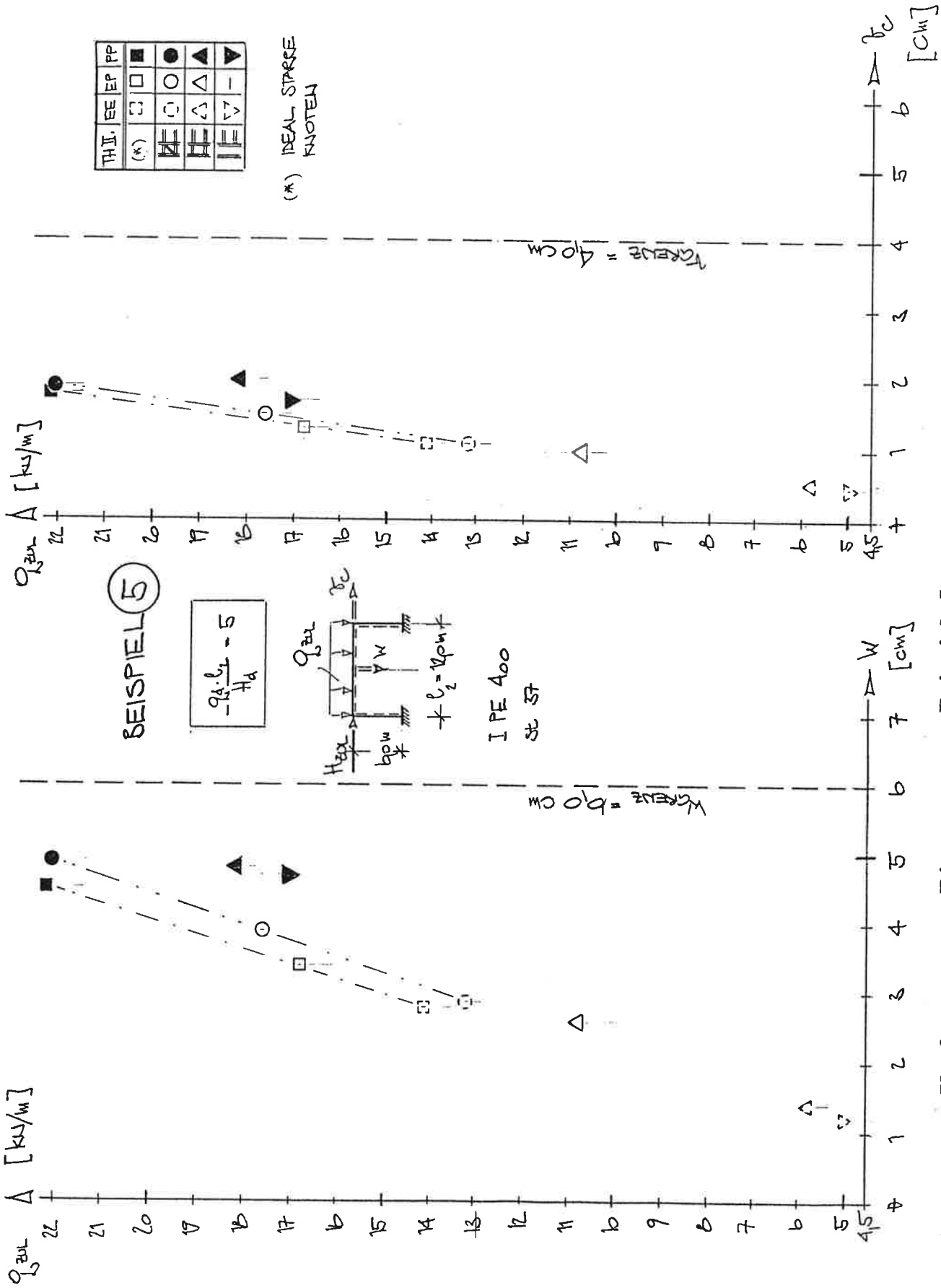
Für den Knoten mit den Einleitungssteifen tritt das unterlineare (größere Verformungszunahme bei gleicher Laststeigerung) Verhalten zwischen der maximalen Gebrauchslast q_{zul} und den Verformungen w und v_c schon besonders deutlich hervor.

Die Abbildungen im Diagramm 4.3.2 veranschaulichen gut die Abweichungen zwischen den Gebrauchslasten q_{zul} und den Verformungen w bzw. v_c - je nach Knotenausbildung - im Vergleich zum Grenzfall des ideal starren Knotens. Unabhängig von der Knotenausbildung gilt, daß die Abweichungen der Vertikalverformungen w größer sind als jene der Horizontalverschiebungen v_c (Einfluß der Knotennachgiebigkeit).

4.3.1 Bemessungs- und Gebrauchslasten - Beispiel 5

BEMESSUNGSLAST		EE	EP	PP	NACH TH. II. ORD.
STARRE KNOTEN	Q_d <small>KN/M</small>	19,0	22,6	29,9	<div style="border: 1px solid black; padding: 5px; width: fit-content; margin-bottom: 10px;"> $\frac{Q_d \cdot l_z}{H_d} = 5$ </div>  <p>IPE 400 St 37</p> $H_d = \frac{Q_d \cdot l_z}{5}$ <p>W... STELLE max Π FELD</p> <p>Q_d, H_d... γ_F - FACHE BEMESSUNGSL.</p>
	W <small>CM</small>	4,2	5,1	18,1	
	r_c <small>CM</small>	1,7	2,0	8,7	
NACHGIEBIGE KNOTEN	Q_d <small>KN/M</small>	17,8	23,7	29,8	
	W <small>CM</small>	4,4	5,8	19,4	
	r_c <small>CM</small>	1,7	2,3	8,6	
NACHGIEBIGE KNOTEN	Q_d <small>KN/M</small>	8,00	14,6	24,5	
	W <small>CM</small>	2,1	3,9	16,5	
	r_c <small>CM</small>	0,79	1,5	5,1	
NACHGIEBIGE KNOTEN	Q_d <small>KN/M</small>	6,74		22,9	
	W <small>CM</small>	2,8		12,0	
	r_c <small>CM</small>	0,67		4,2	

GEBRAUCHSLAST		EE	EP	PP	NACH TH. II. ORD.
STARRE KNOTEN	Q_{zul} <small>KN/M</small>	14,07	16,74	22,15	 <p>IPE 400 St 37</p> $H_{zul} = \frac{Q_{zul} \cdot l_z}{5}$ <p>W... STELLE max Π FELD</p>
	W <small>CM</small>	2,8	3,4	4,5	
	r_c <small>CM</small>	1,1	1,3	1,8	
NACHGIEBIGE KNOTEN	Q_{zul} <small>KN/M</small>	13,19	17,56	22,07	
	W <small>CM</small>	2,9	3,9	4,9	
	r_c <small>CM</small>	1,1	1,5	1,9	
NACHGIEBIGE KNOTEN	Q_{zul} <small>KN/M</small>	5,93	10,81	18,15	
	W <small>CM</small>	1,4	2,6	4,8	
	r_c <small>CM</small>	0,53	0,96	2,0	
NACHGIEBIGE KNOTEN	Q_{zul} <small>KN/M</small>	4,99		16,76	
	W <small>CM</small>	1,2		4,7	
	r_c <small>CM</small>	0,45		1,7	



4.3.2 Belastungs-Verformungs - Diagramme - Beispiel 5

4.4 Zusammenfassung

Mit der Fließgelenktheorie, in Form der Überlagerung von Knickwinkeln an den Fließgelenkstellen, steht eine Methode zur Verfügung, die sehr anschaulich ist und nach gewohnten Schemata ablaufen kann, sodaß Berechnungen nach dem Verfahren Plastisch-Plastisch leicht praktikabel sind. Es besteht somit die konkrete Möglichkeit plastische Globalanalysen von Systemen vorzunehmen, wie dies nach den neuen europ. Normenwerken, neben der geläufigeren elastischen Globalanalyse mit den Berechnungsverfahren Elastisch-Elastisch und Elastisch-Plastisch, durchwegs die Regel ist.

Gleichzeitig zeigt sich auch, daß mit diesem Modell der Fließgelenktheorie die Knotennachgiebigkeit direkt und ohne Iteration berücksichtigbar ist. Analog dazu kann auch die Nachgiebigkeit von Anschlüssen in die Berechnung einfließen, unabhängig vom Berechnungsverfahren Elastisch-Elastisch, Elastisch-Plastisch oder Plastisch-Plastisch. Voraussetzung ist nur, daß die Knotenfedercharakteristik - eventuell unter Beachtung der Anschlußfeder - vorher zusammengestellt wurde. Deren einfache Ermittlung ist in [8] ausführlich dargelegt. Somit kann dem tatsächlichen Knotenverhalten - je nach Knotenausbildung - und der Anschlußnachgiebigkeit Rechnung getragen werden.

Wesentliche Bedingungen für das Ausnutzen der Systemreserven bis hin zur plastischen Traglast sind - die notwendigen Querschnittsrotationsfähigkeiten vorausgesetzt - die erforderlichen Biegedrillknickhalterungen, deren Anzahl mit dem Systemausnutzungsgrad steigt. Vom Standpunkt der Gebrauchstauglichkeit ist die Bemessung bis hin zur plastischen Traglast durchaus vertretbar.

LITERATURVERZEICHNIS

- [1] DIN 18 800. Teil 1: Stahlbauten. Bemessung und Konstruktion. Berlin: Beuth (November) 1990.
- [2] DIN 18 800. Teil 2: Stahlbauten. Stabilitätsfälle, Knicken von Stäben und Stabwerken. Berlin (November) 1990.
- [3] Duddeck, Heinz: Seminar Traglastverfahren. Bericht Nr. 73-6 aus dem Institut für Statik der Technischen Universität Braunschweig. Braunschweig: 1973.
- [4] EUROCODE 3: Design of steelstructures. Part 1: General rules and rules for buildings. (April) 1990.
- [5] Kreutz, Johannes-Stefan/Nather, Friedrich: Vergleichende Untersuchung des Entwurfs der DIN 18 800, Teil 2 mit der zur Zeit gültigen Vorschrift DIN 4114, Juli 1952. In: Mitteilungen aus dem Lehrstuhl für Stahlbau. Technische Universität München. Hrsg. v. Friedrich Nather. H.18. München: 1981.
- [6] Ö-NORM B 4600. Teil 2: Stahlbauten. Berechnung der Tragwerke. Wien: 1978.
- [7] Ö-NORM B 4600 Teil 4: Stahlbauten. Stabilitätsnachweis, Grundfälle. Wien: 1978.
- [8] Rahmentragwerke in Stahl unter besonderer Berücksichtigung der steifenlosen Bauweise. Theoretische Grundlagen, Beispiele, Bemessungstabellen. Hrsg. v. Österreichischen Stahlbauverband/Schweizerischen Zentralstelle für Stahlbau. Wien/Zürich: 1987.
- [9] Rubin, Helmut: Drehwinkelverfahren zur Berechnung biegesteifer Stabwerke nach Elastizitäts- und Fließgelenktheorie I. und II. Ordnung, insbesondere auch im Hinblick auf die Anwendung der künftigen DIN 4114 (1. Teil). Stahlbau Seminar am 2. und 3. Febr. 1979 in Lindau.
- [10] Stahlbau Handbuch. Für Studium und Praxis. Bd.1. Hrsg. v. Deutschen Stahlbau-Verband. Köln: Stahlbau-Verlag 1982.

NEUERSCHEINUNGEN

- [11] Practical Analysis of Single-Storey Frames. Technical Committee 8 - Structural Stability. Technical Working Group 8.1/8.2 Skeletal Structures. Nr.61. Brussels: European Convention for Constructional Steelwork [ECCS] 1991.

ANHANG

ANHANG

Seite

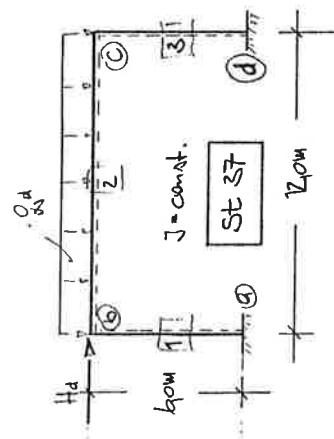
A 1. Beispiel 1	...70
A 1.1 Lastfall Einheitsbelastung	...70
A 1.2 Elastizitätstheorie I. Ordnung	...71
A 1.3 Elastizitätstheorie I. Ordnung - (Elastisch-Elastisch)	...72
A 1.4 Elastizitätstheorie I. Ordnung - (Elastisch-Plastisch)	...73
A 1.5 α -Verfahren (Näherung für Theorie II. Ordnung) - (Elastisch-Elastisch)	...74
A 1.6 α -Verfahren (Näherung für Theorie II. Ordnung) - (Elastisch-Plastisch)	...75
A 1.7 Ersatzstabverfahren (Näherung für Theorie II. Ordnung) - (Elastisch-Plastisch)	...76
A 1.8 Elastizitätstheorie II. Ordnung - (Elastisch-Elastisch)	...77
A 1.9 Elastizitätstheorie II. Ordnung - (Elastisch-Plastisch)	...82
A 1.10 Fließgelenktheorie I. Ordnung - (Plastisch-Plastisch)	...87
A 1.11 Fließgelenktheorie II. Ordnung - (Plastisch-Plastisch)	...87
A 1.12 Gebrauchstauglichkeit	...99
A 1.13 Ersatzstabverfahren nach Ö-NORM B 4600	..101
A 2. Beispiel 2	..103
A 2.1 Lastfall Einheitsbelastung	..103
A 2.2 Elastizitätstheorie I. Ordnung	..104
A 2.3 Elastizitätstheorie I. Ordnung - (Elastisch-Elastisch)	..105
A 2.4 Elastizitätstheorie I. Ordnung - (Elastisch-Plastisch)	..106
A 2.5 α -Verfahren (Näherung für Theorie II. Ordnung) - (Elastisch-Elastisch)	..107
A 2.6 α -Verfahren (Näherung für Theorie II. Ordnung) - (Elastisch-Plastisch)	..108
A 2.7 Ersatzstabverfahren (Näherung für Theorie II. Ordnung) - (Elastisch-Plastisch)	..109
A 2.8 Elastizitätstheorie II. Ordnung - (Elastisch-Elastisch)	..110
A 2.9 Elastizitätstheorie II. Ordnung - (Elastisch-Plastisch)	..113
A 2.10 Fließgelenktheorie II Ordnung - (Plastisch-Plastisch)	..116
A 2.11 Gebrauchstauglichkeit	..120
A 2.12 Ersatzstabverfahren nach Ö-NORM B 4600	..122
A 3. Beispiel 3	..124
A 3.1 Elastizitätstheorie I. Ordnung	..124
A 3.2 Elastizitätstheorie I. Ordnung - (Elastisch-Elastisch)	..125
A 3.3 Elastizitätstheorie I. Ordnung - (Elastisch-Plastisch)	..126
A 3.4 α -Verfahren (Näherung für Theorie II. Ordnung) - (Elastisch-Elastisch)	..126
A 3.5 α -Verfahren (Näherung für Theorie II. Ordnung) - (Elastisch-Plastisch)	..127
A 3.6 Ersatzstabverfahren (Näherung für Theorie II. Ordnung) - (Elastisch-Plastisch)	..128
A 3.7 Elastizitätstheorie II. Ordnung - (Elastisch-Elastisch)	..130
A 3.8 Elastizitätstheorie II. Ordnung - (Elastisch-Plastisch)	..133
A 3.9 Fließgelenktheorie II. Ordnung - (Plastisch-Plastisch)	..137
A 3.10 Gebrauchstauglichkeit	..140
A 3.11 Berechnung nach Ö-NORM B 4600	..142
A 4. Beispiel 4	..144
A 4.1 Elastizitätstheorie I. Ordnung	..144
A 4.2 Elastizitätstheorie I. Ordnung - (Elastisch-Elastisch)	..145
A 4.3 Elastizitätstheorie I. Ordnung - (Elastisch-Plastisch)	..146
A 4.4 α -Verfahren (Näherung für Theorie II. Ordnung) - (Elastisch-Elastisch)	..147
A 4.5 α -Verfahren (Näherung für Theorie II. Ordnung) - (Elastisch-Plastisch)	..148
A 4.6 Ersatzstabverfahren (Näherung für Theorie II. Ordnung) - (Elastisch-Plastisch)	..149
A 4.7 Elastizitätstheorie II. Ordnung - (Elastisch-Elastisch)	..150

A 4.8	Elastizitätstheorie II. Ordnung - (Elastisch-Plastisch)	..153
A 4.9	Fließgelenktheorie II. Ordnung - (Plastisch-Plastisch)	..156
A 4.10	Gebrauchstauglichkeit	..162
A 4.11	Berechnung nach Ö-NORM B 4600	..164
A 5.	Beispiel 5	..166
A 5.1	Berücksichtigung der Knotennachgiebigkeit	..166
A 5.2	Steifenloser Knoten	..167
A 5.3	Knoten mit Einleitungssteifen	..168
A 5.4	Knoten mit Einleitungs- und Diagonalsteifen	..168
A 5.5	Federcharakteristika - Traglastzustand	..169
A 5.6	Federcharakteristika - Gebrauchslastzustand	..170
A 5.7	System - steifenloser Knoten	..170
A 5.7.1	Elastizitätstheorie II. Ordnung - (Elastisch-Elastisch)	..170
A 5.7.2	Fließgelenktheorie II. Ordnung - (Plastisch-Plastisch)	..173
A 5.8	System - Knoten mit Einleitungssteifen	..177
A 5.8.1	Elastizitätstheorie II. Ordnung - (Elastisch-Elastisch)	..177
A 5.8.2	Elastizitätstheorie II. Ordnung - (Elastisch-Plastisch)	..179
A 5.8.3	Fließgelenktheorie II. Ordnung - (Plastisch-Plastisch)	..182
A 5.9.	System - Knoten mit Einleitungs- und Querkraftsteifen	..185
A 5.9.1	Elastizitätstheorie II. Ordnung - (Elastisch-Elastisch)	..185
A 5.9.2	Elastizitätstheorie II. Ordnung - (Elastisch-Plastisch)	..188
A 5.9.3	Fließgelenktheorie II. Ordnung - (Plastisch-Plastisch)	..190
A 5.10	Gebrauchstauglichkeit	..193

A1. BEISPIEL (1)

A1.1 LASTFALL EINHEITSBELASTUNG $q_d = 10 \text{ kN/m} \rightarrow H_d = 12 \text{ kN}$
 SYSTEM UND BELASTUNGEN

$$\frac{q_d \cdot l^2}{8 \cdot H_d} = 10$$



IPE 300:

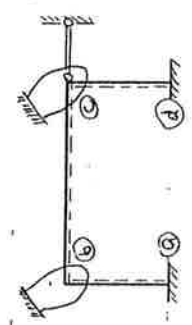
$A = 727 \text{ cm}^2$, $i_y = 9.571 \text{ kN/m}$
 $S_x = 5100 \text{ cm}^3$, $W_x = 9040 \text{ cm}^3$
 $J_x = 16270 \text{ cm}^4$, $i_x = 150 \text{ cm}$

$E = 21 \cdot 10^4 \text{ kN/cm}^2$
 $(EJ)_d = \frac{EJ}{l^2}$, $\gamma_1 = \gamma_2 = 11$

SCHNITTKRAFTERMITTLUNG NACH TH. I ORD

FÜR $q_d = 10 \text{ kN/m}$, $H_d = 12 \text{ kN}$
 $\frac{\Pi}{(EJ)_d} = \gamma_0 \cdot \frac{q_d}{l^2} \cdot 40$, $\lambda_1 = \left(\frac{l}{i_1}\right) \cdot 20$, $\lambda_2 = \left(\frac{l}{i_2}\right) \cdot 60$, $C = \frac{(EJ)_d}{l} = 5177 \text{ kNm}$

⑤	h_i/l_i	γ_0	λ_1	λ_2	l_i
①	10	40	20	60	60
②	0.5	20	10	30	30
③	10	40	20	60	60

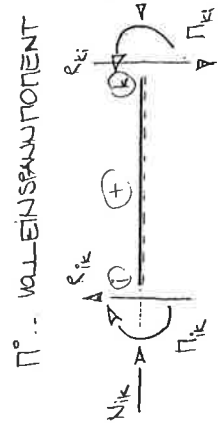


LF $\bar{q}_0 = 10$: $q_{11} = \gamma_1 + \gamma_2 = 60$, $q_{21} = \lambda_1 \cdot 10$, $q_{31} = -\frac{1}{4} \cdot 11 = -10$

LF $\bar{q}_0 = 10$: $q_{12} = \lambda_2 = 10$, $q_{22} = \gamma_2 + \gamma_3 = 60$, $q_{32} = -\frac{1}{3} \cdot \gamma_3 = -10$

LF $\bar{q}_0 = 10$: $q_{13} = q_{31}$, $q_{23} = q_{32}$
 $q_{33} = \frac{1}{4} \cdot 2 \cdot \gamma_1 + \frac{1}{3} \cdot 2 \cdot \gamma_2 = 96667$

$LF \bar{q}_0 = 10 \text{ kN/m}$:
 $\Pi_{10} = \Pi_{10}^0 = -\frac{1}{2} \cdot 0 \cdot \bar{q}_0 = -120 \text{ kNm}$
 $q_{10} = -q_{20} = -120 \text{ kNm}$, $q_{30} = +$
 $LF H_d = 12 \text{ kN}$:
 $q_{30} = -12 \text{ kN}$, $q_{10} = q_{20} = +$



GLEICHUNGSSYSTEM $[A] \cdot \{X\} = -\{R\}$

\bar{q}_0	\bar{q}_0	\bar{q}_0	\bar{q}_0	LF \bar{q}_0	LF H
q_{11}	\bar{q}_0	\bar{q}_0	LF	120	+
q_{21}	q_{13}	q_{13}	$-q_{10}$	-120	+
q_{31}	q_{32}	q_{32}	$-q_{30}$	+	120
q_{33}	q_{33}	q_{33}	LF	96667	+
2400	\bar{q}_0	\bar{q}_0	LF	+	0
94500	94500	3150	H	+	+

STABENDMOMENTE:

$\Pi_{ik} = \Pi_{ik}^0 + \gamma_0 \cdot (\bar{\varphi}_i - \frac{\bar{q}_0}{l_i}) + \lambda_1 \cdot (\bar{\varphi}_k - \frac{\bar{q}_0}{l_i})$
 $\Pi_{ki} = \Pi_{ki}^0 - \lambda_2 \cdot (\bar{\varphi}_i - \frac{\bar{q}_0}{l_i}) - \gamma_2 \cdot (\bar{\varphi}_k - \frac{\bar{q}_0}{l_i})$

STABENDKRÄFTE:

$R_{ik} = R_0 + R_{ik}$, $R_{ki} = R_0 + R_{ki}$, $R_0 = \frac{1}{l_i} (\Pi_{ik} - \Pi_{ki})$, $R_0 \dots$ QUERKRAFT
 INF. QUERLAST AN TRÄGER AUF 2 STÜTZE.

12 ELASTIZITÄTSTHEORIE I. ORD.

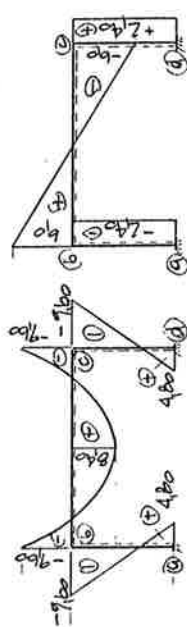
S	i-k	LF: $q_0 = 10 \text{ kN/m}$			LF: $H = 120 \text{ kN}$		
		Π_{ik} [kNm]	R_{ik} [kN]	L_{ik} [kNm]	Π_{ik} [kNm]	R_{ik} [kN]	L_{ik} [kNm]
①	a	+	480	+	-2250	960	
	b	+	-960	+	-1350		
②	b	-20	60	+	1350		
	c	-20	-60	+	1350		
③	c	+	-960	+	-1350		
	d	+	480	+	-2250	960	

$f = \frac{q_0 l^4}{8} = 160 \text{ kNm}$

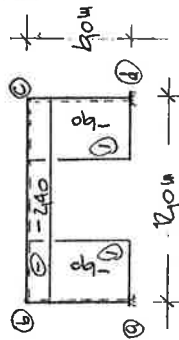
SCHNITTE. INF. $q_0 = 10 \text{ kN/m}$ (TH. I. ORD.)

Π [kNm]

R [kN]



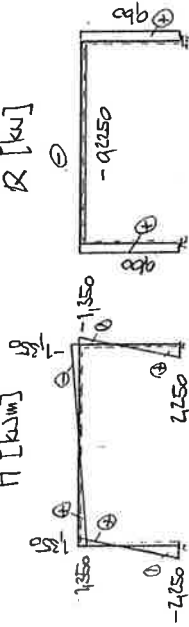
N [kN]
(+ = DECK)



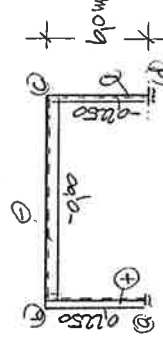
SCHNITTE. INF. $H = 120 \text{ kN}$ (TH. I. ORD.)

Π [kNm]

R [kN]



N [kN] (<+ = DECK)



FÜR $\frac{N_{k,d}}{N_d} \geq 10$
ZULÄSSIG

$N_{k,d} = \frac{I^2 \cdot (E) \cdot l}{\rho^2}$

$\beta_1 = \frac{1+0.4 \cdot I}{1+0.2 \cdot I}$

$r = \frac{b}{4} = 20 \Rightarrow \beta_1 = 1.29$

$N_{k,d} = 5117 \text{ kN}$, $N_d = 2 \cdot [60 + 0.225] = 0.1225 \frac{\text{JMF}}{\text{b} \cdot 25 \cdot 0}$

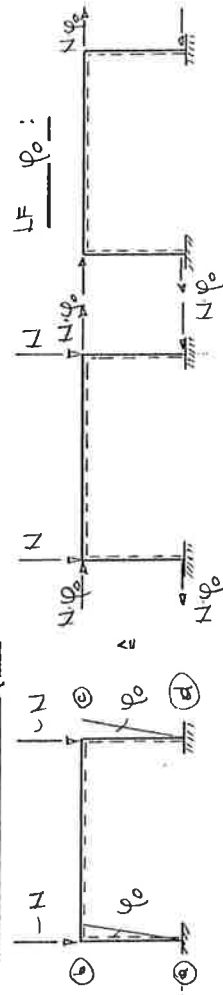
$\Rightarrow \frac{q_d \cdot l}{N_d} \leq 82.20 \text{ kN/m}$ ZULÄSSIG

VORVERKLEBUNG φ_0 :

$\varphi_0 = \frac{1}{400} \cdot r_1 \cdot r_2$, $r_1 = \sqrt{\frac{5}{1}} = 0.7109$, $r_2 = \frac{1}{2} \cdot (1 + \sqrt{\frac{1}{1}}) = 0.8536$, $n = 2$

$\varphi_0 = 0.001948$

SCHNITTE. INF. LF φ_0 :



ENTSPRICHT LF H : $\Pi_{ik} H = (q_0 \cdot l) \cdot \varphi_0$

Π_{ik} : $N_{bc} = +$, $N_{ah} = -144 = -$

4.1.3 E-THEORIE I. ORD. - (ELAST.-ELAST)

1. ANNAHME: $q_{rd} = 16,7 \text{ kN/m} \rightarrow H_d = 20,04 \text{ kN}$

$\max \Pi = \Pi_c = q \cdot \left[-9,60 - 1,350 \cdot (1+0,1946) \right] = -123,3 \text{ kNm}$
 $\max N = N_{cd} = q \cdot \left[-60 - 0,2250 \cdot (1+0,1946) \right] = -104,0 \text{ kNm}$
 $\max R = R_{cb} = q \cdot \left[-60 - 0,2250 \cdot (1+0,1946) \right] = -104,0 \text{ kNm}$
 $\Pi_b = q \cdot \left[-9,60 + 1,350 \cdot (1+0,1946) \right] = -127,3 \text{ kNm}$

GRENZE SPANNUNGEN

$\sigma_{rd} = f_{yk} / \gamma_n = 240 / 1,1 = 218,2 \text{ kN/cm}^2$
 $\tau_{rd} = f_{yk} / (\sqrt{3} \cdot \gamma_n) = 12,60 \text{ kN/cm}^2$

NACHWEISE:

$\sigma = \frac{\Pi}{W} = \frac{123,30}{904} = 20,26 \text{ kN/cm}^2 < \sigma^N = \frac{H}{A} = \frac{104}{717} = 14,51 \text{ kN/cm}^2$

$\sigma = 2171 \text{ kN/cm}^2 < \sigma_{rd} = 2182 \text{ kN/cm}^2$

$\max \tau = \frac{R \cdot S}{J \cdot t} = \frac{104 \cdot 510}{10270 \cdot 9,6} = 4,075 \text{ kN/cm}^2 < \tau_{rd} = 12,60 \text{ kN/cm}^2$

$\sigma \leq \sigma_{rd}$ OK AUS ERFÜLLT, WEIL $\frac{\sigma}{\sigma_{rd}} < 0,5$ ODER $\frac{\tau}{\tau_{rd}} < 0,5$

GRENZE (b/t) U. TAB 12 ERFÜLLT - SIEHE BEISPIEL FG. TH. I. ORD

ORT UND GRÖSSE VON max Π_F:

$f_n = \frac{1}{2} - \frac{\Pi_k - \Pi_k}{2 \cdot l^2} = 9,4609 \quad (x_1 = 5,770 \text{ m})$
 $\max \Pi_F = \Pi_k + \frac{1}{2} \cdot f_n^2 \cdot q = 149,8 \text{ kNm}$

$\Pi_k = \Pi_b = -127,3 \text{ kNm}$
 $\Pi_k = \Pi_c = -123,3 \text{ kNm}$

VERFORMUNGEN

$f = 0,4609, f' = 1 - f$

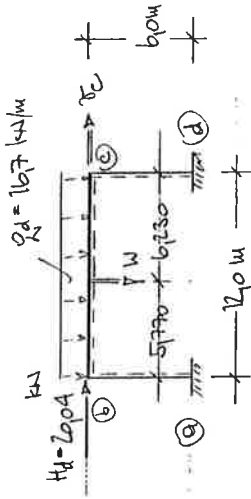
$\Pi_f: \Delta W = \frac{1}{6} (f' - f^3) \cdot \frac{\Pi_k \cdot l^3}{(EI)_d} = -0,08962 \text{ m}$

$\Pi_k: \Delta W = \frac{1}{6} (f - f^3) \cdot \frac{\Pi_k \cdot l^3}{(EI)_d} = -0,05236 \text{ m}$

$q: \Delta W = \frac{f \cdot f'}{24} \cdot (1 + f \cdot f') \cdot \frac{q \cdot l^4}{(EI)_d} = 0,1370 \text{ m}$

STELLE $x_1 = 5,770 \text{ m}: W = 0,04662 \text{ m} \hat{=} 4,7 \text{ cm}$

$\tau_c = \frac{\sigma}{C} = \frac{1}{C} \cdot [3,150 \cdot (1+0,1946)] \cdot q = 0,01036 \text{ m} \hat{=} 1,0 \text{ cm}$



NACHWEIS BIEGEDRILLKNICKEN

SIEHE BEISPIEL TH. I. ORD. - ELAST. ELAST.

A14 E-THEORIE I. ORD - (ELAST. - PLAST.)

1. ANNAHME:

$q_d = 240 \text{ kN/m} \rightarrow H_d = 2410 \text{ kN}$

$\text{max } \Pi = \Pi_c = -219,5 \text{ kNm}$ (FORMEL REIHE VOR $\Pi_c = q_d^2 / \sigma_n^E \cdot \Pi_c^E$)
 $\Pi_b = -164,4 \text{ kNm}$
 $\text{max } N = N_{cd} = -1246 \text{ kNm}$
 $\text{max } Q = Q_{cb} = -1246 \text{ kNm}$

ORT UND GRÖSSE VON $\text{max } \Pi_F$: STAB 1 b-c

$\xi_H = \frac{1}{2} - \frac{\Pi_{ik} - \Pi_{ki}}{\sigma_n^E} = 0,4809 \quad x_H = 5770 \text{ m}$

$\text{max } \Pi_F = 16616 \text{ kNm}$

PLAST. GRENZSCHNITTKRÖSSEN:

$\Pi_{pe} = f_{yk} \cdot W_{pe} = f_{yk} \cdot I \cdot S_x = 244,8 \text{ kNm}$
 $N_{pd} = f_{yk} \cdot A = 15866 \text{ kN}$
 $Q_{pd} = f_{yk} / \sqrt{3} \cdot A_s = 3855 \text{ kN}$
 $A_s = 2778 \text{ cm}^2$
 $\Pi_{p,d} = 2226 \text{ kNm}$
 $N_{p,d} = 15866 \text{ kN}$
 $Q_{p,d} = 3850 \text{ kN}$

INTERAKTION:

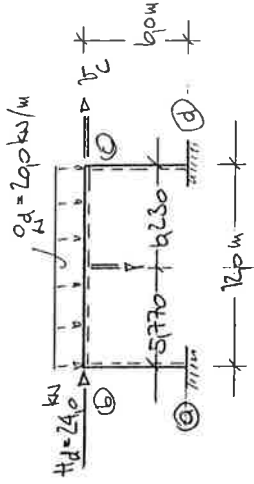
$\frac{N}{N_{p,d}} < 0,10$, UND $0,33 < \frac{R}{R_{p,d}} < 0,7$: $0,88 \cdot \frac{\Pi}{\Pi_{p,d}} + 0,37 \cdot \frac{R}{R_{p,d}} \leq 1$
 $\frac{R_{cb}}{R_{p,d}} = 0,3560 \rightarrow \Pi_{g,c} = (1 - 0,37 \cdot \frac{R}{R_{p,d}}) \cdot \frac{1}{0,88} \cdot \Pi_{p,d} = 219,6 \text{ kNm}$
 $\Pi_c = -219,5 \text{ kNm} < \Pi_{g,c} = 219,6 \text{ kNm}$

NACHWEIS VON GRENZ (b/c)

NACH TAB. 15 (BIN, T.1) ERFÜLLT, SIEHE BEISPIEL TC. TH. I ORD.

VERTORUNGEN:

$W^p = \sigma_n^p / \sigma_n^E \cdot W^E$
 $\underline{W} = 0,05807 \text{ m} \hat{=} 5,807 \text{ cm}$
 $\underline{r_{E,c}} = 0,01241 \text{ m} \hat{=} 1,241 \text{ cm}$



NACHWEIS BIEGEDRILLNICKEN

SIEHE BEISPIEL TH. I ORD. - ELAST. PLAST.

A 15 α - VERFAHREN (NÄHERUNG F. E. TH. I. ORD) - (ELAST.-ELAST)

ZULÄSSIG FÜR $\eta_{k,d} = \frac{N_{k,d}}{N} \geq 4$

$\alpha = \frac{1}{1 - \frac{N}{N_{k,d}}}$ VERGRÖßERUNGSFAKTOR

VERBREITERUNG φ_0 :
 $\varphi_0 = \frac{1}{2} \cdot \eta_1 \cdot \eta_2 \quad \eta_1 = \sqrt{\frac{5}{6}} = 0.9127 \quad \eta_2 = \frac{1}{2} \cdot (1 + \sqrt{\frac{1}{3}}) = 0.6536 \quad \eta = 2$
 $\varphi_0 = 0.003896$
 $\varphi_0 = \frac{2}{3} \cdot \varphi_0 = 0.002598$ (VERKIND. UN η_3 FÜR VERFAHREN EE)

1. ANNAHME: $q_d = 16.7 \text{ kN/m} \rightarrow t_d = 2.04 \text{ tN}$

$\eta_{k,d} = \frac{N_{k,d}}{N} = \frac{5117}{1225 \cdot 2} = 47.22 > 4 \quad \alpha = \frac{1}{1 - \frac{1}{\eta_{k,d}}} = 1.02$
 (SIEHE E. TH. I. ORD. VERFAH.)

$\max \Pi = \Pi_c = q \cdot [-9b - \alpha \cdot 1350 \cdot (1 + 0.02576)] = -1889 \text{ kNm}$
 $\Pi_b = q \cdot [-9b + \alpha \cdot 1550 \cdot (1 + 0.02576)] = -1367 \text{ kNm}$
 $\max N = N_{cd} = q \cdot [-b_0 - \alpha \cdot 9250 \cdot (1 + 0.02576)] = -104.7 \text{ kN}$
 $\max R = R_{cb} = -104.7 \text{ kN}$

(SCHNITTGRÖßENBERECHNUNG)

ORT UND GRÖßE VON $\max \Pi_F$: STAB ① b-c

$f_{\Pi} = \frac{1}{2} - \frac{\Pi_{ik} - \Pi_{ki}}{0.6 \cdot q}$
 $\max \Pi_F = \Pi_{ik} + \frac{1}{2} \cdot f_{\Pi}^2 \cdot q \cdot l^2 = 140.8 \text{ kNm}$

NACHWEISE:

$\sigma = \frac{16570}{904} = 20.98 \text{ kN/cm}^2 \quad \sigma = \frac{1041}{727} = 1.432 \text{ kN/cm}^2$
 $\sigma = 21.77 \text{ kN/cm}^2 < \sigma_{k,d} = 21.82 \text{ kN/cm}^2 \quad \checkmark$
 $\max \tau = \frac{104.1 \cdot 510}{16230 \cdot 9.8} = 4.077 \text{ kN/cm}^2 < \tau_{k,d} = 12.60 \text{ kN/cm}^2 \quad \checkmark$

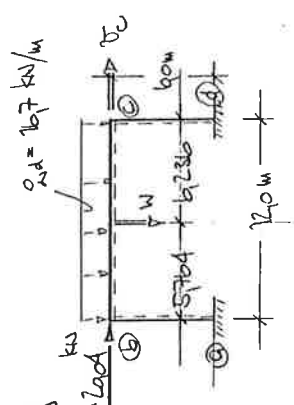
$\sigma_v \leq \sigma_{k,d}$ GILT ALS ERFÜLLT WENN $\sigma / \sigma_{k,d} < 0.95$
 ODER $\tau / \tau_{k,d} < 0.95 \quad \checkmark$

GRENZE (b/t): 14. STAB. 12. ERFÜLLT - SIEHE FE. TH. I. ORD

VERFORMUNGEN:

$\int = 0.4804 \cdot \int \cdot (1 - \xi)$
 $\Pi_i: \Delta W = -0.04001 \text{ m}$
 $\Pi_k: \Delta W = -0.05251 \text{ m}$
 $q_d: \Delta W = 0.1447 \text{ m}$

$\tau_c = \frac{\tau_c}{c} = \frac{1}{c} \cdot [W \cdot 3150 \cdot (1 + 0.02576)] \cdot q = 0.0663 \text{ m} \approx 1.1 \text{ cm}$
 $W = 0.05288 \text{ m} \approx 5.2 \text{ cm}$



NACHWEIS BIEGEMOMENTEN

SIEHE WEISSEL TH. II. ORD - ELAST.-ELAST.

A 1.6 KL - VERFAHREN (NÄHERUNG FÜR E. TH. II. ORD.) - (ELAST.-PLAST.)

1. ANNAHME:

$q_d = 19,7 \text{ kN/m} \rightarrow H_d = 23,88 \text{ kN}$

$\eta_{1,d} = \frac{N_{k1,d}}{N} = \frac{5117}{6225 \cdot 0} = 41,31 > 4 \rightarrow$ zulässig $\alpha = \frac{1}{1 - \frac{1}{\eta_{1,d}}} = \frac{1}{1,025}$

$\varphi_0 = 0,003876$ (VERKLEINERUNG)

SCHNITTGRÖSSENBERECHNUNG:

$\max \Pi = \Pi_c = \frac{LF \cdot q_0}{2} \cdot \left[-\frac{7b}{2} - \alpha \cdot 1,350 \cdot (1 + 0,3876) \right] = -217,6 \text{ kNm}$
 $\Pi_b = \frac{LF \cdot q_0}{2} \cdot \left[-\frac{7b}{2} + \alpha \cdot 1,350 \cdot (1 + 0,3876) \right] = -167,5 \text{ kNm}$
 $\max N = N_{d1} = \frac{LF \cdot q_0}{2} \cdot \left[-b - \alpha \cdot 0,2250 \cdot (1 + 0,3876) \right] = -124,2 \text{ kN}$
 $\max Q = Q_{d0} = -124,2 \text{ kN}$

ORT UND GRÖSSE VON $\max \Pi$: STOS D b-c

$\xi_0 = \frac{1}{2} - \frac{\Pi_{ik} - \Pi_{ki}}{0,1 \cdot L} = 0,4801 \quad \chi_1 = 5761 \text{ m}$

$\max \Pi_F = \Pi_{ik} + \frac{1}{2} \cdot \xi_0 \cdot \xi_0 \cdot L = 167,8 \text{ kNm}$

NACHWEIS DER INTERAKTION

$\frac{N}{N_{pl,d}} < 0,10 : \frac{Q_{d0}}{Q_{pl,d}} = 0,3549 \rightarrow \Pi_{grc} = 217,7 \text{ kNm}$

$\Pi_c = -217,6 \text{ kNm} < \Pi_{grc} = -217,7 \text{ kNm}$

NACHWEIS VON GRENZE (b/k)

NACH TAB. 15 (DIN 10500 T1) ERFÜLLT, SIEHE FG. TH. II. ORD.

VERFORMUNGEN:

$\xi = 0,4801 \quad \xi' = 1 - \xi$

$\Pi_1: \Delta W = -0,04763 \text{ m}$

$\Pi_k: \Delta W = -0,06269 \text{ m}$

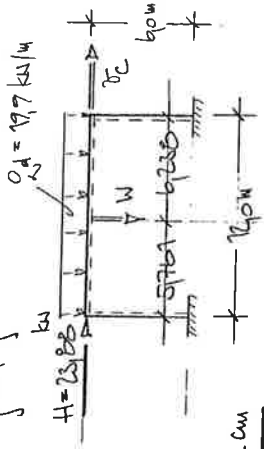
$Q: \Delta W = 0,1727 \text{ m}$

STELLE χ_1 : $\underline{W} = 0,06238 \text{ m} \hat{=} 62,38 \text{ mm}$

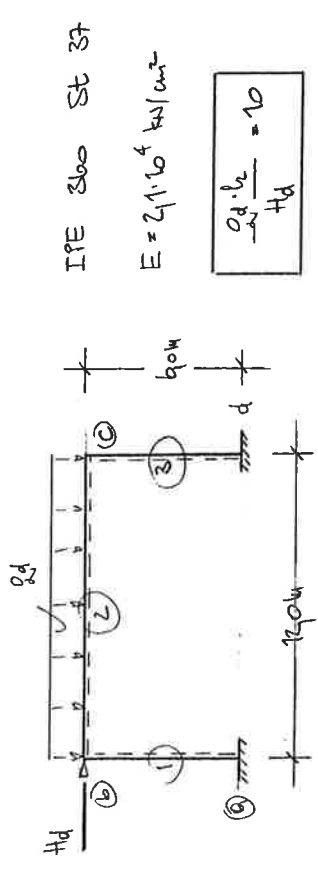
$\sigma_c = \frac{F_c}{c} = \frac{1}{c} \cdot [N_1 \cdot 3,150 \cdot (1 + 0,3876)] \cdot \alpha = 0,01289 \text{ m} \hat{=} 1,3 \text{ cm}$

NACHWEIS BIEGENDÜLLKNICKEN:

SIEHE BEISPIEL TH. II. ORD. - ELAST.-PLAST.



A17 ERSATZSTABVERFAHREN (NÄHERUNG F. TH. II. ORD) - (ELAST. PLAST)
 (NACH EUROCODE 3 - APRIL 1970)



QUERSCHNITTSWERTE:
 $W_{fy} = 904 \text{ cm}^3, W_{fe} = 1060 \text{ cm}^3, A = 727 \text{ cm}^2$
 $J_{fy} = 10230 \text{ cm}^4, J_{fe} = 1040 \text{ cm}^4$

PLASTSCHNITTE:
 $f_{yk} = 240 \text{ N/cm}^2 \text{ (L. STIL) } \gamma_{T1} = 1.1 \text{ (G. STIL)}$
 $N_{pl,d} = A \cdot f_{yk} = 1745 \text{ kN}$
 $N_{pl,e} = W_{fe} \cdot f_{yk} = 244.5 \text{ kNm}$
 $N_{pl,d} = A \cdot f_{yd} = 1526 \text{ kN}$
 $N_{pl,d} = W_{fe} \cdot f_{yd} = 222.6 \text{ kNm}$

$N_{k,y} = \frac{T \cdot E J_z}{\beta_1 \cdot \beta_2 \cdot l^2} = 5029 \text{ kN}$ mit $\beta_1 = 1.29$ SIEHE VORHER
 $N_{k,z} = \frac{T^2 \cdot E J_z}{\beta_1 \cdot \beta_2 \cdot l^2} = 5389 \text{ kN}$ mit $\beta_2 = 2.0 \text{ (FÜR STAL UND RIEBEL)}$
 $\bar{\lambda}_y = \sqrt{\frac{N_{pl,d}}{N_{k,y}}} = 0.95567$
 $\bar{\lambda}_z = 0.98910$

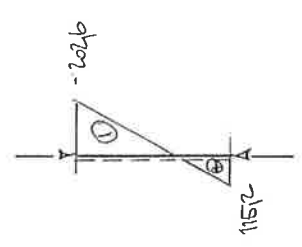
-y-y- $\textcircled{a} : \kappa = 0.21 \rightarrow \kappa_y = 0.9057$
-z-z- $\textcircled{b} : \kappa = 0.84 \rightarrow \kappa_z = 0.8523 = \kappa_{T11}$

1. ANNAHME:

$q_d = 16.5 \text{ kN/m} \rightarrow H_d = 22.2 \text{ kN}$

STAB ③:

$N_{pd} = q_d \cdot (-9.6 - 1.35) = -20.26 \text{ kNm}$
 $N_{pe} = q_d \cdot (4.6 + 2.25) = 13.94 \text{ kNm}$
 $N_3 = q_d \cdot (6.0 + 0.225) = 115.2 \text{ kN (DECK)$



NACHWEIS:

FORSTEL ABGEÄNDERT VON NIED AUF NIED AUF $N_{pl,d}, N_{pl,e}$ AUF $N_{pl,y,d}$
 (d.h. VON $\gamma_{T0} = 1.0$ U. EUROCODE AUF $\gamma_{T1} = 1.1$ U. STIL STU.)

$\frac{N_d}{\kappa_{T11} \cdot N_{pl,d}} + \frac{k_y \cdot N_{y,d}}{N_{pl,y,d}} \leq 1$

$k_x = \kappa$

mit:

$k_y = 1 - \frac{f_{yk} \cdot N_d}{k_y \cdot \gamma_{T1} \cdot N_{pl,d}} \quad k_y \leq 1.5$
 $N_{y,d} = \bar{\lambda}_y \cdot (2 \cdot \beta_{T1} - 4) + \frac{W_{pl,y} \cdot W_{d,y}}{W_{pl,y}}$

β_{T1} U. FIGURE 5.5.3 \rightarrow

$\psi = -0.5666 \rightarrow \beta_{T1} = 1.178 = 2.178$
 $N_{y,d} = 0.95567 \cdot (2 \cdot 2.178 - 4) + \frac{10.2 - 9.6}{9.6} = 0.3488$
 $k_y = 1 - \frac{0.3488 \cdot 115.2}{0.9057 \cdot 1.1 \cdot 1526} = 0.9746$

NACHWEIS FÜR STAB ③:

$\frac{115.2}{0.8523 \cdot 1526} + \frac{0.9746 \cdot 20.26}{22.2} = 0.9713 < 1 \checkmark$

STAB 2:

U. EUROCODE ART. 5.2.6.2 (B)

VERGRÖßERUNG DER 'SWAY MOMENTS' IN FIEGEL UM 17%

$$\Pi_{100} = q \cdot \left[-960 + 12 \cdot 1350 \right] = -1476 \text{ kNm}$$

$$\Pi_{00} = q \cdot \left[-960 + 12 \cdot (-1350) \right] = -2076 \text{ kNm}$$

$$\xi_{\Pi} = \frac{1}{2} - \frac{\Pi_{100} - \Pi_{00}}{2 \cdot q \cdot l^2} = 0,4775 \rightarrow X_{\Pi} = 5730 \text{ m}$$

$$\max \Pi_F = \Pi_{100} + \frac{1}{2} \cdot q \cdot \xi_{\Pi}^2 \cdot l^2 = 1501 \text{ kNm}$$

$$N_2 = q \cdot \left[240 + p_{100} \right] = 55,5 \text{ kN (DRUCK)}$$

$$\rightarrow \varphi = 0,716 - \xi_{\Pi, \varphi} = 1302 \quad \xi_{\Pi, 2} = 130 \quad \xi_{\Pi, 2} - \xi_{\Pi, \varphi} = \delta \Rightarrow$$

$$\xi_{\Pi} = 1114 = 1302$$

$$\xi_{\Pi} = 0,5507 \cdot \left(2 \cdot 1302 - 4 \right) + \frac{1020 - 904}{904} = -0,6488$$

$$k_{\varphi} = 1 - \frac{55,5 \cdot (-0,6488)}{9057 \cdot 11 \cdot 1586} = 1,023$$

NACHWEIS:

$$\frac{55,5}{9057 \cdot 1586} + \frac{1,023 \cdot 2076}{2026} = 0,9951 < 1,0 \checkmark$$

NACHWEIS GRENZE (b/t) ERFÜLLT - SIEHE S. 70. TH. II ORD.

NACHWEIS NIEGDRÜCKEN

SIEHE E. TH. I. ORD. - ELAST. PLAST.

ANMERKUNG:

4. DEN 1000 TL. FÜR BOKU-NW -- STÄNDENORIENTE N. TH. II ORD. (!) WEIL ES FORDERLICH

VERTORUNGEN:

$$\Pi_1: \Delta W = -0,04832 \text{ m}$$

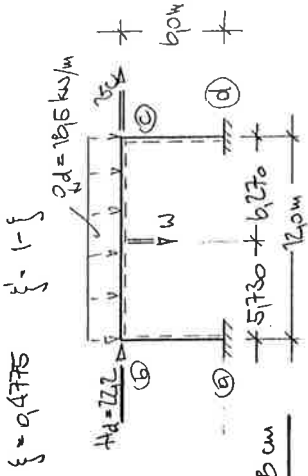
$$\Pi_2: \Delta W = -0,05913 \text{ m}$$

$$q_2: \Delta W = 0,1604 \text{ m}$$

$$\text{STELLE } X_{\Pi}: W = 0,05775 \text{ m} \approx 5,8 \text{ cm}$$

$$\xi = \frac{E \cdot I}{C} = \frac{1}{2} \cdot q \cdot \left[3150 \cdot (1 + 0,038976) \right] = 0,01170 \approx 1,2 \text{ cm}$$

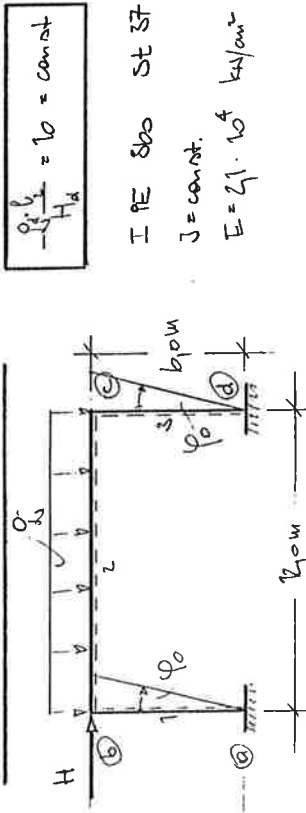
ANSATZ VON $\varphi_0 = 0,0038976$ (VERKRENNUNG)



$$\xi = 0,4775 \quad \xi - 1 = \dots$$

1. ELASTIZITÄTSTH. II ORDNUNG - (ELAST.-ELAST.)
(NACH DIN 1026 T.1, T.2 - NOVEMBER 1970)

SYSTEM UND BELASTUNG:



$\frac{q_0 \cdot l}{h_d} = 10 = \text{const}$

I PE 800 St 37
J = const.
E = $21 \cdot 10^4$ kN/cm²

GESUCHT: TRAGLAST DES SYSTEMS NUR $\frac{q_0 \cdot l}{h_d} = 10$

QUERSCHNITTSWERTE - I PE 800

- A = 727 cm²
- S_y = 570 cm³
- W_y = 904 cm³
- W_{xy} = 1620 cm³
- J_{yy} = 315000 cm⁴
- J_{zz} = 9571 kN/m
- t_s = 9,8 cm t_f = 12,7 cm h = 800 cm b = 170 mm
- J_y = 16270 cm⁴ i_y = 150 cm
- J_z = 1640 cm⁴ i_z = 37,9 cm
- J_{xy} = 31500 cm⁴ J_x = 2697 cm⁴

1. ANNÄHME $q = 165$ kN/m \rightarrow $H_g = 19,8$ kN

(BEMESSUNGSLASTEN ... F₁-FACHEN LASTEN)

ABSCHÄTZUNG DER NORMALKRÄFTE ÜBER TH I. ORDNUNG (N > DRUCK)

⑤	N _s	ε _s	F ₁	F ₂	F ₃
①	110	0,5571	3983	2004	5987
②	55	0,5050	3766	2007	5975
③	110	0,5571	3983	2004	5987

$\epsilon = \nu \cdot \frac{N}{(EJ)_d}$
 $(EJ)_d = \frac{EJ}{Y_H} \cdot Y_H^{-1}$

⑤	h ₁ /l ₀	ε _s	λ _s	γ _s
①	10	3983	2004	5987
②	05	1983	1005	2988
③	10	3983	2004	5987

$\frac{N}{(EJ)_d} = \epsilon_s = \frac{h_1}{l_0} \cdot F_1$ $\lambda_s = \frac{h_1}{l_0} \cdot F_2$ $\gamma_s = \frac{h_1}{l_0} \cdot F_3$ $(C - \frac{EJ)_d}{l_1} = 5177$ kNm

VORVERDEHNUNG φ₀:

$\phi_0 = \frac{2}{3} \cdot \frac{1}{200} \cdot 1 \cdot 1 \cdot r_2$ $r_1 = \sqrt{\frac{E}{C}}$ $r_2 = \frac{1}{2} (1 + \sqrt{\frac{E}{C}}) = 0,85536$ $\nu = 2$

φ₀ = 9002598 (ANSTREIBUNG UM 1/3, DA VERFAHREN EE T.2, S.6, P.21)

ε < 16 → KEINE VERKRÜMMUNG

BERECHNUNG NACH DER METHODE: [A] · [X] + [B] = +

UNBEKANNTE: φ₁ φ₂ φ₃ (≠ [Z] · [X] + [z₀] = φ)

KOEFFIZIENTEN:

LF $\bar{\phi}_0 = 10$

$\frac{q_0}{h_d} = \epsilon_1 + \epsilon_2 = 5986$ $q_0 = \lambda_2 = 1005$ $q_{s1} = -\frac{1}{2} \cdot q_1 = -9978$

LF $\bar{\phi}_0 = 10$

$\frac{q_0}{h_d} = \epsilon_2 + \epsilon_3 = 5986$ $q_2 = \lambda_2 = 1005$ $q_{s2} = -\frac{1}{2} \cdot q_3 = -9978$

LF $\bar{\phi}_0 = 10$

$q_{1s} = q_{s1} - q_{23} = q_{s2} = \frac{1}{2} \cdot q_1 \cdot \nu_1 - \frac{N_1}{C \cdot l_1} + \frac{1}{2} \cdot q_2 \cdot \nu_2 - \frac{H_2}{C \cdot l_2}$

$q_{3s} = 0,6582$

LF 0, H:

$$\Pi_{0c} = \Pi_{0b} = -908,567 \cdot 0,01 = -198,6 \text{ kNm}$$

$$a_{10} = -a_{20} = -198,6 \text{ kNm}$$

$$a_{30} = -H - (N_1 + N_3) \cdot \varphi_0 = -201,57 \text{ kN}$$

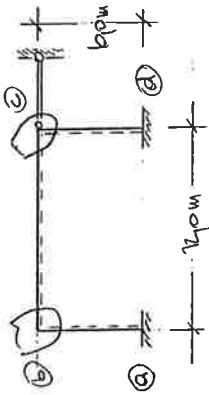
GLEICHUNGSSYSTEM UND LÖSUNG:

$$a_{11} \cdot \varphi_b + a_{12} \cdot \varphi_c + a_{13} \cdot \bar{\varphi} + a_{10} = +$$

$$a_{21} \cdot \varphi_b + a_{22} \cdot \varphi_c + a_{23} \cdot \bar{\varphi} + a_{20} = +$$

$$a_{31} \cdot \varphi_b + a_{32} \cdot \varphi_c + a_{33} \cdot \bar{\varphi} + a_{30} = +$$

φ_b	φ_c	$\bar{\varphi}$	LF
5966	1005	-0,9976	198,6
1005	5966	-0,9976	-198,6
-0,9976	-0,9976	0,6582	201,57
φ_b	φ_c	$\bar{\varphi}$	DET(A)
47,90	-3215	54,68	> +



$$[A] \cdot \{x\} = -\{s\}$$

$$\varphi_1 = \varphi_1/c$$

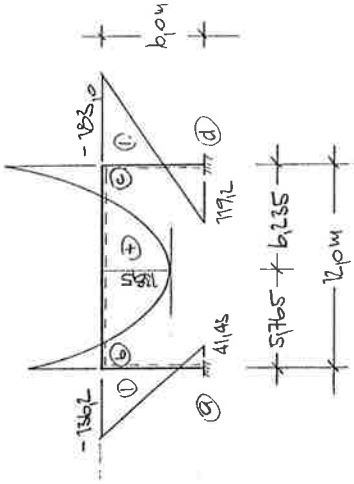
STABENMOMENTE:

$$\Pi_{ik} = \Pi_{ik}^0 + \chi_S \cdot (\bar{\varphi}_i - \frac{F}{l}) + \chi_B \cdot (\bar{\varphi}_k - \frac{F}{l})$$

$$\Pi_{ki} = \Pi_{ki}^0 - \chi_S \cdot (\bar{\varphi}_i - \frac{F}{l}) - \chi_B \cdot (\bar{\varphi}_k - \frac{F}{l})$$

		$q_d = 16,5 \text{ kN/m}$		
⑤	i-k	Π_{i-k}^0 kNm	Π_{i-k} kNm	
①	a	+	41,43	
	b	+	-136,2	
②	b	-198,6	-136,2	
	c	-198,6	-183,0	
③	c	+	-183,0	
	d	+	117,2	

MOMENTE [kNm]



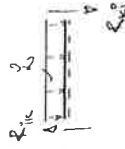
(VERLAUF ZWISCHEN DEN ENDMOMENTEN NACH TH. I. O.K.S.)

STABENKRAFTEN $R_{ik} = R_S + R_{ik}^L$:

$$R_S = -\frac{1}{l} \cdot (\Pi_{ik} - \Pi_{ki}) - N_S \cdot (\frac{F}{lC} + \varphi_0)$$

R_{ik}^L ... KRÄFTE INFOLGE ÜBERLAST AN BALKEN AUF 2 STÜTZEN

$$R_{ik}^L = -R_{ci}^L = -\frac{1}{2} \cdot q_d \cdot l = 108 \text{ kN}$$



		$q_d = 16,5 \text{ kN/m}$		
⑤	i-k	R_{ik}^L kN	R_{ik} kN	
①	a	+	-30,08	
	b	+	79,10	
②	b	99,00	75,10	
	c	-99,00	-102,9	
③	c	+	49,89	
	d	+	49,89	

$$\sum H = +, \sum V = +$$

STABENDOVERKRÄFTE Q:

$Q_{ik} = R_{ik} + N_S \cdot (\psi_{ic} + \psi_0)$ $Q_{ki} = R_{ki} + N_S \cdot (\psi_{kc} + \psi_0)$

		$Q = 16,5 \frac{kN}{m}$
⑤	i-k	Q_{ik}
	①	a
②	b	-28,78
	b	95,61
③	c	-103,2
	c	49,49
	d	50,18

NORMALKRÄFTE

		$Q = 16,5 \frac{kN}{m}$
⑤	i-k	N_S
	①	a-b
②	b-c	-49,89
③	c-d	-62,9

GESCHÄTZTEN NORMALKRÄFTE SIND GRÖßER ALS DIE BERECHNETEN
→ SICHEREN SEITE

AUS GLEICHGEL. ($N_S < +$ DRUCK)

MAX FELDSTRECKEN SRA5 b-c

$\Pi_0 = \frac{1}{2} \cdot q \cdot l^2$ $\Pi_1 = \frac{\Pi_{ik} + \Pi_{ki} + Z \cdot \Pi_0}{\cos \varphi_{1/2}}$ $v = \frac{\Pi_{ik} - \Pi_{ki}}{\Pi_1 \cdot \sin \varphi_{1/2}}$

$\xi_{11} = \frac{1}{2} - \xi$ $\max \Pi = \frac{1}{2} \sqrt{1+v^2} \cdot \Pi_1 - \Pi_0$ $x_{\Pi} = l \cdot \xi_{11}$

	$\frac{kN}{m}$
$Q = 16,5$	
Π_0	93,17
Π_1	16916
v	0,009906
ξ_{11}	0,4804
x_{Π}	57,65
$\max \Pi$	138,5

GRENZSPANNUNGEN:

$\sigma_{R,d} = f_{yk} / \eta = 240 / 1,1 = 218,2 \text{ kN/cm}^2$

$\tau_{R,d} = f_{yk} / (\sqrt{3} \cdot \eta) = 240 / (\sqrt{3} \cdot 1,1) = 126,0 \text{ kN/cm}^2$

NACHWEISE:

max σ : KNOTEN ©: $\sigma_{\Pi} = \frac{\Pi}{W} = - \frac{18300}{904} = -20,24 \text{ kN/cm}^2$

$\sigma_N = \frac{N}{A} = - \frac{1027}{727} = -1,415 \text{ kN/cm}^2$

$\max \sigma = |-20,24 - 1,415| = 21,66 \text{ kN/cm}^2 < \sigma_{R,d} = 21,82 \text{ kN/cm}^2$

max τ : KNOTEN ©:

$\tau = \frac{Q \cdot S}{J \cdot t} = \frac{16,5 \cdot 510}{1670 \cdot 98} = 4,032 \text{ kN/cm}^2 < \tau_{R,d} = 12,60 \text{ kN/cm}^2$

$\sigma_v \leq \sigma_{R,d}$: für $\sigma_{R,d} \leq 9,5$ ODER $\frac{\sigma}{\sigma_{R,d}} \leq 0,5$ GILT BEDINGUNG

$\sigma_v \leq \sigma_{R,d}$ ALS ERFÜLLT (VSS ALLEINIGE WIRKUNG VON τ UND σ)

NACHWEIS VON GRENZE (b/t)

u. TAB. 12, T1, S23

(b/t) ERFÜLLT DIE BEDINGUNGEN, DA SIE FÜR TRS. 10 (VERF. r.f.) UND GRÖßERE BEANSPR. AKTUELL SIND. - SIEHE BEISPIEL FG. I. ORD.

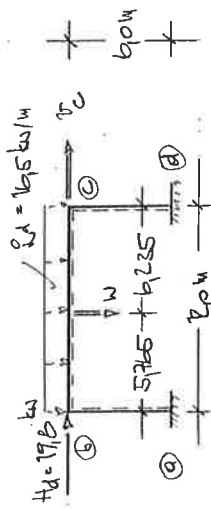
VERFORMUNGEN:

$$\Delta w = \left(\frac{\sin \epsilon \cdot \xi'}{\sin \epsilon} - \xi \right) \cdot \frac{\Pi_i}{N}$$

$$\Delta w = \left(\frac{\sin \epsilon \cdot \xi}{\sin \epsilon} - \xi \right) \cdot \frac{\Pi_k}{N}$$

$$\Delta w = \left[\frac{1}{\epsilon} \cdot \left(\frac{\cos \epsilon \cdot (0,5 - \xi)}{\cos \epsilon \cdot \xi} - 1 \right) - \xi \right] \cdot \frac{0,01}{N}$$

STABE λ_n : $\bar{w} = 0,05230 \text{ m} \hat{=} 5,23 \text{ cm}$
 $\bar{w} = 0,06860 \text{ m} \hat{=} 6,86 \text{ cm}$



PLAST. GRENZSCHNITTKRÖßEN:

$$\Pi_{pe} = f_{yk} \cdot W_{pe} = 24,0 \cdot 1020 = 24480 \text{ kJ/cm} \hat{=} 2448 \text{ kJ/m}$$

$$\Pi_{pe,d} = f_{yd} \cdot W_{pe} = 21,82 \cdot 1020 = 22260 \text{ kJ/cm} \hat{=} 2226 \text{ kJ/m}$$

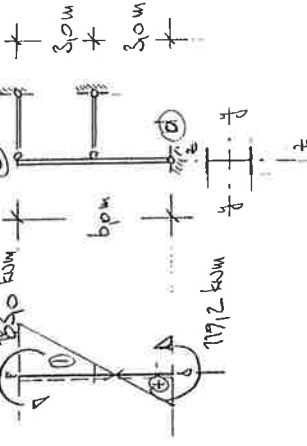
$$w_{pe} = f_{yk} \cdot A = 1745 \text{ kN}$$

$$w_{pe,d} = f_{yd} \cdot A = 1586 \text{ kN}$$

NACHWEIS - BIEGEDRILLKNICKEN

(DIN 10204 S15 RF 34.3)

NACHWEIS DER RAHMENSTABE DURCH STEL 3



$N = 10219 \text{ kN}$ (DRUCK ? \neq)

$S_k = l = 30 \text{ m}$ (CASULLACERUNG)

$$\Pi_{k1,y} = \int N_{k1,z} \cdot (C + 0,25 \cdot z^2 + 0,5 \cdot z_p)$$

$$N_{k1,z} = \frac{P \cdot E J}{L^2} = 2375 \text{ kN}$$

$$C = \frac{2 \cdot w_{10} + 0,039 \cdot l^2 \cdot J}{J \cdot z} = 399,1 \text{ cm}^2$$

$$z_p = z = 0,17 \Rightarrow \psi = 1,77 - 0,77 \cdot \psi = 1,059$$

$$\Pi_{k1,y} = 784,2 \text{ kNm} \quad \bar{\lambda}_n = \sqrt{\frac{\Pi_k}{\Pi_{k1,y}}} = 0,5587 \quad n = 2,5 \text{ (UNGERPROFIL)}$$

$$k_n = \left(\frac{1}{1 + \bar{\lambda}_n^2} \right)^{k_n} = 0,9790$$

$$\bar{\lambda}_k = \sqrt{\frac{N_{k1,z}}{N_{k1,z}}} = 0,5536$$

$w_b = 2,1 > 1,2 \quad t = 8 \text{ mm} < 40 \text{ mm} \quad \perp z-z \Rightarrow \text{LINIE } b \Rightarrow \alpha = 0,34$

$$k = 0,5 \cdot [1 + \alpha \cdot (\bar{\lambda}_k - 0,2) + \bar{\lambda}_k^2] = 0,9754 \quad k_z = \frac{1}{k + \sqrt{k^2 - \bar{\lambda}_k^2}} = 0,6909$$

BIEGEDRILLKnickNACHWEIS:

$$\frac{N}{k_z \cdot N_{pe,d}} + \frac{\Pi}{k_n \cdot \Pi_{pe,d}} = \frac{10219}{0,6909 \cdot 1586} + \frac{10219}{0,9790 \cdot 2226} = 0,9336 < 1,0$$

BEW. FÜR $\frac{N}{k_z \cdot N_{pe,d}} < 0,10$ - STAB MIT GERINGER NORTALKRAFT -

GLT: BIEGEDRILLKNICKNACHWEIS: $\frac{\Pi}{k_n \cdot \Pi_{pe,d}} \leq 1,0$

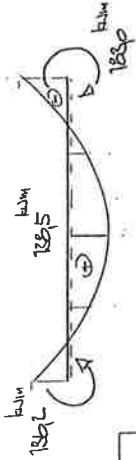
RIEDEL (2)

N = 49,89 kN (CABELLAGERUNG)

$N_{k1,z} = 2375$ kN (WIE VOR)

$k_{1,z} = 0,6709$ (WIE VOR)

$s_x = l = 30$ m



a) NACHWEIS FÜR $\sigma = 138,5$ kN/m

ANM: $\psi = 1,0$ - $\zeta = 1,0$

$\zeta_p = -20$ cm

$\sigma_{k1,y} = 2756$ kN/m $\bar{\lambda}_1 = 97100$ $\bar{\lambda} = 25$ $k_{1,y} = 0,6$ $n = 2,0$ $k_{1,z} = 0,7702$

$$\frac{N}{k_{1,y} \cdot \sigma_{pe,d}} + \frac{\sigma_{k1,y}}{k_{1,z} \cdot \sigma_{pe,d}} \cdot k_{1,y} = \frac{49,89}{0,6709 \cdot 15886} + \frac{138,5}{0,7702 \cdot 22226} \cdot 1,0 = 0,04552 + 0,0076 = 0,0533 < 1,0$$

b) NACHWEIS FÜR $\tau_y = 1630$ kN/m

ANM: $\psi = \phi$ - $\zeta = 1,77$

$\zeta_p = \phi$

$\tau_{k1,y} = 8469$ kN/m $\bar{\lambda}_1 = 95376$ $n = 25$ $k_{1,y} = 0,9226$

$$\frac{49,89}{0,6709 \cdot 15886} + \frac{1630}{0,9226 \cdot 22226} \cdot 1,0 = 0,04553 + 0,00867 = 0,0542 < 1,0$$

A1.9 ELASTIZITÄTSTHEORIE II. ORDNUNG - (ELAST. - PLAST.)

(NACH DIN 10260 T1.1.2 - NOVEMBER 1990)

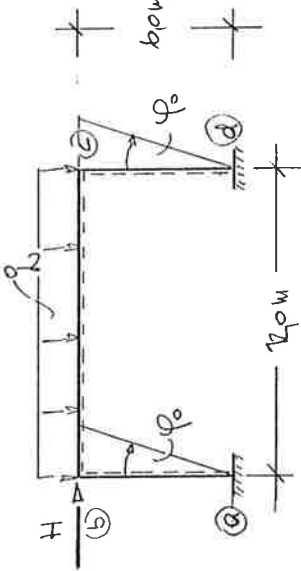
SYSTEM UND BELASTUNG:

$$\frac{Q_{el,z}}{H_d} = l_0 = \text{const}$$

IPE 300 St 57

$\lambda = \text{const.}$

$E = 21 \cdot 10^4$ kN/cm²



GESUCHT: TRAGLAST DES SYSTEMS FÜR $\frac{Q_{el,z}}{H_d} = 1,0$

QUERSCHNITTSWERTE - IPE 300:

$A = 72,7$ cm²

$S_y = 510$ cm³

$W_y = 904$ cm³

$W_{pl,y} = 1060$ cm³

$Q = 0,571$ kN/m

$t_s = 9,8$ cm $t_f = 17,7$ cm $l = 36,0$ cm $b = 17,0$ cm

$J_y = 16270$ cm⁴ $i_y = 15,0$ cm

$J_z = 1040$ cm⁴ $i_z = 37,7$ cm

$J_{yy} = 315600$ cm⁶ $J_{zz} = 289$ cm⁶

$A_s = t_s \cdot (l - 2 \cdot \frac{t_f}{2}) = 2776$ cm²

$f_{yk} = 24,0$ kN/cm²

$f_{yk} = 24,82$ kN/cm²

$\text{max } \sigma_{pe} = \frac{W_{pl,y}}{W_y} = 1,13 < \text{max } \sigma_{pe} = 1,25$

$N_{pe,d} = A \cdot f_{yk} = 1745$ kN

$R_{pe,d} = A_s \cdot f_{yk} / \sqrt{3} = 385$ kN

$N_{pe,d} = 1586$ kN

$R_{pe,d} = 350$ kN

$N_{pe,d} = 2246$ kN/m

1. ANNÄHME

$q_d = 19,7 \text{ kN/m} \rightarrow H_d = 23,64 \text{ kN}$
 (XF-TYPEN LASTEN)

ABSCHÄTZUNG DER VORTRAGKRÄFTE ÜBER TH, I ORDNUNG
 (N > + DRUCK)

⑤	N _s	E _s	F ₁	F ₂	F ₃
①	130	0,882	3980	2005	5965
②	65	0,5807	3961	2010	5971
③	130	0,882	3980	2005	5965

$z = l \cdot \frac{N}{(EI)l}$

⑤	h ₁ /h _s	κ _s	λ _s	γ _s
①	10	3980	2005	5965
②	0,5	1961	1005	2968
③	10	3980	2005	5965

$\frac{\pi}{(EI)l} = \kappa_s \cdot \left(\frac{h_1}{h_s}\right) \cdot r_1 \cdot \lambda_s = \left(\frac{h_1}{h_s}\right) \cdot E \cdot \kappa_s \cdot \left(\frac{h_1}{h_s}\right) \cdot \lambda_s \quad (C = \frac{(EI)l}{l_1} = 5177 \text{ kNm})$

VORVERDREHUNG φ_0 :

$\varphi_0 = \frac{1}{200} \cdot r_1 \cdot r_2 \quad r_1 = \sqrt{\frac{5}{6}} = 0,9127 \quad r_2 = \frac{1}{2} \cdot \left(1 + \sqrt{\frac{1}{4}}\right) = 0,8536 \quad u = 2$

$\varphi_0 = 900 \cdot 38916$

$z < 10 \rightarrow$ KEINE VORKORREKTUREN

BERECHNUNG NACH DER DEFORMATIONSMETHODE

UNBEKANNTEN $\varphi_b, \varphi_c, \bar{\varphi}$ $[A] \cdot \{X\} + \{S\} = +$

KOEFFIZIENTEN:

LF $\varphi_b = 10$:

$q_{11} = \kappa_1 + \kappa_2 = 5961 \quad q_{12} \cdot \lambda_2 = 1005 \quad q_{13} = -\frac{1}{l_1} \cdot \gamma_1 = -0,9975$

LF $\varphi_c = 10$:

$q_{22} = \kappa_2 + \kappa_3 = 5961 \quad q_{23} = -\frac{1}{l_3} \cdot \gamma_3 = -0,9975$

LF $\bar{\varphi} = 10$:

$q_{31} = q_{13} \quad q_{32} = q_{23} \quad q_{33} = \frac{1}{l_1} \cdot \gamma_1 - \frac{1}{l_2} + \frac{1}{l_3} \cdot \gamma_3 - \frac{1}{l_3} \cdot \gamma_3 = 0,6567$

LF $q_1 H$:

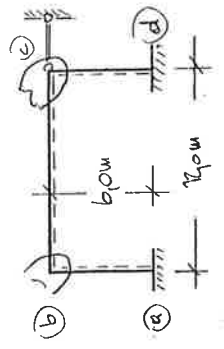
$\Pi_{100}^0 = \Pi_{100}^0 = -0,08275 \cdot q_1 \cdot l^2 = -25776 \text{ kNm}$

$q_{10} = -q_{20} = -25776 \text{ kNm}$

$q_{30} = -H - (H_1 \cdot \varphi_0 + H_2 \cdot \varphi_0) = -24165 \text{ kN}$

GLEICHUNGSSYSTEM UND LÖSUNG:

$q_{11} \cdot \varphi_b + q_{12} \cdot \varphi_c + q_{13} \cdot \bar{\varphi} + q_{10} = +$
 $q_{21} \cdot \varphi_b + q_{22} \cdot \varphi_c + q_{23} \cdot \bar{\varphi} + q_{20} = +$
 $q_{31} \cdot \varphi_b + q_{32} \cdot \varphi_c + q_{33} \cdot \bar{\varphi} + q_{30} = +$



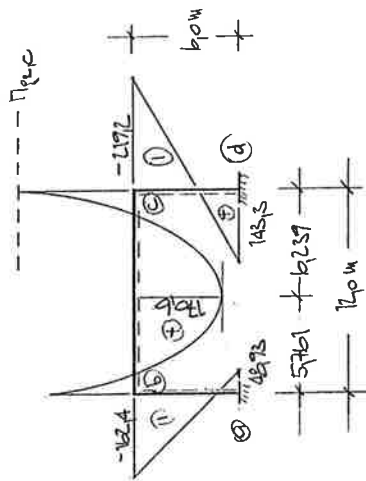
φ_b	φ_c	$\bar{\varphi}$	LF
5961	1005	-0,9975	25776
1005	5961	-0,9975	-25776
-0,9975	-0,9975	0,6567	24165
φ_b	φ_c	$\bar{\varphi}$	DET(A)
57,46	-38,43	66,44	7+

$[A] \cdot \{X\} = -\{S\}$
 $\varphi_i = \varphi_i / C$

STABENMOMENTE:

$$\begin{aligned} \Pi_{ik} &= \Pi_k + x_s \cdot (\bar{\varphi}_i - \frac{\bar{\varphi}}{l}) + x_s \cdot (\bar{\varphi}_k - \frac{\bar{\varphi}}{l}) \\ \Pi_{ki} &= \Pi_k - x_s \cdot (\bar{\varphi}_i - \frac{\bar{\varphi}}{l}) - x_s \cdot (\bar{\varphi}_k - \frac{\bar{\varphi}}{l}) \end{aligned}$$

		$Q = 19,7 \text{ kN/m}$	
⑤	i-k	Π_{ik} kNm	Π_{ki} kNm
①	a	+	48,73
	b	+	-162,4
②	b	-237,6	-162,4
	c	-237,6	-217,2
③	c	+	-217,2
	d	+	143,3



STABENKRÄFTE $R_{ik} = R_s + R_{ik}^L$

$$R_s = -\frac{1}{l} (\Pi_{ik} - \Pi_{ki}) - N_s \cdot (\frac{\bar{\varphi}}{l} + \varphi_0)$$

R_{ik}^L ... KRÄFTE INFOLGE QUERSBELASTUNG AN NÄHERN AUF 2 STÜTZEN

$$R_{bc}^L = -R_{cb}^L = \frac{1}{2} \cdot Q \cdot l = 120,2 \text{ kN}$$

		$Q = 19,7 \text{ kN/m}$	
⑤	i-k	R_{ik}^L kN	R_{ki}^L kN
①	a	+	-34,01
	b	+	
②	b	116,2	113,5
	c	-116,2	-122,9
③	c	+	
	d	+	57,63

$$\sum H = +, \quad \sum V = +$$

STABENQUERKRÄFTE Q:

$$Q_{ik} = R_{ik} + N_s \cdot (\frac{\bar{\varphi}}{l} + \varphi_0) \quad Q_{ki} = R_{ki} + N_s \cdot (\frac{\bar{\varphi}}{l} + \varphi_0)$$

		$Q = 19,7 \text{ kN/m}$	
⑤	i-k	Q_{ik} kN	Q_{ki} kN
①	a	-35,50	
	b	-34,06	
②	b	114,2	
	c	-123,4	
③	c	57,17	
	d	60,14	

NORMALKRÄFTE

AUS GLEICHWE. ($N_s < +$ DRUCK)

		$Q = 19,7 \text{ kN/m}$	
⑤	i-k	N_s	
①	a-b	-113,5	
②	b-c	-57,63	
③	c-d	-122,9	

GESCHÄTZTEN NORMALKRÄFTE SIND GRÖßER ALS DIE BERECHNETEN
→ SICHERE SEITE

max. FELDPOINT STAB b-c:

$$\Pi_0 = \frac{1}{2} \cdot 0 \cdot 0^2 \quad \Pi_1 = \frac{\Pi_{ik} + \Pi_{kl} + 2 \cdot \Pi_0}{\cos^2 \frac{\alpha}{2}}$$

$$V = \frac{\Pi_{ik} - \Pi_{kl}}{\Pi_1} \cdot \sin \frac{\alpha}{2} \quad \chi_{\Pi} = 0,5 \cdot \int \Pi$$

	kw/m
	$q = 19,7$
Π_0	9415
Π_1	17170
V	0,0693
$\int \Pi$	0,4801
χ_{Π}	5,761
max Π	170,6

INTERAKTIONSBEZIEHUNG Π_1, Π_2, α

lt. BIN 16600 T1, 526 TAB 16

$$\frac{\max N}{N_{pl,d}} = \frac{130}{1586} = 0,08197 < 0,6 \quad \frac{\max R}{R_{pl,d}} = \frac{1234}{350} = 0,3526 > 0,33 \Rightarrow$$

Π_1, α INTERAKT.

STAB b-c:

KNOTEN c - LINKS: $\Pi_{pl,c} (1 - \alpha) \cdot \frac{R_{pl,d}}{R_{pl,d}} \cdot \frac{1}{\cos^2 \frac{\alpha}{2}} \cdot \Pi_{pl,d} = 2290 \text{ kNm}$

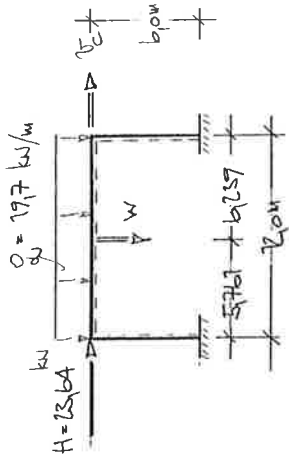
$$\Pi_{c0} = -2172 \text{ kNm} < \Pi_{pl,c} = -2290 \text{ kNm} \quad \checkmark$$

INTERAKTION ÜBERALL EINGEHALTEN

NACHWEIS VON GRENZE (b/c) lt. TAB 15. T1. 517

ERFÜLLT, DA (b/c) GRENZE (b/c) VON TAB 16 (PLAST.-PLAST) ENHÄLT - SIEHE FLESSGRENZKTH. II ORDNUNG

VERTORTUNGEN



$$\Pi_1: \Delta W = -0,04912 \text{ m}$$

$$\Pi_k: \Delta W = -0,06461 \text{ m}$$

$$q: \Delta W = 0,17603 \text{ m}$$

$$\text{STELLE } \chi_{\Pi}: W = 0,06257 \text{ m} \approx 6,3 \text{ cm}$$

$$\frac{v}{c} = \frac{v}{c} = 0,07263 \text{ m} \approx 7,3 \text{ cm}$$

NACHWEIS - BIEGEDRILLKNICKEN

(BIN B600 T2. 515 PKT 3.4.3)

NACHWEIS DER RAHMENSTELLE DURCH STEL 3

$$N = 122,9 \text{ kN (DRUCK > +)}$$

$$S_k = l = 2,0 \text{ m (CASBLAGERUNG)}$$

$$N_{k1,z} = \frac{\pi^2 \cdot E \cdot J_z}{l^2} = 5389 \text{ kN}$$

$$\lambda_k = \sqrt{\frac{N_{k1,z}}{N_{k1,e}}} = 0,5690$$

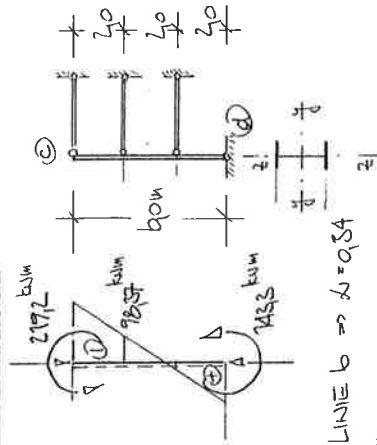
$$\psi_{l0} = 2,1 > 1,2 \quad t_{eff} = 40 \perp z-z \rightarrow \text{LINIE } b \Rightarrow \lambda = 0,54$$

$$k = 0,5 \cdot (1 + \lambda \cdot (\lambda_k - 0,20) + \lambda_k^2) = 0,7246$$

$$k_z = \frac{1}{k + |k^2 - \lambda^2|} = 0,8523$$

$$c^2 = \frac{N_{k1,z} + 0,039 \cdot l^2 \cdot J_z}{J_z} = 3449 \quad \psi_p = + \quad \psi = 0,45 \quad \lambda_1 = 1,42$$

$$\Pi_{k1,z} = \lambda_1 \cdot N_{k1,z} (\sqrt{k^2 + 0,25 \cdot \psi_p^2} + 0,5 \cdot \psi_p) = 1421 \text{ kNm} \quad \bar{\lambda}_1 = \sqrt{\frac{c^2}{\Pi_{k1,z}}} = 0,4151$$



$\mu = 2.5$ ($\psi < 95$) WÄZPROFIL $k_{\eta} = \left(\frac{1}{1 + \frac{1}{\lambda_{\eta}}} \right) \cdot \lambda_{\eta} = 0.9951$

BIEGEDRILLKnicknachweis:

$\frac{N}{k_{\xi} \cdot N_{pl,d}} = \frac{122.9}{0.8523 \cdot 15866} = 0.97072 < 0.10 \Rightarrow$

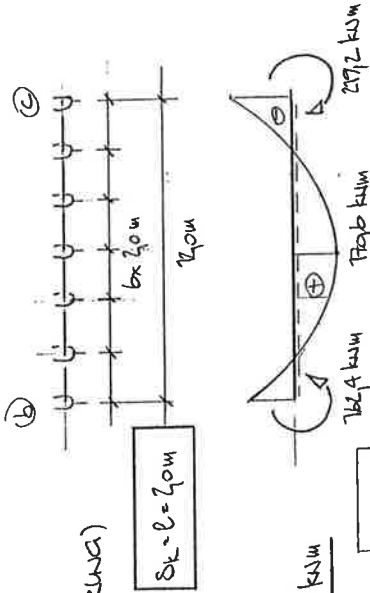
$\frac{\Pi}{k_{\eta} \cdot \Pi_{pl,d}} = \frac{219.2}{0.9751 \cdot 2226} = 0.9896 \leq 1.0 \checkmark$

RIEGEL ②

$N = 57.63$ kN (GABELVERLÄNGERUNG)

$N_{k1,\xi} = 5369$ kN (WIE VOR)

$k_{\xi} = 0.8523$ (WIE VOR)



a) Nachweis für $\Pi_y = 170.6$ kNm

Ans. $\psi = 1.0 \rightarrow \lambda = 1.0$

$\xi_p = -1.0$

$\Pi_{k1,y} = 577.0$ kNm $\lambda_{\eta} = 0.6377$ $\bar{\mu} = 2.5$ $k_{\eta} = 0.8$ $\mu = 2.0$

$k_{\eta} = 0.9254$

$\frac{N}{k_{\xi} \cdot N_{pl,d}} = \frac{57.63}{0.8523 \cdot 15866} = 0.4411 < 0.10 \Rightarrow$

$\frac{\Pi}{k_{\eta} \cdot \Pi_{pl,d}} = \frac{170.6}{0.9254 \cdot 2226} = 0.8162 \leq 1.0 \checkmark$

b) Nachweis für $\Pi_y = 219.2$ kNm



Ans. $\psi = 1.0 \rightarrow \lambda = 1.0$

$\xi_p = 1.0$

$\Pi_{k1,y} = 1771$ kNm $\lambda_{\eta} = 0.3718$ $\mu < 9.4 \rightarrow k_{\eta} = 1.0$

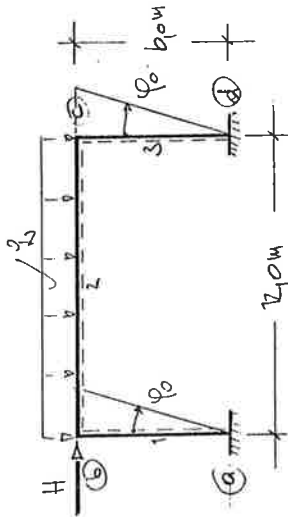
$\frac{N}{k_{\xi} \cdot N_{pl,d}} = \frac{57.63}{0.8523 \cdot 15866} = 0.4411 < 0.10 \Rightarrow$

$\frac{\Pi}{k_{\eta} \cdot \Pi_{pl,d}} = \frac{219.2}{1.0 \cdot 2226} = 0.9847 \leq 1.0 \checkmark$

1.10. FLIESSCELENKTHEORIE I. ORDNUNG (EXAKTE BEK.)

BERECHNET NACH DIN 10200 T1, T2 - NOVEMBER 1970

SYSTEM UND BELASTUNG:



$$\frac{q_d \cdot l_0}{H_d} = 10 = \text{const.}$$

IPE 360 ST 37
 $J = \text{const.}$
 $E = 21 \cdot 10^4 \text{ kN/cm}^2$

GESUCHT: TRAGLAST DES SYSTEMS FÜR: $\frac{q_d \cdot l_0}{H_d} = 10$

QUERSCHNITTSWERTE - IPE 360:

$A = 727 \text{ cm}^2, A_S = 2 \cdot z_s \cdot (h - t_f) = 2770 \text{ cm}^2, \sigma = 0.571 \text{ kN/m}$
 $S_y = 510 \text{ cm}^3, W_{y, \text{ges}} = 904 \text{ cm}^3, W_{y, \text{IPE}} = 2 \cdot S_x = 1020 \text{ cm}^3, \alpha_{y, \text{IPE}} = 1.13$
 $J_y = 16 \text{ cm}^4, i_y = 15 \text{ cm}, J_z = 1040 \text{ cm}^4, i_z = 32.9 \text{ cm}$
 $J_{\text{ges}} = 313 \text{ cm}^4, J_T = 169 \text{ cm}^4$

RECHNUNG NACH FG TH.I. ORD. ZULÄSSIG:

DIN 10200 T2, S26 PKT 5.3.2.4 (S27)

$$\alpha = b \cdot \frac{(E \cdot J_s)_d}{N \cdot l_0} \geq b$$

$$1 + \frac{J_s \cdot l_0}{J_k \cdot l_0} \cdot \frac{(E \cdot J_s)_d}{N \cdot l_0} \geq b$$

$$\frac{b}{1 + \frac{J_s \cdot l_0}{J_k \cdot l_0}} \cdot \frac{(E \cdot J_s)_d}{N \cdot l_0} \geq b$$

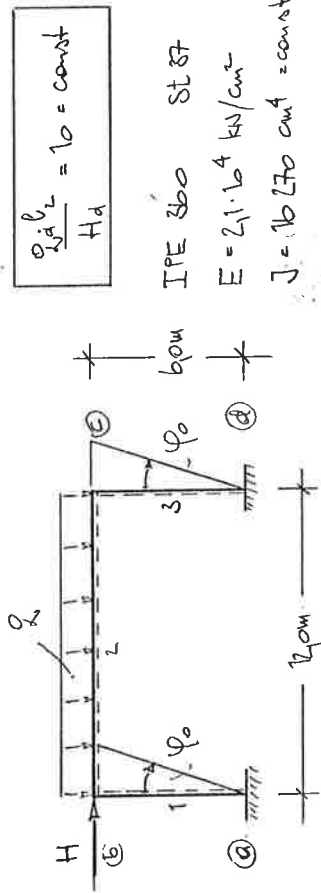
$\Rightarrow N \leq 1776 \text{ kN}$ BEM $0 \leq N_1, 38 \text{ kN/m} < q_0 = 17.7 \text{ kN/m}$ (VERT. EF.)

\rightarrow ZU NIEDER \rightarrow ABSUCH

A1.11 FLIESSCELENKTHEORIE II ORD. (EXAKTE BERECHNUNG)

BERECHNET NACH DIN 10200 T1, T2 - NOVEMBER 1970

SYSTEM UND BELASTUNG:



$$\frac{q_d \cdot l_0}{H_d} = 10 = \text{const.}$$

IPE 360 ST 37
 $E = 21 \cdot 10^4 \text{ kN/cm}^2$
 $J = 16 \text{ cm}^4$

GESUCHT:

TRAGLAST DES REG. SYSTEMS FÜR: $\frac{q_d \cdot l_0}{H_d} = 10 = \text{const.}$

1. ANNAHME:

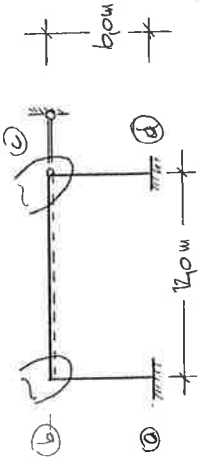
$$q_d = 200 \text{ kN/m} \rightarrow H_d = 240 \text{ kN}$$

ABSCHÄTZUNG DER NORTALKRÄFTE N_S ÜBER TH. I. ORDNUNG
 $N > +$ DRUCK

$$z_0 = l_0 \cdot \sqrt{\frac{N_S}{(E \cdot J_s)_d}}$$

S	N_S [kN]	z_0/l_0	z_s	F_1	F_2	F_3	F_4
1	1200	1.0	0.5727	3962	2005	5986	1197
2	650	0.5	0.5489	3961	2010	5970	-
3	1300	1.0	0.5882	3960	2005	5985	1197

$a_{30} = -H - \varphi_0 \cdot (N_1 + N_3) = -24,977 \text{ kN}$



GLEICHUNGSSYSTEM UND LÖSUNG:

$a_{11} \cdot \varphi_0 + a_{12} \cdot \varphi_c + a_{13} \cdot \bar{\varphi} + a_{10} = 0$
 $a_{21} \cdot \varphi_0 + a_{22} \cdot \varphi_c + a_{23} \cdot \bar{\varphi} + a_{20} = 0$
 $a_{31} \cdot \varphi_0 + a_{32} \cdot \varphi_c + a_{33} \cdot \bar{\varphi} + a_{30} = 0$
 $\varphi_1 = \frac{\varphi_0}{2}$

$[A] \cdot \{X\} = -\{S\}$

φ_0	φ_c	$\bar{\varphi}$	S_A	LF
5963	1005	-0,9977	-1005	241,2
1005	5961	-0,9977	-1981	-241,2
-0,9977	-0,9977	0,6572	+	24,97
-1005	-1981	+	1981	21,80

φ_0	φ_c	$\bar{\varphi}$	S_A	DETAILED DISSIPAT.
5827	-37,04	67,19	-	> +
5940	-37,13	71,80	4,0 k	> +

(5)	h/l_c	λ_s	γ_s
①	1,0	2,005	5,966
②	0,5	1,981	2,986
③	1,0	2,005	5,965

$\frac{\pi}{(EI)l} = \lambda_s = \left(\frac{h}{l_c}\right)^2 \cdot \gamma_s$ $\lambda_2 = \left(\frac{h}{l_c}\right)^2 \cdot \gamma_2$ $\gamma_2 = \left(\frac{h}{l_c}\right)^2 \cdot \gamma_2$ $(C - \frac{(EI)l}{EI}) = 5,977 \text{ kNm}$

VORVEREHNUNG φ_0 :

$\varphi_0 = \frac{1}{2} \cdot \gamma_1 \cdot \gamma_2 \cdot \sqrt{\frac{EI}{C}} = 0,1127$ $\gamma_2 = \frac{1}{2} \cdot \left(1 + \sqrt{\frac{EI}{C}}\right) = 0,6536$ $n=2$
 $\varphi_0 = 0,003896$ $\varepsilon < 1/10 \rightarrow w_0 = \varphi$

BERECHNUNG NACH DER DEF. METHODE: $[A] \cdot \{X\} + \{S\} = 0$

UNBEKANNTE: $\varphi_0, \varphi_c, \bar{\varphi}$

KOEFFIZIENTEN:

LF: $\varphi_0 = 1,0$:

$a_{11} = \gamma_1 + \gamma_2 = 5963$ $a_{21} = \lambda_2 = 1005$ $a_{31} = -\frac{1}{2} \cdot \gamma_1 = -0,9977$

LF: $\varphi_c = 1,0$:

$a_{12} = \gamma_2 + \gamma_3 = 5961$ $a_{22} = \lambda_2 = 1005$ $a_{32} = -\frac{1}{2} \cdot \gamma_2 = -0,9977$

LF: $\bar{\varphi} = 1,0$:

$a_{13} = a_{13} = -\frac{1}{2} \cdot \gamma_1 = -0,9977$

$a_{33} = \frac{1}{2} \cdot \gamma_1 \cdot \gamma_2 - \frac{N_1}{l_c} + \frac{1}{2} \cdot \gamma_2 \cdot \gamma_3 - \frac{N_3}{l_c} = 0,6572$

LF $\varphi_0 = 2,005 \text{ kNm}$; $H_0 = 24,0 \text{ kN}$:

$\Pi_{10} = \Pi_{10} = -0,06375 \cdot 0,0 \cdot l_c^2 = -241,2 \text{ kNm}$

$a_{10} = -241,2$ $a_{20} = 241,2$

STABENDMOMENTE:

$$\begin{aligned} \Pi_{ik} &= \Pi_{ik}^0 + \alpha_s \cdot (\bar{\varphi}_i - \bar{\varphi}_k - \bar{\vartheta}_i) + \lambda_s \cdot (\bar{\varphi}_k - \bar{\varphi}_i - \bar{\vartheta}_k) - \rho \cdot i \cdot \bar{g}_k \\ \Pi_{ki} &= \Pi_{ki}^0 - \lambda_s \cdot (\bar{\varphi}_i - \bar{\varphi}_k - \bar{\vartheta}_i) - \alpha_s \cdot (\bar{\varphi}_k - \bar{\varphi}_i - \bar{\vartheta}_k) - \rho \cdot k \cdot \bar{g}_k \end{aligned}$$

		ELAST.		FG A	
⑤	i-k	Π_{i-k}^0 [kNm]	Π_{i-k} [kNm]	Π_{i-k} [kNm]	Π_{i-k} [kNm]
①	a	+	47,79	47,45	
	b	+	-165,0	-164,9	
②	b	-241,2	-165,0	-164,9	
	c	-241,2	-222,4	-219,4	✓
③	c	+	-222,4	-219,4	
	d	+	145,3	146,7	

STABENKRÄFTE $R_{ik} = R_s + R_{ik}^L$:

$$R_s = -\frac{1}{l} \cdot (\Pi_{ik} - \Pi_{ki}) - N_s \cdot \left(\frac{\bar{v}}{l} + \varphi_{0s}\right)$$

R_{ik}^L ... KRÄFTE INF. QUERLAST AN BALLEN AUF L STÜTZEN

$$R_{bc}^L = -R_{cb}^L = -\frac{1}{2} \cdot q \cdot l = 132,1 \text{ kN}$$

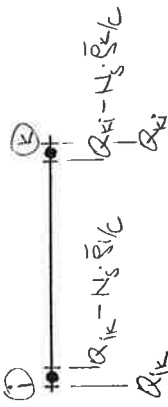
		ELAST.		FG A	
⑤	i-k	R_{ik}^L [kN]	R_{ik} [kN]	R_{ik} [kN]	R_{ik} [kN]
①	a	+	-36,53	-36,14	
	b	+			
②	b	120,0	115,2	115,5	
	c	-120,0	-124,8	-124,5	
③	c	+			
	d	+	60,50	60,11	

KONTROLLE: $\sum H = +$ $\sum V = +$

STABENQUERKRÄFTE Q :

$$Q_{ik} = R_{ik} + N_s \cdot \left(\bar{\varphi}_i - \bar{\varphi}_k + \varphi_{0s}\right) \quad Q_{ki} = R_{ki} + N_s \cdot \left(\bar{\varphi}_k - \bar{\varphi}_i + \varphi_{0s}\right)$$

BEI FLIESSGELENK AN STABENEND:

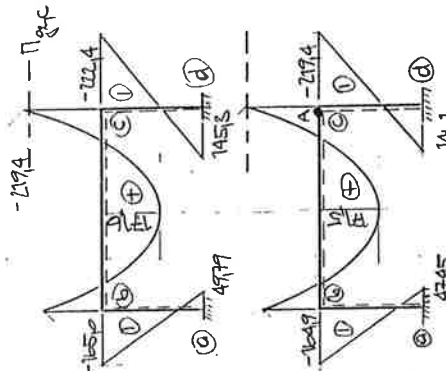


		ELAST.		FG A	
⑤	i-k	Q_{i-k} [kN]	Q_{i-k} [kN]	Q_{i-k} [kN]	Q_{i-k} [kN]
①	a	-36,06	-35,67		
	b	-34,71	-34,30		
②	b	115,9	116,2		
	c	-125,3	-125,0		
③	c	60,03	59,68		
	d	61,01	60,62		

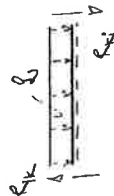
NORMALKRÄFTE: AUS GLEICHGEN. ($N_s < +$ DRUCK)

		ELAST.		FG A	
⑤	i-k	N_s [kN]	N_s [kN]	N_s [kN]	N_s [kN]
①	a-b	-115,2	-115,5		
	b-c	-60,50	-60,11		
③	c-d	-124,8	-124,5		

Π [kNm]



(VERLAUTE NACH TH. I. O.E.D.)



MAX. FELD MOMENT STAB b-c:

$$\sigma_0 = \frac{1}{2} \cdot \sigma_1^2 \quad \sigma_1 = \frac{\pi_{ik} + \pi_{ei} + 2\pi_0}{\cos \xi_k} \quad v = \frac{\pi_{ik} - \pi_{ei}}{\pi_1 \cdot \cos \xi_k}$$

$$\xi_n = \frac{1}{2} - \frac{1}{2} \cdot \arctan v \quad \max \pi = \frac{1}{2} \sqrt{1+v^2} \cdot \pi_1 - \pi_0$$

$$x_n = \xi_n \cdot l_n$$

$$\xi = 0,5432 \quad l_n = 12,0 \text{ m} \quad \sigma = 2,0 \text{ kN/m}$$

	ELAST.	FG
		A
π_0	7559	9559
π_1	19460	19460
v	0,01088	0,01033
ξ_n	0,4802	0,4812
x_n	5,762	5,774
max π	171,6	171,5

ERMITTLUNG DER PLAST. SCHNITTGRÖSSEN

$$f_{yk} = 24,0 \text{ kN/cm}^2$$

$$f_{yd} = f_{yk} / \gamma_f \quad \gamma_f = 1,1$$

$$N_{pe} = f_{yk} \cdot A = 24,0 \cdot 72,7 = 1745 \text{ kN}$$

$$\pi_{pe} = f_{yk} \cdot z \cdot S = 24,0 \cdot 2,5160 = 244,8 \text{ kNm}$$

$$R_{pe} = V_{pe} = f_{yk} / \sqrt{3} \cdot A_s = 13,86 \cdot 27,78 = 385,0 \text{ kN}$$

$$A_s = \xi_s \cdot t_s = 34,73 \cdot 0,9 = 27,78 \text{ cm}^2$$

INTERAKTIONSBEZIEHUNG FÜR Q(V), π_1, N :

STAB ①:

$$\frac{N}{N_{pe,d}} = 0,0764 < 0,10 \quad \frac{R}{R_{pe,d}} = 0,1030 < 0,93 \quad \pi_{pe} = \pi_{pe,d} = 222,6 \text{ kNm}$$

STAB ②:

$$\frac{N}{N_{pe,d}} = 0,08815 < 0,10 \quad \frac{R}{R_{pe,d}} = 0,3526 > 0,93 \quad q_{88} \cdot \frac{\pi}{\pi_{pe,d}} + 0,97 \cdot \frac{R}{R_{pe,d}} = 1$$

$$\pi_{pe,d} = (1 - 0,97 \cdot \frac{R}{R_{pe,d}}) \cdot \frac{1}{q_{88}} \cdot \pi_{pe,d} = 219,4 \text{ kNm}$$

$$\pi_{cb} = -222,4 \text{ kNm} \quad |\pi_{cb}| > \pi_{pe,c} = 219,4 \text{ kNm}$$

=> FLEISSELENK A IN ②

SYSTEM MIT FG A IN ②

$$\pi_A = -219,4 \text{ kNm}$$

$$LF \bar{g}_A = l_0$$

$$q_{1A} = -\lambda_2 = -1,005 \quad q_{2A} = -\xi_2 = -1,161 \quad q_{3A} = \pi \quad q_{4A} = \xi_2 = 1,161$$

$$q_{40} = \pi_{cb} = -241,2 \text{ kNm}$$

$$q_{41} \cdot \varphi_0 + q_{42} \cdot \varphi_c + q_{43} \cdot \pi + q_{44} \cdot g_A + q_{40} = \pi_A \quad \text{POTENTIALMETH. AN FG, A}$$

=> LÖSUNG DES GLEICHUNGSSYSTEMS

INTERAKTIONSBEZIEHUNG FÜR Q(V), N, π

$$\frac{max N}{N_{pe,d}} = 0,08197 < 0,10 \quad \Rightarrow \text{Q, π INTERAKTION}$$

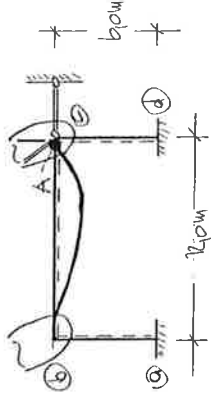
$$\pi_{pe,c} = (1 - 0,97 \cdot \frac{R_{cb}}{R_{pe,d}}) \cdot \frac{1}{q_{88}} \cdot \pi_{pe,d} = 219,5 \text{ kNm}$$

$$\pi_A = -219,4 \text{ kNm} \approx \pi_{pe,c} = -219,5 \text{ kNm}$$

$$max \pi_{Feld} = 171,5 \text{ kNm} < \pi_{pe,d} = 222,6 \text{ kNm} \Rightarrow \text{SYSTEM HAT}$$

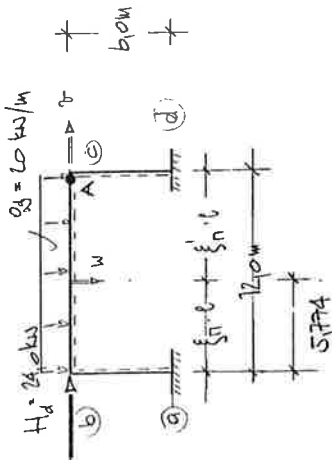
NOCH EINE PLAST. RESERVE BEZÜGLICH $\sigma_{NOCH} < \sigma_{PRELUSST}$

GESCHÄTZTEN NORTALKRÄFTE SIND GRÖßER ALS DIE BERECHNETEN -> SICHERE SEITE



VERFÜNDEN AN FLIESSBLEIKSYSTEM

INFOLGE $q_d = 20 \text{ kN/m} \rightarrow H_d = 24,0 \text{ kN}$



W... DURCHRIEGUNG AN DER STELLE WOH Π_{FEAD}

$\xi_n = 0,4612 \quad \xi_n = 0,5108$
 $\Pi_1 = -164,9 \text{ kNm} \quad \Pi_2 = -219,4 \text{ kNm}$
 $N = 65,0 \text{ kN}$
 $\varepsilon = 0,5489$

$\Delta W = \left(\frac{\sin \xi_1}{\sin \xi_2} - \xi_1 \right) \cdot \frac{\Pi_1}{N}$
 $\Delta W = \left(\frac{\sin \xi_2}{\sin \xi_1} - \xi_2 \right) \cdot \frac{\Pi_2}{N}$
 $\Delta W = \left[\frac{1}{\xi_2} \left(\frac{\cos \xi_2 (0,5 - \xi_2)}{\cos \xi_1} - 1 \right) - \frac{\xi_1}{\xi_2} \right] \cdot \frac{0,6}{N}$

$\bar{v} = \frac{\bar{v}}{C} = \frac{71,80}{5177} = 0,01387 \text{ m}$

$\bar{v}_C = 1,4 \text{ cm} \quad W(K_N) = 6,4 \text{ cm}$

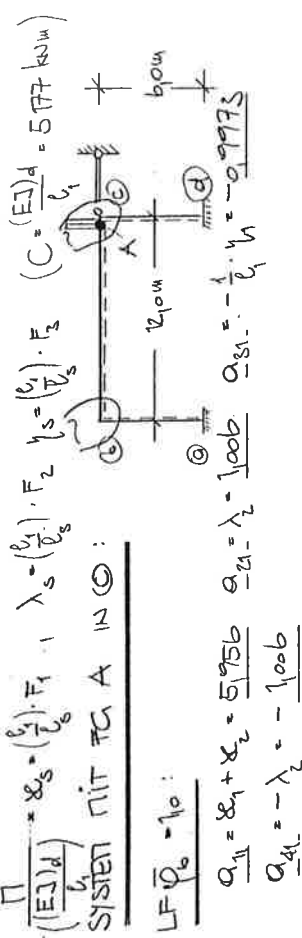
Z. ANNAHME

$q_d = 23,0 \text{ kN/m} \rightarrow H_d = 27,6 \text{ kN}$

⑤	H_s	ε	F_1	F_2	F_3
①	1400	0,4026	3,976	2,006	5,984
②	750	0,5897	3,955	2,011	5,966
③	1500	0,4170	3,977	2,006	5,983

$\varepsilon = 0,1 \cdot \frac{N}{(EJ)^d}$

⑤	b_1/b_s	λ_s	η_s
①	10	3,976	2,006
②	0,5	1,976	1,006
③	10	3,977	2,006



LF $\bar{v}_C = 10$:

$a_{12} = \lambda_2 + \lambda_3 = 5,955 \quad a_{13} = a_{12} \quad a_{21} = -\frac{1}{b_s} \cdot \eta_s = -0,9972 \quad a_{22} = -\lambda_2 = -1,976$

LF $\bar{v} = 10$:

$a_{12} = -\frac{1}{b_s} \cdot \eta_1 = -0,21 \quad a_{23} = -\frac{1}{b_s} \cdot \eta_3 = 0,21 \quad a_{43} = +$
 $a_{33} = \frac{1}{b_s} \cdot 2 \cdot \eta_1 - \frac{1}{b_s} \cdot 2 \cdot \eta_2 + \frac{1}{b_s} \cdot 2 \cdot \eta_3 - \frac{1}{b_s} \cdot 2 \cdot \eta_4 = 0,6555$

LF $\bar{v}_A = 10$:

$a_{14} = -\lambda_2 = a_{41} \quad a_{24} = -\lambda_2 = a_{42} \quad a_{34} = + \cdot a_{43} \quad a_{44} = \lambda_2 = 1,976$

LF q_1, H :

$$\Pi_{0c} \cdot \Pi_{0b} = -0,08882 \cdot q_1 \cdot \bar{v} = -277,6 \text{ kNm}$$

$$q_{10} = -q_{10} = -277,6 \text{ kNm}$$

$$q_{30} = -(H + N_1 \cdot \varphi_0 + N_3 \cdot \varphi_0) = -287,3 \text{ kN}$$

$$q_{40} = \Pi_{0c} = -277,6 \text{ kNm} \quad \Pi_{0c} = -216,0 \text{ kNm} = \Pi_A \quad \varphi_0 = 0,008876 \text{ (ANNAHME)}$$

GLEICHUNGSSYSTEM UND LÖSUNG:

$$\begin{aligned} a_{11} \cdot \varphi_0 + a_{12} \cdot \varphi_c + a_{13} \cdot \bar{v} + a_{14} \cdot S_A + a_{10} &= 0 \\ a_{21} \cdot \varphi_0 + a_{22} \cdot \varphi_c + a_{23} \cdot \bar{v} + a_{24} \cdot S_A + a_{20} &= 0 \\ a_{31} \cdot \varphi_0 + a_{32} \cdot \varphi_c + a_{33} \cdot \bar{v} + a_{34} \cdot S_A + a_{30} &= 0 \\ a_{41} \cdot \varphi_0 + a_{42} \cdot \varphi_c + a_{43} \cdot \bar{v} + a_{44} \cdot S_A + a_{40} &= \Pi_A \end{aligned}$$

$$[A] \cdot \{x\} = \{S\}$$

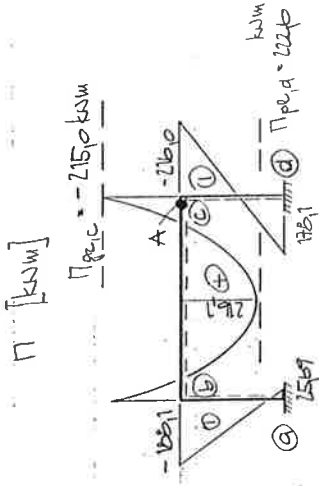
$\bar{\varphi}_0$	$\bar{\varphi}_c$	\bar{v}	S_A
5956	1006	-0,9973	-1006
1006	5955	-0,9972	-1978
-0,9973	-0,9972	0,6555	+
-1006	-1978	0	1978

(277,6 - 216,0)

$\bar{\varphi}_0$	$\bar{\varphi}_c$	\bar{v}	S_A	RESULTAT
87,36	-17,24	139,9	5379	> +

STABENINTEGRANTE:

⑤	i-k	Π_{i-k}^0 kNm	FC	A
①	a	+	25169	
	b		-1881	
②	b	-277,6	-1802	
	c	-277,6	-2160	
③	c	+	-2160	
	d		1781	



(VERLÄUFE NACH TH. I. ORD.)

STABENKRÄFTE R_{ik} :

⑤	i-k	R_{ik}^L kN	FC	A
①	a	+	-3681	
	b		1357	
②	b	138,0	-1493	
	c	-138,0	6442	
③	c	+		
	d			

ZH = +, ZV = +

STABENDRUCKKRÄFTE Q:

Stab	Stärke	FG
1	a	A
2	b	B
3	c	C
4	d	D

NORMALKRÄFTE N:

Stab	Stärke	FG
1	a-b	-135,7
2	b-c	-141,2
3	c-d	-140,3

(Druck < 0)

max FELD MOMENT STAB b-c [kNm]

Parameter	Value
$q_d = 250$ kN/m	250
π_b	9524
π_c	17480
v	0,004911
ξ_{π}	0,4917
x_{π}	5,900
max π	216,1

INTERAKTION ZW Q(V), N, \pi:

$\frac{max N}{N_{pl,d}} = 0,9458 < 0,6 \rightarrow Q, \pi$

$Q_{A,c} = Q - N \cdot \xi_{\pi} = -141,4 \text{ kN} \rightarrow \pi_{b,c} = -215,1 \text{ kNm} \Rightarrow$

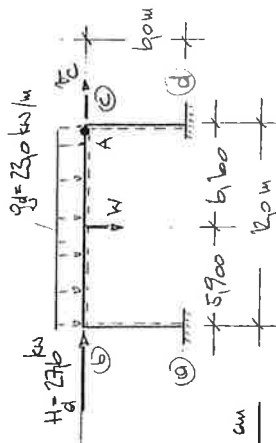
$\pi_A = \pi_{b,c} = -215,1 \text{ kNm} (= \text{ANNAHME}) ; \pi_A = -216,0 \text{ kNm}$

$max \pi = 216,1 \text{ kNm} < \pi_{pl,d} = 222,6 \text{ kNm} \rightarrow \text{SYSTEM TRÄGT NOCH}$

PLAST. RESERVE $6,2\% \quad q < q_{TRAGRESERVE}$

VERFORMUNGEN

$\pi_i = \Delta W = -0,05688 \text{ m}$
 $\pi_k = \Delta W = -0,06458 \text{ m}$
 $q_d = \Delta W = 0,2072 \text{ m}$
 STELLE $x_{\pi} : \bar{W} = 0,08574 \text{ m} \hat{=} 8,6 \text{ cm}$
 $\bar{x} = \frac{\bar{W}}{L} = 0,0702 \text{ m} \hat{=} 7,0 \text{ cm}$



$q_d = 23,8 \text{ kNm} \rightarrow H_d = 28,56 \text{ kN}$

3. ANNAHME

⑤	N _s	ε	F ₁	F ₂	F ₃
①	145	0,4099	3978	2006	5983
②	73	0,5817	3955	2011	5966
③	145	0,4099	3978	2006	5983

$\epsilon = l \cdot \sqrt{\frac{N}{(EI)_d}}$

⑤	l_1/l_3	χ_s	λ_s	y_s
①	1,0	3978	2006	5983
②	0,5	1978	1006	2983
③	1,0	3978	2006	5983

$\frac{\pi}{(EI)_d} \cdot \frac{1}{l_1} = \chi_s \cdot \left(\frac{l_1}{l_3}\right) \cdot F_1$
 $\lambda_s = \left(\frac{l_1}{l_3}\right) \cdot F_2$
 $y_s = \left(\frac{l_1}{l_3}\right) \cdot F_3$

$(C - (EI)_d) \cdot \frac{1}{l_1} = 5177 \text{ kNm}$

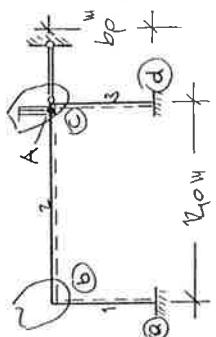
SYSTEM MIT FG A IN ⑥:

LF $\bar{p}_0 = 10$:
 $a_{11} \cdot \bar{x}_1 + \bar{x}_2 = 5980$ $a_{21} \cdot \lambda_2 = 1006$ $a_{31} \cdot \lambda_3 = -0,9972$
 $a_{41} \cdot \lambda_4 = -\lambda_1 = -a_{21}$
 LF $\bar{p}_c = 10$:
 $a_{12} = a_{11}$ $a_{22} = a_{21}$ $a_{32} = -\frac{1}{l_2} \cdot y_3 = -0,9972$ $a_{42} = -\lambda_2 = -1,978$
 LF $\bar{v} = 10$:
 $a_{13} = a_{31}$ $a_{23} = a_{32}$ $a_{33} = \frac{1}{l_2} \cdot y_1 - \frac{N_1}{C \cdot l_1} + \frac{1}{l_2} \cdot y_3 - \frac{H_3}{C \cdot l_1} = 0,6554$
 $a_{43} = +$
 LF $\bar{s}_A = 10$:
 $a_{14} = a_{41}$ $a_{24} = a_{42}$ $a_{34} = a_{43} = +$ $a_{44} = \lambda_2 = 1,978$

LF \bar{v}_1, H_1 :
 $\bar{p}_{c0} = \bar{p}_{c0} = -0,08581 \cdot p \cdot l^2 = -2872 \text{ kNm}$
 $a_{10} = -a_{20} = \bar{p}_{c0} = -2872 \text{ kNm}$ $\varphi_0 = 0,003896$
 $a_{30} = -(H_1 + N_1 \cdot \varphi_0 + N_2 \cdot \varphi_0) = -29,67 \text{ kN}$
 $a_{40} = \bar{p}_{c0} = -2872 \text{ kNm}$ $\bar{\pi}_A = \bar{\pi}_{q_{c,c}} = -214,5 \text{ kNm (ANNAHME)}$

GLEICHUNGSSYSTEM UND LÖSUNG

$a_{11} \cdot \bar{p}_0 + a_{12} \cdot \bar{p}_c + a_{13} \cdot \bar{v} + a_{14} \cdot \bar{s}_A + a_{10} = +$
 $a_{21} \cdot \bar{p}_0 + a_{22} \cdot \bar{p}_c + a_{23} \cdot \bar{v} + a_{24} \cdot \bar{s}_A + a_{20} = +$
 $a_{31} \cdot \bar{p}_0 + a_{32} \cdot \bar{p}_c + a_{33} \cdot \bar{v} + a_{34} \cdot \bar{s}_A + a_{30} = +$
 $a_{41} \cdot \bar{p}_0 + a_{42} \cdot \bar{p}_c + a_{43} \cdot \bar{v} + a_{44} \cdot \bar{s}_A + a_{40} = \bar{\pi}_A$



\bar{p}_0	\bar{p}_c	\bar{v}	\bar{s}_A	\bar{s}_c	\bar{s}_0	LF
5980	1006	-0,9972	-1,006	-0,5111	-1,978	2872
1006	5980	-0,9972	-1,978	0,5032	-1,006	-2872
-0,9972	-0,9972	0,6554	+	+	+	29,67
-1,006	-1,978	+	1,978	-0,5032	1,006	72,70
-0,5111	0,5032	+	-0,5032	0,4658	0,5111	-78,40
-1,978	-1,006	+	1,006	0,5111	1,978	
\bar{p}_0	\bar{p}_c	\bar{v}	\bar{s}_A	\bar{s}_c	\bar{s}_0	DETIAI
8856	-1420	158,4	6759	-	-	7+
101,3	-6331	1898	9463	4981	-	7+
						<+

STABENINTEGRANTE:

		$q_d = 23,8 \text{ kN/m}$	
		FG A	FG A, B
i-k	Π_{ik}	kNm	kNm
⑤			
①	a	17,67	13,91
	b	-194,3	-213,7
②	b	-287,2	-213,9
	c	-287,2	-214,5 ✓
	c	+	-214,5
③	d	+	186,5
④	B	-	222,61

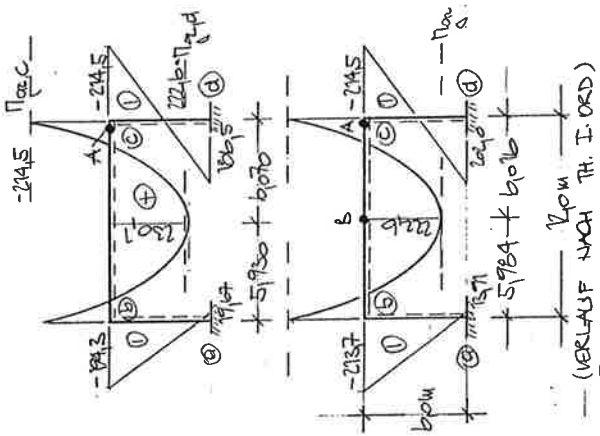
$$\Pi_B = \Pi_B + \frac{1}{l} F_{12} \cdot (\bar{\varphi}_1 - \bar{\varphi}_2 - \bar{\varphi}_i) - \frac{1}{l} F_{12} \cdot (\bar{\varphi}_2 - \bar{\varphi}_1 - \bar{\varphi}_i) - \frac{1}{l} F_{12} \cdot (\bar{\varphi}_2 - \bar{\varphi}_1 - \bar{\varphi}_i) - \frac{1}{l} F_{12} \cdot \bar{\varphi}_i$$

STABENDKRÄFTE R_{ik} :

		$q_d = 23,8 \text{ kN/m}$	
		FG A	FG A, B
i-k	R_{ik}	kN	kN
⑤			
①	a	+	-36,97
	b	142,8	141,1
②	c	-142,8	-144,5
③	c	+	65,53
	d		-37,39
			142,8
			-142,9
			67,97

$$\sum H = 0 \quad \sum V = 0$$

Π [kNm]



VERLAUF NACH TH. I. ORD.

STABENÜBERKRÄFTE Q :

		$q_d = 23,8 \text{ kN/m}$	
		FG A	FG A, B
i-k	Q_{ik}	kN	kN
⑤			
①	a	-36,41	-39,83
	b	-33,92	-35,99
②	b	142,3	144,2
	c	-144,7	-143,0
③	c	65,70	68,36
	d	66,09	68,53

NORMALKRÄFTE: (N <+> DRUCK)

		$q_d = 23,8 \text{ kN/m}$	
		FG A	FG A, B
i-k	N_s	kN	kN
⑤			
①	a-b	-141,1	-142,8
②	b-c	-65,63	67,97
③	c-d	-144,5	-142,9

INTERAKTION $Q(N), N, \Pi$

$$\frac{\max N}{N_{p,c,d}} = 0,9142 < 0,16 \rightarrow Q, \Pi$$

STAB ②

$$\frac{R_{A,c}}{R_{p,c,d}} = 0,4163 \Rightarrow \Pi_{p,c} = -214,0 \text{ kNm} = \Pi_A = -214,5 \text{ kNm (ANNAHME)}$$

$$\Pi_{p,d} = 222,6 \text{ kNm} \quad (N < 0,16 \wedge Q < 0,33)$$

max FELDTONENT STAB b-c

FG	A
Π_b	10130
Π_1	20720
V	0,003400
ξ_n	0,4942
χ_n	5,930
max Π	23011

max $\Pi = 23011 \text{ kNm} > \Pi_{p,d} = 2226 \text{ kNm} \Rightarrow \text{FG B in FELD}$
 $\Pi_b = \Pi_{p,d} = 2226 \text{ kNm}$ (aus INTERAKTION mit $Q_s = +$ - max Π_{FELD})

SYSTEM MIT FG A, B

LAGE DES FG B

β -BEDINGUNG:

$$\beta \leq \frac{1}{2} \arccos \frac{\Pi_b + \Pi_{ki}}{\Pi_b + \Pi_b} = 95013 \quad \alpha = 0,9787$$

LF $\bar{g}_B = 10$:

$$a_{15} = -\frac{1}{2} \cdot F_{15} = -0,5111 \quad a_{25} = \frac{1}{2} \cdot F_{15} = 0,5082 \quad a_{35} = +$$

$$a_{45} = -\frac{1}{2} \cdot F_{15} = -0,5082 \quad a_{55} = \frac{1}{2} \cdot F_{15} = 0,4658$$

LF ρ_{11} :

$$\Pi_b^0 = \frac{\min \xi \cdot \frac{1}{\cos \xi} \cdot \Pi_{ki} + \frac{\sin \xi \cdot \frac{1}{\cos \xi} \cdot \Pi_{ki}}{\cos \xi / 2} - 1 \cdot \left[\frac{\cos \xi \cdot (0,5 - \xi)}{\cos \xi / 2} - 1 \right] \cdot g \cdot l^2 = 144,2 \text{ kNm}$$

$$a_{50} = -\Pi_b^0 - 144,2 \text{ kNm} \quad \Pi_b = \Pi_{p,d} = 2226 \text{ kNm}$$

NONENTENSED, IN FG B:

$$a_{15} \cdot \bar{g}_b + a_{25} \cdot \bar{g}_c + a_{35} \cdot \bar{g}_d + a_{45} \cdot \bar{g}_e + a_{55} \cdot \bar{g}_f + a_{55} \cdot \bar{g}_g + a_{50} = -\Pi_b$$

INTERAKTION: mit $\frac{\text{max N}}{N_{p,d}} < 0,10$ - KONTROLLE

KNOTEN (b): $Q_{b,c} = 144,2 \text{ kN} \rightarrow \Pi_{p,c} = -214,4 \text{ kNm} \approx \Pi_{b,c} = -213,9 \text{ kNm} \checkmark$

KNOTEN (c): $Q_{c,b} = -144,3 \text{ kN} \rightarrow \Pi_{p,c} = -214,4 \text{ kNm} \approx \Pi_{c,b} = -214,5 \text{ kNm} \checkmark$

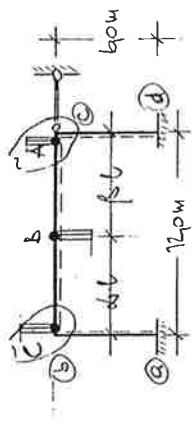
LASTSTEIGERUNG MÖGLICH:

\Rightarrow WEITERS FG C IN (b):

LF $\bar{g}_c = 10$: (KIN. ZALKENKETTE)

$$a_{1b} = -\alpha_2 = -1,770 \quad a_{2b} = -\lambda_2 = -1,000 \quad a_{3b} = + \quad a_{4b} = \lambda_2 = 1,000$$

$$a_{5b} = \frac{1}{2} \cdot F_{15} = 0,5111 \quad a_{6b} = \alpha_2 = 1,770$$



$\Rightarrow \text{DET}(A) < +$? LABILES GLEICHWE. $\Rightarrow Q_d = 236 \text{ kN/m}$... TRAGLAST

• UNTER BERÜCKSICHTIGUNG VON:

- STABILES GLEICHWE. ($\text{DET}(A) > +$)
- POSITIVE DISSIPATIONSAUSEIT ($\Pi \cdot g > +$)
- EINHALTUNG DER INTERAKTION

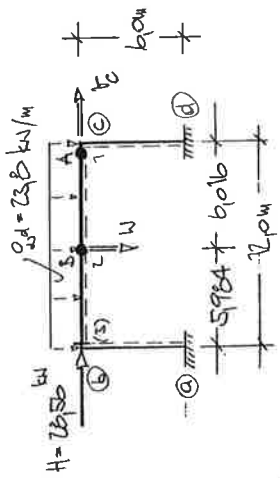
ERGIBT SICH

$$Q_{p,d} = 236 \text{ kN/m} \quad H_{TR} = 26,90 \text{ kN}$$

VERFORMUNGEN w, v :

- Π_1 : $\Delta w = -0,06428 \text{ m}$
- Π_2 : $\Delta w = -0,06436 \text{ m}$
- S_1 : $\Delta w = 0,2142 \text{ m}$
- S_2 : $\Delta w = 0,02971 \text{ m}$

STELLE $x_H = B$ $w = 0,1153 \text{ m}$
 $v = \frac{S_2}{C} = 0,03066 \text{ m} = 3,07 \text{ cm}$



NACHWEIS DER QUERSCHNITTSGRENZWERTE FÜR PP:

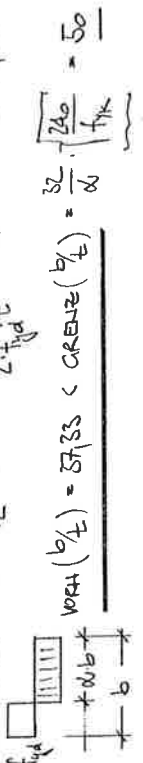
(DIN 18800 T1, S27, TAB 15)

FÜR $\Pi = 222,6 \text{ kNm}$ UND $N = 145 \text{ kN}$ (UNGÜNSTIGSTE ANNAHME)

IPE 360 : (FÜR DAS GESAMTE SYSTEM)

STEG: $t = 0,8 \text{ cm}$, $b = h - 2 \cdot (t_f + r) = 36 - 2 \cdot (12,7 + 16) = 29,66 \text{ cm}$

$\frac{f_{yk}}{b} + b \cdot \alpha = \frac{N}{2 \cdot f_{yk} \cdot t}$ $\alpha = \frac{N}{2 \cdot f_{yk} \cdot t} = 4,15 \text{ cm}$ $\alpha = 0,64$



$\text{VORH} (b/t) = 37,33 < \text{GRENZE} (b/t) = \frac{32}{\alpha} = \frac{240}{f_{yk}} = 50$

FLANSCH: $t = 12,7 \text{ cm}$ $b = (b - t_s - 2 \cdot r)^{1/2} = (36 - 12,7 - 2 \cdot 16)^{1/2} = 6,065 \text{ cm}$

$\text{VORH} (b/t) = 4,776 < \text{GRENZE} (b/t) = \frac{9}{\alpha} \cdot \frac{240}{f_{yk}} = 9$ ($\alpha = 1,0$)



DA KONstanTER QUERSCHNITT (IPE 360) UND UNGÜNSTIGSTEN SCHNITTKRÄFTE ZUGRUNDE GELEGT WURDEN (max w), IST DER NACHWEIS FÜR QUERSCHNITTE MIT FLESSGEBEIENVERBOD UND FÜR ALLE ÜBRIGEN QS, DA GRENZ (b/t) TÜR EP UND EE GÜNSTIGER.

NACHWEIS VON λ_{pl} :

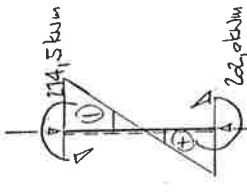
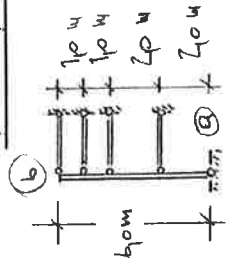
$\text{VOR } \lambda_{pl} = \frac{w_{pl}}{w_{el}} = \frac{2 \cdot S_x}{W_x} = \frac{2 \cdot 50}{904} = 1,125 < \text{GRENZE } \lambda_{pl} = 1,25$

(\rightarrow KEINE ABÄNDERUNG DER SCHNITTKRÖSSEN IN PLAST. ZUSTAND)

$$\frac{142,8}{0,8523 \cdot 1586} + \frac{213,7}{0,9869 \cdot 2246} \cdot 10 = 0,1056 + 0,9726 = 1,078 > 1,0$$

⇒ ZUSÄTZLICHE HALTERUNG ERF.

$$l = 10 \text{ m}$$



RAHMENSTIEL ③:

$$N = 142,8 \text{ kN (DRUCK > +)}$$

$$S_x = l = 10 \text{ m (GABELLAGERUNG)}$$

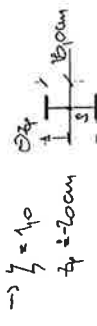
NACHWEIS DURCH RAHMENSTIEL ① ERKRACHT, DA GÜNSTIGERE BEANSPRUCHUNG HIER

RIEGEL ②:

$$N = 67,97 \text{ kN (DRUCK > +)}$$

$$S_x = l = 10 \text{ m (GABELLAGERUNG)}$$

UNGÜNSTIGSTE ANW. $\psi = 1,0$



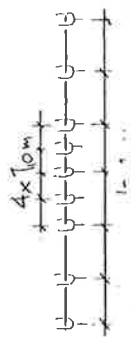
$$N_{k1z} = 5389 \text{ kN (WIE VOR)} \Rightarrow k_{1z} = 0,8523 \text{ (WIE VOR)}$$

$$C^2 = 344,9 \text{ cm}^2 \text{ (WIE VOR)} \quad \Gamma_{k1y} = 577,8 \text{ kNm} \quad \bar{\lambda}_y = 0,6899 \quad \bar{u} = 2,5 \quad k_y = 0,6$$

BIEGEDRILLKNICKNACHWEIS:

$$\frac{N}{k_y \cdot N_{pEd}} + \frac{\Gamma_{k1y}}{k_y \cdot \Gamma_{pEd}} \cdot k_y = 0,0502 + 1,081 = 1,131 > 1,0$$

⇒ Z.B. ZUSÄTZLICH 2 KIPHALTERUNGEN ERFORDERLICH



NACHWEIS - BIEGEDRILLKNICKEN:

(NEN 18800 TL, S15 PRF, S1,4)

I PE 360: $J_z = 1640 \text{ cm}^4$ $J_{tors} = 313600 \text{ cm}^4$ $J_T = 28,9 \text{ cm}^4$
 $N_{k1z} = 1745 \text{ kN}$ $\Gamma_{p1z} = 249,6 \text{ kNm}$

RAHMENSTIEL ①:

$$N = 142,8 \text{ kN (DRUCK > +)}$$

$$S_x = l = 10 \text{ m (GABELLAGERUNG)}$$

$$\Gamma_{k1y} = \zeta \cdot N_{k1z} \cdot (C^2 + 0,5 \zeta^2 + 0,5 \zeta \rho)$$

$$N_{k1z} = \frac{T^2 \cdot E \cdot J_z}{l^2} = 5389 \text{ kN}$$

$$C^2 = \frac{J_{tors} + 0,087 \cdot l^2 \cdot J_T}{J_z} = 344,9 \text{ cm}^2 \quad \zeta = 0,67 \quad \bar{\lambda}_y = 1,77 - 0,77 \cdot \psi = 1,26$$

$\zeta = 0$ (KEINE QUERLAST - POTENZIELLE GRENZEN IM SCHWERPUNKT AN)

$$\Gamma_{k1y} = 1261 \text{ kNm} \quad \bar{\lambda}_y = \sqrt{\frac{\Gamma_{k1y}}{\Gamma_{p1y}}} = 0,4406 \quad \bar{u} = 2,5 \quad \psi > 0,5 \rightarrow k_y$$

$$k_y = 0,664 \quad u = k_y \cdot \bar{u} = 2,160 \quad k_{\eta} = \left(\frac{1}{1 + \bar{\lambda}_y^2} \right)^{1/4} = 0,7669$$

$$\bar{\lambda}_k = \sqrt{\frac{N_{k1z}}{N_{k1z}}} = 0,5690 \quad b/b = 2,118 > 1,2 \quad t = 8 \text{ mm} < 40 \text{ mm} \perp z-z \Rightarrow b$$

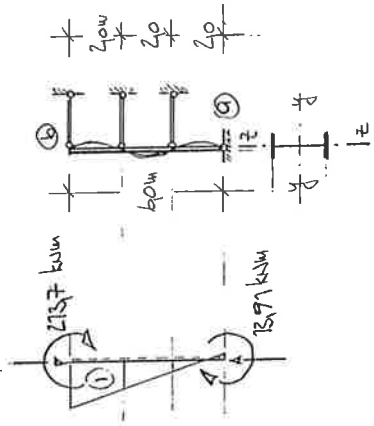
$$\Rightarrow \alpha_1 = 0,34 \text{ (KNICKSTÄMMUNGSLINIE b)}$$

$$k = 0,95 \cdot [1 + \alpha_1 \cdot (\bar{\lambda}_k - 0,2) + \bar{\lambda}_k^2] = 0,7246 \quad k_{1z} = \frac{1}{k + \sqrt{k^2 - \bar{\lambda}_k^2}} = 0,8523$$

BIEGEDRILLKNICKNACHWEIS:

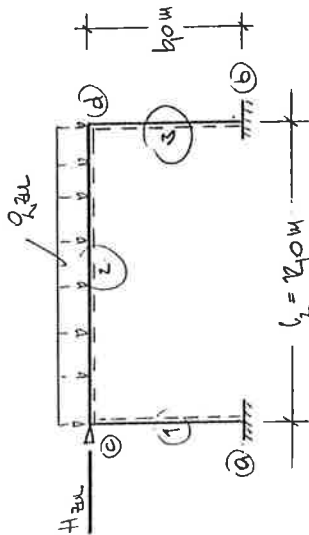
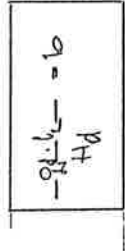
$$\frac{N}{k_y \cdot N_{pEd}} + \frac{\Gamma_{k1y}}{k_y \cdot \Gamma_{pEd}} \cdot k_y \leq 1$$

$$\text{FÜR } \frac{N}{k_y \cdot N_{pEd}} < 0,10 : \frac{\Gamma_{k1y}}{k_y \cdot \Gamma_{pEd}} \leq 1,0$$



A1.12 GEBÄUCHSTÄHLGLIEDER - (EINGESPAANTE STÄBE)

SYSTEM UND BELASTUNG



I PE 300 St 37
 $J = 16270 \text{ cm}^4$
 $E = 21 \cdot 10^4 \text{ kN/cm}^2$

ANNAHME: KEIN AUSLAUF VON VORVERFORMUNGEN

TEILSICHERHEITSGRADE: $\gamma_F = 1.0, \psi = 1.0$ (ANNAHME)

$q_{zul} + H_{zul}$:

STÄNDIGE EINWIRKUNG ... $\gamma_F = 1.35$
 VERÄNDERL. ... $\gamma_F = 1.5$
 $\psi = 0.9 \rightarrow \gamma_F \cdot \psi = 1.35$

$q_{zul} = 0.9 \cdot \gamma_F + 1.5 \cdot \gamma_F \cdot \psi = 1.35 \cdot q_{zul}$

M. TH. I. ORD

km/m	-	16.7	20.0
q_{zul}		12.37	14.61
Π_b km/m	-8.25	-12.1	-12.2
Π_c km/m	-6.95	-13.55	-16.2
q_{II}	-	9.482	9.482
max Π	-	10.41	12.47
\bar{q}_c	3.150	3.977	4.615

$C = 5675 \text{ kNm}$

M. TH. I - ORDNUNG - λ - VERFAHREN

	$\lambda = 10.20$	$\lambda = 10.15$
q_{II}	-	16.7
q_{zul}	10	12.37
Π_b	-8.23	-16.17
Π_c	-6.96	-13.56
q_{II}	-	9.4809
max Π	-	10.43
\bar{q}_c	3.213	3.974

	ΔW [m]
q_{zul}	12.37
Π_b	-0.02709
Π_c	-0.03526
q_{II}	0.09758
W	0.03523
\bar{q}_c	0.006976

M. TH. I. ORDNUNG (EXAKT)

$\epsilon = \lambda \cdot \sqrt{\frac{H}{EJ}}$

$q_{\text{II}} = 16.5 \rightarrow q_{\text{zul}} = 12.22 \text{ kN/m}$

①	λ	ϵ_s	F_1	F_2	F_3	λ_s	λ_c
1	75	10	9.1611	3.990	2.003	5.992	2.003
2	40	9.5	9.4106	3.978	2.006	-	1.989
3	80	10	9.2503	3.988	2.003	5.992	2.003

\bar{q}_b	\bar{q}_c	\bar{q}_e	LF
5.999	1.003	-0.9987	14.71
1.003	5.977	-0.9987	-14.71
-0.9987	-0.9987	9.6612	14.66
\bar{q}_b	\bar{q}_c	\bar{q}_e	
3.515	-2.379	3.902	

$[A] \cdot [X] = -[S]$

$\varphi = \bar{\varphi} / c$

$C = \frac{EJ}{l} = 5675 \text{ kNm}$

$\Delta W [M]$			
$q_{d,1}$	$12,22$	$14,59$	$17,63$
Π_6 :	$-0,02747$	$-0,03282$	$-0,03990$
Π_6 :	$-0,03558$	$-0,04261$	$-0,05183$
q :	$0,09808$	$0,1174$	$0,1425$
w :	$0,03503$	$0,04197$	$0,05077$
\bar{v}_c :	$0,006852$	$0,008212$	$0,009954$

$q_{d,1}$	$12,22$	$14,59$	$17,63$
Π_6	$-1,013$	$-1,208$	$-1,462$
Π_6	$-1,316$	$-1,608$	$-1,947$
Π_6	$1,046$	$1,108$	$1,150$
Π_4	$2,046$	$2,241$	$2,200$
v	$0,007914$	$0,008242$	$0,009163$
$\int \eta$	$0,4807$	$0,4816$	$0,4816$
$meq \Pi_6$	$119,7$	$125,4$	$150,5$

$\Pi_{eq} = f_{y,d} \cdot w_{eq} = 24,0 / 10 \cdot 9,04 = 217,0 \text{ kNm} \rightarrow$

\rightarrow REIN BLAST. VERKÄUFEN DER SYSTEME

$q_{d,1} = 17,7 \text{ kN/m} \rightarrow q_{d,2} = 14,59 \text{ kN/m}$

N_s	h/c_s	ϵ_s	F_1	F_2	F_3	x_c	λ_s	y_s
①	90	0,3079	3987	2003	5991	3987	2003	5991
②	45	0,4355	3775	2006	-	1988	1003	-
③	95	0,3164	3987	2003	5990	3987	2003	5990

$[A] \cdot \{x\} = -\{B\}$

$\bar{\varphi}_6$	$\bar{\varphi}_c$	\bar{v}_c	LF
5975	1003	-0,9985	17616
1003	5975	-0,9983	-19516
-0,9985	-0,9983	0,6602	1751
$\bar{\varphi}_6$	$\bar{\varphi}_c$	\bar{v}_c	
4201	-26,63	4677	

$q_{d,1} = 23,6 \text{ kN/m} \rightarrow q_{d,2} = 17,63 \text{ kN/m}$

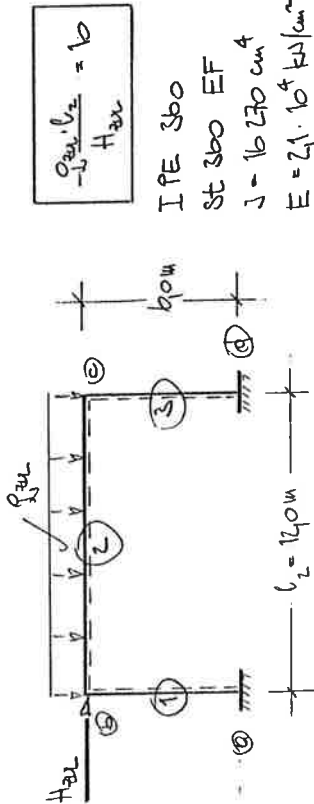
N_s	h/c_s	ϵ_s	F_1	F_2	F_3	x_c	λ_s	y_s
①	105	0,3326	3985	2004	5989	3985	2004	5989
②	55	0,4815	3969	2008	-	1985	1004	-
③	115	0,3481	3984	2004	5988	3984	2004	5988

$[A] \cdot \{x\} = -\{B\}$

$\bar{\varphi}_6$	$\bar{\varphi}_c$	\bar{v}_c	LF
5970	1004	-0,9982	2124
1004	5969	-0,9980	-2124
-0,9982	-0,9980	0,6590	21,16
$\bar{\varphi}_6$	$\bar{\varphi}_c$	\bar{v}_c	
5089	-34,66	5069	

1/13 BERECHNUNG NACH O-NORM § 4000

(EINGESPANNTE STIELE)



1. ANNAHME
 $q_{zul} = 13,55 \text{ kN/m} \rightarrow H_{zul} = 16,26 \text{ kN}$

$\max \Pi = \Pi_{cd} = q \cdot [-9,60 - 1,35] = -146,4 \text{ kNm}$
 $\Pi_{bc} = q \cdot [-9,60 + 1,35] = -111,6 \text{ kNm}$
 $\Pi_{dc} = q \cdot [4,80 + 2,25] = 75,53 \text{ kNm}$
 $\max \alpha = \alpha_{cb} = q \cdot [-6,0 - 2,25] = -84,35 \text{ kN}$
 $N_{cd} = -84,35 \text{ kN}$
 $N_{bc} = q \cdot [-4,40 - 0,60] = -40,65 \text{ kN}$

ORT UND GRÖSSE VON $\max \Pi_F$ STAB ①

$\xi_{\Pi} = \frac{1}{2} - \frac{|\Pi_{bc} - \Pi_{cd}|}{q \cdot l_1} = 0,4612 \quad \chi_{\Pi} = 5,775 \text{ m}$
 $\max \Pi_F = \Pi_{bc} + \frac{1}{2} \cdot q \cdot \xi_{\Pi}^2 \cdot l_1^2 = 114,1 \text{ kNm}$

NACHWEISE

ALLGEM. SPANNUNGSNACHWEIS:

$\max \sigma = \frac{N}{A} + \frac{\Pi}{1,07 \cdot W} = \frac{84,35}{727} + \frac{14840}{107 \cdot 904} = 16,50 = \sigma_{zul} = 16,50 \text{ kN/cm}^2$
 $\max \tau = \tau = \frac{Q \cdot S}{J \cdot t} = \frac{84,35 \cdot 510}{16270 \cdot 0,8} = 3,805 \in \tau_{zul} = 10 \text{ kN/cm}^2$

VERGLEICHSSPANNUNG:

$\sigma = 17,58 \text{ kN/cm}^2 \quad \tau = \frac{40,65 \cdot 514,9}{16270 \cdot 0,8} = 1,170 \text{ kN/cm}^2$
 $\sigma_{\text{I}} = \sqrt{\sigma^2 + \tau^2} = 17,70 \text{ kN/cm}^2 < \sigma_{\text{I}p} = 19,0 \text{ kN/cm}^2 \quad \checkmark$

KNICKNACHWEIS:

(VERSCHIEBL. SYSTEM; QUERSCHNITT $e_2 = e_d$)

STIEL ③:

KN - IN DER POTENTIALBEWEISE.

$\lambda_3 = 12,9 \text{ (SIEHE VOR)} \quad S_z = 129 \cdot 600 = 774,0 \text{ cm} \quad i_y = 15,0 \text{ cm}$
 $\lambda_y = 51,60 \rightarrow \sigma_{K_{zul}} = 14,1 \text{ kN/cm}^2$
 $\frac{\sigma_{K_{zul}}}{\sigma_{K_{all}}} \cdot \frac{N}{A} + 0,9 \cdot \frac{\Pi}{W} = \frac{16,5}{14,1} \cdot \frac{84,35}{727} + 0,9 \cdot \frac{14840}{904} = 16,13 \text{ kN/cm}^2$
 $\sigma_{\text{max}} = 16,13 \text{ kN/cm}^2 < \sigma_{\text{zul}} = 16,50 \quad \checkmark$

KN - L ZUK POTENTIALBEWEISE:

$s_k = 300,0 \text{ cm (SIEHE 3DKN)} \quad i_z = 3,77 \text{ cm}$
 $\lambda_z = 71,6 \rightarrow \sigma_{K_{zul}} = 11,88 \text{ kN/cm}^2$
 $\sigma_{K_{max}} = \frac{84,35}{727} = 1,160 \text{ kN/cm}^2 < \sigma_{K_{zul}} = 11,88 \text{ kN/cm}^2 \quad \checkmark$

RIEGEL ②

KN - IN DER POTENTIALBEWEISE

$\lambda_2 = ? \text{ aus } N_k = \frac{\Pi \cdot E \cdot J_2}{l_2^2 \cdot I_2} = \frac{\Pi \cdot E \cdot J_2}{l_2^2 \cdot I_2} \Rightarrow \lambda_2 = \sqrt{\frac{N_k}{I_2}} = 0,645$
 $\lambda_1 = 51,60 \rightarrow \sigma_{K_{zul}} = 14,1 \text{ kN/cm}^2$
 (NICHT MASSGEBEND)

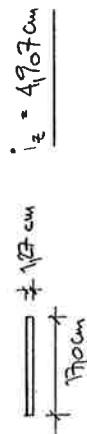
KW - \perp ZUR TORMENTENESELE

ANNAHME $S_x = S_{0M}$ $i_z = 377 \text{ cm}$ $\lambda_z = 77,16 - \sigma_{k,z} = 1188 \text{ kN/cm}^2$

$\sigma_{k,verh} = \frac{4065}{727} = 5591 \text{ kN/cm}^2 < \sigma_{k,zul} = 1188 \text{ kN/cm}^2 \checkmark$

SIEGEDRILLKNICKEN:

$b < h \rightarrow$ VERKÜRZTER NACHWEIS DURCH KNICKNACHWEIS DES KURTES

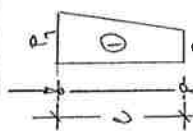


$i_z = 127 \text{ cm}$ $i_z = 497 \text{ cm}$

STIEL ③

$N = 84,35 \text{ kN}$ (DRUCK)

a) $l_z = 10 \text{ m}$ FÜR $\Pi_y = -148,4 \text{ kNm}$:



$\sigma/p = 0,47$ $\beta = \sqrt{\frac{1 + 0,881 \cdot \sigma/p}{1,881}} = 0,872$ $\lambda_z = \frac{b}{i_z} = 17,6$

$\sigma_{k,zul} = 165 \text{ kN/cm}^2 = \frac{8435}{727} + \frac{14840}{107,904} = \sigma_{k,verh} \checkmark$

b) $l_z = 20 \text{ m}$ FÜR $\Pi_y = -1077 \text{ kNm}$:

$S_x = 20 \text{ m}$ $\lambda_z = 40,76 \rightarrow \sigma_{k,zul} = 1472 \text{ kN/cm}^2 > \frac{8435}{727} + \frac{10770}{107,904} = 2129 \text{ kN/cm}^2 \checkmark$

RIEGEL ②

$N = 4065 \text{ kN}$ (DRUCK)



a) FÜR $\Pi_y = 141 \text{ kNm}$:

$l_z = 30 \text{ m}$

$\lambda_z = \frac{300}{4907} = 61,14 \rightarrow \sigma_{k,zul} = 1338 \text{ kN/cm}^2$

$\sigma_{k,verh} = \frac{4065}{727} + \frac{1410}{107,904} = 2158 \text{ kN/cm}^2 < \sigma_{k,zul} = 1338 \text{ kN/cm}^2 \checkmark$

b) FÜR $\Pi_y = -148,4 \text{ kNm}$

$l_z = 10 \text{ m}$

MIT $\sigma/p = 0,52 \rightarrow \beta = 0,880$ (SIEHE VOR)

$\lambda_z = \frac{88,0}{4907} = 17,94 \rightarrow \sigma_{k,zul} = 165 \text{ kN/cm}^2$

$\sigma_{k,verh} = \frac{4065}{727} + \frac{14840}{107,904} = 1570 \text{ kN/cm}^2 < \sigma_{k,zul} = 165 \text{ kN/cm}^2$

NACHWEIS VON GRENZE (b/t)

a) STIEB:

$\rho_1 = \bar{\rho} - 2 \cdot t_F - r = 31,66 \text{ cm}$, $t = t_s \cdot \rho \beta_{cm}$, $\lambda = 51,6 \leq 70$

VERH (ρ/t) = $\frac{31,66}{\rho \beta} = 39,6 < \text{GRENZE } (\rho/t) = 42 \checkmark$

b) FLANSCH:

$h = b/t_c = 81,5 \text{ cm}$, $t \cdot t_F = 127 \text{ cm}$, $\lambda = 51,6 \leq 60$

VERH (ρ/t) = $\frac{81,5}{127} = 6,42 < \text{GRENZE } (\rho/t) = 8 + 0,1 \cdot \lambda = 13,2 \checkmark$

VERTIKALNACHWEIS

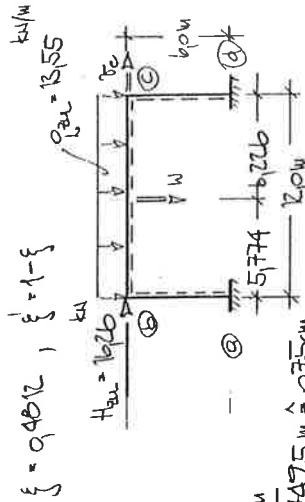
$\Pi_y: \Delta W = -0,02976 \text{ m}$

$\Pi_z: \Delta W = -0,03855 \text{ m}$

$\rho: \Delta W = 0,1667 \text{ m}$

$\rho_c = \bar{\rho}/C = \frac{1}{C} \cdot (3150) \cdot \rho = 0,007475 \text{ m} \hat{=} 0,75 \text{ cm}$

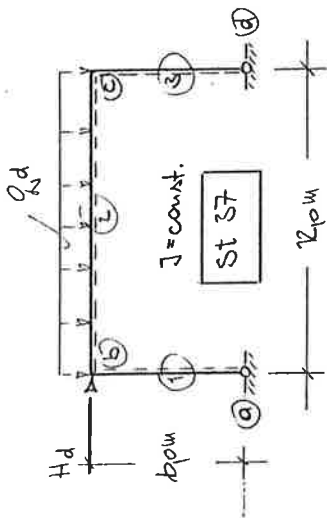
$C = \frac{EJ}{\rho_1} = 5695 \text{ kNm}$



AL. BEISPIEL 2

AL.1 LASTFALL EINHEITSBELASTUNG $q_d = 10 \text{ kN/m} - H_d = 12 \text{ kN}$

SYSTEM UND BELASTUNGEN



$$\frac{q_d \cdot b_{pm}}{H_d} = 10$$

IFE 360:

- $A = 727 \text{ cm}^2$ $\sigma = 9571 \text{ kN/m}$
- $S_x = 5190 \text{ cm}^3$ $W_x = 740 \text{ cm}^3$
- $J_x = 16270 \text{ cm}^4$ $i_x = 1510 \text{ cm}$

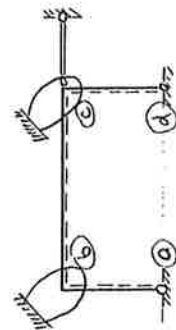
$E = 21 \cdot 10^4 \text{ kN/cm}^2$
 $(EJ)_d = \frac{EJ}{l_n}, \quad \gamma_n = 11$

SCHNITTKRÄFTBEREITUNG NACH TH. I. ORDNUNG

FÜR: $q_d = 10 \text{ kN/m}, H_d = 12 \text{ kN}$

$$\frac{\Pi}{(EJ)_d} = \frac{(\gamma_n)_d}{l_n} = \gamma_n \cdot \left(\frac{l_n}{l_n}\right) \cdot 20 \cdot \gamma_n = \left(\frac{l_n}{l_n}\right) \cdot 60 \quad C = \frac{(EJ)_d}{l_n} = 5177 \text{ kNm}$$

③	l_i/l_s	λ_s	γ_s
①	10	30	30
②	05	20	30
③	10	30	30



LF: $\bar{\varphi}_0 = 10: \quad a_{11} \cdot x_1 + x_2 = 510 \quad a_{21} \cdot \lambda_2 = 10 \quad a_{31} = -\frac{1}{l_n} \cdot \gamma_1 = -0.5$

LF: $\bar{\varphi}_c = 10: \quad a_{12} = \lambda_2 = 0.5 \quad a_{22} = x_2 + x_3 = 510 \quad a_{32} = -\frac{1}{l_n} \cdot \gamma_2 = -0.5$

LF: $\bar{\varphi}_c = 10: \quad a_{13} = a_{31} \quad a_{23} = a_{32}$

$$a_{33} = \frac{1}{l_n} \cdot \gamma_1 + \frac{1}{l_n} \cdot \gamma_2 = 0.1667$$

LF: $Q_2 = 10 \text{ kN/m}$

$$\Pi_{bc} = \Pi_{cb} = -0.12 \cdot \frac{1}{l_n} = -12 \text{ kNm}$$

$$a_{10} = -a_{20} = -12 \text{ kNm} \quad a_{30} = 0$$

LF: $H = 12 \text{ kN}$

$$a_{10} = a_{20} = 0 \quad a_{30} = -12 \text{ kN}$$

GLEICHUNGSSYSTEM UND LÖSUNG: $[A] \cdot \{x\} = -\{R\}$

$\bar{\varphi}_0$	$\bar{\varphi}_c$	$\bar{\varphi}_c$	LF: Q_2	LF: H
510	10	-0.5	120	0
10	510	-0.5	-120	0
-0.5	-0.5	0.1667	0	12
$\bar{\varphi}_0$	$\bar{\varphi}_c$	$\bar{\varphi}_c$	LF	LF
3000	-3000	0	0	0
1200	1200	14.39	H	H

$$\varphi_1 = \bar{\varphi}_c$$

STABENDEFORMATIONEN:

$$\Pi_{ik} = \Pi_{ki} + x_{s_i} \cdot (\bar{\varphi}_i - \bar{\varphi}_k) + \lambda_{s_i} \cdot (\bar{\varphi}_k - \bar{\varphi}_i)$$

$$\Pi_{ki} = \Pi_{ki} - \lambda_{s_i} \cdot (\bar{\varphi}_i - \bar{\varphi}_k) - x_{s_i} \cdot (\bar{\varphi}_k - \bar{\varphi}_i)$$

STABENKRÄFTE:

$$R_{ik} = R_{s_i} + R_{ik}^L \quad R_{s_i} = -\frac{1}{l_n} \cdot (\Pi_{ik} - \Pi_{ki}) \quad R^L \dots \text{AUFLAGEKRÄFT INF. QUERLAST AN TRÄGER AUF 2 STÜTZEN}$$

ALZELASTIZITÄTSTHEORIE I. ORD

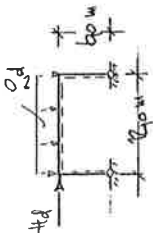
ZULÄSSIG FÜR $\frac{N_{k,ld}}{N_d} > 1.0$

$$N_{k,ld} = \left(\frac{F}{A_1}\right)^2 \cdot \frac{EJ}{l_1^2} \quad \beta_1 = \sqrt[3]{1 + 0.4 \cdot \beta} \quad \gamma = \frac{l_1}{h_1} = 30 \quad \lambda_1 = 2.663$$

$$N_{k,ld} = 1183 \text{ kN}, \quad N_d = 0.2 \cdot [60 + 0.60] = 0.66 \frac{1183}{66.0} > 1.0$$

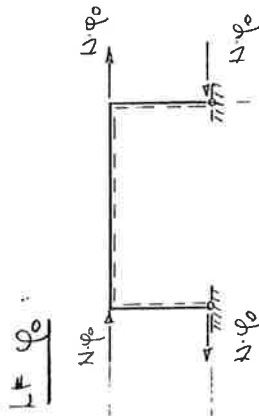
⇒ ZULÄSSIG FÜR $q_d \leq 17.93 \text{ kN/m}$

$$\frac{q_d \cdot l_1^2}{H_d} = 1.0$$



VORVERDREHUNG

$$\varphi_0 = 0.001948$$



ENTSPRICHT LF H:

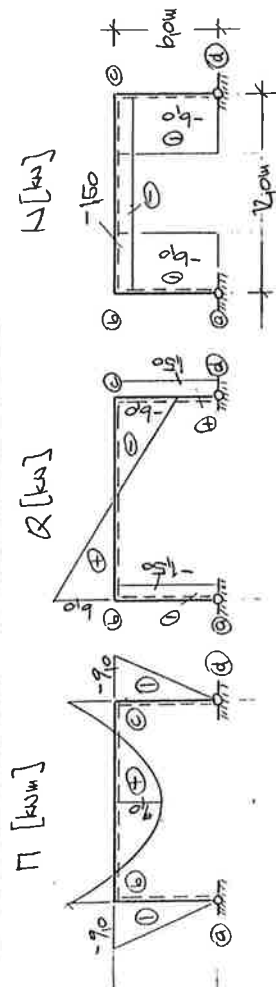
$$\text{MIT } H = (q \cdot l_1) \cdot \varphi_0 = 0.2 \cdot (6 \cdot \varphi_0)$$

$$\text{MIT: } N_{bc} = \varnothing, \quad A_{sH} = \delta_{sH} = \varnothing$$

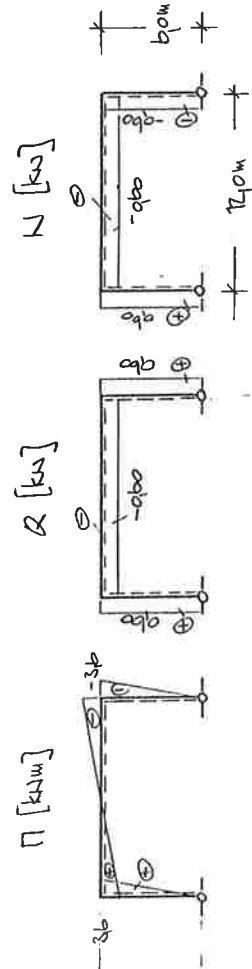
i-k	LF $q = 1.0 \text{ kN/m}$			LF $H = 1.2 \text{ kN}$		
	σ_{ik} [kN/m]	σ_{ik} [kN]	R_{ik} [kN]	σ_{ik} [kN/m]	σ_{ik} [kN]	R_{ik} [kN]
1	\varnothing	\varnothing	-150	\varnothing	\varnothing	95992
2	-20	-9.0	60	3575	\varnothing	\varnothing
3	-20	-9.0	-60	-3600	\varnothing	-06000
4	\varnothing	-9.0	150	-3575	\varnothing	95992

$$f = \frac{0.1}{2} = 0.05 \text{ kN/m}$$

SCHNITTKR. INF. $q_d = 1.0 \text{ kN/m}$ (TH. I. ORD.)



SCHNITTKR. INF. $H_d = 1.2 \text{ kN}$ (TH. I. ORD.)



2.3 E - THEORIE I. ORD. - (ELAST.-ELAST.)

1. ANNAHME

$q_d = 14,6 \text{ kN/m} \rightarrow H_d = 17,52 \text{ kN}$

max $\Pi - \Pi_c = q_s \cdot [-90 - 36 \cdot (1 + 0,01746)] = -1550 \text{ kNm}$

$\Pi_b = q_s \cdot [-90 + 36 \cdot (1 + 0,01746)] = -77,82 \text{ kNm}$

max $R = R_{ob} = q_s \cdot [-60 - 96 \cdot (1 + 0,01746)] = -9653 \text{ kN}$

max $N = N_{ed} = -9653 \text{ kN}$

NACHWEISE:

max $\sigma : \sigma = \frac{15500}{904} + \frac{9653}{7217} = 2179 \text{ kN/cm}^2 < \sigma_{R,d} = 2182 \text{ kN/cm}^2 \checkmark$

max $\tau : \tau = \frac{9653 \cdot 516}{26270 \cdot 98} = 2343 \text{ kN/cm}^2 < \tau_{R,d} = 246 \text{ kN/cm}^2 \checkmark$

$\sigma_v \leq \sigma_{R,d}$ MIT ALS ERFÜLLT FÜR $\sigma/\sigma_{R,d} < 0,5$ ODER $\gamma_{T,d} < 0,5$

GRENZE (b/t) ERFÜLLT - SIEHE σ_T FC. TH. II. ORD

ORT UND GRÖSSE VON max Π_F

$f_{II} = \frac{1}{2} - \frac{\Pi_{ik} - \Pi_{kl}}{q_s \cdot l^2} = 0,4490 \quad (x_1 = 5388 \text{ m})$

max $\Pi_F = \Pi_{ik} + \frac{1}{2} \cdot f_{II}^2 \cdot q_s \cdot l^2 = 1341 \text{ kNm}$

VERFORMUNGEN

$\Pi_f : \Delta W = -0,01694 \text{ m}$

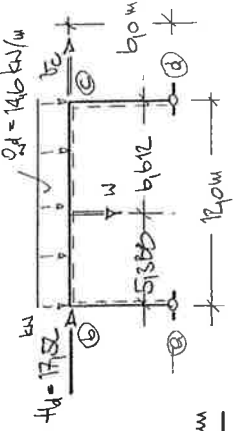
$\Pi_k : \Delta W = -0,06582 \text{ m}$

$q_s : \Delta W = 0,1253 \text{ m}$

$\underline{W} = 0,04254 \text{ m} \approx 4,3 \text{ cm}$

$\underline{f}_e = \frac{E_s}{E_c} = \frac{1}{2} \cdot [14,39 \cdot (1 + 0,01746)] \cdot 0_s = 0,04137 \text{ m} \approx 4,1 \text{ cm}$

$f_1 = 0,4490, f_2 = 0,5510$



NACHWEIS BEGRIFFSKONSTRUKTIONEN

SIEHE BEISPIEL TH. II. ORD. (ELAST.-ELAST)

A2.4 E - THEORIE I. ORD - (ELAST.-PLAST.)

1. ANNAHME

$q_d = 17,5 \text{ kN/m} \rightarrow H_d = 210 \text{ kN}$

max $\Pi = \Pi_c = -221,7 \text{ kNm}$

(FORMEL SIEHE VOR
 $\Pi_c = \frac{q \cdot l^2}{8} \cdot \Pi_c^E$)

$\Pi_b = -93,28 \text{ kNm}$

max $N = N_{ed} = -115,7 \text{ kN}$

max $R = R_{ed} = -115,7 \text{ kN}$

ORT UND GRÖSSE VON max Π :

$\xi_{\Pi} = \frac{1}{2} - \frac{\Pi_b - \Pi_{ed}}{q \cdot l^2} = 0,4490 \quad (x_{\Pi} = 5,388 \text{ m})$

max $\Pi_F = 160,7 \text{ kNm}$

NACHWEIS DER INTERAKTION:

$\frac{N}{N_{Fd}} < 0,10 \quad \frac{R_{ed}}{R_{Fd}} = 0,3806 > 0,3 \rightarrow \Pi_{q,c} = -221,0 \text{ kNm}$

$\Pi_{c,b} = -221,7 \text{ kNm} < \Pi_{q,c} = -221,0 \text{ kNm} \checkmark$

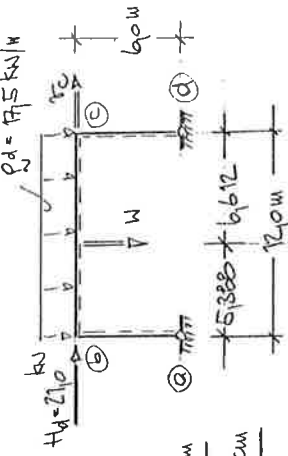
INTERAKTION ÜBERALL EINGEHALTEN

NACHWEIS VON GRENZE (b/b)

ERFÜLLT - SIEHE BEISPIEL FG. TH. I. ORD

VERFORMUNGEN

$\xi = 0,4490 \quad \xi' = 1 - \xi$



$\Pi_i : \Delta W = -0,02766 \text{ m}$

$\Pi_k : \Delta W = -0,06141 \text{ m}$

$\Pi_l : \Delta W = 0,1502 \text{ m}$

$u = 0,06113 \text{ m} \hat{=} 6,1 \text{ cm}$

$v_c = 0,04959 \text{ m} \hat{=} 5,0 \text{ cm}$

NACHWEIS BIEGEDRILLKNICKEN

SIEHE BEISPIEL TH. I. ORD. - (ELAST.-PLAST)

1.2.5.6 - VERFAHREN (NÄHERUNG FÜR E.T.H. II. ORD.) - (ELAST.-ELAST)

ZULÄSSIG FÜR $\eta_{Ed} = \frac{N_{Ed}}{N_d} \geq 4$

$\alpha = \frac{1}{1 - \frac{1}{\eta_{Ed}}}$... VERGRÖßERUNGSFAKTOR

VORVERRECHNUNG η_0 :

$\eta_0 = 9002596$ (VERF. EE)

1. ANNÄHERUNG: $q_d = 14,2 \text{ kN/m} \rightarrow H = 1704 \text{ kN}$

$\eta_{Ed} = \frac{N_{Ed}}{N_d} = \frac{1183}{6 \cdot 9} = 2,62$ $\alpha = \frac{1}{1 - \frac{1}{\eta_{Ed}}} = 1,066$

(SIEHE E-T.H. I. ORD.)

$\text{max } \Pi = \Pi_c = q_d \cdot [-90 - \alpha \cdot 3,6 \cdot (1+0,2596)] = -184,6 \text{ kNm}$

$\Pi_b = q_d \cdot [-90 + \alpha \cdot 3,6 \cdot (1+0,2596)] = -79,84 \text{ kNm}$

$\text{max } N = N_{Ed} = q_d \cdot [-60 - \alpha \cdot 9,6 \cdot (1+0,2596)] = -94,69 \text{ kN}$

$\text{max } Q = Q_c = -94,69 \text{ kN}$

(SCHNITTGRÖßENÜBERLAGERUNG)

ORT UND GRÖßE VON $\text{max } \Pi_F$: STAB ② b-c

$\xi_{\Pi} = \frac{1}{2} - \frac{\Pi_{ik} - \Pi_{kl}}{q_d \cdot l^2} = 0,4443$ ($x_{\Pi} = 5,331 \text{ m}$)

$\text{max } \Pi_F = \Pi_{ik} + \frac{1}{2} \int_{\xi_{\Pi}}^1 q_d \cdot \xi^2 = 137,0 \text{ kNm}$

NACHWEISE:

$\text{max } \sigma = \frac{16480}{904} + \frac{94,69}{70,7} = 2174 \text{ kN/cm}^2 < \sigma_{k,d} = 2182 \text{ kN/cm}^2$

$\text{max } \tau = \frac{94,69 \cdot 516}{16270 \cdot 96} = 3716 \text{ kN/cm}^2 < \tau_{k,d} = 2160 \text{ kN/cm}^2$

$\sigma \leq \sigma_{k,d}$: ERFÜLLT, FÜR $\sigma / \sigma_{k,d} < 0,5$ ODER $\tau / \tau_{k,d} < 0,5$ ✓

NACHWEIS GRENZE (b/t)

ERFÜLLT - SIEHE ξ_{τ} FG. TH. I. ORD.

VERFORMUNGEN $\xi = 0,4443$, $\xi' = 1$

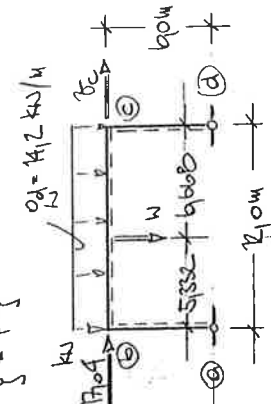
Π_i : $\Delta W = -0,2102 \text{ m}$ $H_d = 1704 \text{ kN}$ $q_d = 14,2 \text{ kN/m}$

Π_k : $\Delta W = -0,05092 \text{ m}$

Q_i : $\Delta W = 0,216 \text{ m}$

$W = 0,04966 \text{ m} \approx 5,0 \text{ cm}$

$\xi = \frac{E_c}{E_c} = \frac{1}{2} \cdot [\alpha \cdot 14,37 \cdot (1+0,2596)] \cdot q_d = 0,4396 \text{ m} \approx 44 \text{ cm}$



NACHWEIS BEGEGDRILLUNGEN

SIEHE BEISPIEL E.T.H. II. ORD. (ELAST.-ELAST)

ZB W - VERFAHREN (NÄHERUNG FÜR E.T.H. II. ORD) - (ELAST. LAST)

1. ANNAHME

$q_d = 169 \text{ kN/m} \rightarrow H_d = 2928 \text{ kN}$

$\eta_{K1d} = \frac{N_{K1d}}{N} = \frac{1183}{66 \cdot 9} = 1.961 > 4 \rightarrow \text{ZULÄSSIG} \quad \alpha = \frac{1}{1 - \frac{1}{\eta_{K1d}}} = 1.104$

$\varphi_0 = 0.003896 \text{ (VORVERDREHUNG)}$

SCHNITTGRÖSSENÜBERLAGEUNG:

$\text{max } \Pi_c = q_d \cdot [-\eta_0 - \alpha \cdot 3b \cdot (1 + 0.3896)] = -2217 \text{ kNm}$
 $\Pi_b = q_d \cdot [-\eta_0 + \alpha \cdot 3b \cdot (1 + 0.3896)] = -8432 \text{ kNm}$
 $\text{max } N = N_{ed} = q_d \cdot [-b_0 - \alpha \cdot 9b \cdot (1 + 0.3896)] = -1150 \text{ kN}$
 $\text{max } Q_{ed} = -1130 \text{ kN}$

ORT UND GRÖSSE VON max \Pi_F STAB 2 b-c

$\xi_{II} = \frac{1}{2} - \frac{\Pi_b - \Pi_c}{q_d \cdot l^2} = 0.4426 \quad (x_{II} = 5.312 \text{ m})$
 $\text{max } \Pi_F = \Pi_{IIc} + \frac{1}{2} \cdot \xi_{II} \cdot q_d \cdot l^2 = 15690 \text{ kNm}$

NACHWEIS DER INTERAKTION:

$\frac{N}{H_{d,01}} < 0.96 \quad \frac{\text{max } Q}{Q_{p,d}} = 0.3229 < 0.33 \rightarrow \Pi_{gr} = \Pi_{p,d} = 2226 \text{ kNm}$
 $\Pi_c = -2217 \text{ kNm} < \Pi_{gr} = -2226 \text{ kNm} \quad \checkmark$

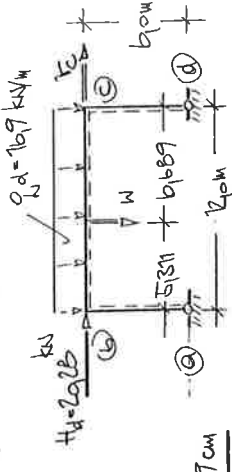
NACHWEIS VON GRENZE (b/c)

ERFÜLLT, SIEHE σ_{II} FC.TH. I. ORD.

VERFORMUNGEN:

$\Pi_1: \Delta W = -0.02444 \text{ m}$
 $\Pi_2: \Delta W = -0.06102 \text{ m}$
 $Q_2: \Delta W = 0.1446 \text{ m}$
 $W = 0.05714 \text{ m} = 5.71 \text{ cm}$

$\xi = 0.4426, \xi^2 = 1 - \xi$

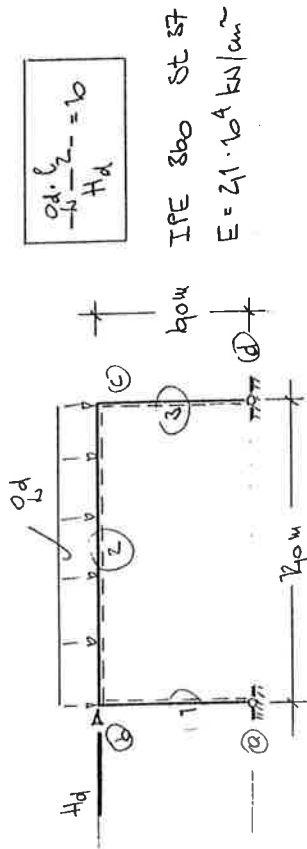


$\underline{\underline{E \cdot I_c = \frac{1}{2} \cdot [\alpha \cdot 14.37 \cdot (1 + 0.3896)] \cdot q = 0.05388 \text{ m} \approx 5.4 \text{ cm}}}$

NACHWEIS MEREDIKULNICKEN

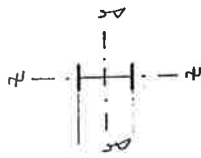
SIEHE BEISPIEL E.T.H. I. ORD. (ELAST.-LAST)

(NACH EUROCODE 3 - APRIL 1990)



QUERSCHNITTSWERTE:

$W_{y1} = 904 \text{ cm}^3$, $W_{y1pe} = 1620 \text{ cm}^3$, $A = 21,7 \text{ cm}^2$
 $J_{y1} = 16 \text{ cm}^4$, $J_{z1} = 1046 \text{ cm}^4$



PLAST. SCHNITTGRÖSSEN:

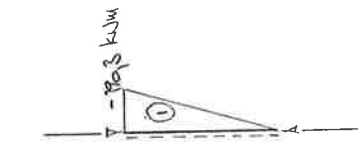
$f_{yk} = 240 \text{ kN/cm}^2$ (A. DIN) $\gamma_{M1} = 1,1$ (A. DIN)
 $N_{pl,R} = A \cdot f_{yk} = 1745 \text{ kN}$
 $T_{pl,R} = W_{pl,y} \cdot f_{yk} = 244,5 \text{ kNm}$

$N_{k1,y} = \frac{T \cdot E \cdot J_z}{\beta_1 \cdot l_z}$ $= 1601 \text{ kN}$ $\beta_1 = 2,083$ (SIEHE VORHEK)
 $N_{k1,z} = \frac{T \cdot E \cdot J_y}{\beta_2 \cdot l_y}$ $= 2575 \text{ kN}$ $\beta_2 = 80 \text{ m}$ (FIX STÜTZ UND RIEGEL)

$\lambda = \sqrt{\frac{N_{pl,R}}{N_{k1,y}}}$ $\lambda_y = 1,158$
 $\lambda_z = 0,8536$

χ_y : KRÜMMEN. LINIE $\chi = 0,21 \rightarrow k_{y1} = 0,5571 = k_{T1}$
 χ_z : $\chi = 0,34 \rightarrow k_{z1} = 0,6769$

1. ANNAHME:



STAB ①:

$M_{ed} = q_d \cdot [-9,0 - 3,6] = -12,6 \text{ kNm}$
 $N_s = q_d \cdot [6,0 + 0,60] = 9,9 \text{ kN (DRUCK)}$

NACHWEIS:

$\psi = + \rightarrow \beta_{np} = 1,0 = \beta_{ny}$
 $\beta_y = \gamma_y \cdot (2 \cdot \beta_{ny} - 4) + \frac{1 + \beta_y - \beta_y}{\beta_y} = -0,3347$
 $k_y = 1 - \frac{\beta_y \cdot N_d}{k_{y1} \cdot T_{pl,R}} = 1,034$
 $\frac{H_d}{k_{T1} \cdot N_{pl,R}} + \frac{k_y \cdot M_{ed}}{T_{pl,R}} = 0,1127 + 0,0866 = 0,9993 < 1$ ✓

STAB ②:

U. EUROCODE ART. 5.2.6.2 (6)
 VERGRÖßERUNG DER "SWAY MOMENTS" IN REGEL UM 12%

$M_{ed} = q_d \cdot [-9,0 + 12 \cdot 3,6] = -70,7 \text{ kNm}$
 $T_{ed} = q_d \cdot [-9,0 - 12 \cdot 3,6] = -207,1 \text{ kNm}$
 $J_{T1} = \frac{1}{2} - \frac{T_{ed} - T_{k1}}{0,1 \cdot T_{k1}} = 0,4400$ ($X_T = 5,280 \text{ m}$)
 $\text{max } T_F = T_{T1} + \frac{1}{2} \cdot J_{T1} \cdot q_d \cdot l = 137,8 \text{ kNm}$
 $N_2 = q_d \cdot [7,5 + 0,60] = 81,71 \text{ kN (DRUCK)}$



$\psi = 0,3514 \rightarrow \beta_{np} = 1,554$, $\beta_{T1} = 1,3$, $T_{k1} = 271,6$, $\Delta T = 34,9$
 $\rightarrow \beta_{ny} = 1,352 \rightarrow k_y = 1,045$

AZ. B. ELASTIZITÄTSTHEORIE II. ORD - (ELAST.-ELAST.)

NACHWEIS:
 $\frac{H_d}{k_{Tis} \cdot N_{Ed}} + \frac{k_j \cdot \sigma_{j,d}}{\sigma_{Tis}} = \frac{3171}{95571 \cdot 1526} + \frac{1045 \cdot 2011}{2246} = 91200 < 1 \checkmark$

NACHWEIS GRENZE (b/t) ERFÜLLT - SEHE \square F. TH. I. ORD

NACHWEIS BIEGEDRILLKNICKEN

SIHE E. TH. II. ORD. - ELAST.-ELAST.

VERTORFUNGEN

- $\pi_1: \Delta W = -0,02079 \text{ m}$
- $\pi_2: \Delta W = -0,05513 \text{ m}$
- $\pi_3: \Delta W = 0,1290 \text{ m}$
- STELLE $x_1: W = 0,05226 \text{ m} \hat{=} 5,3 \text{ cm}$

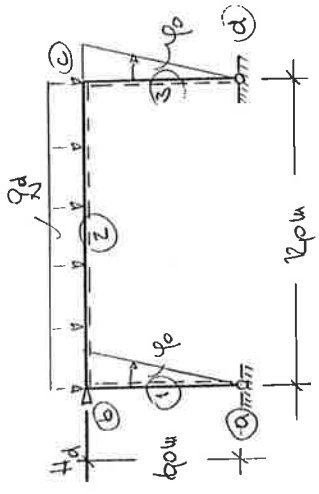
$\sigma_c = \sigma_c / C = \frac{1}{C} \cdot q \cdot [1,157 \cdot (1 + 0,0387b)] = 0,4861 \text{ m} \hat{=} 4,8 \text{ cm}$

ANSATZ VON $\varphi_0 = 0,00257b$ (VERWEHRUNG)

1. ALI-NAHMTE:

$H_d = 14,2 \text{ kN/m} \rightarrow H_d = 17,04 \text{ kN}$

$\frac{q_d \cdot l_e}{H_d} = 10$



IFE 300 ST 57
 $E = 21 \cdot 10^4 \text{ kN/cm}^2$
 $J = 16 \cdot 10^8 \text{ cm}^4$
 $\gamma_0 = 0,00257b$ (VERWEHR.)
 $\gamma_1 = 11$

⑤	N_s [kN]	z_s	F_1	F_2	F_B
①	80	0,3045	-	-	2,961
②	35	0,4028	3,978	2,005	-
③	95	0,3318	-	-	2,978

$\epsilon = 0,1 \sqrt{\frac{N}{EJ}}_d$

⑤	b_1/b_s	ϵ_s	λ_s	y_s
①	10	2,961	+	2,961
②	05	1,969	1,003	-
③	10	2,978	-	2,978

$C = 5,177 \text{ kN/m}$

NACHWEIS:

$\frac{H_d}{k_{Tis} \cdot N_{Ed}} + \frac{k_j \cdot \sigma_{j,d}}{\sigma_{Tis}} = \frac{3171}{95571 \cdot 1526} + \frac{1045 \cdot 2011}{2246} = 91200 < 1 \checkmark$

NACHWEIS GRENZE (b/t) ERFÜLLT - SEHE \square F. TH. I. ORD

NACHWEIS BIEGEDRILLKNICKEN

SIHE E. TH. II. ORD. - ELAST.-ELAST.

VERTORFUNGEN

- $\pi_1: \Delta W = -0,02079 \text{ m}$
- $\pi_2: \Delta W = -0,05513 \text{ m}$
- $\pi_3: \Delta W = 0,1290 \text{ m}$
- STELLE $x_1: W = 0,05226 \text{ m} \hat{=} 5,3 \text{ cm}$

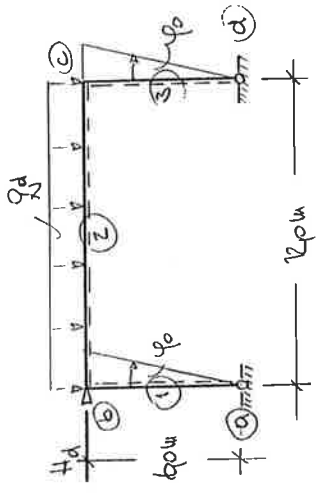
$\sigma_c = \sigma_c / C = \frac{1}{C} \cdot q \cdot [1,157 \cdot (1 + 0,0387b)] = 0,4861 \text{ m} \hat{=} 4,8 \text{ cm}$

ANSATZ VON $\varphi_0 = 0,00257b$ (VERWEHRUNG)

1. ALI-NAHMTE:

$H_d = 14,2 \text{ kN/m} \rightarrow H_d = 17,04 \text{ kN}$

$\frac{q_d \cdot l_e}{H_d} = 10$



IFE 300 ST 57
 $E = 21 \cdot 10^4 \text{ kN/cm}^2$
 $J = 16 \cdot 10^8 \text{ cm}^4$
 $\gamma_0 = 0,00257b$ (VERWEHR.)
 $\gamma_1 = 11$

⑤	N_s [kN]	z_s	F_1	F_2	F_B
①	80	0,3045	-	-	2,961
②	35	0,4028	3,978	2,005	-
③	95	0,3318	-	-	2,978

$\epsilon = 0,1 \sqrt{\frac{N}{EJ}}_d$

⑤	b_1/b_s	ϵ_s	λ_s	y_s
①	10	2,961	+	2,961
②	05	1,969	1,003	-
③	10	2,978	-	2,978

$C = 5,177 \text{ kN/m}$

SYSTEM

LF $\bar{\varphi}_b = 10$

$\underline{a}_{11} = x_1 + x_2 = 4,970$

$\underline{a}_{12} = a_{21} = x_2 = 1,003$

$\underline{a}_{31} = \underline{a}_{13} = -\frac{1}{l_1} \cdot y_1 = -0,4966$

LF $\bar{\varphi}_c = 10$:

$\underline{a}_{22} = x_2 + x_3 = 4,967$

$\underline{a}_{32} = \underline{a}_{23} = -\frac{1}{l_2} \cdot y_2 = -0,4963$

LF $\bar{\varphi}_e = 10$:

$\underline{a}_{33} = \frac{1}{l_1} \cdot y_1 - \frac{1}{l_1} \cdot y_2 + \frac{1}{l_2} \cdot y_2 - \frac{1}{l_2} \cdot y_3 = 0,1599$

LF $\underline{a}_1 H$:

$\underline{r}_{10} = \underline{r}_{60} = -0,0850 \cdot q \cdot l^2 = -1709 \text{ kNm}$

$\underline{a}_{60} = -\underline{a}_{30} = 1709 \text{ kNm}$

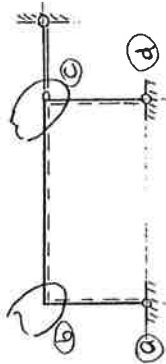
$\underline{a}_{30} = -H = -q \cdot (l_1 + l_2) = -1749 \text{ kN}$

GLEICHUNGSSYSTEM UND LÖSUNG

$\bar{\varphi}_b$	$\bar{\varphi}_c$	$\bar{\varphi}_e$	LF
4,970	1,003	-0,4966	1709
1,003	4,967	-0,4963	-1709
-0,4966	-0,4963	0,1599	1749
$\bar{\varphi}_b$	$\bar{\varphi}_c$	$\bar{\varphi}_e$	DET
6191	-2429	22613	>+

$[A] \cdot \{x\} = -\{B\}$

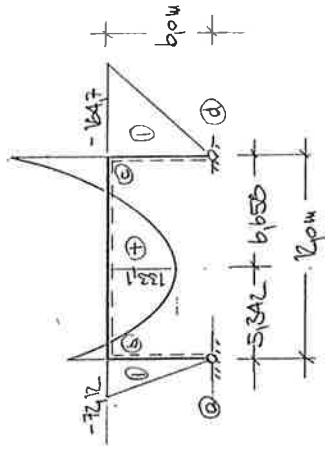
$\varphi_i = \bar{\varphi}_i / C$



STABENKOMPONENTE

		$Q = 14,2 \text{ kN/m}$		
⑤	i-k	$\Pi_{ik}^0 \text{ kNm}$	$\Pi_{ik} \text{ kNm}$	
①	a	+		+
	b			-72,12
②	b	-1709		-72,12
	c	-1709		-1847
③	c	+		-1847
	d			+

$\Pi \text{ [kNm]}$



(VERLAUF ZWISCHEN DEN ENDTOMENTEN N. TH. I. O.S.S.)

STABENKRÄFTE R_{ik}

		$Q = 14,2 \text{ kN/m}$		
⑤	i-k	$R_{ik}^0 \text{ kN}$	$R_{ik} \text{ kN}$	
①	a	+		-1281
	b			75182
②	b	85120		-94586
	c	-85120		2984
③	c	+		
	d			

$\sum H = +, \sum V = +$

STABENDEQUERKRÄFTE

$q_L = 14,2 \text{ kN/m}$		R_{ik}	kN
⑤	i-k	*	
①	a		-11,65
②	b		70,24
	c		-94,74
③	c		29,64
	d	*	

(* NICHT BERECHNET)

NORTALKRÄFTE

$q_L = 14,2 \text{ kN/m}$		R_{ik}	kN
⑤	i-k		
①	a-b		-75,82
②	b-c		-29,84
③	c-d		-94,83

NACHWEISE:

max σ : - KNOTEN ⑤

$$\sigma = \frac{16470}{904} + \frac{94,83}{74,7} = 2173 \text{ kN/cm}^2 < \sigma_{R,d} = 2182 \text{ kN/cm}^2 \checkmark$$

max τ : - KNOTEN ⑤

$$\tau = \frac{94,74 \cdot 510}{16270 \cdot 90} = 3172 \text{ kN/cm}^2 < \tau_{R,d} = 2160 \text{ kN/cm}^2 \checkmark$$

$$\sigma_v < \sigma_{R,d}$$

ERFÜLLT FÜR $\sigma/\sigma_{R,d} < 0,95$ ODER $\tau/\tau_{R,d} < 0,95$

NACHWEIS VON GRENZE (b/t) - ERFÜLLT

(SIEHE \rightarrow FÜR TH. I. O.R.D.)

MAX. RELATIONELL STAB ⑤-③

$q_L = 14,2 \text{ kN/m}$		
Π_0	12600	
Π_1	25460	
v	0,02210	
ξ_n	0,4451	
χ_n	51342	
max Π	13311	

VERFORMUNGEN:

$$\xi = 0,4451 \quad \eta = 1,1$$

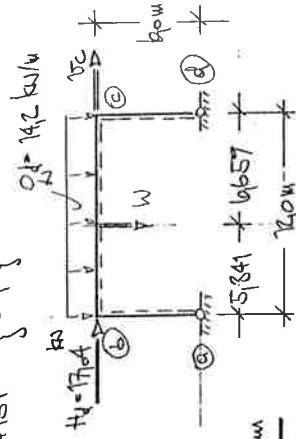
$$\Pi_i: \Delta W = -0,02176 \text{ m}$$

$$\Pi_k: \Delta W = -0,05183 \text{ m}$$

$$o_w: \Delta W = 0,1237 \text{ m}$$

$$\text{STELLE } \chi_n: W = 0,05011 \text{ m} \hat{=} 5,0 \text{ cm}$$

$$\xi = \bar{\sigma}_e/c = 0,04371 \text{ m} \hat{=} 4,4 \text{ cm}$$



AL.9 ELASTIZITÄTSTHEORIE II. ORD. - (ELAST.-PLAST)

SYSTEM UND BELASTUNG

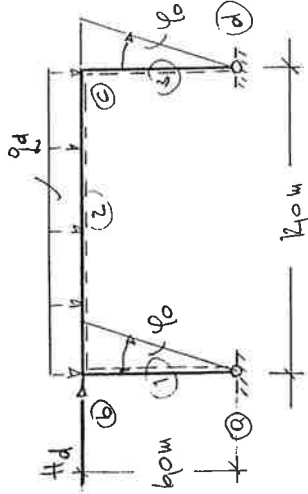
$\frac{q_d \cdot l^4}{H} = 10$

ITE 300 St 37

$E = 21 \cdot 10^4 \text{ kN/cm}^2$

$J = 16 \cdot 10^8 \text{ cm}^4 \quad \eta = 11$

$\varphi_0 = 9003596 \text{ (WINKELK.)}$



1. ANNAHME:

$q_d = 16,9 \text{ kN/m} \quad H_d = 20,25 \text{ kN}$

⑤	N_s [kN]	ϵ_s	F_i	F_z	F_b
①	95	0,3316	-	-	2,978
②	40	0,4306	3,775	2,006	-
③	175	0,3651	-	-	2,973

$\epsilon = 0,1 \sqrt{\frac{N}{EJ} l^4}$

$C = 5177 \text{ kNm}$

⑤	η_i/l_i	ϵ_s	λ_s	η_s
①	10	2,978	+	2,978
②	0,5	1,986	1,003	-
③	10	2,973	+	2,973

NACHWEIS - BIEGEDRILLKnickEN

RAHMENSTAB ③:

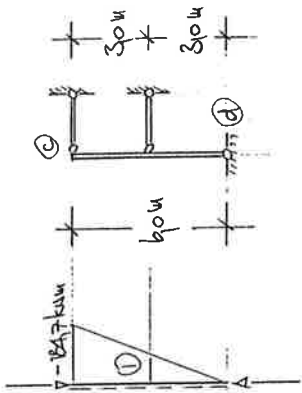
$N = 79,84 \text{ kN (DRUCK)}$

$s_k \cdot l = 310 \text{ m (CABELLÄNGE)}$

(NENNE \rightarrow TH. I. ORD. (EE))

$k_z = 0,6709$

$\varphi = 0,95 \quad \zeta = 1385 \quad \Gamma_{k,y} = 6627 \text{ kNm} \quad \bar{\Delta}_H = 0,6078 \quad k_{H1} = 0,9666$



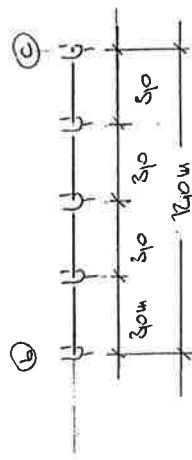
BIEGEDRILLKnickNACHWEIS:

$\frac{N_d}{k_z \cdot N_{pl,d}} + \frac{\Gamma}{k_{H1} \cdot \Gamma_{k,d}} \cdot k_y = \frac{74,50}{0,6709 \cdot 15826} + \frac{1847}{9666 \cdot 22240} \cdot 1,0 = 0,930 < 1 \checkmark$

STABEL ①:

$N = 29,84 \text{ kN (DRUCK)}$

$s_k \cdot l = 310 \text{ m}$



NACHWEIS STABE

\rightarrow TH. I. ORD. - E.E

SYSTEM

LF $\varphi_b = 10$:

$q_{11} = x_1 + x_2 = 4966$

$q_{21} = a_{12} = x_2 = 1003$

$q_{31} = a_{13} = -\frac{1}{3} \cdot 10 = -0.49763$

LF $\varphi_c = 10$:

$q_{12} = x_2 + x_3 = 4963$

$q_{22} = a_{23} = -\frac{1}{3} \cdot 10 = -0.49755$

LF $\varphi_e = 10$:

$q_{32} = \frac{1}{3} \cdot 10 - \frac{1}{4} \cdot 10 + \frac{1}{3} \cdot 10 - \frac{1}{3} \cdot 10 = 0.1585$

LF $Q_{21} H$:

$\Pi_{10}^0 = \Pi_{00} = -0.08357 \cdot 0.10 = -0.008357$

$q_{10} = -q_{20} = \Pi_{00} = -0.008357$

$q_{30} = -H - \varphi_0 \cdot (N_1 + H_3) = -2110 \text{ kN}$

GLEICHUNGSSYSTEM UND LÖSUNG:

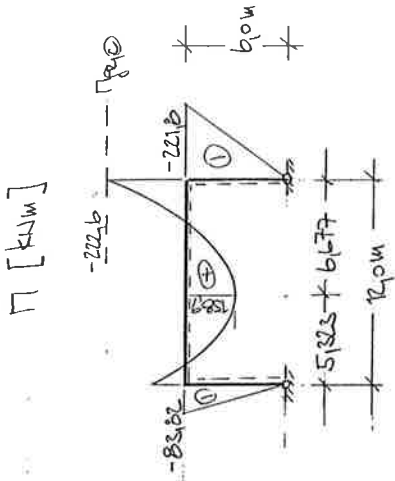
$[A] \cdot \{x\} = -\{s\}$

φ_b	φ_c	φ_e	LF
4966	1003	-0.49763	2034
1003	4963	-0.49755	-2034
-0.49763	-0.49755	0.1585	2110
φ_b	φ_c	φ_e	DET
74.43	-28.30	277.7	> 0

$\varphi_i = \varphi_i / c$

STABENKOMPONENTE:

⑤ i-k	$Q_{ij} = 169 \text{ kN/m}$		ELAST.
	Π_{ik}^0	Π_{ik}^1	
① a	+	+	-
② b	-	-	-
③ c	-	-	-
④ d	+	+	+



(VERLÄUFE NACH TH. I. OCS.)

STABENKRÄFTE:

⑤ i-k	$Q_{ij} = 169 \text{ kN/m}$		ELAST.
	ΣK_{ik}^L	ΣK_{ik}^R	
① a	+	+	-
② b	-	-	-
③ c	-	-	-
④ d	+	+	+

$\Sigma H = +, \Sigma V = +$

STÄBENDQUERKRÄFTE:

q ₁ = 16,9 kN/m	ELAST
⑤ i-k	Q _{ik} kN
① a	*
② b	-13,82
b	9,46
c	-113,1
c	34,84
d	*

NORMALKRÄFTE

q ₁ = 16,9 kN/m	ELAST
⑤ i-k	N _{ik} kN
① a-b	-89,90
② b-c	-35,47
③ c-d	-112,9

(* NICHT GERECHNET)

TAX FELDIONENST

ELAST.	
Π ₀	13130
Π ₁	26570
v	902431
ξ _Π	914436
χ _Π	5323
max Π	1589


STAB ⑤-⑥

NACHWEISE

INTERAKTION: $\frac{N}{N_{p,d}} < 910$ $\frac{R}{R_{p,d}} = 9,8281 < 0,33 \rightarrow \Pi_{p,d}$

$\Pi_{cb} = 221,6 \text{ kNm} < \Pi_{p,d} = 222,6 \text{ kNm} \checkmark$

INTERAKTION ÜBERSAUL ERHALTEN

NACHWEIS GRENZ (b|t) ERFÜLLT - SIEHE  TC. TH. II. ORD.

VERFORMUNGEN:

$\xi = 9,4436, \xi = 9,5564$

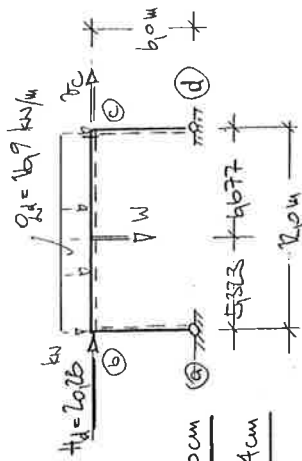
$\Pi_i: \Delta W = -9,02535 \text{ m}$

$\Pi_k: \Delta W = -9,06229 \text{ m}$

$o: \Delta W = 9,1474 \text{ m}$

$N = 9,05976 \text{ m} \hat{=} 90 \text{ cm}$

$\sigma = \bar{\sigma} / c = 6,05364 \text{ m} \hat{=} 54 \text{ cm}$



NACHWEIS BIEGEDRILLKNICKEN

RAHMENSTAB ③:

$N = 12,9 \text{ kN (DRUCK)}$

$S_k = l = 2,0 \text{ m (CASSELLÄNGE)}$

NACHWEIS SIEHE TC. TH. II. ORD.

RIEGEL ①:

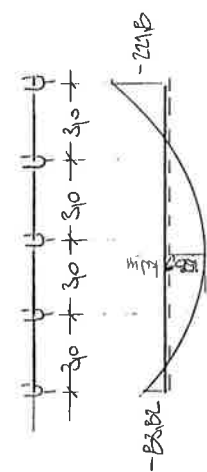
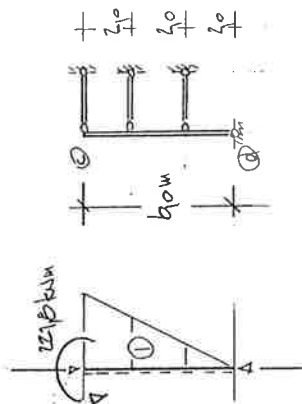
$N = 35,47 \text{ kN}$

NACHWEIS FÜR $\Pi_y = 158,9 \text{ kNm}$

$\xi = 9,9109, \chi_{\Pi} = 0,7702$

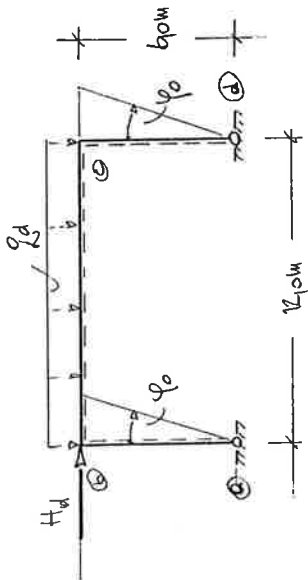
(SIEHE  TC. II. ORD. (EE))

$\frac{35,47}{9,9109 \cdot 158,9} + \frac{158,9}{0,7702 \cdot 222,6} \cdot 1,0 = 9,7592 < 1,0 \checkmark$



2.16 FLIESSCIELENTHEORIE II. ORD. (EXAKTE BERECHNUNG)

SYSTEM UND BELASTUNG:



$$\frac{q_d \cdot l^2}{8H_d} = 10$$

IPE 360 ST 37
 $E = 21 \cdot 10^4 \text{ kN/cm}^2$
 $J = 16 \text{ cm}^4$
 $\varphi_0 = 900 \text{ SEITB (VORVERDR.)}$

GESUCHT:

TRAGLAST DES GEG. SYSTEMS

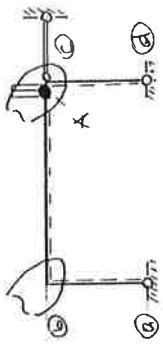
$$1. \text{ ANNAHME}$$

$$\varphi_d = 19,2 \text{ kN/m} \rightarrow H_d = 23,04 \text{ kN}$$

⑤	N_s	h_s	z_s	F_1	F_2	F_B
①	105	10	0,3489	-	-	2,976
②	45	0,5	0,4568	3,972	2,007	-
③	135	10	0,3756	-	-	2,969

⑤	y_s	x_s	λ_s	y_s
①	10	2,976	+	2,976
②	0,5	1,986	1,004	2,990
③	10	2,969	+	2,969

SYSTEM MIT PG A W ②



KOEFFIZIENTEN:

$$LF \varphi_0 = 10$$

$$q_{12} = x_1 + x_2 = 4,962 \quad q_{23} = q_{34} = \lambda_2 = 1004 \quad q_{31} = q_{12} = -\frac{1}{2} \cdot 10 = -0,4960$$

$$q_{41} = q_{14} = -\lambda_2 = -1004$$

$$LF \varphi_C = 10$$

$$q_{12} = x_2 + x_3 = 4,755 \quad q_{23} = q_{34} = -\frac{1}{2} \cdot 10 = -0,4960 \quad q_{41} = q_{14} = -x_2$$

$$LF \varphi_E = 10$$

$$q_{33} = \frac{1}{2} \cdot 10 = 5 \quad q_{44} = x_2 = 1,986$$

$$LF \varphi_A = 10$$

$$q_{44} = x_2 = 1,986$$

$$LF \varphi_B = 19,2 \text{ kN/m}, H = 23,04 \text{ kN}$$

$$\Gamma_{B0} = \Gamma_{B0} = -0,08862 \cdot \varphi_0^2 = -231,2 \text{ kNm}$$

$$q_{10} = -q_{01} = -231,2 \text{ kNm}$$

$$q_{10} = -H - \varphi_0 \cdot (N_1 + N_3) = -23,976 \text{ kN}$$

$$q_{10} = -\Gamma_{B0} = -231,2 \text{ kNm} \quad \Gamma_A = -218,0 \text{ kNm (ANNAHME)} = \Gamma_{10C}$$

Gleichungssystem und Lösung: $[A] \cdot \{x\} = -\{b\}$

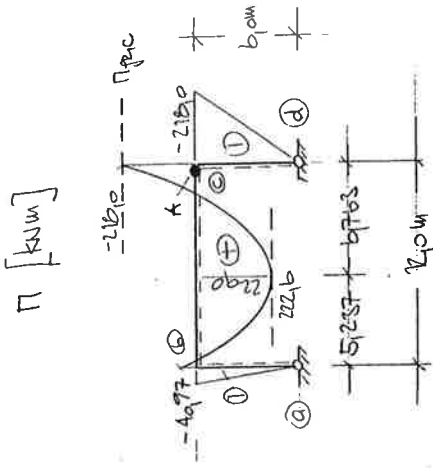
\bar{q}_6	\bar{q}_c	\bar{q}_e	\bar{q}_a	LF
49762	1004	-94760	-1004	2312
1004	4755	-94748	-1786	-2312
-94760	-94748	91574	+	2598
-1004	-1786	+	1786	1320
\bar{q}_6	\bar{q}_c	\bar{q}_e	\bar{q}_a	DET(A)
133,3	4616	7172	1201	> +

$\varphi_i = \bar{q}_i / c$

$= 2312 - 2180$

Stabendmomente:

	$q = 17,2 \text{ kN/m}$	FG A
⑤	Π_{ik}	Π_{ik}
①	+	+
②	-2312	-4976
③	-2312	-2180 ✓



Stabendkräfte:

	$q = 17,2 \text{ kN/m}$	FG A
⑤	R_{ik}	R_{ik}
①	+	-91662
②	1152	1004
③	-1152	-1320

Kontrolle: $\sum H = +$, $\sum V = +$

STABENQUERKRÄFTE

$Q = 17,2 \frac{kN}{m}$	R_{ik}	FG A
⑤	i-k	kN
①	a	(*)
②	b	-6,756
	b	10,16
	c	-12,96
③	c	33,89
	d	(*)

(*) NICHT GERECHNET

NORMALKRÄFTE

$Q = 17,2 \frac{kN}{m}$	N_s	FG A
⑤	i-k	kN
①	a-b	-100,4
②	b-c	-32,69
③	c-d	-130,0

BERECHNETEN NORMALKRÄFTE < AUSANGENOMMEN ✓

MAX. FELDSTRECKENT STAB b-c

	FG A
Π_0	13250
Π_1	26940
v	0,02907
ξ_{Π}	0,4564
x_{Π}	5,237
$w_{max, \Pi}$	2290

NACHWEIS DER PLAST. GRENZSCHNITTGR. (INTERAKTION)

$$\frac{N}{N_{pl,d}} < 0,10 : R_{A,i} = R_{b,w} - N_{i,sg} = -1306 \text{ kN} \quad \frac{R}{R_{pl,d}} = 0,3781$$

$$\frac{\Pi_{0,c}}{N_{pl,d}} = -2180 \text{ kNm} = \Pi_A = -2180 \text{ kNm} \quad \checkmark$$

$$\text{FELD: } R(x_{\Pi}) = + \cdot w_{max, \Pi} = 2200 \text{ kNm} = \Pi_{pl,d} = 2206 \text{ kNm} \quad \checkmark$$

- INTERAKTION ÜBERALL EINGEHALTEN
- GRENZ (b/c) IST ERFÜLLT → SIEHE BEISPIEL $\left[\frac{1}{2} \right]$ FG. TH. II. ORD
- STABILEN GLEICHGEN.
- POSITIVE DISPERSIONSARBEIT

→ KEIN WEITERES FG (IN FELD) MÖGLICH (KIN. KETTE)

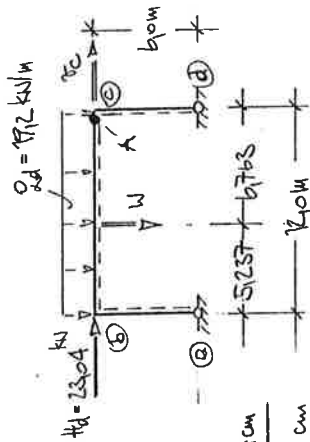
$$\underline{Q_d = 17,2 \text{ kN/m} = Q_{TRAGWERK}}$$

VERFORMUNGEN:

$\xi = 0,4564 \quad \xi' = 0,5636$

$\Pi_i: \Delta W = -0,01237 \text{ m}$
 $\Pi_k: \Delta W = -0,006088 \text{ m}$
 $\Sigma: \Delta W = 0,1672 \text{ m}$

STABE $X_n \quad W = 0,9375 \text{ m} \hat{=} 94 \text{ cm}$
 $\tau_c = \tau_c/c = 0,1385 \text{ m} \hat{=} 14 \text{ cm}$



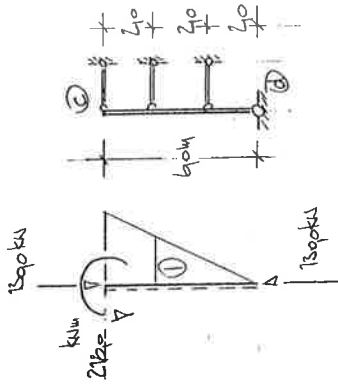
NACHWEIS BIEGESTÄBTRAGWERKE:

RAHMENSTAB ③:

$N = 1300 \text{ kN}$ (DRUCK > +)

$S_k = l = 2,0 \text{ m}$

(GABELLÄGERUNG)



$\varphi = 0,07:$

WERTE WIE BEISPIEL ① FÜR TH. II. ORD. RAHMENSTAB ①

$k_z = 0,8523 \quad k_\eta = 0,7869 \quad k_y = 1,0$

NIEGESTÄBTRAGWERKE:

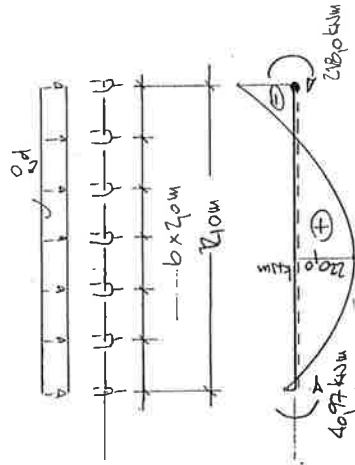
$\frac{N}{k_z \cdot N_{pl,d}} = \frac{1300}{0,8523 \cdot 1586} = 0,9717 < 1,0$

$\frac{\Pi}{k_\eta \cdot \Pi_{pl,d}} = \frac{2120}{0,7869 \cdot 2226} = 0,9923 < 1,0 \checkmark$

REGEL ②:

$N = 32167 \text{ kN}$ (DRUCK > +)

$S_k = l = 2,0 \text{ m}$ (GABELLÄGERUNG)



WERTE WIE BEISPIEL ① FÜR TH. II. ORD. REGEL ②

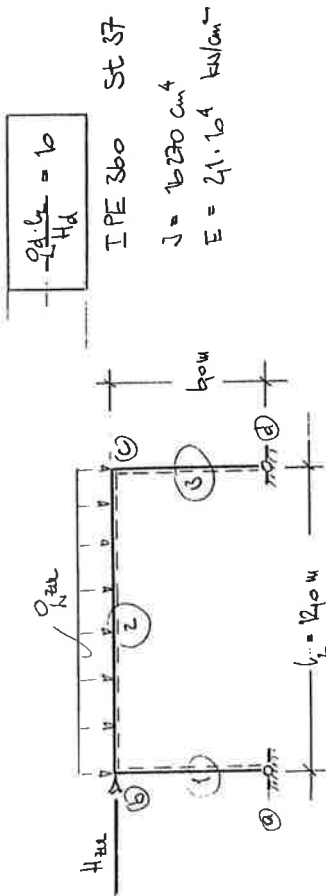
$k_z = 0,8523 \quad k_\eta = 0,7254 \quad k_y = 1,0$

BIEGESTÄBTRAGWERKE: (SUN. $\Pi_{max} = \Pi_{pl,d} = 2226 \text{ kNm}$)

$\frac{\Pi}{k_\eta \cdot \Pi_{pl,d}} = \frac{2120}{0,7254 \cdot 2226} = 1,061 > 1,0 \checkmark$

=> ZUSÄTZL. KIPPHALTERUNGEN BER. (l=1,0m)

2.11 GEBRAUCHSTAUGLICHKEIT: - (GELENKIGE STELLAGERUNG)



IPE 360 St 37
 $J = 16230 \text{ cm}^4$
 $E = 21 \cdot 10^4 \text{ kN/cm}^2$

ANNAHME: KEIN ANSATZ VON VORVERFORDUNGEN
 TEILSICHERHEITSWERTE: $\gamma_F = 1.0, \psi = 1.0$ (ANNAHME)
 $\gamma_M = 1.0$

q_{zul}, H_d:

STÄNDIGE EINWIRKUNG ... $\gamma_F = 1.35$
 VERÄNDERL. ... $\gamma_F = 1.5$
 $q_{d1} = \gamma_F \cdot q + \gamma_F \cdot \psi \cdot p = 1.35 \cdot q_{zul}$

n. TH. I. ORD.

$q_{d1} \text{ kN/m}$	-	14.6	17.5
q_{zul}	1.0	10.81	12.96
M_b	-5.40	-58.37	-67.96
M_c	-12.60	-136.2	-163.8
$\int \eta$	-	0.4500	0.4500
$w_{max, \Pi}$	-	99.24	117.0
\bar{v}_E	14.37	155.6	186.5

$C = 5075 \text{ kNm}$

$\Delta W \text{ [m]}$	
q_{zul}	10.81 12.96
M_b :	-0.1573 -0.1886
M_c :	-0.03433 -0.04117
q :	0.08440 0.1012
w :	0.03433 0.04117
v_c :	0.02732 0.03275

n. TH. I. ORDNUNG - d₁-VERFAHREN

$q_{d1} \text{ kN/m}$	$d_1 = 1.066$	$d_1 = 1.104$
q_{zul}	-	10.81
M_b	-5.096	-5.006
M_c	-12.97	-12.97
$\int \eta$	-	0.4448
$w_{max, \Pi}$	-	115.4
\bar{v}_E	15.63	15.89

$\Delta W \text{ [m]}$	
q_{zul}	10.81 12.96
M_b :	-0.1444 -0.1698
M_c :	-0.03467 -0.04070
q :	0.08196 0.09747
w :	0.03345 0.03981
v_c :	0.02887 0.03492

n. TH. II. ORDNUNG (EXAKT)

$\epsilon = \alpha \cdot \sqrt{\frac{N}{EJ}}$

$Q_{d1} = 14.2 \text{ kN/m} \rightarrow Q_{zul} = 10.81 \text{ kN/m}$

⑤	N_s	h_1/l_3	ϵ_s	F_1	F_2	F_3	λ_s	ψ_s
①	60	1.0	0.2514	-	-	2.987	2.987	+
②	25	0.5	0.3246	3.986	2.004	-	1.993	1.002
③	75	1.0	0.2811	-	-	2.964	2.964	+

\bar{v}_b	\bar{v}_c	\bar{v}_E	LF
4.980	1.002	-0.4778	126.5
1.002	4.977	-0.4773	-126.5
-0.4778	-0.4773	0.1619	12.62
\bar{v}_b	\bar{v}_c	\bar{v}_E	
45.09	-18.55	159.6	

$[A] \cdot \{X\} = -\{B\}$

$C = E \cdot \frac{1}{l_1} = 5075 \text{ kNm}$

$\varphi_i = \bar{v}_i / C$

$q_A = 169 \text{ kN/m} \rightarrow q_{\text{zul}} = 12,52 \text{ kN/m}$

s	N_s	e_1/e_s	E_s	F_1	F_2	F_3	δ_s	λ_s	y_s
①	70	1,0	0,2716	-	-	2,965	2,965	+	2,965
②	30	0,5	0,3556	3,963	2,004	-	1,992	1,002	-
③	85	1,0	0,2993	-	-	2,982	2,982	+	2,982

$[A] \cdot \{X\} = -\{B\}$

φ_0	φ_c	\bar{v}_c	LF
4,777	1,002	-0,4975	15,96
1,002	4,974	-0,4970	-15,06
-0,4975	-0,4970	0,1612	15,02
$\bar{\varphi}_0$	$\bar{\varphi}_c$	\bar{v}_c	
53,83	-21,76	171,5	

$q_A = 172 \text{ kN/m} \rightarrow q_{\text{zul}} = 14,12 \text{ kN/m}$

s	N_s	e_1/e_s	E_s	F_1	F_2	F_3	δ_s	λ_s	y_s
①	80	1,0	0,2963	-	-	2,963	2,963	+	2,963
②	35	0,5	0,3841	3,980	2,005	-	1,990	1,003	-
③	95	1,0	0,3164	-	-	2,980	2,980	+	2,980

$[A] \cdot \{X\} = -\{B\}$

φ_0	φ_c	\bar{v}_c	LF
4,973	1,003	-0,4972	171,1
1,003	4,970	-0,4967	-171,1
-0,4972	-0,4967	0,1605	17,06
$\bar{\varphi}_0$	$\bar{\varphi}_c$	\bar{v}_c	
61,35	-24,87	217,3	

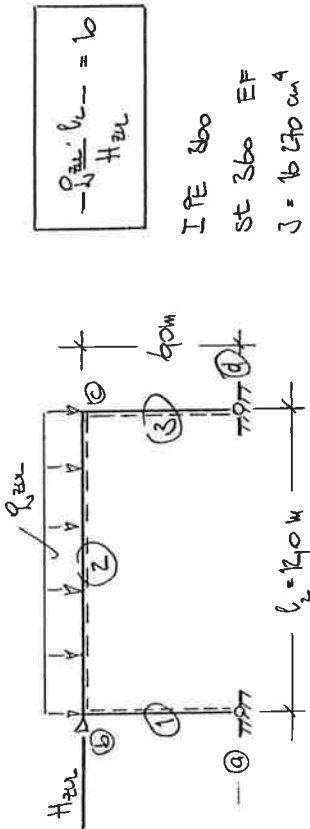
q_{zul} [kN/m]	1,952	12,52	14,12
Π_6	-5523	-6541	-7396
Π_c	-134,7	-160,7	-183,1
Π_0	14380	14260	13860
Π_1	26950	26750	26020
v	0,01699	0,01874	0,02046
ξ_{Π}	0,4477	0,4473	0,4469
max Π	9709	117,5	132,9

ΔW [m]

q_{zul}	1,952	12,52	14,12
Π_6	-0,01505	-0,01787	-0,02026
Π_c	-0,03425	-0,04095	-0,04674
Π_0	0,08293	0,07890	0,1116
Π_1	0,03363	0,04006	0,04560
v_c	0,02602	0,03363	0,03851

$\Pi_{\text{rel}} = f_{\text{hyd}} \cdot W_{\text{rel}} = 240 / 10 \cdot 904 = 2170 \text{ kN/m}$
 ~ REIN ERHÖH. VERHALTEN TÜRRE SYSTEME

ALZBERECHNUNG NACH Ö-NORM S 4600 - (GELENKIGE STELL.)



I FE 360
 St 360 EF
 $J = 16270 \text{ cm}^4$
 $E = 21 \cdot 10^4 \text{ kN/cm}^2$

1. ANNAHME
 $q_{zul} = 1154 \text{ kN/m} \rightarrow H_{zul} = 1385 \text{ kN}$

$\max \Pi = \Pi_{ed} = q \cdot [-90 - 360] = -1454 \text{ kNm}$
 $\Pi_{be} = q \cdot [-90 + 360] = -6212 \text{ kNm}$
 $\max Q = Q_{be} = q \cdot [-60 - 060] = -7616 \text{ kN}$
 $N_{ed} = -7616 \text{ kN}$
 $N_{be} = q \cdot [-150 - 060] = -2423 \text{ kN}$

ORT UND GRÖSSE VON $\max \Pi_F$ - STAB 2

$f_{11} = \frac{1}{2} - \frac{\Pi_{1k} - \Pi_{1f}}{q \cdot l^2} = 0,4500 \quad X_{11} = 5,400 \text{ m}$

$\max \Pi_F = \Pi_{1k} + \frac{1}{2} \cdot f_{11} \cdot q \cdot l^2 = 1057 \text{ kNm}$

NACHWEISE:

ALLGEM. SPANNUNGSNACHWEIS:

$\max \sigma: \frac{N}{A} + \frac{\Pi}{I \cdot W} = \frac{7616}{727} + \frac{14540}{107704} = 1068 \text{ kN/cm}^2 < \sigma_{zul} = 165 \text{ ✓}$

$\max \tau: \tau = \frac{Q \cdot S}{J \cdot t} = \frac{7616 \cdot 510}{16270 \cdot 08} = 29624 \text{ kN/cm}^2 < \tau_{zul} = 60 \text{ kN/cm}^2$

VERGLEICHSSPANNUNG:

$\sigma = 1713 \text{ kN/cm}^2 \quad \tau = \frac{2423 \cdot 510}{16270 \cdot 08} = 9780 \text{ kN/cm}^2$
 $\sigma_V = 1717 \text{ kN/cm}^2 < \sigma_P = 1710 \text{ kN/cm}^2 \checkmark$

KNICKNACHWEIS:

(VERSCHIEBL. SYSTEM; DOPPELSTÄB. BS.)

STIEL 3:

KN - IN DER POTENTIELENEBE

$\lambda_3 = 2683 \text{ (SIEHE VORHER)} \quad S_k = 2683 \cdot 600 = 1610 \text{ cm}, \quad i_y = 150 \text{ cm}$
 $\lambda_y = 1073 \rightarrow \sigma_{kzul} = 857 \text{ kN/cm}^2$

$\frac{\sigma_{kzul}}{\sigma_{kvorh}} \cdot \frac{N}{A} + 0,9 \cdot \frac{\Pi}{W} = \frac{165}{857} \cdot \frac{7616}{727} + 0,9 \cdot \frac{14540}{904} = 1649 \text{ kN/cm}^2$
 $\sigma_{vorh} = 1649 \leq \sigma_{zul} = 165 \text{ kN/cm}^2 \checkmark$

KN - L ZUR POTENTIELENEBE

$S_k = 3000 \text{ cm (SIEHE BS KN)} \quad i_z = 379 \text{ cm}$
 $\lambda_z = 7716 \rightarrow \sigma_{kzul} = 1188 \text{ kN/cm}^2$
 $\sigma_{kvorh} = \frac{7616}{727} = 1048 \text{ kN/cm}^2 < \sigma_{kzul} = 1188 \text{ kN/cm}^2 \checkmark$

RIEDEL 2

KN - IN DER POTENTIELENEBE

AUS HF SYSTEM \rightarrow GLEICHE SCHLANKHEIT WIE STIEL
 N Regel $< N_{stiel} \rightarrow$ NICHT TRASSEREND

KW ⊥ ZUR TORMENTEBENE

$s_k = 30 \text{ m}$ $i_z = 377 \text{ cm}$ $\lambda_z = 77,16 \rightarrow \sigma_{k,zul} = 11,88 \text{ kN/cm}^2$
 $\sigma_{k,vorkh} = \frac{24,23}{72,7} = 0,3333 < \sigma_{k,zul} = 11,88 \text{ kN/cm}^2 \checkmark$

SIEGEDRILLKNICKEN:

b < L → VERKÜRZTER NACHWEIS DURCH KNICKNACHWEIS DES KURTES; $i_z = 470,7 \text{ cm}$

STIEL ③

$N = 70,16 \text{ kN (DRUCK)}$
 $l_z = 10 \text{ m}$ $\text{TK } \pi_y = 1454 \text{ kNm}$

$\rho_0/p_1 = 0,84 \rightarrow s = 9,762$

$\lambda_z = \frac{l_z}{i_z} = \frac{10}{19,60} \rightarrow \sigma_{k,zul} = 16,06 \text{ kN/cm}^2 = 30,16 + \frac{14540}{107 \cdot 904} = \sigma_{k,vorkh} \checkmark$

b) $l_z = 20 \text{ m}$ FÜR $\pi_y = -121,2 \text{ kNm}$

$s_k = 20 \text{ m}$ $\lambda_z = 60,76$ $\sigma_{k,zul} = 14,72 \text{ kN/cm}^2 > \frac{70,16}{72,7} + \frac{12150}{107 \cdot 904} = 13,61 \text{ kN/cm}^2 \checkmark$

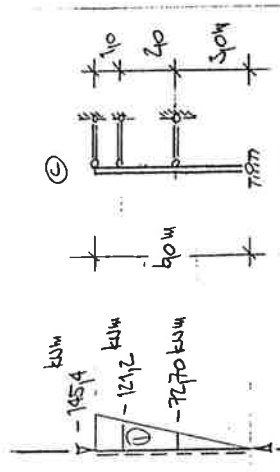
RIEGEL ②

$N = 24,23 \text{ kN (DRUCK)}$

a) FÜR $\pi_y = 165,7 \text{ kNm}$

$l_z = 30 \text{ m}$ $\lambda_z = \frac{300}{490,7} = 61,14 \rightarrow \sigma_{k,zul} = 13,48 \text{ kN/cm}^2$

$\sigma_{k,vorkh} = \frac{24,23}{72,7} + \frac{165,70}{107 \cdot 904} = 11,26 \text{ kN/cm}^2 < \sigma_{k,zul} = 13,48 \text{ kN/cm}^2 \checkmark$



b) FÜR $\pi_y = 1454 \text{ kNm}$

$l_z = 150 \text{ m}$ $\text{TK } \rho_0/p_1 = 0,50 \rightarrow s = 0,88$ (SIEHE VORHER)

$\lambda_z = \frac{13210}{490,7} = 26,90 \rightarrow \sigma_{k,zul} = 15,5 \text{ kN/cm}^2$

$\sigma_{k,vorkh} = \frac{24,23}{72,7} + \frac{14540}{107 \cdot 904} = 15,37 \text{ kN/cm}^2 < \sigma_{k,zul} = 15,5 \text{ kN/cm}^2 \checkmark$

NACHWEIS VON GRENZE (b/t)

ERHÄLT, SIEHE BEISPIEL

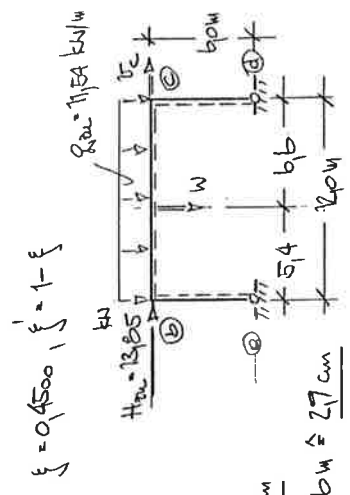
VERFORMUNGEN

$\pi_f: \Delta W = -0,1577 \text{ m}$
 $\pi_k: \Delta W = -0,03665 \text{ m}$
 $\pi_g: \Delta W = 0,0906 \text{ m}$

$\frac{W}{C} = 0,03666 \text{ m} \hat{=} 3,7 \text{ cm}$

$\pi_c = \frac{\sigma_0}{C} = \frac{1}{C} \cdot (14,39) \cdot s = 0,02716 \text{ m} \hat{=} 2,7 \text{ cm}$

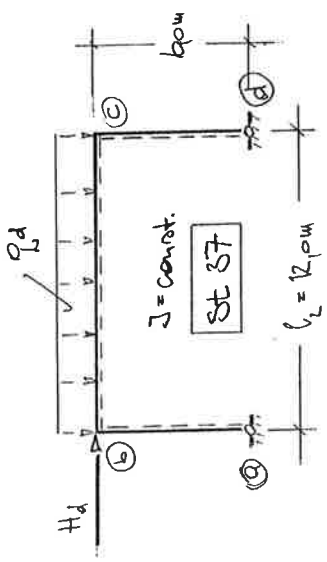
$C = \frac{EJ}{l_1} = 5075 \text{ kNm}$



A3.1 ELASTIZITÄTSTHEORIE I. ORD.

BEISPIEL 3

SYSTEM UND BELASTUNGEN



$$\frac{q_d \cdot l_2}{H_d} = 5$$

I PE 400
 $E = 21 \cdot 10^4 \text{ kN/cm}^2$
 $\nu = 1,1$

QUERSCHNITTSWERTE - IPE 400

$A = 845 \text{ cm}^2$, $A_S = s \cdot (h-t) = 3374 \text{ cm}^2$, $h = 40 \text{ cm}$, $b = 16 \text{ cm}$
 $t = 1,35$, $s = 0,66$, $r = 21 \text{ [cm]}$
 $S_y = 654 \text{ cm}^3$, $W_{ey} = 1160 \text{ cm}^3$, $W_{py} = 1308 \text{ cm}^3$, $d_{pe} = 1,126$
 $J_y = 23130 \text{ cm}^4$, $i_y = 16,5 \text{ cm}$, $J_z = 1360 \text{ cm}^4$
 $\rho = 9663 \text{ kN/m}$
 $J_{tors} = 470000 \text{ cm}^4$, $J_T = 374 \text{ cm}^4$

PLAST. GRENZSCHNITTSGRÖSSEN

$f_{yk} = 240 \text{ kN/cm}^2$, $f_{yk}/\nu = 2182 \text{ kN/cm}^2$
 $N_{pe} = f_{yk} \cdot A = 2026 \text{ kN}$, $N_{pd} = 1844 \text{ kN}$
 $R_{pe} = f_{yk} / \sqrt{1,5} \cdot A_S = 4606 \text{ kN}$, $R_{pd} = 4186 \text{ kN}$
 $T_{pe} = f_{yk} \cdot W_{pe} = 3139 \text{ kNm}$, $T_{pd} = 2854 \text{ kNm}$

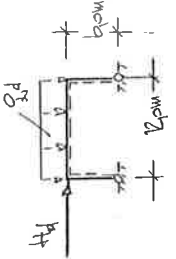
SCHNITTKRÄFTE NACH TH. I. ORDNUNG

SIEHE VOR $q_d = 10 \text{ kN/m}$, $H_d = 24 \text{ kN}$
 $C_d = \frac{(EJ)_d}{l_2} = 7330 \text{ kNm}$, $C = \frac{EJ}{l_2} = 8096 \text{ kNm}$

ZULÄSSIG TK

$$\frac{N_{elid}}{N_d} \geq 10$$

$N_{elid} = \frac{F \cdot (EJ)_d}{s_1 \cdot l_2^2}$, $A_1 = 2683$ (SIEHE VORHER)
 $N_{elid} = 1682 \text{ kN}$, $N_d = q_d \cdot [b \cdot l_2 + 2 \cdot a \cdot b] = 710 \cdot q_d$, $\frac{1682}{710 \cdot q_d} \geq 10$
 \Rightarrow ZULÄSSIG FÜR: $q_d \leq 2336 \text{ kN/m}$



FLIESSGEBIRTHEORIE I. ORD. ZULÄSSIG?

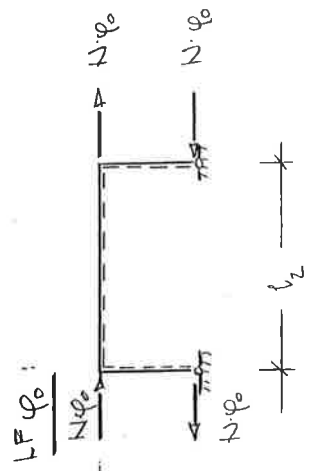
(U. DIN 18200 TL. PR. 5.3.2.4 ELEMENT (S27) SEITE 12)

$$\frac{d_1}{1 + \frac{J_s \cdot l_2}{J_k \cdot l_2}} \cdot \frac{(EJ)_d}{N \cdot l_2^2} \geq 10$$

$d_1 = 3$ GEOMETRIE TÜRSPITZE
 $N \dots$ Z DER VERT. LASTEN

$\frac{3}{1 + \frac{J_s \cdot l_2}{J_k \cdot l_2}} \cdot \frac{21 \cdot 23130}{N \cdot 12^2} \geq 10 \Rightarrow N \leq 1227 \text{ kN}$ MIT $N = 0,2 \cdot q_d =$
 ZULÄSSIG FÜR $q_d \leq 1673 \text{ kN/m}$

VORVERBUNDUNG: $q_d = 900 \text{ kN/m}$



ENTSPRICHT LF H:

MIT $H = (q_d \cdot l_2) \cdot \nu = 9 \cdot (12 \cdot \nu)$
 MIT: $H_{el} = \nu$
 $\nu_{el} = \nu_{el} = \nu$

13.2 E-THEORIE I. ORD - (ELAST.-ELAST)

1. ANNAHME

$q_d = 14,6 \text{ kN/m} \rightarrow H_d = 35,04 \text{ kN}$

$\max \Pi = \Pi_c = q \cdot \left[-\frac{L^2}{2} + L \cdot x - x^2 \right] = -237,5 \text{ kNm}$
 $\Pi_b = q \cdot \left[-\frac{L^2}{2} + L \cdot x - x^2 \right] = -25,26 \text{ kNm}$
 $\max Q = Q_{d0} = q \cdot \left[-L \cdot x + x^2 \right] = -65,13 \text{ kN}$
 $\max N = N_{cd} = -65,13 \text{ kN}$

NACHWEIS

$\max \sigma = \frac{237,5}{1100} + \frac{65,13}{2415} = 217,2 \text{ kN/cm}^2 < \sigma_{k,d} = 21,82 \text{ kN/cm}^2$
 $\max \tau = \frac{65,13 \cdot 1654}{23150 \cdot 986} = 34,62 \text{ kN/cm}^2 < \tau_{k,d} = 12,60 \text{ kN/cm}^2$

$\sigma \leq \sigma_{k,d}$: GILT ALS ERFÜLLT WENN $\sigma / \sigma_{k,d}$ ODER $\tau / \tau_{k,d} < 0,5$

KREUZ (b/t) ERFÜLLT

SIEHE FG. TH. II. ORS.

ORT UND GRÖSSE VON $\max \Pi_F$: STAB 2

$\xi_{II} = \xi - \frac{\Pi_k - \Pi_H}{q \cdot l^2} = 0,3970 \quad (x_{II} = 4,787 \text{ m})$

$\max \Pi_F = \Pi_k + \frac{1}{2} \xi^2 \cdot q \cdot l^2 = 142,1 \text{ kNm}$

VERFORMUNGEN

$\xi = 0,3970, \quad \xi' = 1 - \xi$

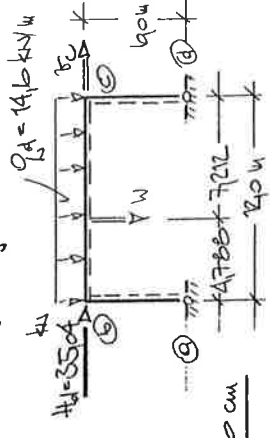
$\Pi_f: \Delta W = -0,005271 \text{ m}$

$\Pi_k: \Delta W = -0,04330 \text{ m}$

$q: \Delta W = 0,08493 \text{ m}$

$W = 0,03636 \text{ m} \hat{=} 3,6 \text{ cm}$

$\tau_c = \frac{F_c}{C_d} = \frac{1}{\xi} \cdot [14,37 \cdot (2 + 0,0746)] \cdot 0 = 0,05765 \text{ m} \hat{=} 5,8 \text{ cm}$



NACHWEIS BIEGEDRILLKNICKEN

SIEHE BEISPIEL TH. II. ORS - ELAST. ELAST

4.3.3 E-THEORIE I. ORD - (ELAST. - PLAST.)

1. ANNAHME
 $q_A = 17,5 \text{ kN/m} \rightarrow H_d = 420 \text{ kN}$

max $\Pi = \Pi_c = -2847 \text{ kNm}$
 $\Pi_b = -3026 \text{ kNm}$
 max $Q = Q_{ob} = -1262 \text{ kN}$
 max $N = N_{ca} = -1262 \text{ kN}$

FORTEL SIEHE VOR
 $\Pi_c = \Pi_e \cdot \frac{Q}{P}$

ORT UND GRÖSSE VON max Π_F - STAR 2

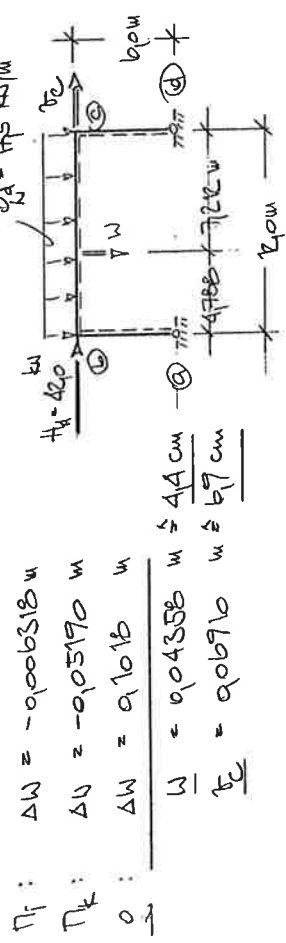
$\xi_n = \frac{1}{2} - \frac{\Pi_{ik} - \Pi_{ki}}{Q \cdot l^2} = 0,3970 \quad (\xi_n = 4789 \text{ m}) \quad \text{max } \Pi_F = 170,3 \text{ kNm}$

NACHWEIS DER INTERAKTION:

$\frac{\text{max } N}{N_{pl,d}} < 0,16 : \frac{\text{max } Q}{Q_{pl,d}} = 0,3013 < 0,33 \rightarrow \Pi_{gr} = \Pi_{ed,d} = 28514 \text{ kNm}$
 $\Pi_{cb} = -2847 \text{ kNm} < \Pi_{gr,c} = -28514 \text{ kNm} \checkmark$

NACHWEIS GEFÄHRE(BIT) SIEHE TC. TH. II. ORD.

VERFORMUNGEN: $\xi = 0,3970 \quad \xi' = 1 - \xi$



$\Pi_f : \Delta W = -0,006318 \text{ m}$
 $\Pi_k : \Delta U = -0,05170 \text{ m}$
 $Q : \Delta W = 0,1016 \text{ m}$
 $\frac{W}{l} = 0,04358 \text{ m} \hat{=} 4,4 \text{ cm}$
 $\frac{U}{l} = 0,06970 \text{ m} \hat{=} 6,9 \text{ cm}$

NACHWEIS BIEGEDRILLMOMENTE

SIEHE BEISPIEL E-TH. II. ORD - (ELAST. - LAST)

4.3.4 K-VERFAHREN (NÄHERUNG FÜR E-TH II. ORD.) - (ELAST. ELAST.)

ZULÄSSIGKEIT $\gamma_{k,d} = \frac{N_{k,d}}{N_d} \geq 4 \quad \alpha = \frac{1}{1 - \frac{N_d}{N_{k,d}}}$

VORVERKEHRUNG φ_0 :

$\varphi_0 = 0,002576 \quad (\text{VERF. E.E.})$

1. ANNAHME

$q_A = 142 \text{ kN/m} \rightarrow H_d = 34,06 \text{ kN}$

$\gamma_{k,d} = \frac{N_{k,d}}{N_d} = \frac{1682}{7209} = 16,45 > 4 \rightarrow \alpha = 1,065$
 $\text{max } \Pi = \Pi_c = 0 \cdot \left[-\frac{1}{2} \cdot \frac{LF \cdot Q}{l^2} - \alpha \cdot \frac{LF \cdot Q}{l^2} \cdot (2 + 0,02576) \right] = -239,1 \text{ kNm}$
 $\Pi_b = 0 \cdot \left[-\frac{1}{2} \cdot \frac{LF \cdot Q}{l^2} + \alpha \cdot \frac{LF \cdot Q}{l^2} \cdot (2 + 0,02576) \right] = -175,0 \text{ kNm}$
 $\text{max } Q = Q_{ob} = 0 \cdot \left[-\frac{1}{2} \cdot \frac{LF \cdot Q}{l} + \alpha \cdot \frac{LF \cdot Q}{l} \cdot (2 + 0,02576) \right] = -1036 \text{ kN}$
 $\text{max } N = N_{ca} = -1036 \text{ kN}$

ORT UND GRÖSSE VON max Π_F - STAR 2 b-c

$\xi_n = \frac{1}{2} - \frac{\Pi_{ik} - \Pi_{ki}}{Q \cdot l^2} = 0,3721 \quad (\xi_n = 4705 \text{ m})$

$\text{max } \Pi_F = \Pi_{ik} + \frac{1}{2} \cdot \xi_n \cdot Q \cdot l^2 = 1397 \text{ kNm}$

NACHWEIS:

max $\sigma : \sigma = \frac{23610}{1160} + \frac{1036}{85,4} = 2174 \text{ kN/cm}^2 < \sigma_{Rd} = 2182 \text{ kN/cm}^2 \checkmark$
 max $\tau : \tau = \frac{1036 \cdot 654}{23130 \cdot 0,66} = 3466 \text{ kN/cm}^2 < \tau_{Rd} = 3460 \text{ kN/cm}^2 \checkmark$

$\sigma \leq \sigma_{Rd}$ ERFÜLLT FÜR $\sigma / \sigma_{Rd} < 0,95$ ODER $\tau / \tau_{Rd} < 0,95 \checkmark$

A3.5.6 - VERFAHREN (NÄHERUNG F. E. TH. II. ORD.) - (ELAST.-PLAST)

1. ANNAHME

$q_d = 16.6 \text{ kN/m} \rightarrow H_d = 40.32 \text{ kN}$

$\gamma_{k,d} = \frac{N_{k,d}}{H_d} = \frac{1662}{760 \cdot 9} = 13.91 > 4 \quad \alpha = \frac{1}{1 - \frac{1}{\gamma_{k,d}}} = 1.076$

$\varphi_0 = 9003896 \text{ (VERDREHUNG)}$

SCHNITTGRÖSSENVERLAUFUNG:

$\text{max } \Pi \cdot \Pi_c = q_d \cdot [-9.0 - \alpha \cdot 3.6 \cdot (2 + 0.03896)] = -2841 \text{ kNm}$
 $\Pi_b = q_d \cdot [-9.0 + \alpha \cdot 3.6 \cdot (2 + 0.03896)] = -1817 \text{ kNm}$
 $\text{max } Q = Q_0 = q_d \cdot [-6.0 - \alpha \cdot 0.6 \cdot (2 + 0.03896)] = -1230 \text{ kN}$
 $\text{max } N = N = -1230 \text{ kN}$

ORT UND GRÖSSE VON max \Pi_F STAB ② b-c

$\int \Pi = \frac{1}{2} - \frac{\Pi_k - \Pi_{ki}}{0.6 \cdot l} = 0.8701 \quad (\chi_1 = 4.681 \text{ m})$
 $\text{max } \Pi_F = \Pi_{ik} + \frac{1}{2} \cdot \int_0^l q \cdot \Pi^2 = 16513 \text{ kNm}$

NACHWEIS DER INTERAKTION:

$\frac{N}{N_{k,d}} < 0.10 \quad \frac{\text{max } Q}{Q_{\text{pl,d}}} = 0.2937 < 0.33 \rightarrow \Pi_{pe} = \Pi_{\text{pl,d}} = 2854 \text{ kNm}$
 $\Pi_e = -2841 \text{ kNm} < \Pi_{pe} = -2854 \text{ kNm} \quad \checkmark$

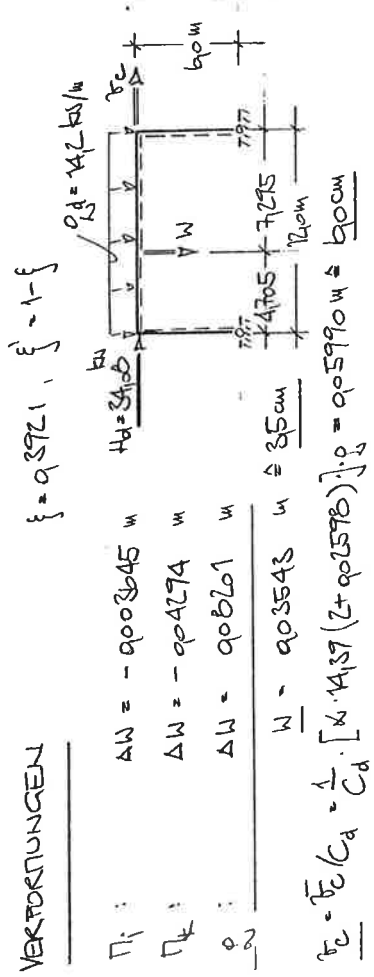
NACHWEIS VON GRENZ (b/c)

SIEHE FG. TH. II. ORD.

NACHWEIS GRENZ (b/c)

ERFÜLLT, SIEHE FG. TH. II. ORD.

VERFORMUNGEN

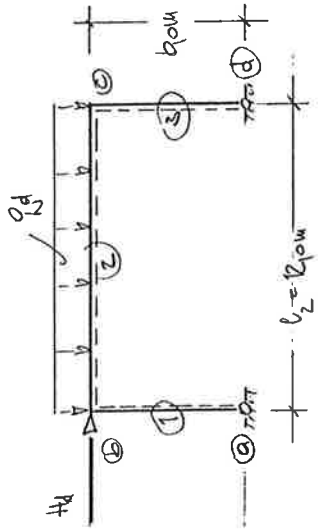


NACHWEIS BIEGEDRILLMOMENTEN

SIEHE BEISPIEL E-TH. II. ORD. - ELAST. ELAST

AS. BERSATZSTABVERFAHREN (NÄHERUNG F. TH. I. ORD.) - (ELAST. LAST)

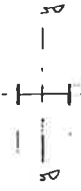
(NACH EUROCODE 3 - APRIL 1990)



$$\frac{q_d \cdot l_2}{H_d} = 5$$

IPE 400 ST 37

$$E = 21 \cdot 10^4 \text{ kN/cm}^2$$



$$N_{k1y} = \frac{\pi^2 E I_y}{\lambda_y^2 \cdot y} = 1850 \text{ kN}$$

mit $\lambda_y = 2663$ (SIEHE VOR)

$$N_{k1z} = \frac{\pi^2 E I_z}{\lambda_z^2 \cdot z} = 3040 \text{ kN}$$

$l_{kz} = 30 \text{ m}$ (SIEBEL)

$$\bar{\lambda} = \sqrt{\frac{N_{k1z}}{N_{k1y}}}$$

$$\bar{\lambda}_y = 1,047$$

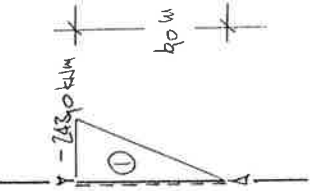
$$\bar{\lambda}_z = 0,6166$$

$\eta = 1$: KWICKSP. LINIE (a) : $\alpha = 0,21 \rightarrow k_{y1} = 0,3377 = k_{min}$

$z = z_1$: (b) : $\alpha = 0,34 \rightarrow k_{z1} = 0,7140$

1. ANNAHME

$$q_d = 150 \text{ kN/m} \rightarrow H_d = 360 \text{ kN}$$

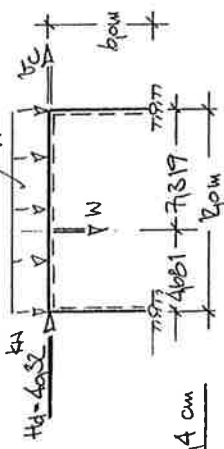


STAB (a): LF₁ LF_H

$$M_{k1} = q_d \cdot [-70 - 36 \cdot z] = -2430 \text{ kNm}$$

$$N_{k1} = q_d \cdot [-60 - 0,6 \cdot z] = -1080 \text{ kN}$$

$$\xi = 0,3701, \quad \xi = 1 - \xi$$



- Π_1 : $\Delta W = -9002255 \text{ m}$
- Π_k : $\Delta W = -905107 \text{ m}$
- Ω : $\Delta W = 907682 \text{ m}$

$$T_2 = E/C_d = \frac{1}{C_d} \cdot [\alpha_1 \cdot 14,87 \cdot (2 + 0,088976)] \cdot q = 0,0720 \text{ m} \hat{=} 7,2 \text{ cm}$$

NACHWEIS BIEGEDRILLKNICKEN

SIEHE E. TH. I. ORD. - (ELAST.-PLAST)

NACHWEIS:

$$\varphi = \alpha \rightarrow \beta_{\text{eff}} = 1,8 = \beta_{\text{eff}}$$

$$M_y = \sum_i (2 \cdot S_{iy} \cdot e_i) + \frac{M_{ik} - M_{kl}}{W_{el}} = -0,2912$$

$$k_y = 1 - \frac{M_y \cdot N_d}{k_{y1} \cdot F_{t1} \cdot N_{pld1}} = 1,025$$

$$\frac{N_d}{k_{y1} \cdot N_{pld1}} + k_y \cdot \frac{M_d}{M_{pld1}} = \frac{1,025 \cdot 24532}{0,6327 \cdot 1844} + \frac{1,025 \cdot 24532}{2854} = 0,7653 < 1,0 \checkmark$$

STATIS D:

4. BUKKODE RAT 5.2.6.2 (B)
 VERGRÖßERUNG DER "SWAY MOMENTS" IM KIEGEL UN 12

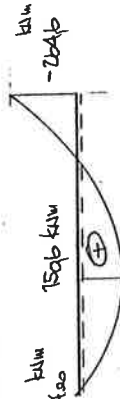
$$M_{be} = q \cdot \left[-7,0 + 12 \cdot \beta_{\text{eff}} \cdot (2) \right] = -51400 \text{ kNm}$$

$$M_{cb} = q \cdot \left[-7,0 - 12 \cdot \beta_{\text{eff}} \cdot (2) \right] = -26416 \text{ kNm}$$

$$M_2 = q \cdot \left[-1,5 - 12 \cdot \beta_{\text{eff}} \cdot (2) \right] = -4416 \text{ kNm}$$

$$\xi_{\text{II}} = \frac{1}{2} - \frac{M_{ik} - M_{kl}}{q \cdot l^2} = 0,2800$$

$$\text{max } M_F = M_{ik} + \frac{1}{2} \cdot \xi_{\text{II}} \cdot q \cdot l^2 = 15016 \text{ kNm}$$



NACHWEIS:

$$\varphi = 0,02 \quad \beta_{\text{eff}} = 1,786 \quad \beta_{\text{eff}} = 1,3 \quad M_d = 270,0 \text{ kNm} \quad \Delta M = 4152 \text{ kNm}$$

$$\beta_{\text{eff}} = 1,470 \quad M_y = -0,9122 \quad k_y = 1,034$$

$$\frac{4416}{0,6327 \cdot 1844} + \frac{1,034 \cdot 26416}{2854} = 0,99164 < 1,0 \checkmark$$

NACHWEIS GRENZE (bit)

ERFÜLLT - SIEHE FG. TH. I. OKD.

VERFORMUNGEN

$$\xi = 0,2800 \quad \xi' = 1 - \xi$$

$$\Pi_1: \Delta W = -0,001120 \text{ m}$$

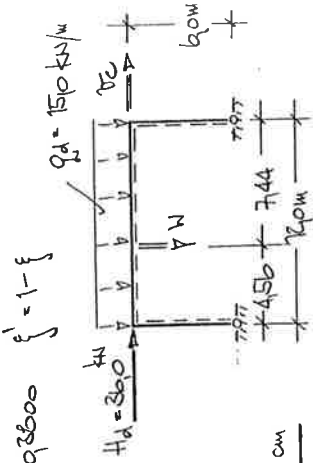
$$\Pi_2: \Delta W = -0,004676 \text{ m}$$

$$q: \Delta W = 0,005544 \text{ m}$$

$$W = 0,03756 \text{ m} \approx 3,8 \text{ cm}$$

$$f_{e, \text{rel}} / C_d = \frac{1}{C_d} \cdot q \cdot [14,89 \cdot (2 + 0,36916)] = 0,059167 \text{ m} \approx 6,0 \text{ cm}$$

ANSATZ VON $\varphi_0 = 0,003576$ (VORVERK.)

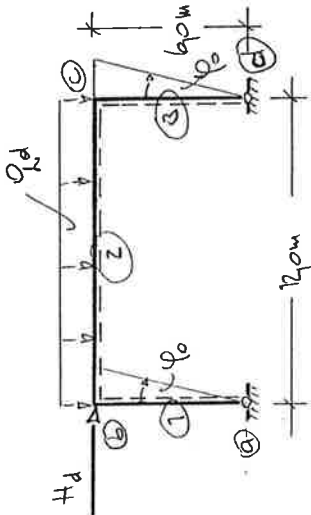


NACHWEIS NIEBERDRIFFENKREISEN:

SIEHE E-TH. II. OKD. - (EUNST.-RUSST)

3.7 ELASTIZITÄTSTHEORIE II. ORD. - (ELAST. ELAST.)

SYSTEM UND BELASTUNG



$$-\frac{Q_d \cdot l_2}{H_d} = 5$$

IFE 400
 $J = 23130 \text{ cm}^4$
 $E = 21 \cdot 10^4 \text{ kN/cm}^2$
 $\nu_n = 11$
 $q_0 = 900259 \text{ b (NORMIERDE.)}$

1. ANNAHME $q_d = 14,3 \text{ kN/m} \rightarrow H_d = 34,32 \text{ kN}$

⑤	N_s kN	ϵ_s	F_1	F_2	F_3
①	70	0,389	-	-	2987
②	40	0,8612	3983	2004	-
③	105	0,926	-	-	2983

$$\epsilon = \epsilon' \sqrt{\frac{N_s}{(EJ)_d}}$$

$C_d = 7300 \text{ kN/m}$

⑤	b/l_s	ϵ_s	λ_s	ν_s
①	1,0	2987	+	2987
②	0,5	1992	1002	-
③	1,0	2983	+	2983

SYSTEM:

LF $\bar{q}_6 = 10:$

$$q_{11} = \epsilon_1 + \epsilon_2 = 4977$$

$$q_{12} = q_{12} = \lambda_2 = 1002$$

$$q_{31} = q_{13} = -\frac{1}{l_1} \cdot \nu_1 = -0,4978$$

LF $\bar{q}_c = 10:$

$$q_{22} = \epsilon_2 + \epsilon_3 = 4975$$

$$q_{32} = q_{23} = -\frac{1}{l_3} \cdot \nu_3 = -0,4972$$

LF $\bar{q}_E = 10:$

$$q_{33} = \frac{1}{l_1} \cdot \nu_1 - \frac{N_1}{l_1 \cdot C_d} + \frac{1}{l_3} \cdot \nu_3 - \frac{N_3}{l_3 \cdot C_d} = 9169$$

LF $q_{1, H}$:

$$\bar{q}_{1c} = \bar{q}_{1E} = -0,06352 \cdot q \cdot l^2 = -1740 \text{ kN/m}$$

$$q_{10} = q_{20} = -1740 \text{ kN/m}$$

$$q_{30} = -H - q_0 \cdot (H_1 + H_3) = -34,77 \text{ kN}$$

GLEICHUNGSSYSTEM UND LÖSUNG

$$[A] \cdot \{X\} = -\{B\}$$

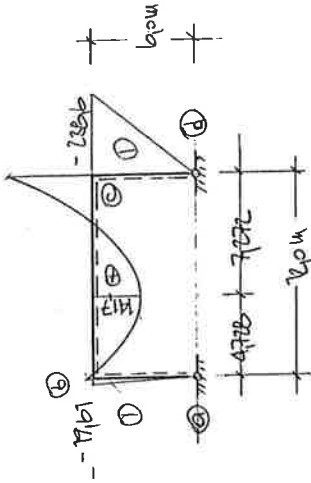
q_6	q_c	q_E	LF
4977	1002	-0,4978	1740
1002	4975	-0,4972	-1740
-0,4978	-0,4972	9169	34,77
q_6	q_c	q_E	DET(A)
79,85	-6,716	439,7	> +

$$\varphi_i = \varphi_i / C_d$$

STABENDTOMENTE

		$Q_2 = 14,3 \text{ kN/m}$	
⑤	i-k	$\Pi_{ik}^0 \text{ kNm}$	$\Pi_{ik} \text{ kNm}$
①	a	+	+
	b		-19,61
②	b	-1720	-19,67
	c	-1720	-288,6
③	c	+	-288,6
	d		+

TOMENTE [kNm]



(VERLAUF ZWISCHEN DEN
ENDTOMENTEN N. TH.I.O.R.D.)

STABENKRÄFTE

		$Q_2 = 14,3 \text{ kN/m}$	
⑤	i-k	$R_{ik}^0 \text{ kN}$	$R_{ik} \text{ kN}$
①	a	+	-4,147
②	b	85,80	67,56
	c	-85,80	-164,0
③	c	+	38,45
	d		+

ZH = +, ZV = +

STABENQUERKRÄFTE

		$Q_2 = 14,3 \text{ kN/m}$	
⑤	i-k	$Q_{ik} \text{ kN}$	$Q_{ik} \text{ kN}$
①	a	+	+
②	b	-3206	67,97
	c	-1640	-1640
③	c	38,63	*
	d		*

(* NICHT GERECHNET)

max. FELDSTRECKENSTÄBE

		$Q_2 = 14,3 \text{ kN/m}$	
		$R_{ik}^0 \text{ kN}$	$R_{ik} \text{ kN}$
	Π_0	15780	
	Π_1	31820	
	v	903830	
	ξ_0	93940	
	λ_0	478	
	max Π	1417	

NORMALKRÄFTE

		$Q_2 = 14,3 \text{ kN/m}$	
⑤	i-k	N_{ik}	$N_{ik} \text{ kN}$
①	a-b	-	-67,56
②	b-c	-	-38,45
③	c-d	-	-1640

NACHWEIS - BIEGEDRILLKNICKEN

WELT - KNOTEN (C)

$$\sigma = \frac{23860}{1100} + \frac{1040}{845} = 2180 \text{ kN/cm}^2 < \sigma_{k,d} = 2182 \text{ kN/cm}^2 \checkmark$$

WELT - KNOTEN (C)

$$\tau = \frac{1040 \cdot 654}{23130 \cdot 980} = 3419 \text{ kN/cm}^2 < \tau_{k,d} = 1460 \text{ kN/cm}^2 \checkmark$$

$$\sigma_v \leq \sigma_{k,d}$$

ERFÜLLT FÜR $\sigma_{k,d} < 0,95$ ODER $\tau / \tau_{k,d} < 0,95$

NACHWEIS GRENZE (b/t)

SIEHE TE. TH. II. ORD

VERFORMUNGEN

$$\eta_i : \Delta W = -9004141 \text{ m}$$

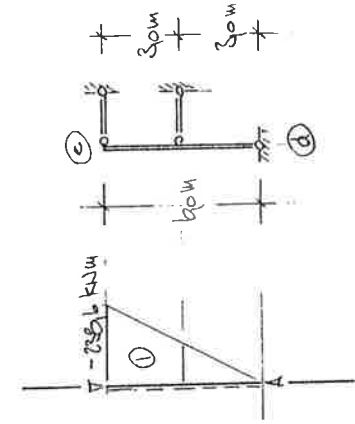
$$\eta_{kz} : \Delta W = -904379 \text{ m}$$

$$\varphi_N : \Delta W = 908368 \text{ m}$$

$$\underline{W} = 905575 \text{ m} \leq 360 \text{ cm}$$

$$\tau_c = \tau_0 / c_d = 905974 \text{ m} \leq 60 \text{ cm}$$

$$f = 0,9740, f' = 1-f$$



RAHMENSTIEL (B)

$$N = 1040 \text{ kN (DRUCK)}$$

$S_k = l = 30 \text{ m}$ (CASELLAGERUNG)

$$N_{k1,z} = \frac{\pi^2 \cdot J_z \cdot E}{l^2} = 3040 \text{ kN}$$

$$c^2 = \frac{J_{y,z} + 0,057 \cdot l \cdot J_T}{J_z} = 47016 \text{ cm}^4 \quad z_T = +$$

$$\eta_{k1,y} = \zeta \cdot N_{k1,z} \cdot \sqrt{(c^2 + 0,25 \cdot z_T^2) + 0,61 \cdot z_T} \quad \psi = 0,95 \rightarrow \lambda_1 = 1,865$$

$$\eta_{k1,y} = 91314 \text{ kNm} \quad \lambda_1 = \sqrt{\frac{N}{N_{k1,y}}} = 0,5662 \quad n = 2,5 \rightarrow k_{11} = 0,9736$$

$$\lambda_k = \sqrt{\frac{N_{k1,z}}{N_{k1,y}}} = 0,8108 \quad z-z \rightarrow (B) \rightarrow \alpha = 0,34 \quad k_{1z} = 0,7140$$

BIEGEDRILLKNICKNACHWEIS:

$$\frac{N}{k_{1z} \cdot N_{k1,y,d}} + \frac{\eta_{1,y}}{k_{11} \cdot \eta_{1,y,d}} \cdot k_y = \frac{104}{0,7140 \cdot 10400} + \frac{2386}{0,9736 \cdot 1054} \cdot 1,0 = 0,9377 < 1,0 \checkmark$$

($k_y = 1,0$)

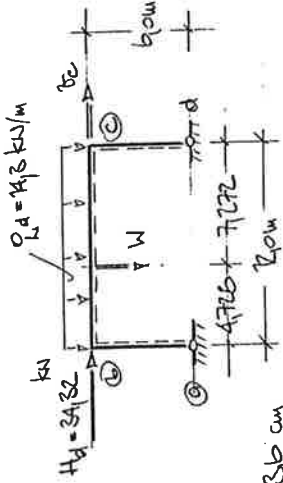
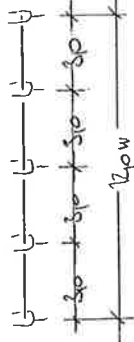
RIEGEL (D)

$$N = 30145 \text{ kN (DRUCK)}$$

$S_k = 30 \text{ m} = l$ (CASELLAGERUNG)

$$k_{1z} = 0,7140 \quad \text{WIE WEL}$$

(B) (C)



ASB ELASTIZITÄTSTHEORIE II. ORD. - (ELAST.-PLAST)

ASB ELASTIZITÄTSTHEORIE II. ORD. - (ELAST.-PLAST)

a) NACHWEIS TÜR $\Pi_y = 1417 \text{ kNm}$

$\lambda_{\text{min}}: \psi = 1.0 \rightarrow \lambda_1 = 1.0$

$z_p = -20 \text{ cm}$

$\Pi_{\text{Kry}} = 422.2 \text{ kNm} \quad \lambda_1 = 98023 \quad \psi = 1.0 \rightarrow k_1 = 0.6 \rightarrow n = 4.0$

$K_1 = 98023$

$\frac{38145}{9716 \cdot 1644} + \frac{1417}{98023 \cdot 26514} \cdot 1.0 = 0.6477 < 1.0 \quad \checkmark$

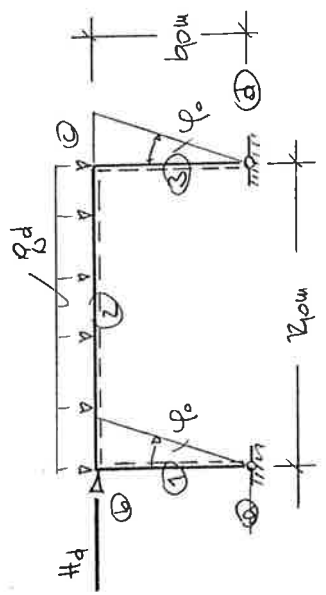
b) NACHWEIS TÜR $\Pi_y = 23816 \text{ kNm}$

$\lambda_{\text{min}}: \psi = + \rightarrow \lambda_1 = 1.77$

$z_y = 4$

$\Pi_{\text{Kry}} = 1167 \text{ kNm} \quad \lambda_1 = 95186 \quad n = 2.5 \rightarrow K_1 = 97654$

$\frac{38145}{9716 \cdot 1644} + \frac{23816}{97654 \cdot 26514} \cdot 1.0 = 0.6776 < 1.0 \quad \checkmark$



$\frac{q_d \cdot l^2}{H_d} = 5$

IPE 400
 $J = 23180 \text{ cm}^4$
 $E = 21 \cdot 10^4 \text{ kN/cm}^2$
 $\gamma_n = 1.1$
 $\varphi_0 = 0.0038976 \text{ (VORVERDR.)}$

1. ANNÄHERUNG

$q_d = 16.9 \text{ kN/m} \rightarrow H_d = 4056 \text{ kN}$

⑤	Ns	Es	F1	F2	F3
①	85	92632	-	-	2986
②	60	94038	3978	2006	-
③	25	98192	-	-	2980

$\epsilon_s = \epsilon_s \sqrt{\frac{Ns}{(EJ)_d}}$

⑤	ky/ks	Es	λs	ys
①	1.0	2986	+	2986
②	0.5	1987	1.003	-
③	1.0	2980	+	2980

$C_d = 7360 \text{ kNm}$

SYSTEM:

LF $\bar{\varphi}_b = 10$:

$a_1 = x_1 + x_2 = 4775$

$a_2 = a_2 - x_2 = 1003$

LF $\bar{\varphi}_c = 10$:

$a_2 = x_2 + x_3 = 4769$

LF $\bar{\varphi}_e = 10$:

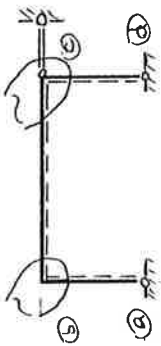
$a_3 = \frac{1}{l_1} \cdot y_1 - \frac{N_1}{l_1 \cdot C_d} + \frac{1}{l_2} \cdot y_2 - \frac{N_2}{l_2 \cdot C_d} - \frac{1}{l_3} \cdot y_3 - \frac{N_3}{l_3 \cdot C_d} = 9.166$

LF $q_1 H$:

$\Pi_{be}^0 \cdot \Pi_{eb}^0 = -0.8356 q_1 \cdot l^2 = -2034 \text{ kNm}$

$a_{10} = -q_{10} = -2034 \text{ kNm}$

$q_{20} = -H - \varphi_0(H_1 + H_2) = -41.38 \text{ kN}$



$a_{31} = a_{13} = \frac{1}{l_1} \cdot y_1 - \frac{1}{l_3} \cdot y_3 = -0.4777$

$a_{22} = a_{23} = -\frac{1}{l_2} \cdot y_2 = -0.4767$

GLEICHUNGSSYSTEM UND LÖSUNG

$[A] \cdot \{x\} = -\{b\}$

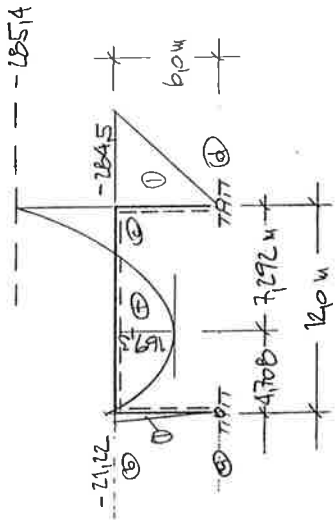
$\varphi_i = \varphi_i / C_d$

$\bar{\varphi}_b$	$\bar{\varphi}_c$	$\bar{\varphi}_e$	LF
4775	1003	-0.4777	2034
1003	4769	-0.4767	-2034
-0.4777	-0.4767	9.1610	41.38
$\bar{\varphi}_b$	$\bar{\varphi}_c$	$\bar{\varphi}_e$	DET(A)
95129	-7276	5271	> +

STABENDEGENTE

		$q_1 = 169 \text{ kN/m}$	
⑤	i-k	$\Pi_{ik}^L \text{ kNm}$	$\Pi_{ik} \text{ kNm}$
①	a	+	+
	b		-21.22
②	b	-2034	-21.17
	c	-2034	-284.5
③	c	+	-284.5
	d		+

$\Pi \text{ [kNm]}$



(VERLAUF ZWISCHEN DEN BRISSENOPOTENZIALEN NACH TH. I. ORD.)

STABENDEGRÄTTE

		$q_1 = 169 \text{ kN/m}$	
⑤	i-k	$R_{ik}^L \text{ kN}$	$R_{ik} \text{ kN}$
①	a	+	-4.866
	b	1014	79.46
②	c	-1014	-123.3
	d	+	45.43

$\sum H = + \quad \sum V = + \quad \checkmark$

STABENDRUCKKRÄFTE

	KN/M
	$q_s = 169$
⑤ i-k	R_{ik}
①	*
	-3454
②	8911
	-1233
③	4579
	*

NORMALKRÄFTE

	KN/M
	$q_s = 169$
⑤ i-k	H_{ik}
①	-7946
②	-4543
③	-1233

(N <+ DRUCK)

(* NICHT GERECHNET)

max FELDINNEN

	KN/M
	$q_s = 169$
Π_b	14930
Π_1	3070
v	004353
ξ_{Π}	03923
x_{Π}	4707
max Π	1693

STRAB ① b-c

NACHWEISE :

INTERAKTIONSGLEICHUNG :

$\frac{m_{ed}}{N_{pl,d}} < 0,16$ $\frac{m_{ed}}{R_{pl,d}} = 0,2944 < 0,33 \Rightarrow \Pi_{ed} = \Pi_{pl,d} = 2654 \text{ KN/M}$

$\Pi_{b0} = -264,5 \text{ KN/M} < \Pi_{pl,d} = -2654 \text{ KN/M} \checkmark$

NACHWEIS GRENZ (b/t)

SIEHE TB TH. I. ORD.

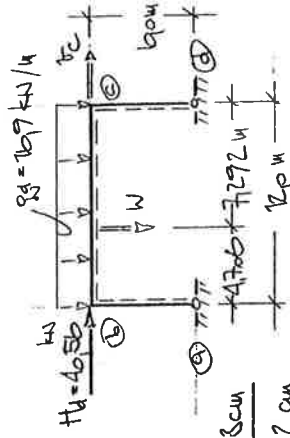
VERFORMUNGEN :

$\xi = 0,9723, \xi' = 1 - \xi$

$\Pi_i : \Delta W = -0,004462 \text{ m}$
 $\Pi_k : \Delta W = -0,05225 \text{ m}$
 $\xi : \Delta W = 0,09927 \text{ m}$

$\underline{W} = 0,04254 \text{ m} \hat{=} 4,254 \text{ cm}$
 $\underline{v} = 0,07169 \text{ m} \hat{=} 7,169 \text{ cm}$

$\underline{v} = \underline{v}_0 / C_d$



NACHWEIS BIEGEDRILLKNICKEN

RAHLENSTIEL ③:

$$N_L = 1233 \text{ kN (DRUCK)}$$

$$S_x = l = 210 \text{ m (CASSELBERGUNG)}$$

$$\frac{N_{K1E}}{A} = \frac{N_L \cdot E \cdot I_{xx}}{l^2} = 6646 \text{ kN}$$

$$C^2 = \frac{I_{xx} + 0,057 \cdot l^2 \cdot I_T}{J_{\Phi}} = 3712 \text{ cm}^2 \quad z_{\Phi} = +$$

$$\Gamma_{K1E} = \zeta \cdot N_{K1E} \cdot \left(\sqrt{C^2 + 0,25 \cdot z_{\Phi}^2} + 0,5 \cdot z_{\Phi} \right) \psi = 0,67 \rightarrow \zeta = 1,254$$

$$\Gamma_{K1E} = 1653 \text{ kNm} \quad \bar{\lambda}_n = \sqrt{\frac{\Gamma_{K1E}}{\Gamma_{K1E}}} = 0,3385 \quad k_{N1} = 0,664 \rightarrow n = 2,160$$

$$k_{N1} = 0,7875$$

$$\bar{\lambda}_E = \sqrt{\frac{N_{K1E}}{N_{K1E}}} = 0,5445 \quad \text{KONSP. LINIE ⑥} \rightarrow \alpha = 0,34 \quad k_{E2} = 0,8646$$

BIEGEDRILLKNICKNACHWEIS:

$$\frac{N}{k_{N1} \cdot N_{K1E}} = \frac{1233}{0,7875 \cdot 1644} = 0,97839 < 0,10 \Rightarrow$$

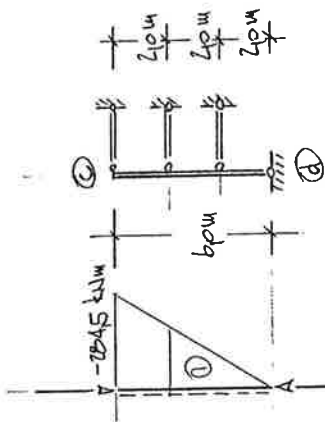
$$\frac{\Gamma}{k_{N1} \cdot \Gamma_{K1E}} = \frac{1645}{0,7875 \cdot 2854} = 1,009 > 1,0 \Rightarrow$$

ZUSÄTZLICHE KIPPHALTERUNG ERF. $l = 1,0 \text{ m}$

RIEGEL ②:

$$N_L = 45,43 \text{ kN (DRUCK)}$$

$$S_x = l = 310 \text{ m (CASSELBERGUNG)}$$



$$k_{E2} = 0,7140 \quad (\text{SIEHE TH. I. ORD. E-E})$$

a) NACHWEIS FÜR $\Gamma_{K1} = 1673 \text{ kNm}$

$$k_{N1} = 0,8025 \quad (\text{SIEHE TH. I. ORD. E-E})$$

$$\frac{45,43}{0,7140 \cdot 1644} + \frac{1673}{0,8025 \cdot 2854} \cdot 1,0 = 0,7787 < 1,0 \checkmark$$

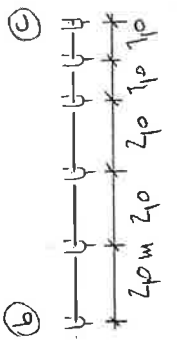
b) NACHWEIS FÜR $\Gamma_{K1} = 2645 \text{ kNm}$

$$k_{N1} = 0,9854 \quad (\text{SIEHE TH. I. ORD. E-E})$$

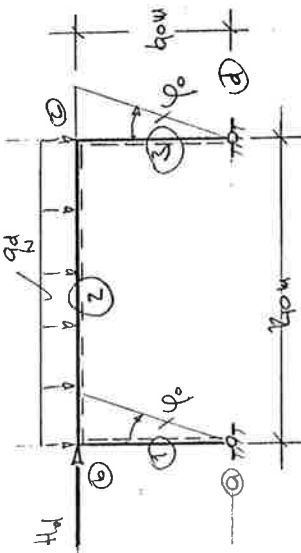
$$\frac{N}{k_{N1} \cdot N_{K1E}} = \frac{45,43}{0,7140 \cdot 1644} = 0,03451 < 0,10 : ⑥$$

$$\frac{\Gamma}{k_{N1} \cdot \Gamma_{K1E}} = \frac{2645}{0,9854 \cdot 2854} = 1,012 > 1,0 \rightarrow$$

ZUSÄTZLICHE KIPPHALTERUNG ERF. $l = 1,0 \text{ m}$



139 FLEISSGELENKTHEORIE II. ORD - (EXAKTE BERECHNUNG)



$$-\frac{q_d \cdot l_c^2}{H_d} = 5$$

IPE 400 St 57
 $J = 25130 \text{ cm}^4$
 $E = 21 \cdot 10^4 \text{ kN/cm}^2$
 $\nu = 11$
 $\varphi_0 = 0,0036976 \text{ (VORZEICHEN)}$

1. ANNÄHME $q_d = 205 \text{ kN/m} \rightarrow H_d = 4720 \text{ kN}$

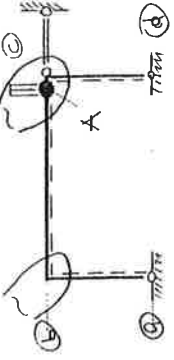
③	N_s	ϵ_s	F_1	F_2	F_B
①	75	0,2783	-	-	2,985
②	45	0,3631	3,980	2,005	-
③	155	0,3555	-	-	2,975

$$\epsilon_s = \frac{1}{3} \sqrt{\frac{N_s}{(EA)l}}$$

⑤	φ/l_c	ϵ_s	λ_s	ν_s
①	10	2,985	+	2,985
②	95	1,970	1,003	-
③	10	2,975	+	2,975

$$C_d = 7360 \text{ kNm}$$

SYSTEM MIT FG A IN ②:



LF $\bar{\varphi}_0 = 10$:
 $q_{11} = \epsilon_1 + \epsilon_2 = 4,975$ $q_{21} = q_{12} = \lambda_2 = 1,003$
 $q_{31} = q_{32} = -\frac{1}{l_1} \cdot \nu_1 = -0,9775$ $q_{41} = q_{42} = -\lambda_2 = -1,003$

LF $\bar{\varphi}_0 = 10$:
 $q_{12} = \epsilon_2 + \epsilon_3 = 4,965$ $q_{22} = q_{23} = -\frac{1}{l_2} \cdot \nu_2 = -0,9758$
 $q_{42} = q_{44} = -\epsilon_2 = -1,970$

LF $\bar{\varphi}_0 = 10$:
 $q_{33} = \frac{1}{l_1} \cdot \nu_1 - \frac{N_1}{l_1 \cdot C_d} + \frac{1}{l_2} \cdot \nu_2 - \frac{N_2}{l_2 \cdot C_d} = 0,1599$ $q_{43} = q_{44} = +$

LF $\bar{S}_A = 10$:
 $q_{44} = \epsilon_2 = 1,970$

LF $\bar{q}_1 + 1$:
 $\Pi_{10} = \Pi \bar{\epsilon}_0 = -0,8354 \cdot \varphi_0 \cdot l^2 = -2496 \text{ kNm}$ $q_{10} = -q_{20} = \Pi_{10}$
 $q_{30} = -H - \varphi_0 \cdot (N_1 + N_2) = -5017 \text{ kN}$
 $q_{40} = \Pi_{10} = -2496 \text{ kNm}$ $\Pi_A = \Pi_{q_1 c} = -2804 \text{ kNm (ANNÄHME)}$

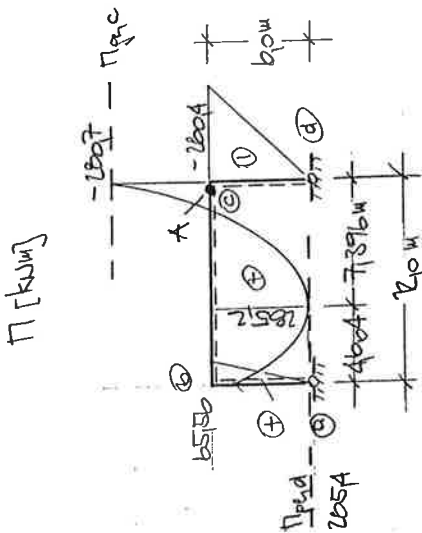
φ_0	$\bar{\varphi}_0$	$\bar{\epsilon}_0$	\bar{S}_A	LF
4,975	1,003	-0,9775	-1,003	2496
1,003	4,965	-0,9758	-1,970	-2496
-0,9775	-0,9758	0,1599	+	5017
-1,003	-1,970	+	1,970	-33,80
φ_0	$\bar{\varphi}_0$	$\bar{\epsilon}_0$	\bar{S}_A	DET(A)
178,8	1264	1324	209,6	7 +

$$[A] \cdot \{x\} = -\{S\}$$

$$= -2804 + 2496$$

STABENSTANTENTE :

		$q_n = 29,5 \text{ kN/m}$	
⑤	i-k	Π_{ik}^+ kN/m	Π_{ik}^- kN/m
①	a	+	+
②	b	-246,6	65,37
③	c	-246,6	-260,4
	d	+	+



(VERLAUF ZWISCHEN DEN STAB-
ENDPUNKTEN N. TH. I. O.F.D.)

STABELDKRÄFTE :

		$q_n = 29,5 \text{ kN/m}$	
⑤	i-k	R_{ik}^+ kN	R_{ik}^- kN
①	a	+	7,677
②	b	1230	94,17
③	c	-1230	-151,6
	d	+	41,46

ZH = +, ZV = +

STABELNÜBERKRÄFTE

		$q_n = 29,5$	
⑤	i-k	Q_{ik}^+ kN	Q_{ik}^- kN
①	a	*	*
②	b	1924	95,39
③	c	-151,0	44,75
	d	*	*

(* NICHT GERECHNET)

MAXFELDNOTENT

		$q_n = 29,5$	
		Π_0	Π_1
	V	904459	93837
	X_0	4604	4604
	max Π	28512	

STAB ② b-c

NORMALKRÄFTE

		$q_n = 29,5$	
⑤	i-k	N_{ik}^+ kN	N_{ik}^- kN
①	a-b	-94,17	-94,17
②	b-c	-41,46	-41,46
③	c-d	-151,6	-151,6

(N < + DRUCK)

NACHWEISE :

- INTERAKTIONSBEZIEHUNG :

$$\frac{m_{ed} N}{N_{pl,ed}} < 0,10 : \alpha_{Red} = \alpha_{co} - N_s \cdot \bar{\sigma} / C_d = -152,3 \text{ kN}$$

$$\frac{m_{ed} Q}{Q_{pl,ed}} = 0,3637 > 0,33 \rightarrow \eta_{Red} = \eta_A = 2807 \text{ kNm} (\hat{=} 2804 - \text{ANNAHME})$$

$$m_{ed} \eta_{Red} = 2807 \text{ kNm} \hat{=} \eta_{pl,ed} = 28514 \text{ kNm} (Q = \phi!)$$

$$\Rightarrow Q_d = Q_{TRACHTER} = 205 \text{ kN/m} \rightarrow H_d = 4720 \text{ kN}$$

- NACHWEIS GRENZE (b/t)

(U DAIN 18200 T1, TAB 18 S. 27)

FÜR $\eta = 2807 \text{ kNm}$ UND $N = 15510 \text{ kN}$

IPE 400 : (FÜR DAS GESAMTE SYSTEM)

STEG : $t = 986 \text{ cm}, b = h - 2 \cdot (t_f + r) = 38,10 \text{ cm}$

$$b \cdot h - b/2 + a = \frac{N}{2 \cdot f_{y,d} \cdot t} = 375 \text{ cm} \rightarrow \alpha = 9,61$$

$$\text{VORH. (b/t)} = 38,19 < \text{GRENZE (b/t)} = \frac{32}{\alpha} \cdot \sqrt{\frac{240}{f_{yk}}} = 52,46 \checkmark$$

FLANSCH :

$$t = 135, b = (b - t_s - 2 \cdot r) \cdot \frac{1}{2} = 647 \text{ cm}$$

$$\text{VORH (b/t)} = 477,3 < \text{GRENZE (b/t)} = \frac{9}{\lambda} \cdot \sqrt{\frac{240}{f_{yk}}} = 9 \checkmark$$

NACHWEIS FÜR QS. MIT TG BRACHT, SEN. AUCH FÜR ALLE ÜBRIGEN QS. (IPE 400), DA GRENZE (b/t) FÜR QS. OHNE TG GÜNSTIGER.

- NACHWEIS VON α_{pe}

$$\text{VORH. } \alpha_{pe} = 1,126 < \text{GRENZE } \alpha_{pe} = 1,25 \checkmark$$

VERFORMUNGEN

$$\xi = 0,3637, \xi' = 1 - \xi$$

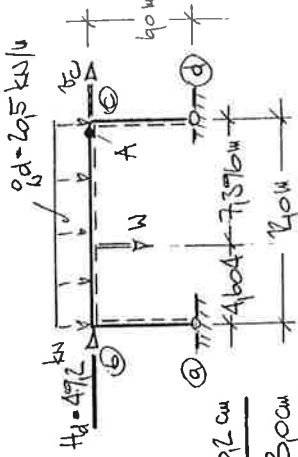
$$\eta_f : \Delta W = 0,1382 \text{ m}$$

$$\eta_k : \Delta W = -0,05009 \text{ m}$$

$$\eta_{2d} : \Delta W = 0,1191 \text{ m}$$

$$N = 90823 \text{ m} \hat{=} 82 \text{ cm}$$

$$\sigma_c = \sqrt{E} / C_d = 0,1799 \text{ m} \hat{=} 1800 \text{ cm}$$



NACHWEIS BIEGEDRILLNICKEN :

RAHMENSTIEL ③ :

$$N = 15118 \text{ kN (DRUCK)}$$

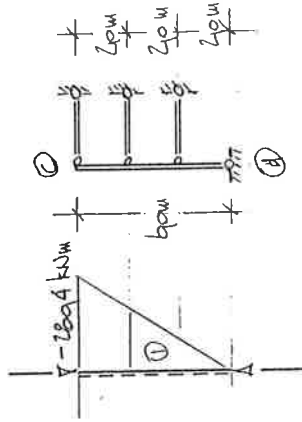
$$S_x - I_x = 240 \text{ (GASBELAGUNG)}$$

$$k_2 = 0,8640, k_{\eta} = 0,7875$$

(SIEHE TR. II. ORD. ELAST.-PLAST)

BIEGEDRILLNICKNACHWEIS :

$$\frac{N}{k_2 \cdot H_{pl,d}} = 0,9530 < 0,6 : \frac{\eta}{k_{\eta} \cdot \eta_{pl,d}} = \frac{2807}{0,7875 \cdot 28514} = 0,9949 < 1,0 \checkmark$$

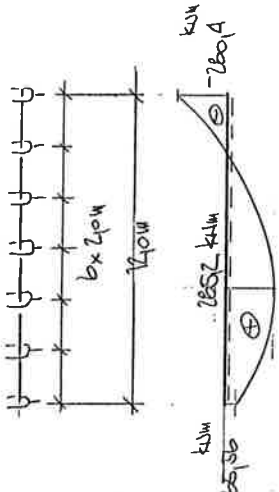


RIEDEL

$N = 41148 \text{ kN}$ (DRUCK)

$S_k = l = 210 \text{ m}$ (CABELLAGERUNG)

$k_z = 0,6646$



a) NACHWEIS FÜR $\Pi_y = 2652 \text{ kNm}$

ANN.: $\psi = 10 \rightarrow \lambda_1 = 10$

$\bar{z}_1 = -290 \text{ cm}, c^2 = 4154 \text{ cm}^2$

$\Pi_{k1,y} = 885,6 \text{ kNm}, \lambda_{11} = 0,6011, k_N = 9,8 \rightarrow u = 2,0, k_{11} = 0,91405$

$k_{11} = 6646 \text{ kN}$

BIEGEDRILLKnicknachweis:

$\frac{N}{k_z \cdot N_{pl,d}} = 0,2604 < 0,6$

$\frac{\Pi}{k_{11} \cdot \Pi_{pl,d}} = \frac{2654}{0,91405 \cdot 2654} = 1,063 > 1,0$! \Rightarrow ZUSÄTZL. KIPPH.

$l = 1,0 \text{ m (S.O.S.E.S.)}$

b) NACHWEIS FÜR $\Pi_y = 2694 \text{ kNm}$

ANN.: $\psi = + \rightarrow \lambda_1 = 177$

$\bar{z}_1 = +, c^2 = 4154$

$\Pi_{k1,y} = 2468 \text{ kNm}, \lambda_{11} = 0,3566 \rightarrow k_{11} = 1,0$

BIEGEDRILLKnicknachweis:

$\frac{N}{k_z \cdot N_{pl,d}} = 0,2604 < 0,6$

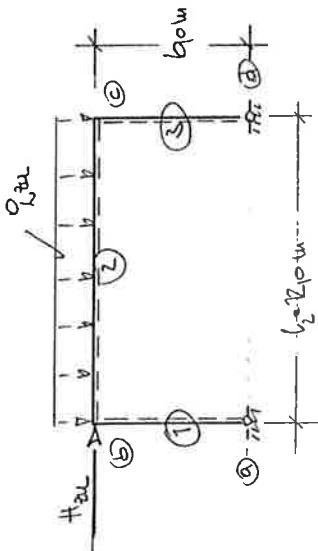
$\frac{\Pi}{k_{11} \cdot \Pi_{pl,d}} = \frac{2694}{1,0 \cdot 2654} = 0,9825 < 1,0$ ✓

A3.1b GEBIRGCHSTAHLICKEIT

GELENKIGE STELLAGERUNG

IPE 400 St 37
 $J = 23130 \text{ cm}^4$
 $E = 21 \cdot 10^4 \text{ kN/cm}^2$

$-\frac{0,1 \cdot l_0}{H_d} = 5$



ANNAHME: KEIN AUSSATZ VON VORVERFÖRMUNGEN

TEILSICHERHEITSBEIWERTE: $\psi_F = 10, \psi = 10$ (ANNAHME)

$\psi_H = 10$

zul, H zul:

STÄNDIGE EINW. $\psi_F = 135$

VERÄNDER. $\psi_F = 150$

$\psi = 9,9 \rightarrow \psi_F \cdot \psi = 135$

$q_{Ed} = \psi_F \cdot g + \psi_F \cdot \psi \cdot p = 135 \cdot 0,8$

II. TH. I. ORD.

$q_{Ed} \text{ kN/m}$	-	14,16	17,5
q_{zul}	1,0	14,16	12,96
Π_b	-180	-1746	-2333
Π_c	-1620	-1751	-2190
f_{11}	-	94000	94000
max Π	-	165,1	126,0
$\bar{\Pi}_E$	2676	311,1	373,0

	$\Delta N \text{ [m]}$
q_{zul}	14,16
Π_b	-9003672
Π_c	-902707
q_{11}	905722
N	902446
σ_E	903843

$C = 8096 \text{ kNm}$

n. TH. II ORD. - N-VERFAHREN

Knoten	N = 1076	
	u	v
1	14,2	16,6
2	10	12,44
3	-1332	-1238
4	-167	-2085
5	-	9372
6	-	12,4
7	3665	3102

C = 8096 kN/m

ΔW [m]	
q ₁	1052
q ₂	-9002654
q ₃	-9002916
q ₄	-9002882
q ₅	905532
q ₆	902385
q ₇	9008982

$\epsilon = 2 \cdot \sqrt{\frac{N}{E}}$

n. TH. I. ORDNUNG (EXAKT)

q_d = 14,3 kN/m → q_{zul} = 10,9 kN/m

⊙	N _s	b ₁ /b _s	ε _s	F ₁	F ₂	F ₃	ε _s	λ _s	γ _s	γ _s
①	55	10	0,209	-	-	2992	2992	+	2992	-
②	30	0,5	0,2782	3986	2003	-	1994	1002	+	2988
③	80	10	0,2435	-	-	2988	2988	+	2988	-

φ ₀	φ _c	φ _e	LF
4986	1002	-04987	1273
1002	4982	-04980	-1273
-04987	-04980	01633	2542
φ ₀	φ _c	φ _e	
5033	-51635	3166	

[A] · {x} = -{B}

φ_i = φ_i/C

C = $\frac{EJ}{l}$ = 8096 kN/m

q_d = 16,9 kN/m → q_{zul} = 15,2 kN/m

⊙	N _s	b ₁ /b _s	ε _s	F ₁	F ₂	F ₃	ε _s	λ _s	γ _s
①	65	10	0,2195	-	-	2990	2990	+	2990
②	35	0,5	0,3221	3986	2004	-	1993	1002	-
③	95	10	0,2653	-	-	2986	2986	+	2986

[A] · {x} = -{B}

φ ₀	φ _c	φ _e	LF
4983	1002	-04983	1505
1002	4979	-04977	-1505
-04983	-04977	01627	3005
φ ₀	φ _c	φ _e	
6918	-6493	3767	

q_d = 20,5 kN/m → q_{zul} = 15,17 kN/m

⊙	N _s	b ₁ /b _s	ε _s	F ₁	F ₂	F ₃	ε _s	λ _s	γ _s
①	75	10	0,2380	-	-	2989	2989	+	2989
②	45	0,5	0,3852	3982	2005	-	1991	1003	-
③	110	10	0,2655	-	-	2984	2984	+	2984

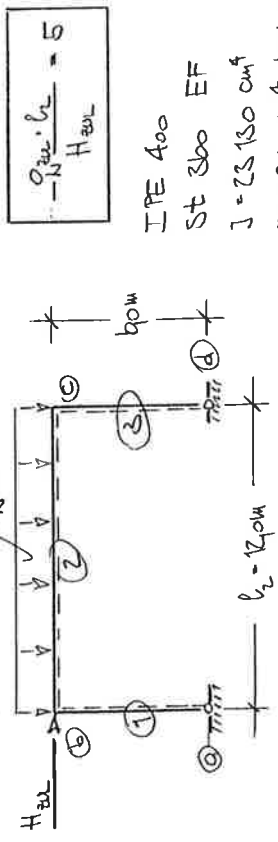
φ ₀	φ _c	φ _e	LF
4980	1003	-04982	1827
1003	4975	-04973	-1827
-04982	-04973	01621	3646
φ ₀	φ _c	φ _e	
8429	-7199	4604	

[A] · {x} = -{B}

A3: BERECHNUNG NACH Ö-NORM S4000 - (GELENKIGE STELL.)

	Δw [m]		
q_{zul}	1057	1252	1519
Π_b	-0003184	-0003663	-0004337
Π_c	-000910	-003453	-004213
q	005637	006071	006112
w	002409	002652	003465
v_e	003911	004653	005687

q_{zul}	1057	1252	1519
Π_b	-1665	-1713	-2259
Π_c	-1745	-2069	-2519
Π_0	1750	17380	16400
Π_1	3490	34990	33080
v	903081	903347	903617
f_{II}	93967	93961	93955
$max \Pi_F$	1032	1248	1520



$I_{PE} 400$
 $St 380 EF$
 $J = 23130 \text{ cm}^4$
 $E = 21 \cdot 10^4 \text{ kN/cm}^2$

1. ANNAHME:

$q_{zul} = 1179 \text{ kN/m} \rightarrow H_{zul} = 2830 \text{ kN}$

$max \Pi = \Pi_{cd} = q \cdot [-9.0 - 3.0 \cdot (2.0)] = -171.0 \text{ kNm}$
 $\Pi_{bc} = q \cdot [-9.0 + 3.0 \cdot (2.0)] = -21.22 \text{ kNm}$
 $max R = R_{db} = q \cdot [-6.0 - 0.0 \cdot (2.0)] = -84.89 \text{ kN}$
 $N_{cd} =$
 $N_{bc} = q \cdot [-15.0 - 0.0 \cdot (2.0)] = -31.63 \text{ kN}$

ORT UND GRÖSSE VON $max \Pi_F$ - STAB 2

$f_{II} = \frac{1}{2} - \frac{\Pi_{bc} - \Pi_{cd}}{0.0 \cdot l_2} = 9400 \quad x_{II} = 4800 \text{ m}$
 $max \Pi_F = \Pi_{II} + \frac{1}{2} \cdot q \cdot l_2 \cdot l_2 = 114.6 \text{ kNm}$

NACHWEISE:

ALLG. SPANNUNGSNACHWEIS:

$max \sigma: \frac{N}{A} + \frac{\Pi}{107.110} = \frac{84.89}{84.5} + \frac{17100}{107.1100} = 16.89 \text{ kN/cm}^2 < \sigma_{zul} = 16.5 \text{ kN/cm}^2$

$max \tau: \tau = \frac{R \cdot S}{J \cdot t} = \frac{84.89 \cdot 654}{23130 \cdot 9.86} = 2.77 \text{ kN/cm}^2 < \tau_{zul} = 10.0 \text{ kN/cm}^2$

$\Pi_{bc} = f_{jd} \cdot w_{cd} = 24.0 / 1.0 \cdot 1160 = 2764 \text{ kNm} \rightarrow$
 \rightarrow REIN ELAST. VERHALTEN DER SYSTEME

VERGLEICHSSPANNUNG:

$$\sigma = 17,47 \text{ kN/cm}^2 \quad \bar{\sigma} = \frac{31,83 \cdot 409,2}{23130 \cdot 0,86} = 975,14 \text{ kN/cm}^2$$

$$\sigma_{II} = 17,52 \text{ kN/cm}^2 < \sigma_p = 17,0 \text{ kN/cm}^2 \quad \checkmark$$

KNICKNACHWEIS:

(VERSCHIEBL. SYSTEM, DOPPELST. OS)

STIEL ③:

KN - IN DER POTENTENEBENE

$$\lambda_3 = 4083 \text{ (SIEHE VORHER)} \quad \sigma_k = 4083 \cdot 600 = 2449800 \text{ N} \quad i_y = 165 \text{ cm}$$

$$\lambda_y = 9716 \rightarrow \sigma_{k,zul} = 984 \text{ kN/cm}^2$$

$$\frac{\sigma_{zul}}{\sigma_k} \cdot \frac{N}{A} + 0,9 \cdot \frac{\Pi}{N} = \frac{165}{984} \cdot \frac{2449800}{23130} + 0,9 \cdot \frac{19100}{1160} = 1650 \text{ kN/cm}^2$$

$$\sigma_{vorh} = 165 \text{ kN/cm}^2 = \sigma_{zul} \quad \checkmark$$

KN - L ZUR POTENTENEBENE:

$$\sigma_k = 310 \text{ N (SIEHE 3DKN)} \quad i_z = 375 \text{ cm}$$

$$\lambda_z = 7595 \rightarrow \sigma_{k,zul} = 121 \text{ kN/cm}^2$$

$$\sigma_{k,vorh} = \frac{24,89}{24,5} = 1005 \text{ kN/cm}^2 < \sigma_{k,zul} = 121 \text{ kN/cm}^2 \quad \checkmark$$

REGEL ②:

KN - IN DER POTENTENEBENE:

λ_2 AUS HKI-SYSTEM $\rightarrow \lambda_{yk} = \lambda_{ys}$ UND MIT $N_{REGEL} < N_{STIEL}$

NACHWEIS ERKRACHT (SIEHE STIEL)

KN - L ZUR POTENTENEBENE:

$$\sigma_k = 310 \text{ N} \quad i_z = 375 \text{ cm} \quad \lambda_z = 7595 \rightarrow \sigma_{k,zul} = 121 \text{ kN/cm}^2$$

$$\sigma_{k,vorh} = \frac{31,83}{24,5} = 1297 \text{ kN/cm}^2 < \sigma_{k,zul} \quad \checkmark$$

BIEGEDRILLKNICKEN

$b < l_1 \rightarrow$ VEREINFACHTER NACHWEIS DURCH KWICKNACHWEIS DES KURTES $i_z = 5176 \text{ cm}$

STIEL ③:

$$N = 8489 \text{ kN (DRUCK)}$$

OS FÜR $\Pi_1 = -1710 \text{ kNm}$

$$b = 10 \text{ m} \quad \rho_0/\rho_1 = 0,844 \rightarrow \beta = 0,9763$$

$$\lambda_z = 1653 \rightarrow \sigma_{k,zul} = 165 \text{ kN/cm}^2$$

$$\sigma_{k,vorh} = \frac{84,89}{24,5} + \frac{19100}{107,1160} = 1637 \text{ kN/cm}^2 < \sigma_{k,zul} = 165 \text{ kN/cm}^2 \quad \checkmark$$

b) FÜR $\Pi_1 = -157,2 \text{ kNm}$

$$b = 20 \text{ m} \quad \rho_0/\rho_1 = 0,365 \rightarrow \sigma_{k,zul} = 1465 \text{ kN/cm}^2$$

$$\sigma_{k,vorh} = \frac{24,89}{24,5} + \frac{15720}{107,1160} = 1363 \text{ kN/cm}^2 < \sigma_{k,zul} \quad \checkmark$$

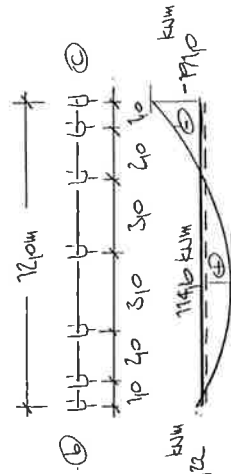
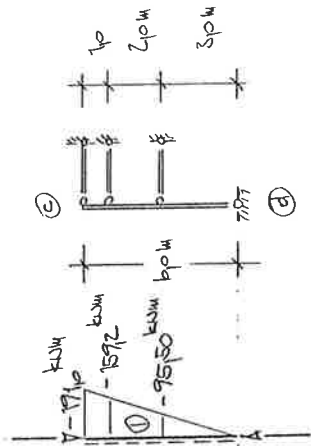
REGEL ②:

$$N = 3183 \text{ kN (DRUCK)}$$

OS FÜR $\Pi_1 = -1710 \text{ kNm}$

$$b = 10 \text{ m} \quad \rho_0/\rho_1 = 0,6 \quad \beta = 0,952 \rightarrow 21,2$$

$$\lambda_z = 1632 \rightarrow \sigma_{k,zul} = 165 \text{ kN/cm}^2$$



AA. BEISPIEL 4

A 4.1 ELASTIZITÄTSTHEORIE I. ORD.

$$\sigma_{k, \text{vorh}} = \frac{3183}{845} + \frac{19100}{107 \cdot 1160} = 1577 \text{ kN/cm}^2 < \sigma_{k, \text{zul}} = 165 \checkmark$$

b₃ FÜR $\Pi_y = 114,6 \text{ kN/m}$

$$l = 3,0 \text{ m} \cdot \lambda_k - \lambda_z = 5774 \rightarrow \sigma_{k, \text{zul}} = 15162 \text{ kN/cm}^2$$

$$\sigma_{k, \text{vorh}} = \frac{3183}{845} + \frac{11460}{107 \cdot 1160} = 9166 \text{ kN/cm}^2 < \sigma_{k, \text{zul}} = 15162 \text{ kN/cm}^2 \checkmark$$

NACHWEIS GRENZE (b/t)

BRITTLIG STEHE BEISPIEL

VERFORMUNGEN

$$\Pi_1: \Delta W = -9004026 \text{ m}$$

$$\Pi_2: \Delta W = -903771 \text{ m}$$

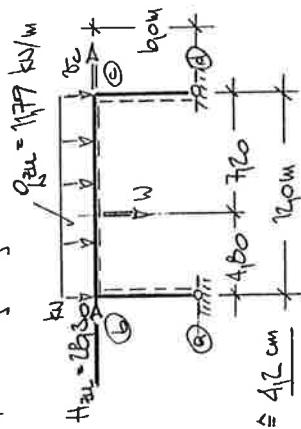
$$\Pi_3: \Delta W = 906241 \text{ m}$$

$$W = 902667 \text{ m} \hat{=} 2,7 \text{ cm}$$

$$v_2 = \frac{\sigma_2}{E} \cdot C = \frac{1}{E} \cdot [1439 \cdot (40)] \cdot q = 904171 \text{ m} \hat{=} 4,2 \text{ cm}$$

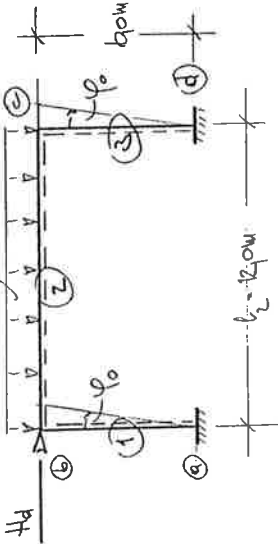
$$C = \frac{EJ}{b_1} = 8076 \text{ kNm}$$

$$\xi = 0,4000 \quad \xi = 1 - \xi$$



$$\frac{q_d \cdot l}{H_d} = 5$$

IPE 400 ST 37
 $J = 23 \cdot 130 \text{ cm}^4$
 $E = 21 \cdot 10^4 \text{ kN/cm}^2$
 $\nu_H = 11$



ZULÄSSIG FÜR:

$$\frac{N_{k,d}}{H_d} \geq 10$$

$$A_1 = 129 \text{ (SIEHE VORHER)}$$

$$\frac{7225}{q_d \cdot b_{d5}} \geq 10$$

$$N_{k,d} = \frac{\Pi \cdot (EJ)_d}{\beta_1 \cdot b_1} = 7225 \text{ kN}$$

$$N_d = q_d \cdot [b_0 + 2 \cdot 0,225] = q_d \cdot b_{d5}$$

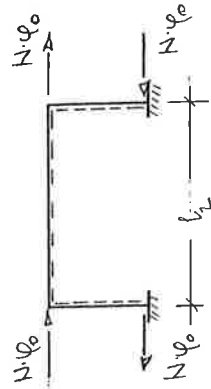
ZULÄSSIG

$$\Rightarrow q_d \leq 112,8 \text{ kN/m}$$

VORVERSEHUNG φ_0 :

$$\varphi_0 = 9001748 \text{ (SIEHE VORHER)}$$

SCHNITTGR. INF. LF φ_0 :



ENTSPRICHT LF H:

$$\Pi H: H = (q_d \cdot l) \cdot \varphi_0 = q_d \cdot (l \cdot \varphi_0)$$

$$\Pi N: N_{bc} = +$$

$$A_{dH} = A_{dH} = +$$

FLIESSGRENZKTR. I. ORD. ZULÄSSIG:

$$\frac{\sigma}{1 + \frac{2s \cdot \sigma_s}{\sigma_e \cdot \sigma_s}} \cdot \frac{(E\sigma)_d}{N \cdot \sigma_s^2} \geq 10$$

$\sigma = b \dots$ EINWESP. STIELE
 $N \dots$ Z DER VERT. LASTEN

$$\frac{b}{1 + \frac{2s}{\sigma_s}} \cdot \frac{21 \cdot 23130}{N \cdot b^2 \cdot 11} \geq 10 \Rightarrow N \leq 245,3 \text{ kN mit } N = 0,2 \cdot Q_d$$

ZULÄSSIG FÜR $Q_d \leq 24,44 \text{ kN/m}$

A4.2 ELASTIZITÄTSTH. I. ORD. - (ELAST.-ELAST)

1. ANNAHME:

$$Q_d = 17,1 \text{ kN/m} \rightarrow H_d = 45,84 \text{ kN}$$

$$\begin{aligned} \max \Pi &= \Pi_c = Q_c \cdot \int_{-l}^l q \cdot [-9100 - 1350 \cdot (20 + 0,01746)] = -235,4 \text{ kNm} \\ \Pi_c &= Q_c \cdot \int_{-l}^l [-9100 + 1350 \cdot (20 + 0,01746)] = -131,3 \text{ kNm} \\ \max Q &= Q_{Ed} = Q_c \cdot \int_{-l}^l [-60 - 0,225 \cdot (20 + 0,01746)] = -123,3 \text{ kN} \\ \max N &= N_{Ed} = -123,3 \text{ kN} \end{aligned}$$

NACHWEISE:

$$\begin{aligned} \max \sigma &: \sigma = \frac{23540}{1160} + \frac{123,3}{24,5} = 2175 \text{ kN/cm}^2 < \sigma_{R,d} = 2162 \text{ kN/cm}^2 \checkmark \\ \max \tau &: \tau = \frac{123,3 \cdot 654}{23130 \cdot 0,86} = 4054 \text{ kN/cm}^2 < \tau_{R,d} = 2600 \text{ kN/cm}^2 \checkmark \end{aligned}$$

$Q_d \leq Q_{Ed}$: GILT ALS BEFÜLLT, WEIL $\sigma / \sigma_{R,d} < 0,95$ ODER $\tau / \tau_{R,d} < 0,95 \checkmark$

GRENZE (b/k) BEFÜLLT:

SIEHE FR. TH. I. ORD.

ORT UND GRÖSSE VON $\max \Pi_F$ STAB \odot

$$\xi_{II} = \frac{1}{2} - \frac{\Pi_{IIc} - \Pi_{IIe}}{Q_c \cdot l} = 0,4622 \quad (K_{II} = 5,546 \text{ m})$$

$$\max \Pi_F = \Pi_{IIc} + \frac{1}{2} \int_{-l}^l q \cdot \xi^2 = 162,5 \text{ kNm}$$

A4.3 ELAST. TH. I. ORD. - (ELAST.-LAST)

1. ANNAHME

$q_d = 24.8 \text{ kN/m} \rightarrow H_d = 547.2 \text{ kN}$

max $\Pi = \Pi_{00} = -281.0 \text{ kNm}$ FORTIEL STEHE VOR
 $\Pi_{0c} = -150.7 \text{ kNm}$ $\Pi_c = \Pi_c^e \cdot q_s^e / q_s^e$
 max $Q = Q_{00} = -147.2 \text{ kN}$
 max $N = N_{00} = -147.2 \text{ kN}$

ORT UND GRÖSSE VON max Π_c - STAB ②

$\xi \Pi = \frac{1}{2} - \frac{\Pi_{0c} - \Pi_{00}}{q_s \cdot l} = 0.4622 \quad (x_1 = 5.546 \text{ m})$

max $\Pi_c = 174.0 \text{ kNm}$

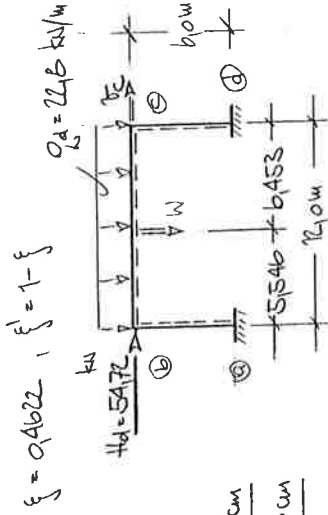
NACHWEIS DER INTERAKTION:

$\frac{\text{max } N}{N_{pl,Rd}} < 0.10$: $\frac{\text{max } Q}{Q_{pl,Rd}} = 0.3515 > 0.33 \rightarrow \Pi_{pl,c} = 282.1 \text{ kNm}$
 $\Pi_{00} = -281.0 \text{ kNm} < \Pi_{pl,c} = -282.1 \text{ kNm} \checkmark$

NACHWEIS GRENZ (b/t) SIEHE TC. TH. II. ORD.

VERFORMUNGEN:

Π_i : $\Delta W = -0.03250 \text{ m}$
 Π_k : $\Delta W = -0.05551 \text{ m}$
 q_s : $\Delta W = 0.1385 \text{ m}$
 Π_c : $\Delta W = 0.05043 \text{ m} \hat{=} 5.0 \text{ cm}$
 Π_e : $\Delta W = 0.01971 \text{ m} \hat{=} 2.0 \text{ cm}$



NACHWEIS BIEGEDRILLMOMENTEN

SIEHE E-TH. II. ORD. (ELAST.-LAST.)

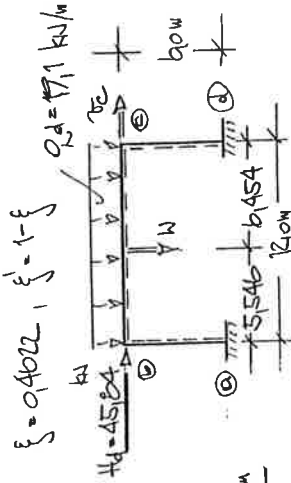
VERFORMUNGEN

Π_i : $\Delta W = -0.0325 \text{ m}$
 Π_k : $\Delta W = -0.04650 \text{ m}$
 q_s : $\Delta W = 0.1160 \text{ m}$
 Π_c : $\Delta W = 0.0422 \text{ m} \hat{=} 4.2 \text{ cm}$

$\Pi_c = \frac{E_c}{C_d} \cdot \frac{1}{C_a} [3150 \cdot (2.0 + 0.0748) \cdot q_s = 0.01651 \text{ m} \hat{=} 1.7 \text{ cm}]$

NACHWEIS BIEGEDRILLMOMENTEN:

SIEHE TH. II. ORD. (ELAST.-ELAST.)



A 4.4 K - VERFAHREN (NÄHERUNG FÜR E.T.H. I. ORD.) - (ELAST. - ELAST.)

ZULÄSSIG FÜR: $\gamma_{Ed} = \frac{N_{Ed}}{N_d} > 4 \Rightarrow \alpha = \frac{1}{1 - \frac{N_d}{N_{Ed}}}$

VORVERDREHUNG φ_0 :

$\varphi_0 = 9002596$ (VERF. E.E.)

1. ANNÄHME

$q_d = 170 \text{ kN/m} \rightarrow H_d = 4560 \text{ kN}$

$\gamma_{Ed} = \frac{N_{Ed}}{N_d} = \frac{7275}{94 \cdot 645} = 59,30 > 4 \Rightarrow \alpha = 1,017$

$\max \Pi = \Pi_{ab} = q_d \cdot [-9,60 - \alpha \cdot 1,350 \cdot (2,0 + 0,2596)] = -255,2 \text{ kNm}$
 $\Pi_{bc} = q_d \cdot [-9,60 + \alpha \cdot 1,350 \cdot (2,0 + 0,2596)] = -130,9 \text{ kNm}$
 $\max Q = Q_{ab} = q_d \cdot [-6,0 - \alpha \cdot 0,2250 \cdot (2,0 + 0,2596)] = -124,8 \text{ kN}$
 $\max N = N_{bc} = -124,8 \text{ kN}$

ORT UND GRÖSSE VON $\max \Pi_F$ - STAB ②

$\xi_{\Pi} = \frac{1}{2} - \frac{\Pi_{bc} - \Pi_{ab}}{q_d \cdot l} = 9,4616 \quad (x_{\Pi} = 5,537 \text{ m})$

$\max \Pi_F = \Pi_{bc} + \frac{1}{2} \cdot \xi_{\Pi}^2 \cdot q_d \cdot l = 167,5 \text{ kNm}$

NACHWEISE:

$\max \sigma: \sigma = \frac{25520}{1160} + \frac{1248}{854} = 2171 \text{ kN/cm}^2 < \sigma_{Rd} = 21,62 \text{ kN/cm}^2 \checkmark$

$\max \tau: \tau = \frac{1248 \cdot 654}{2320 \cdot 980} = 4087 \text{ kN/cm}^2 < \tau_{Rd} = 4,60 \text{ kN/cm}^2 \checkmark$

$\sigma_{11} \leq \sigma_{Rd}$: ERFÜLLT, FÜR $\sigma / \sigma_{Rd} < 0,5$ ODER $\gamma_{Ed} < 0,5 \checkmark$

GRÖSSE (b/t):

SIEHE E.T.H. II. ORD. (ELAST. - ELAST.)

VERFORMUNGEN

$\Pi_k: \Delta N = -0,02701 \text{ m}$

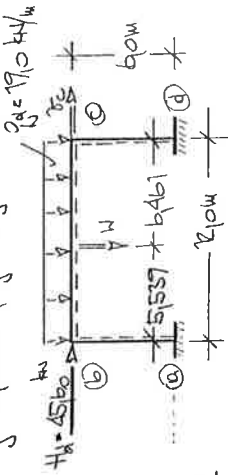
$\Pi_E: \Delta N = -0,04644 \text{ m}$

$q_d: \Delta N = 0,1154 \text{ m}$

$\underline{N} = 0,04195 \text{ m} \hat{=} 4,2 \text{ cm}$

$\underline{r}_E = E / C_d = \frac{1}{C_d} \cdot [N \cdot 3,150 \cdot (2,0 + 0,2596)] \cdot q_d = 901676 \hat{=} 170 \text{ cm}$

$\xi = 9,4616, \xi^2 = 1 - \xi$



NACHWEIS BIEGEDRILLMOMENTE

SIEHE E.T.H. II. ORD. - (ELAST. ELAST)

4.4.5 M - VERFAHREN (NÄHERUNG F. E. TH. II. ORD. - (ELAST. PLAST.))

1. ANNAHME

$q_d = 227 \text{ kN/m} \rightarrow H_d = 54,46 \text{ kN}$

$\eta_{k,d} = \frac{H_{k,d}}{H_d} = \frac{2275}{2 \cdot 645} = 47,69 > 4 \rightarrow \psi = 1,021$

VORVERKEHRUNG φ_0 :

$\varphi_0 = 0,003876$ (VERF. ELAST. PLAST.)

$\max \Pi = \Pi_{E0} = \frac{1}{2} \cdot [-760 - \psi \cdot 1350 \cdot (20 + 0,3876)] = -2817 \text{ kNm}$

$\Pi_{E0} = \frac{1}{2} \cdot [-760 + \psi \cdot 1350 \cdot (20 + 0,3876)] = -1541 \text{ kNm}$

$\max Q = Q_{E0} = \frac{1}{2} \cdot [-60 - \psi \cdot 0,250 \cdot (20 + 0,3876)] = -146,6 \text{ kN}$

$\max N = N_{E0} =$

ORT UND GRÖSSE VON $\max \Pi_F$ - STAB 2

$\xi \eta = \frac{1}{2} - \frac{\Pi_{E0} - \Pi_{E1}}{q \cdot l^2} = 0,4610 \quad (\chi_\eta = 5,532 \text{ m})$

$\max \Pi_F = \Pi_{E0} + \frac{1}{2} \cdot \xi \cdot \eta \cdot q \cdot l^2 = 1732 \text{ kNm}$

NACHWEISE

INTERAKTIONSBEZIEHUNG:

$\frac{\max \Pi}{H_{k,d}} < q_{10} : \frac{\max Q}{q_{1,d}} = 0,3505 \rightarrow \Pi_{gr,c} = -282,3 \text{ kNm}$

$\Pi_{E0} = -2817 \text{ kNm} < \Pi_{gr,c} = -282,3 \text{ kNm} \checkmark$

NACHWEIS VON GRENZE (b/k)

ERFÜLLT - SIEHE FG. TH. II. ORD

VERFORMUNGEN:

$\Pi_1: \Delta W = -0,03203 \text{ m}$

$\Pi_2: \Delta W = -0,05558 \text{ m}$

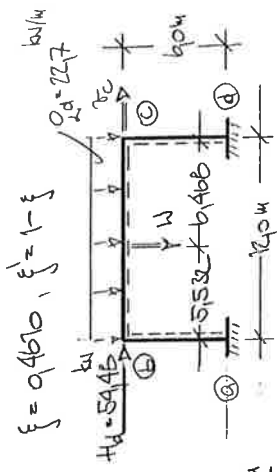
$q: \Delta W = 0,1376 \text{ m}$

$\underline{W} = 0,05019 \text{ m} \hat{=} 5,0 \text{ cm}$

$\underline{v}_c = \frac{v_c}{c_d} = \frac{1}{c_d} \cdot [\psi \cdot 3150 \cdot (20 + 0,3876)] \cdot \varphi_0 = 0,02023 \text{ m} \hat{=} 2,0 \text{ cm}$

NACHWEIS BIEGEDRILLMOMENTE

SIEHE E. TH. II. ORD. - (ELAST. PLAST.)

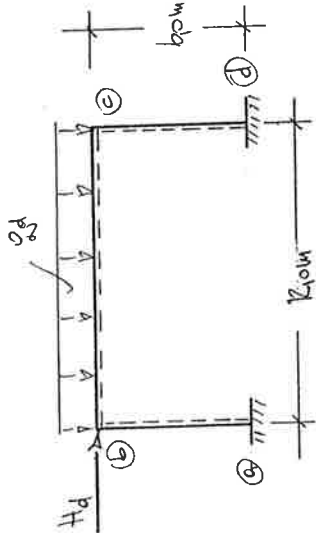


$\xi = 0,4610, \eta = 1 - \xi$

46 ERSATZSTABVERFAHREN (NÄHERUNG F. TH. I. ORD.) (ELAST. PLAST.)

(NACH EUROCODE 3 - APRIL 1970)

$$\frac{2 \cdot l_{cr,y}}{H_d} = 5$$



IPE 400 ST ST
 $J = 23130 \text{ cm}^4$
 $E = 21 \cdot 10^4 \text{ kN/cm}^2$
 $\gamma_H = 11$

$$N_{ki,z} = \frac{T \cdot E J_z}{A \cdot l_{cr,z}^2} = 8002 \text{ kN}$$

$$N_{ki,z} = \frac{T \cdot E J_z}{l_{cr,z}^2} = 6840 \text{ kN}$$

$$N_{ki,z} = \frac{T \cdot E J_z}{l_{cr,z}^2} = 3040 \text{ kN}$$

$$\bar{\lambda} = \sqrt{\frac{N_{pl,z}}{N_{ki,z}}}$$

$$\bar{\lambda}_y = 0.5034 \quad \text{KUNSPRINIE (a) } \rightarrow \alpha = 0.21$$

$$\bar{\lambda}_{z_1} = 0.5445$$

$$\bar{\lambda}_{z_2} = 0.6168$$

$\lambda_1 = 127$ (NIEBE VER) z
 $l_{cr,y} = 20 \text{ m}$ STIEL
 $l_{cr,z} = 30 \text{ m}$ RIEGEL

1. ANNÄHERNE:

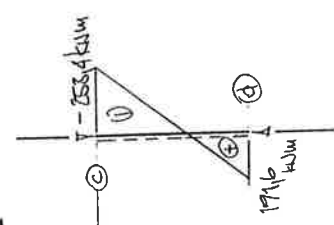
$$q_d = 206 \text{ kN/m} \rightarrow H_d = 49,44 \text{ kN}$$

STAB (S):

$$\Gamma_{bd} = \alpha \cdot [-760 - 1350 \cdot 20] = -253,4 \text{ kNm}$$

$$\Gamma_{dc} = \alpha \cdot [480 + 2250 \cdot 20] = 191,6 \text{ kNm}$$

$$N_{cd} = \alpha \cdot [-610 - 0,250 \cdot 20] = -132,9 \text{ kN (DRUCK)}$$



NACHWEIS:

$$\psi = -0,7561 \quad \Delta \sigma_{yy} = 2329 = \Delta \sigma_{yy}$$

$$\sigma_{yy} = \sigma_y \cdot (2 \cdot \Delta \sigma_{yy} - 4) + \frac{\Delta \sigma_{yy} - \Delta \sigma_{yy}}{W_{yy}} = 0,5034 \cdot (2 \cdot 2329 - 4) + \frac{1306 - 1160}{1160}$$

$$\sigma_{yy} = 0,4588$$

$$k_y = 1 - \frac{\sigma_{yy} \cdot N_{pl,d}}{k_y \cdot \gamma_H \cdot N_{pl,d}} = 1 - \frac{0,4588 \cdot 132,9}{0,7232 \cdot 11 \cdot 1844} = 0,9774$$

BIEGENICKNACHWEIS:

$$\frac{N_{d1}}{k_{min} \cdot N_{pl,d}} + \frac{k_y \cdot \Gamma_{y,d}}{\Gamma_{pl,y,d}} = \frac{132,9}{0,8040 \cdot 1844} + \frac{0,9774 \cdot 253,4}{2051,4} = 0,9423 < 1$$

STAB (Z)

(VERGRÖßERUNG DER "STAB" POTENTIALS IN RIEGEL UM 1/2)

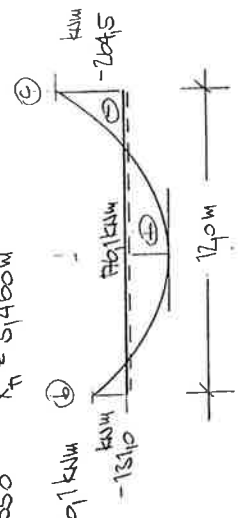
$$\Gamma_{bc} = \alpha \cdot [-760 + 12 \cdot 1350 \cdot 20] = -1310 \text{ kNm}$$

$$\Gamma_{cb} = \alpha \cdot [-760 - 12 \cdot 1350 \cdot 20] = -2645 \text{ kNm}$$

$$N_{bc} = \alpha \cdot [-240 - 0,60 \cdot 20] = -74,6 \text{ kN (DRUCK)}$$

$$\xi_H = \frac{1}{2} - \frac{\Gamma_{bc} - \Gamma_{cb}}{0,2 \cdot N_{pl,z}} = 0,4550 \quad \chi_H = 5,1400$$

$$\text{max } \Gamma_F = \Gamma_{bc} - \frac{1}{2} \cdot \alpha \cdot \xi_H^2 = 176,1 \text{ kNm}$$



$$\psi = 0,50, \quad \Delta \sigma_{yy} = 1450, \quad \Delta \sigma_{zz} = 1,3, \quad \Gamma_{dc} = 370,6 \text{ kNm}, \quad \Delta \Gamma = 46,6 \text{ kNm}$$

$$\Delta \sigma_{yy} = 1323, \quad \sigma_{yy} = -0,5540, \quad k_y = 1,022$$

NACHWEIS:

$$\frac{74,16}{0,8040 \cdot 1844} + \frac{1022 \cdot 264,5}{2051,4} = 0,9957 < 1$$

A4.7 ELASTIZITÄTSTHEORIE II. ORD - (ELAST. ELAST)

NACHWEIS GRENZE (b/E) ERFÜLLT
SIEHE FG. TH. II. ORD.

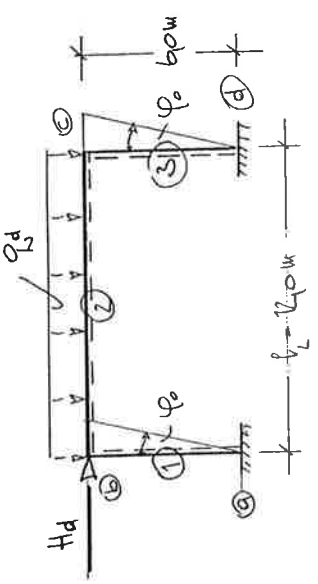
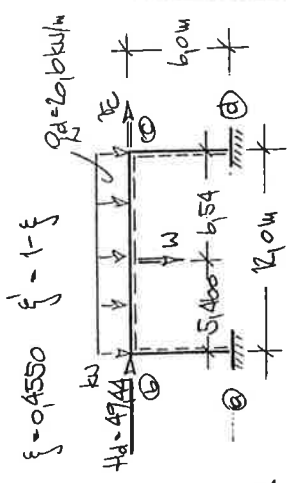
NACHWEIS NIEDERDRÜCKNICKEN
SIEHE E.TH. II. ORD. (ELAST.-PLAST.)

VERFORMUNGEN:

$\Pi_f: \Delta W = -902726 \text{ m}$
 $\Pi_L: \Delta W = -905187 \text{ m}$
 $\Pi_N: \Delta W = 0,1247 \text{ m}$
 $\underline{W} = 904555 \text{ m} \approx 46 \text{ cm}$

$\underline{v}_c = \underline{v}_c / C_d = \frac{1}{C_d} \cdot [3150 \cdot (20 + 0,35976)] \cdot \underline{v}_0 = 0,07792 \text{ m} \approx 1,8 \text{ cm}$

AUSGANGSPUNKT VON $\underline{v}_0 = 9003576$ (VORVERDREHUNG)



$$\frac{-q_d \cdot l_c}{H_d} = 5$$

IPE 400
 $J = 23130 \text{ cm}^4$
 $E = 21 \cdot 10^4 \text{ kN/cm}^2$
 $\nu = 11$
 $\varphi_0 = 9002598$ (VORVERDREHUNG)

1. ANNÄHERUNG

$q_d = 170 \text{ kN/m} \rightarrow H_d = 4516 \text{ kN}$

⑤	N_s	q_i / C_s	ε_s	F_1	F_2	F_3	λ_s	y_s
①	110	10	0,9975	3,988	2,003	5,991	2,003	5,991
②	70	0,5	0,4776	3,967	2,006	-	1,985	1,004
③	125	10	0,3192	3,986	2,003	5,990	2,003	5,990

GLEICHUNGSSYSTEM UND LÖSUNG

$[A] \cdot \{X\} = -\{B\}$

φ_s	φ_c	\bar{v}_c	LF
5,983	1,004	-0,9985	2289
1,004	5,971	-0,9983	-2289
-0,9985	-0,9983	0,6603	4621
φ_0	φ_c	\bar{v}_c	BET (*)
63,58	-28,44	123,1	> +

$$\varepsilon_s = \sqrt{\frac{N_s}{(EJ)_d}}$$

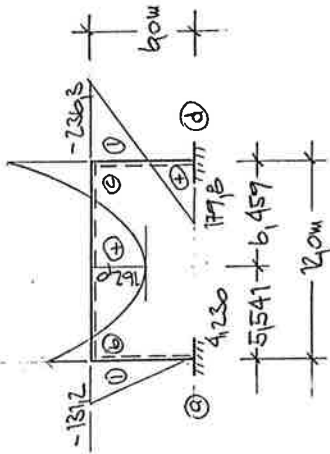
$$\varphi_i = \bar{\varphi}_i / C_d$$

$$C_d = 7360 \text{ kNm}$$

STABENKOMPONENTE

		$q_d = 17,0 \text{ kN/m}$	
⑤	i-k	$\Pi_{ik}^0 \text{ kNm}$	$\Pi_{ik} \text{ kNm}$
①	a	+	4230
	b		-1311
②	b	-2269	-1312
	c	-2269	-2363
③	c	+	-2362
	d		1798

$\Pi \text{ [kNm]}$



(VERLAUF ZWISCHEN DEN STAB-
ENDPUNKTEN N. TH. I. ORD.)

STABENKRAFTEN

		$q_d = 17,0 \text{ kN/m}$	
⑤	i-k	$R_{ik}^L \text{ kN}$	$R_{ik} \text{ kN}$
①	a	+	-23,15
	b	114,0	105,2
②	b	-114,0	-122,8
③	c	+	66,66

$ZH = +V, ZV = +U$

STABENQUERKRAFTEN

		$q_d = 17,0 \text{ kN/m}$	
⑤	i-k	$Q_{ik} \text{ kN}$	$Q_{ik} \text{ kN}$
①	a	-22,66	
	b	-21,91	
②	b	105,8	
	c	-123,1	
③	c	66,50	
	d	66,98	

NORMALKRAFTEN

		$q_d = 17,0 \text{ kN/m}$	
⑤	i-k	$N_{ik} \text{ kN}$	$N_{ik} \text{ kN}$
①	a-b	-105,2	
②	b-c	-66,66	
③	c-d	-122,8	

(N < + DRUCK)

max. FELDNOTENT Π_F STAB ②

		$q_d = 17,0 \text{ kN/m}$	
		Π_0	Π_1
	V	001829	
	ξ_{Π}	04617	
	x_{Π}	51541	
	max Π	1660	

NACHWEISE:

max σ : KNOTEN ③

$$\sigma = \frac{23630}{1160} + \frac{122,8}{845} = 21,2 \text{ kN/cm}^2 = \sigma_{\text{Ed}} = 21,62 \text{ kN/cm}^2 \checkmark$$

max τ : KNOTEN ③

$$\tau = \frac{1231 \cdot 654}{23130 \cdot 986} = 4,047 \text{ kN/cm}^2 < \tau_{\text{Ed}} = 12,60 \text{ kN/cm}^2 \checkmark$$

$\sigma \leq \sigma_{\text{Ed}}$ ERFÜLLT FÜR $\sigma / \sigma_{\text{Ed}} < 0,95$ ODER $\tau / \tau_{\text{Ed}} < 0,5 \checkmark$

NACHWEIS GRENZ (b/t)

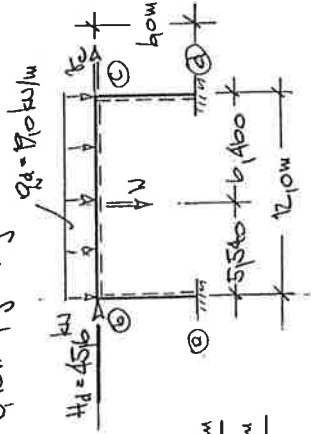
SIEHE FN TH. I. ORD.

VERFORMUNGEN:

$$\begin{aligned} \Delta W &= -0,0772 \text{ m} \\ \Delta W &= -0,04782 \text{ m} \\ \Delta W &= 0,1181 \text{ m} \end{aligned}$$

$$\begin{aligned} \bar{w} &= 0,04236 \text{ m} \hat{=} 4,2 \text{ cm} \\ \bar{v} &= 0,01673 \text{ m} \hat{=} 1,7 \text{ cm} \end{aligned}$$

$$\xi = 0,467, \quad \xi \leq 1 - \xi$$



NACHWEIS BIEGEDRILLKNICKEN

RAHMENSTIEL ③

$$N = 122,8 \text{ kN (DRUCK)}$$

$$S_k = l = 3,0 \text{ m (GABELLÄNGE)}$$

$$N_{k1,2} = \frac{T \cdot E \cdot I_z}{l^2} = 3040 \text{ kN}$$

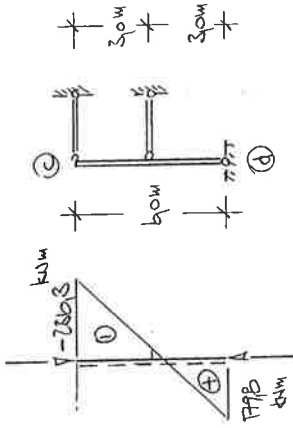
$$c^2 = \frac{I_{yy} + 0,05 I_z \cdot I_x}{I_z} = 4707 \text{ cm}^4$$

$$\psi = 0,12 - \lambda_1 = 1,678 \quad z_p = t$$

$$\Gamma_{k1,y} = \lambda_1 \cdot N_{k1,2} \cdot (\sqrt{c^2 + 0,25 \cdot z_p^2} + 0,5 \cdot z_p)$$

$$\Gamma_{k1,y} = 1107 \text{ kNm} \quad \bar{\lambda}_n = \sqrt{\frac{\Gamma_{k1,y}}{\Gamma_{k1,y}}} = 0,5325 \quad u = 2,5 \quad k_{1,y} = 0,9834$$

$$\bar{\lambda}_z = \sqrt{\frac{N_{pe}}{N_{k1,2}}} = 0,8168 \text{ KNICKSTÄHIGKEIT } \ominus \rightarrow \omega = 0,34 \quad k_{1,z} = 0,7140$$



BIEGEDRILLKNICKNACHWEIS:

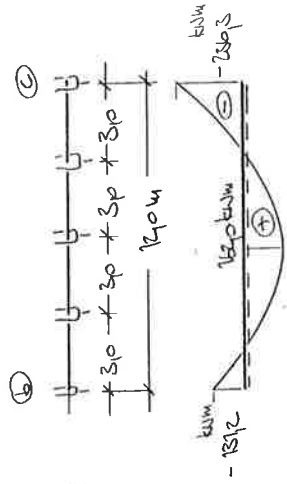
$$\frac{N}{k_z \cdot N_{pe,d}} + \frac{\Gamma}{k_{1,y} \cdot \Gamma_{pe,d}} \cdot k_y = \frac{122,8}{0,7140 \cdot 1844} + \frac{122,8}{0,9834 \cdot 1854} \cdot 1,0 = 0,9552 < 1 \checkmark$$

RIEGEL ②:

$$N = 68166 \text{ kN}$$

$$S_k = l = 3,0 \text{ m (GABELLÄNGE)}$$

$$k_z = 0,7140 \text{ (SIEHE VOR.)}$$



$$\text{OD FÜR } \Gamma_{1,y} = 1620 \text{ kNm}$$

$$z_p = -20 \text{ cm}, \quad \psi = 1,0 \rightarrow \lambda_1 = 1,0$$

$$\Gamma_{k1,y} = 422,2 \text{ kNm} \quad \bar{\lambda}_n = 0,8 \quad u = 2,0 \quad k_{1,y} = 0,6025$$

BIEGEDRILLKNICKNACHWEIS:

$$\frac{68166}{07140 \cdot 1844} + \frac{1640}{0,0025 \cdot 2854} \cdot 1,0 = 0,7575 < 1,0 \checkmark$$

b) für $\Gamma_y = -236,3 \text{ kNm}$:

$$z_p = 4 \quad \psi = 0 \quad \bar{z}_y = 177$$

$$\Gamma_{k,y} = 1167 \text{ kNm} \quad \bar{\lambda}_y = 0,5186 \quad \eta = 2,5 \quad k_{\eta} = 0,9654$$

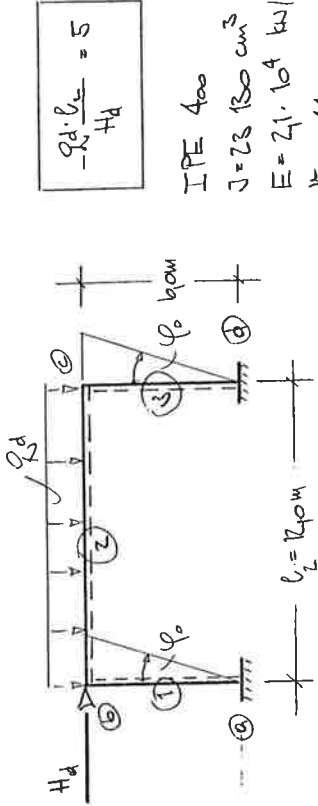


BIEGEDRILLKNICKNACHWEIS:

$$\frac{68166}{07140 \cdot 1844} + \frac{236,3}{0,9854 \cdot 2854} \cdot 1,0 = 0,8924 < 1 \checkmark$$

⇒ VARIANTE REGEL: $s_k = l = 4,0 \text{ m}$ NOCH

A4,8 ELASTIZITÄTSTHEORIE II. ORD. - (ELAST.-PLAST)



- IPE 400
- J = 23 130 cm⁴
- E = 21 · 10⁴ kN/cm²
- ν_n = 11
- φ₀ = 0,003576 (VORVERDR.)

1. ANNAHME: $q_d = 2,0 \text{ kN/m} \rightarrow H_d = 5424 \text{ kN}$

④	N _s kN	ε _s /ε _s	ε _s	F ₁	F ₂	F ₃	λ _s	γ _s	γ _s
①	130	1,0	0,3256	3766	2,004	5767	3766	2,004	5767
②	85	0,5	0,5265	3763	2,007	-	1,782	1,005	-
③	150	1,0	0,3497	3764	2,004	5768	3764	2,004	5768

GLEICHUNGSSYSTEM UND LÖSUNG

[A] · {X} = -{B}

φ ₀	φ ₁	φ ₂	φ ₃	LF
5768	1,005	-0,9982	-	2725
1,005	5766	-0,9980	-	-2725
-0,9982	-0,9980	0,6570	-	55133
φ _L	φ _C	φ _E	φ _{ET(A)}	
7613	-3370	1482	> +	

$$\epsilon_s = \epsilon_s \sqrt{\frac{N_s}{(EI)_d}}$$

$$\varphi_i = \varphi_i / c_d$$

$$c_d = 7360 \text{ kNm}$$

NORMALKRÄFTE

		kN/m	
		$Q_d = 22,6$	N_{ik}
⑤	i-k	kN	kN
①	a-b	-125,0	
②	b-c	-81,85	
③	c-d	-146,2	

(N < + DRUCK)

STABENDQUERKRÄFTE

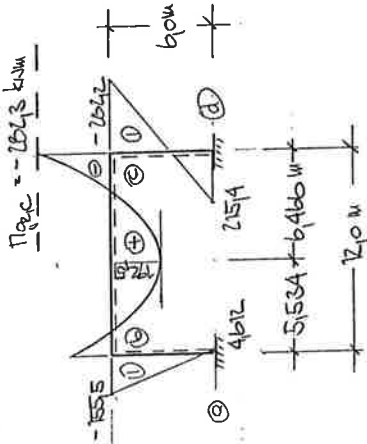
		kN/m	
		$Q_d = 22,6$	Q_{ik}
⑤	i-k	kN	kN
①	a	-27,12	
②	b	-25,78	
③	c	81,75	
	d	82,43	

STAB ②

max. FELD MOMENT M_F

		kN/m	
		$Q_d = 22,6$	
	M_0	1174,0	
	M_1	2386,0	
	v	902,041	
	f_{η}	946,12	
	x_{η}	51535	
	$max. M_F$	19215	

MOMENTE [kNm]



(VERLAUF ZWISCHEN DEN STAB-
ENDMOMENTEN NACH TH. I. ORD.)

STABENDMOMENTE:

		$Q_d = 22,6$ kN/m		kNm	
		M_{ik}	M_{ik}	M_{ik}	M_{ik}
⑤	i-k				
①	a	+	461,2		
②	b		-155,5		
③	c		-282,2		
	d		-282,2		215,4

STABENDKRÄFTE

		$Q_d = 22,6$ kN/m		kN	
		R_{ik}	R_{ik}	R_{ik}	R_{ik}
⑤	i-k				
①	a	+	-27,63		
②	b		135,6		125,0
	c		-135,6		-146,2
③	c	+			81,85

ZH = +J, ZV = +J

NACHWEISE

INTERAKTIONSBEZIEHUNG

$$\frac{\max N}{N_{pl,d}} < 0,10 \quad \frac{\max Q}{Q_{pl,d}} = 0,3500 \rightarrow \Gamma_{eq,c} = -262,3 \text{ kNm}$$

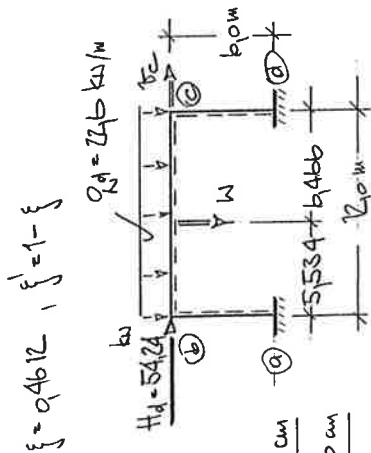
$$\Gamma_{eq,c} = -262,3 \text{ kNm} \stackrel{!}{=} \Gamma_{eq,c} = -262,3 \text{ kNm} \quad \checkmark$$

NACHWEIS GRENZ (bit)

ERFÜLLT, SIEHE TR. TH. II. ORD

VERFÖRMLICHEN:

$$\begin{aligned} \Gamma_i &: \Delta W = -0,03326 \text{ m} \\ \Gamma_k &: \Delta W = -0,05736 \text{ m} \\ \Gamma_{\Sigma} &: \Delta W = 0,1412 \text{ m} \\ \Gamma_c &= \bar{E}_c / C_d = 0,05056 \text{ m} \hat{=} 51 \text{ cm} \\ \Gamma_c &= \bar{E}_c / C_d = 0,02014 \text{ m} \hat{=} 20 \text{ cm} \end{aligned}$$



NACHWEIS BIEGEDRILLKNICKEN

RAHMENSTIEL ③

$N = 146,2 \text{ kN (DRUCK)}$

$S_x = I = 210 \text{ m}^4$ (CASELLACONUNG)

$M_{k1,z} = \frac{I^2 E I_z}{l^2} = 6640 \text{ kN}$

$\bar{\lambda}_z = 0,5445$ KRICHSLINIE ⑥ $\rightarrow \alpha = 0,34 \rightarrow k_z = 0,6640$

$z_p = 4, \quad C^2 = 415,4 \text{ cm}^2 \quad \psi = 0,41 \rightarrow \bar{\lambda}_y = 1,454 \quad \Gamma_{k1,y} = 2027 \text{ kNm}$

$\bar{\lambda}_y = 0,8935 \rightarrow k_y = 1,0$

BIEGEDRILLKNICKNACHWEIS

$\frac{N}{k_z \cdot N_{pl,d}} = \frac{146,2}{0,6640 \cdot 1844} = 0,09176 < 0,10 \rightarrow \checkmark$

$\frac{\Gamma}{k_y \cdot \Gamma_{pl,d}} = \frac{262,3}{1,0 \cdot 2854} = 0,9188 < 1,0 \quad \checkmark$

RIEDEL ②

$N = 81,65 \text{ kN (DRUCK)}$

$S_x = I = 3 \text{ m}^4$ (CASELLACONUNG)

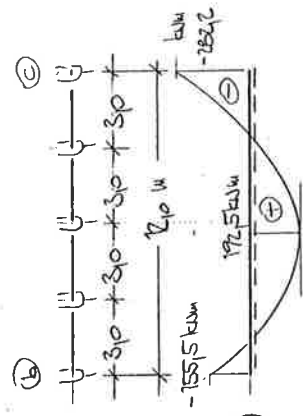
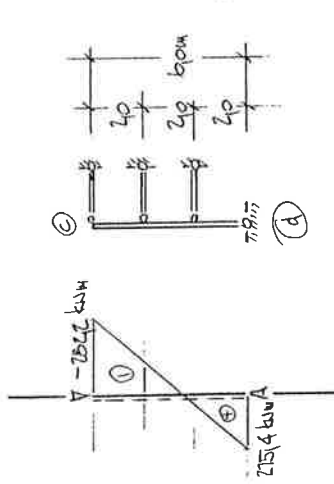
$k_z = 0,7140$ SIEHE E. TH. II. ORD (E.E)

$\alpha_3 \text{ FÜR } \Gamma_y = 172,5 \text{ kNm} \rightarrow k_y = 0,8025$

$\frac{N}{k_z \cdot N_{pl,d}} = 0,06217 < 0,10 \quad \frac{\Gamma}{k_y \cdot \Gamma_{pl,d}} = \frac{172,5}{0,8025 \cdot 2854} = 0,8405 < 1,0 \quad \checkmark$

$\alpha_3 \text{ FÜR } \Gamma_y = -262,3 \text{ kNm} \rightarrow k_y = 0,91554$

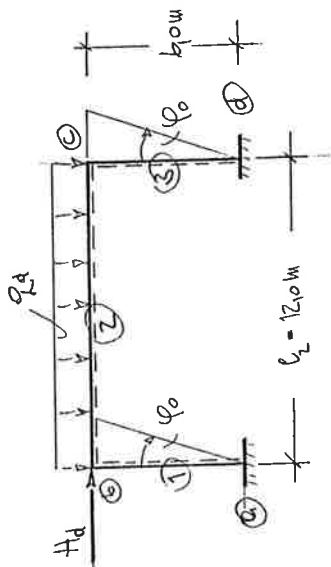
$\frac{N}{k_z \cdot N_{pl,d}} = 0,06217 < 0,10 \quad \frac{\Gamma}{k_y \cdot \Gamma_{pl,d}} = \frac{262,3}{0,91554 \cdot 2854} = 1,0 \leq 1,0 \quad \checkmark$



4.7 FLEESCELENTHEORIE II. ORD. - (PLAST. PLAST.)

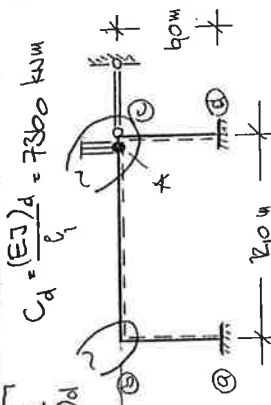
$$\frac{-q_d \cdot l_e}{H_d} = 5$$

IFE 400
 $J = 23.130 \text{ cm}^4$
 $E = 21.101 \text{ kN/cm}^2$
 $\gamma_H = 11$
 $\varphi_0 = 0.003876 \text{ (VORZEICHEN!)}$



1. ANNAHME: $q_d = 267 \text{ kN/m} \rightarrow H_d = 67.44 \text{ kN}$

③	N_s	l_n/l_s	ε_s	F_1	F_2	F_3	ε_s	λ_s	γ_s
①	165	1.0	0.3668	3982	2005	5987	3982	2005	5987
②	95	0.5	0.5566	3759	2106	-	1979	1005	-
③	175	1.0	0.3777	3981	2005	5986	3981	2005	5986



SYSTEM MIT FG A IN ③

LF $\bar{\varphi}_0 = 1.0$:

$a_{11} \cdot \bar{\varphi}_1 + \bar{\varepsilon}_2 = 5961$
 $a_{21} \cdot \bar{\varphi}_2 = \lambda_2 = 1005$
 $a_{31} \cdot \bar{\varphi}_3 = -\frac{1}{l_1} \cdot \gamma_1 = -0.9976$

LF $\bar{\varphi}_0 = 1.0$:

$a_{12} \cdot \bar{\varepsilon}_2 + \bar{\varepsilon}_3 = 5960$
 $a_{32} \cdot \bar{\varepsilon}_3 = -\frac{1}{l_2} \cdot \gamma_3 = -0.9977$
 $a_{42} = a_{24} = -\bar{\varepsilon}_2 = -1979$

LF $\bar{\varphi}_0 = 1.0$:
 $a_{33} = \frac{1}{l_1} \cdot 2 \cdot \gamma_1 - \frac{H_d}{l_1} \cdot C_d + \frac{1}{3} \cdot 2 \cdot \gamma_3 - \frac{H_d}{l_2} \cdot C_d = 0.6575$
 $a_{43} = a_{34} = 0$

LF $\bar{\varphi}_A = 1.0$:
 $a_{44} = \bar{\varepsilon}_2 = 1979$

LF $\bar{\varphi}_1 = 1$:
 $\Pi_{bc} = \Pi_{bb} = -0.08377 \cdot q_d \cdot \bar{\varphi}_2 = -339.0 \text{ kNm}$
 $a_{1b} = -a_{2b} = -339.0 \text{ kNm}$
 $a_{3b} = -H - \varphi_0 \cdot (N_1 + N_3) = -667.6 \text{ kNm}$
 $a_{4b} = \Pi_{bb} = -339.0 \text{ kNm}$
 $\Pi_A = \Pi_{bAc} = -287.7 \text{ kNm (ANNAHME)}$

GLEICHUNGSSYSTEM UND LÖSUNG: $[A] \cdot \{x\} + \{b\} = \{f\}$

$a_{11} \cdot \bar{\varphi}_0 + a_{12} \cdot \bar{\varphi}_2 + a_{13} \cdot \bar{\varepsilon}_2 + a_{14} \cdot \bar{\varphi}_A + a_{1b} = f$
 $a_{21} \cdot \bar{\varphi}_0 + a_{22} \cdot \bar{\varphi}_2 + a_{23} \cdot \bar{\varepsilon}_2 + a_{24} \cdot \bar{\varphi}_A + a_{2b} = f$
 $a_{31} \cdot \bar{\varphi}_0 + a_{32} \cdot \bar{\varphi}_2 + a_{33} \cdot \bar{\varepsilon}_2 + a_{34} \cdot \bar{\varphi}_A + a_{3b} = f$
 $a_{41} \cdot \bar{\varphi}_0 + a_{42} \cdot \bar{\varphi}_2 + a_{43} \cdot \bar{\varepsilon}_2 + a_{44} \cdot \bar{\varphi}_A + a_{4b} = \Pi_A$

$\bar{\varphi}_0$	$\bar{\varphi}_2$	$\bar{\varepsilon}_2$	$\bar{\varphi}_A$	$\bar{\varepsilon}_b$	LF
5961	1005	-0.9976	-1005	0	339.0
1005	5960	-0.9977	-1979	-2005	-339.0
-0.9976	-0.9977	0.6575	0	0.9977	667.6
-1005	-1979	0	1979	0	651.80
0	-2005	0.9977	0	3981	287.7
$\bar{\varphi}_0$	$\bar{\varphi}_2$	$\bar{\varepsilon}_2$	$\bar{\varphi}_A$	$\bar{\varepsilon}_b$	DET(x)
123.9	7.385	303.8	103.3	-	> 0
124.5	7.460	307.2	103.7	-15.89	> 0

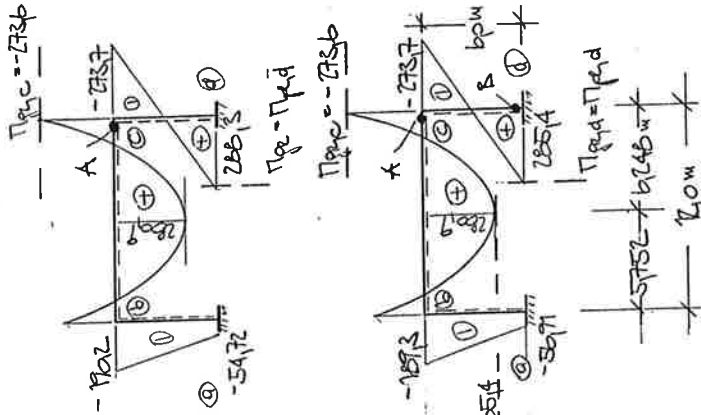
$[A] \cdot \{x\} = -\{b\}$
 $= 339.0 - 287.7$
 $= \Pi_{f,b}$
 $\varphi_1 = \varphi_1 / C_d$

STABENDNOTENLSTE

$q_d = 28,1 \text{ kN/m}$	FG A	FG A/B
⑤ i-k	Π_{ik} kNm	Π_{ik} kNm
① a	-5472	-5291
b	-1922	-1872
② b	-3390	-1873
c	-3390	-2837
③ c	-2837	-2837
d	2883	2854

$\Pi_{q2} = \Pi_{q1d}$

Π [kNm]



STABENDQUERKRÄFTE

$q_d = 28,1$	FG A	FG A/B
⑤ i-k	R_{ik} kN	R_{ik} kN
① a	-2372	-2320
b	-2074	-2041
② b	1632	1632
c	-1756	-1755
③ c	9264	9214
d	9246	9176

NORMALKRÄFTE

$q_d = 28,1$	FG A	FG A/B
⑤ i-k	N_{ik} kN	N_{ik} kN
① a-b	-1616	-1616
② b-c	-9176	-9126
③ c-d	-1756	-1756

STABENDKRÄFTE

$q_d = 28,1 \text{ kN/m}$	FG A	FG A/B
⑤ i-k	R_{ik} kN	R_{ik} kN
① a	-2436	-2364
b	1616	1616
② c	-1756	-1756
③ c	9176	9126

$ZH = + \checkmark, ZV = + \checkmark$

max. FELD MOMENT Π_f STAB ②

$q_d = 28,1$	FG A	FG A/B
Π_b	13060	13060
Π_1	26660	26660
V	90139	90132
$\sum \Pi$	94775	94773
$X \Pi$	5754	5752
max Π_f	2609	2609

NACHWEISE:

INTERAKTIONSBEZIEHUNG: $\frac{N}{N_{pl,d}} < 0,16$

STAR ①:

$$\frac{R_{pl,d}}{R_{pl,d}} = 0,4223 \rightarrow \frac{\pi_{qc}}{\pi_{qc}} = -2737 \text{ kNm} \rightarrow \pi_{cb} = -2737 \text{ kNm} \checkmark$$

$$\text{max. } \pi_{\#} = 2897 \text{ kNm} < \pi_{qc} = \pi_{pl,d} = 28514 \text{ kNm} \text{ UND}$$

$$\pi_{cb} = -1893 \text{ kNm} < \pi_{pl,b} = -2776 \text{ kNm} \rightarrow$$

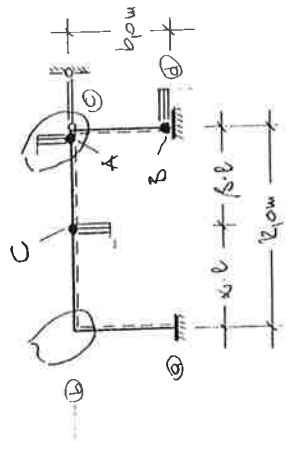
SYSTEM HAT NOCH PLAST. RESERVE ($q_d = 281 \text{ kN/m} < q_{\text{GRUNDST}} \Rightarrow$)
FLIESSGLENK C IN FELD b-c

Z. ANNAHME:

$$q_d = 279 \text{ kN/m} \rightarrow H_d = 7176 \text{ kN}$$

⑤	N _s	b ₁ /b _s	ε _s	F ₁	F ₂	F ₃	γ _s	λ _s	γ _s
①	185	1,0	0,3884	3780	2005	5785	2005	2,005	5985
②	95	0,5	0,5386	3759	21010	-	1,979	1,005	-
③	185	1,0	0,3884	3780	2005	5785	2005	2,005	5985

SYSTEM MIT FG A|B|C



NACHWEISE:

INTERAKTIONSBEZIEHUNG:

$$\frac{N}{N_{pl,d}} < 0,16$$

STAR ②: $R_{pl,d} = -1147 \text{ kN}$

$$\frac{R_{pl,d}}{R_{pl,d}} = 0,4225 > 0,33 \rightarrow \pi_{qc} = \pi_{pl,d} = -2737 \text{ kNm}$$

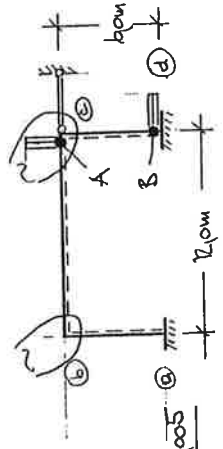
$$\pi_{cb} = -2737 \text{ kNm} \rightarrow \pi_{qc} = -2737 \text{ kNm} \checkmark$$

STAR ③: $R_{pl,d} = 9246 \text{ kN}$
 $\frac{R_{pl,d}}{R_{pl,d}} = 0,2208 < 0,33 \rightarrow \pi_{qc} = \pi_{pl,d}$

$$\pi_{cb} = 2863 \text{ kNm} > \pi_{pl,d} = 28514 \text{ kNm} \rightarrow$$

\rightarrow FLIESSGLENK B IN ① EINFÜHREN

SYSTEM MIT FG A|B:



LF $\bar{\sigma}_s = 1,0$:

$$q_{15} = 0,51 \cdot \dagger, q_{25} = 0,52 \cdot -\lambda_3 = -2,005$$

$$q_{35} = 0,53 \cdot \frac{1}{0} \cdot \gamma_s = 0,9977$$

$$q_{45} = 0,54 \cdot \dagger, q_{55} = 0,5 \cdot \gamma_s = 3,981$$

LF $q_{1,H}$:

$$q_{50} = \dagger \quad \pi_B = 28514 \text{ kNm} - \pi_{pl,d}$$

GLEICHGEM. BED. AN FG. B:

$$q_{51} \cdot \bar{\sigma}_b + q_{52} \cdot \bar{\sigma}_c + q_{53} \cdot \bar{\sigma}_e + q_{54} \cdot \bar{\sigma}_a + q_{55} \cdot \bar{\sigma}_s + q_{50} = \pi_B$$

GLEICHUNGSSYSTEM UND LÖSUNG SIEHE WK

LAGE DES FG'S C :

$$\beta \leq \frac{1}{2} \cdot \alpha \cdot \cos \frac{\pi_6 + \pi_{ki}}{\pi_6 + \pi_f} = \frac{1}{2} \cdot 2 \cdot \frac{1}{2} \cdot \frac{1}{2} = 13900 \text{ kNm}$$

$$\pi_{ki} = -271,8 \text{ kNm (ANNAHME)}$$

$$\pi_f = \pi_{p,d} = 285,4 \text{ kNm}$$

$$\beta \leq 95052$$

ANNAHME: $\beta = 0,5 \rightarrow \alpha = 95$

LF $\bar{q}_c = 10$:

$$q_{16} = q_{14} = -(\frac{1}{2} \cdot l_2) \cdot F_2 = -95065 \quad q_{26} = q_{22} = (\frac{1}{2} \cdot l_2) \cdot F_{12} = 95065$$

$$q_{36} = q_{35} = + \quad q_{46} = q_{44} = -(\frac{1}{2} \cdot l_2) \cdot F_{13} = -95065 \quad q_{56} = q_{55} = +$$

$$q_{66} = (\frac{1}{2} \cdot l_2) \cdot F_{14} = 94870$$

LF $q_{1,H}$:

$$\pi_{16} = \pi_{15} = -906377 \cdot l_1 \cdot l_2 = -3607 \text{ kNm}$$

$$q_{16} = -q_{12} = -3607 \text{ kNm}$$

$$q_{30} = -H_1 - (q_0 \cdot (N_1 + N_3)) = -7320 \text{ kN}$$

$$q_{40} = -3607 \text{ kNm} \quad \pi_{14} = -271,8 \text{ kNm (ANNAHME)}$$

$$q_{50} = + \quad \pi_{15} = 285,4 \text{ kNm } (-\pi_{p,d})$$

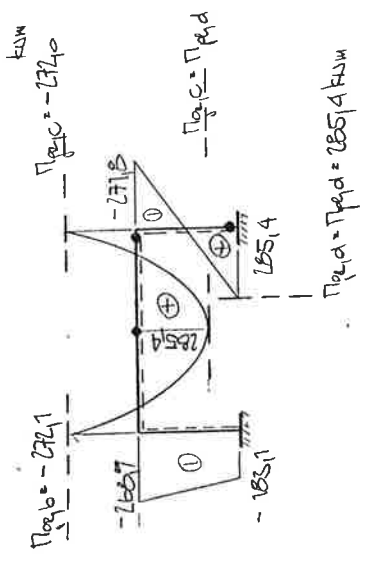
$$q_{60} = -\pi_{12} = -16110 \text{ kNm} \quad \pi_{1c} = 285,4 \text{ kNm } (= \pi_{p,d})$$

φ_6	φ_c	\bar{q}_c	\bar{q}_A	\bar{q}_B	\bar{q}_C	LF
59759	1005	-9975	-1005	+	-95065	3607
1005	59759	-9975	-1979	-2005	95065	-3607
-9975	-9975	95066	+	9975	+	7320
-1005	-1979	+	1979	+	-95065	8990
+	-2005	9975	+	3980	+	2854
-95065	95065	+	-95065	+	94870	-1644
φ_b	φ_c	\bar{q}_c	\bar{q}_A	\bar{q}_B	\bar{q}_C	DET(a)
2289	6417	6437	2920	-5729	2696	> +

STABENMOMENTE

⑤ i-k	$q_d = 29,9 \text{ kN/m}$	
	π_{ik}^0	π_{ik}
① a	+	-185,1
b		-265,9
② b	-360,7	-265,7
c	-360,7	-271,9 ✓
c	+	-271,8
d		285,4 ✓
③ c	16110	285,4 ✓

$\pi \text{ [kNm]}$



(VERLAUF ZWISCHEN DEN STABENMOMENTEN N. TH. I. ORD.)

STABENKRÄFTE:

⑤ i-k	$q_d = 29,9 \text{ kN/m}$	
	R_{ik}	R_{ki}
① a	+	-1772
b	1774	1771
② b	-1774	-1777
c	+	8945

STABENQUERKRÄFTE

$\sum d_i = 2779 \text{ kN/m}$		KN	
⑤	i-k	R_{ik}	KN
①	a	-1700	
	b	-1125	
②	b	1821	
	c	-1769	
③	c	917	
	d	917	

NORMALKRÄFTE

$\sum d_i = 2779 \text{ kN/m}$		KN	
⑤	i-k	N_{ik}	KN
①	a-b	-1791	
②	b-c	-8945	
③	c-d	-1797	

(N < + DRUCK)

NACHWEISE

INTERAKTIONSBEZIEHUNG

STAB ①: $\frac{R_{bc}}{R_{pbc}} = 0,482 > 0,33 \rightarrow \Gamma_{p,b} = -272,1 \text{ kNm}$
 $\frac{R_{pd}}{R_{p,d}} = 0,10$

$\Gamma_{bc} = -268,7 \text{ kNm} < \Gamma_{p,b} = -272,1 \text{ kNm} \checkmark$

$\frac{R_{dc}}{R_{pdc}} = 0,482 > 0,33 \rightarrow \Gamma_{p,c} = -272,0 \text{ kNm}$
 $\frac{R_{pd}}{R_{p,d}} = 0,10$

$\Gamma_{dc} = -271,9 \text{ kNm} = \Gamma_{p,c} = -272,0 \text{ kNm} \checkmark$

$R_c = + \quad \Gamma_c = 2654 \text{ kNm} = \Gamma_{p,c} = \Gamma_{p,d} = 2654 \text{ kNm} \checkmark$

STAB ⑤: $\frac{R_{dc}}{R_{p,d}} < 0,33 \rightarrow \Gamma_{p,d} = \Gamma_{p,d} = 2654 \text{ kNm}$

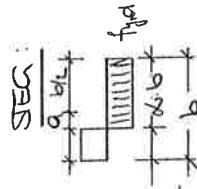
$\Gamma_{dc} = 2654 \text{ kNm} = \Gamma_{p,d} = 2654 \text{ kNm} \checkmark$

$\Rightarrow \sum d_i = \sum \text{TRAGLAST} = 2779 \text{ kN/m} \rightarrow H_d = 7176 \text{ kN}$

NACHWEIS GRENZE (b/t)

(u. DIN 18800 T.1, TAB 16 S.29)
 FÜR $\Gamma = 2654 \text{ kNm}$ UND $N = 1800 \text{ kN}$ (DRUCK)

IPE 400: (FÜR DAS GESAMTE SYSTEM)

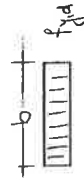


STEG: $t = 0,66 \text{ cm} \quad b = h - 2 \cdot (t_f + r) = 351,6 \text{ cm}$

$b \cdot k = b/2 + a = \frac{N}{2 \cdot f_{y,d} \cdot t} = 446 \text{ cm} \rightarrow \lambda = 0,635$

$\text{WKL. (b/t)} = 3849 < \text{GRENZE (b/t)} = \frac{32}{\lambda} \cdot \sqrt{\frac{240}{f_{yk}}} = 5039 \checkmark$

FLANSCH:



$t = 1,35 \text{ cm} \quad b = (b - t_s - 2r) \cdot \frac{1}{2} = 647 \text{ cm}$

$\text{WKL. (b/t)} = 4793 < \text{GRENZE (b/t)} = \frac{7}{k} \cdot \sqrt{\frac{240}{f_{yk}}} = 9 \checkmark$

NACHWEIS FÜR QS MIT FG BEFRACHT, BZW. AUCH FÜR ALLE ÜBRIGEN QS (IPE 400), DA GRENZE (b/t) FÜR QS OHNE FG GÜNSTIGER.

NACHWEIS VON λ_{pe}

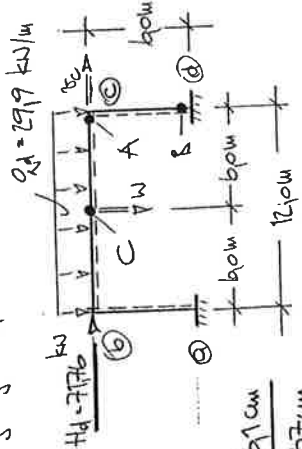
$\text{WKL. } \lambda_{pe} = 1126 < \text{GRENZE } \lambda_{pe} = 1125 \checkmark$

VERFORMUNGEN:

- $\Pi_1: \Delta W = - 0,05659 \text{ m}$
- $\Pi_2: \Delta W = - 0,05726 \text{ m}$
- $\alpha: \Delta W = 0,1808 \text{ m}$
- $\beta: \Delta W = 0,1062 \text{ m}$

$\bar{w} = 0,1612 \text{ m} \rightarrow 16,1 \text{ cm}$
 $\bar{v}_e = \bar{v}_e / c_d = 0,06746 \text{ m} \hat{=} 6,7 \text{ mm}$

$\xi = \xi' = 0,5$



NACHWEIS BIEGEDRILLKNICKEN

RAHMENSTIEL ①

$N = 179,1 \text{ kN (DRUCK)}$

$S_x = l = 1,0 \text{ m}$ (GABELLAGERUNG)

$N_{K1,2} = \frac{\pi^2 \cdot E J_z}{l^2} = 27360 \text{ kN}$

$\bar{c} = 376,1 \text{ cm}^2, z_p = t, \psi = 1,0, \bar{h} = 1,0$

$\Pi_{K1,2} = 5445 \text{ kNm}, \bar{\lambda}_{\Pi} = 0,2287 < 0,4 \rightarrow k_{\Pi} = 1,0$

$\bar{\lambda}_{\bar{z}} = 0,2596 \text{ KN-SPINNIE } \textcircled{b} \alpha = 0,34 \quad k_{\bar{z}} = 0,9788$

BIEGEDRILLKNICKNACHWEIS:

$\frac{N}{k_{\bar{z}} \cdot N_{K1,2}} = \frac{179,1}{0,9788 \cdot 1844} = 0,09923 < 0,10$

$\frac{\Pi}{k_{\Pi} \cdot \Pi_{K1,2}} = \frac{2687}{1,0 \cdot 2854} = 0,9422 < 1,0$

RAHMENSTIEL ③

$N = 179,7 \text{ kN (DRUCK)}$

$S_x = l = 1,0 \text{ m}$

$\Pi_{K1,2} = 27116 \text{ kNm}$ (GABELLAGERUNG)

$k_{\bar{z}} = 0,9788$ (SIEHE VOR)

$k_{\Pi} = 1,0$ (SIEHE VOR)

BIEGEDRILLKNICKNACHWEIS:

$\frac{N}{k_{\bar{z}} \cdot N_{K1,2}} < 0,10: \frac{\Pi}{k_{\Pi} \cdot \Pi_{K1,2}} = \frac{2716}{1,0 \cdot 2854} = 0,9523 < 1,0$

$S_x = l = 1,0 \text{ m}$

$\Pi_{K1,2} = 2854 \text{ kNm}$ (GABELLAGERUNG)

$N_{K1,2} = \frac{\pi^2 \cdot E J_z}{l^2} = 27360 \text{ kN}$

$\bar{c} = 376,1 \text{ cm}^2, z_p = t, \psi = 0,67, \bar{h} = 1,254$

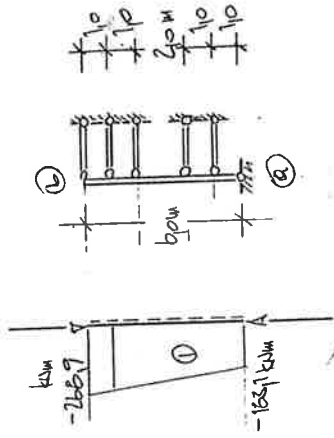
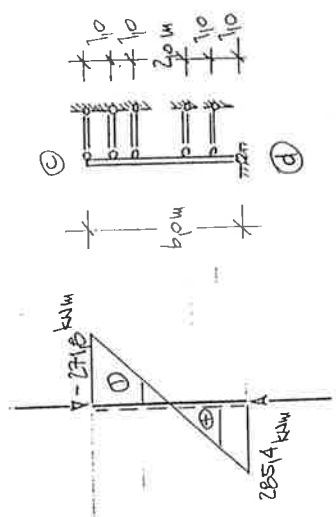
$\Pi_{K1,2} = 6625 \text{ kNm}, \bar{\lambda}_{\Pi} = 0,2144 < 0,4 \rightarrow k_{\Pi} = 1,0$

$\bar{\lambda}_{\bar{z}} = 0,2723 \text{ KN-SPINNIE } \textcircled{b} \alpha = 0,34 \quad k_{\bar{z}} = 0,9742$

BIEGEDRILLKNICKNACHWEIS:

$\frac{N}{k_{\bar{z}} \cdot N_{K1,2}} = \frac{179,7}{0,9742 \cdot 1844} = 0,09970 < 0,10$

$\frac{\Pi}{k_{\Pi} \cdot \Pi_{K1,2}} = \frac{2854}{1,0 \cdot 2854} = 1,0 \leq 1,0$



A4.16 GEBRAUCHSTAUGLICHKEIT - (EINGESPANNTE STIELE)

RIEDEL ②
 $N = 87,45 \text{ kN}$ (DRUCK)

$Q_3 \text{ FÜR } \Pi_y = 285,4 \text{ kNm}$
 $S_k = l = 10 \text{ m}$ (GABELLAGERUNG) - 269

$K_2 = 9,7742$ (SIEHE VOR)
 $N_{K12} = 27360 \text{ kN}$, $C^2 = 3761 \text{ cm}^2$, $\bar{z}_1 = -200 \text{ cm}$, $\psi = 10 \rightarrow \bar{z}_1 = 10$

$\Pi_{K11,y} = 3356 \text{ kNm}$, $\bar{\lambda}_1 = 0,3057 < 0,4 \rightarrow K_{11} = 1,0$

BIEGEDRILLKNICKNACHWEIS:
 $\frac{N}{k_z \cdot N_{K12}} < 0,10 : \frac{\Pi}{k_{11} \cdot \Pi_{K11,y}} = \frac{285,4}{10 \cdot 3356} = 1,0 \leq 1,0 \checkmark$

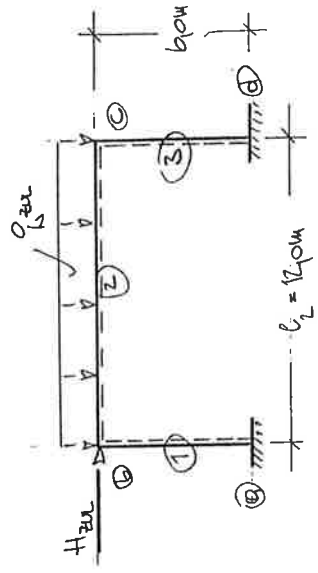
b) FÜR $\Pi_y = -271,6 \text{ kNm}$

$S_k = l = 10 \text{ m}$ (GABELLAGERUNG)
 $K_2 = 9,8630$ (SIEHE VOR)
 $N_{K12} = 6840 \text{ kN}$, $C^2 = 4154 \text{ cm}^2$, $\bar{z}_1 = +$, $\psi = +$, $\bar{z}_1 = +$, $\bar{\lambda}_1 = 1,77$
 $\Pi_{K11,y} = 2468 \text{ kNm}$, $\bar{\lambda}_1 = 0,8009 < 0,40 \rightarrow K_{11} = 1,0$

BIEGEDRILLKNICKNACHWEIS:
 $\frac{N}{k_z \cdot N_{K12}} < 0,10 : \frac{\Pi}{k_{11} \cdot \Pi_{K11,y}} = \frac{271,6}{10 \cdot 2468} = 0,9523 \leq 1,0 \checkmark$

$-\frac{Q_{ZUL} \cdot l_2}{H_{ZUL}} = 5$

IFE 400 St 37
 $J = 23130 \text{ cm}^4$
 $E = 21 \cdot 10^4 \text{ kN/cm}^2$



ANNAHME: KEIN ANSATZ VON VORVERFORMUNGEN

TEILSICHERHEITSBEIWERTE: $\gamma_F = 1,0$, $\psi = 1,0$ (ANNAHME)
 $\gamma_H = 1,0$

Q_{ZUL}, H_{ZUL} :

STÄNDIGE EINWIRKUNG ... $\gamma_F = 1,35$

VERÄNDERL. ... $\gamma_F = 1,5$

$Q_d = Q \cdot \gamma_F + p \cdot \gamma_F \cdot \psi = 1,35 \cdot Q_{ZUL}$

v. TH. I. ORD.

$Q_d \text{ kNm}$	-	19,1	22,6
Q_{ZUL}	1,0	14,15	16,89
Π_b	-6,70	-97,64	-116,5
Π_c	-12,30	-174,0	-207,7
$\int \eta$	-	94625	94625
$\max \Pi$	-	1203	143,6
$\bar{\Pi}_c$	630	89,15	106,4

	$\Delta W \text{ [m]}$
Q_{ZUL}	14,15
Π_b	-901644
Π_c	-903126
Q_i	0,07612
W	901642
$\bar{\Pi}_c$	901101

$C = 8096 \text{ kNm}$

11. TH. II ORD - ω -VERFAHREN

ω	1,017	$\omega = 1,021$
q_d	19,0	22,7
q_{zul}	1407	1681
\bar{p}_b	-6854	-6843
\bar{p}_c	-1235	-1236
ξ_{II}	-	94617
$\bar{m}_{max,II}$	-	1430
\bar{v}_c	6467	6432

$\Delta W [m]$	14,07	16,81
$\bar{p}_{b,2}$	-0,1612	-0,2172
$\bar{p}_{c,2}$	-0,0310	-0,0330
$\bar{p}_{c,1}$	0,0776	0,0726
\bar{m}	0,2624	0,3376
\bar{v}_c	0,1114	0,1335

$$\varepsilon = c \cdot \sqrt{\frac{N}{EJ}}$$

11. TH. I. ORDNUNG (EXACT)

$q_d = 19,0 \text{ kN/m} \rightarrow q_{zul} = 14,07 \text{ kN/m}$

\bar{p}_b	\bar{p}_c	\bar{v}_c	F_1	F_2	F_3	ξ_s	λ_s	ν_s
5181	1003	-0,9990	3992	2002	5994	3992	2002	5994
1003	5980	-0,9988	3978	2005	-	1989	1003	-
-0,9990	-0,9988	0,6623	3991	2002	5993	3991	2002	5993

\bar{p}_b	\bar{p}_c	\bar{v}_c	LF
5181	1003	-0,9990	167,3
1003	5980	-0,9988	-167,3
-0,9990	-0,9988	0,6623	33,77
\bar{p}_b	\bar{p}_c	\bar{v}_c	
4684	-21,19	87,69	

$$[A] \cdot \{X\} = -\{B\}$$

$$\varphi_i = \varphi/c$$

$$c = 6096 \text{ kN/m}$$

$$q_d = 22,6 \text{ kN/m} \rightarrow q_{zul} = 16,74 \text{ kN/m}$$

\bar{p}_b	\bar{p}_c	\bar{v}_c	F_1	F_2	F_3	ξ_s	λ_s	ν_s
95	10	0,255	3991	2002	5993	3991	2002	5993
65	95	0,4570	3974	2006	-	1987	1003	-
110	10	0,255	3989	2003	5992	3989	2003	5992

$$[A] \cdot \{X\} = -\{B\}$$

\bar{p}_b	\bar{p}_c	\bar{v}_c	LF
5976	1003	-0,9988	201,5
1003	5976	-0,9987	-201,5
-0,9988	-0,9987	0,6616	40,16
\bar{p}_b	\bar{p}_c	\bar{v}_c	
5580	-2522	1669	

$$q_d = 27,9 \text{ kN/m} \rightarrow q_{zul} = 22,15 \text{ kN/m}$$

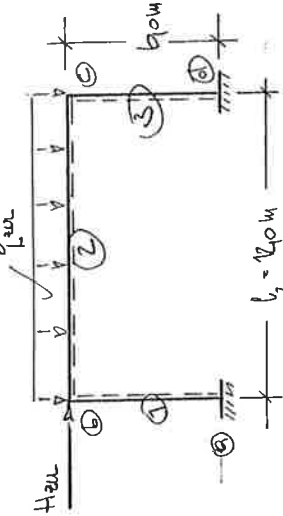
\bar{p}_b	\bar{p}_c	\bar{v}_c	F_1	F_2	F_3	ξ_s	λ_s	ν_s
135	10	0,3163	3987	2003	5990	3987	2003	5990
80	95	0,4870	3968	2008	-	1984	1004	-
140	10	0,3221	3986	2003	5990	3986	2003	5990

$$[A] \cdot \{X\} = -\{B\}$$

\bar{p}_b	\bar{p}_c	\bar{v}_c	LF
5971	1004	-0,9983	266,9
1004	5970	-0,9983	-266,9
-0,9983	-0,9983	0,6599	54,23
\bar{p}_b	\bar{p}_c	\bar{v}_c	
7448	-3300	144,9	

A411 BERECHNUNG NACH O-NORM 3 4000 - (EINGESPANNTE STEILE)

	AN [m]		
q_{zul}	14,07	1674	22,15
Π_b	-901870	-902233	-902949
Π_c	-903163	-903603	-905083
q_n	907896	909427	91253
w	902845	903391	904470
σ_c	901108	901320	901770



$$\frac{q_{zul} \cdot l_2}{H_{zul}} = 5$$

I PE 400
St 360 EF
J = 23 130 cm⁴
E = 21 · 10⁴ kN/cm²

1. ANNAHME:

$$q_{zul} = 15146 \text{ kN/m} \rightarrow H_{zul} = 37110 \text{ kN}$$

$$\begin{aligned} \max \Pi &= \Pi_{ca} = q \cdot [-960 - 135 \cdot (20)] = -170,2 \text{ kNm} \\ \Pi_{bc} &= q \cdot [-960 + 135 \cdot (20)] = -106,7 \text{ kNm} \\ \Pi_{dc} &= q \cdot [480 + 225 \cdot (20)] = 143,6 \text{ kNm} \\ \max Q &= Q_{db} = q \cdot [-60 - 9225 \cdot (20)] = -997,2 \text{ kN} \\ H_{ca} &= -997,2 \text{ kN} \\ H_{bc} &= q \cdot [-240 - 960 \cdot (20)] = -55166 \text{ kN} \end{aligned}$$

ORT UND GRÖSSE VON $\max \Pi_F$ - STAB 2

$$\begin{aligned} \xi_{\Pi} &= \frac{1}{2} - \frac{\Pi_{bc} - \Pi_{ca}}{q \cdot l_2} = -0,4625 \quad \chi_{\Pi} = 51550 \text{ m} \\ \max \Pi_F &= \Pi_{bc} + \frac{1}{2} \cdot q \cdot \xi_{\Pi} \cdot l_2 = 131,4 \text{ kNm} \end{aligned}$$

NACHWEISE:

ALTERN. SPANNUNGSNACHWEIS:

$$\begin{aligned} \max \sigma: \quad \frac{N}{A} + \frac{\Pi}{I \cdot W} &= \frac{997,2}{8415} + \frac{170,2}{107 \cdot 1160} = 1650 \text{ kN/cm}^2 = 68 \text{ N} \\ \max \tau: \quad \tau &= \frac{Q \cdot S}{J \cdot t} = \frac{997,2 \cdot 654}{23130 \cdot 980} = 3,79 \text{ kN/cm}^2 \leq \tau_{zul} = 10 \text{ kN/cm}^2 \checkmark \end{aligned}$$

q_{zul}	14,07	1674	22,15
Π_b	-97738	-1159	-1523
Π_c	-1742	-2074	-2762
Π_0	12430	12510	13450
Π_1	25100	25300	27260
V	90526	901661	901884
ξ_{Π}	94622	94622	94613
$\max \Pi_F$	121,1	1417	1724

$$\Pi_{el} = f_{y,d} \cdot H_{el} = 240/10 \cdot 1160 = 2784 \text{ kNm} \rightarrow$$

→ REIN ELAST. VERHALTEN DER SYSTEME

VERGLEICHSSPANNUNG

$$\sigma = 17,58 \text{ kN/cm}^2 \cdot z = \frac{65160 \cdot 4176}{13130 \cdot 966} = 1314 \text{ kN/cm}^2$$

$$\sigma_v = \sqrt{\sigma^2 + 3\tau^2} = 1773 \text{ kN/cm}^2 < \sigma_p = 190 \text{ kN/cm}^2 \checkmark$$

KNICKNACHWEIS:

(VERSCHIEBL. SYSTEM; DOPPELSTAB. R.S.)

STIEL ③:

KN - IN DER POTENTIELENEBE

$$\beta_k = 1,29 \text{ (SIEHE VORBER)}, s_k = 129 \cdot 600 = 77400 \text{ cm}, i_j = 165 \text{ cm}$$

$$\lambda_j = 4691 \rightarrow \sigma_{k,zul} = 144 \text{ kN/cm}^2$$

$$\frac{\sigma_{k,zul}}{\sigma_{k,zul}} \cdot \frac{N}{A} + 0,9 \cdot \frac{P}{W} = \frac{165}{144} \cdot \frac{9972}{845} + 0,9 \cdot \frac{19020}{1100} = 1594 \text{ kN/cm}^2$$

$$\sigma_{k,verh} = 1594 \text{ kN/cm}^2 < \sigma_{k,zul} = 165 \text{ kN/cm}^2 \checkmark$$

KN - L ZUR POTENTIELENEBE

$$s_k = 3090 \text{ cm (SIEHE BDKN)}, i_z = 375 \text{ cm}$$

$$\lambda_z = 7595 \rightarrow \sigma_{k,zul} = 121 \text{ kN/cm}^2$$

$$\sigma_{k,verh} = \frac{9972}{845} = 1180 < \sigma_{k,zul} = 121 \text{ kN/cm}^2 \checkmark$$

RIEGEL ②:

KN - IN DER POTENTIELENEBE

$$\beta_k \text{ aus } N_{k,system} \rightarrow \lambda_j \text{ GLEICH } \lambda_{j,STIEL} \text{ UND } N_{k,verh} < N_{STIEL}$$

\rightarrow NW. ERBRACHT - SIEHE STIEL

KN \perp ZUR POTENTIELENEBE

$$s_k = 310 \text{ cm}, N_{k,verh} < N_{STIEL} \rightarrow \text{NACHWEIS ERBRACHT (SIEHE STIEL)}$$

BIEGEDRILLKNICKEN:

$b < l$ \rightarrow VEREINFACHTER NACHWEIS DURCH KNICKNACHWEIS DES

KURTES



STIEL ③

$$N = 9972 \text{ kN (DRUCK)}$$

$$a) \text{ FÜR } \eta_y = -1902 \text{ kNm}$$

$$p_0/p_1 = 0,73 \rightarrow \beta = 0,735 \text{ (SIEHE VORBER)}$$

$$\lambda_z = \frac{935}{517,6} = 1,809 \rightarrow \sigma_{k,zul} = 165 \text{ kN/cm}^2$$

$$\sigma_{k,verh} = \frac{9972}{845} + \frac{1902}{107 \cdot 1100} = 16,5 \text{ kN/cm}^2 < \sigma_{k,zul} \checkmark$$

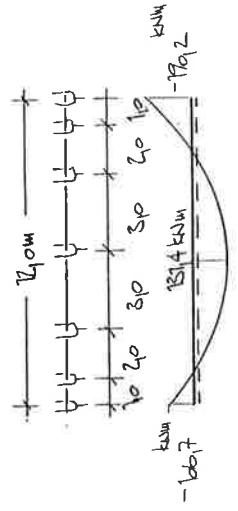
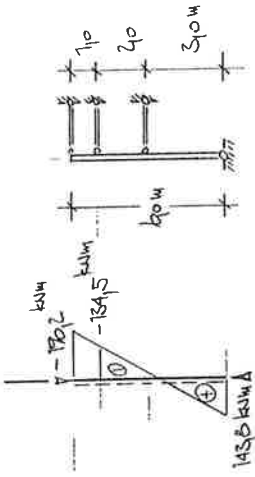
$$b) \text{ FÜR } \eta_y = 1438 \text{ kNm}$$

$$l = 310 \text{ cm} \approx s_k, \lambda_z = 5774 \rightarrow \sigma_{k,zul} = 1302 \text{ kN/cm}^2$$

$$\sigma_{k,verh} = \frac{9972}{845} + \frac{14380}{107 \cdot 1100} = 12,77 \text{ kN/cm}^2 < \sigma_{k,zul} = 1302 \text{ kN/cm}^2 \checkmark$$

RIEGEL ②

$$N = 55166 \text{ kN (DRUCK)}$$



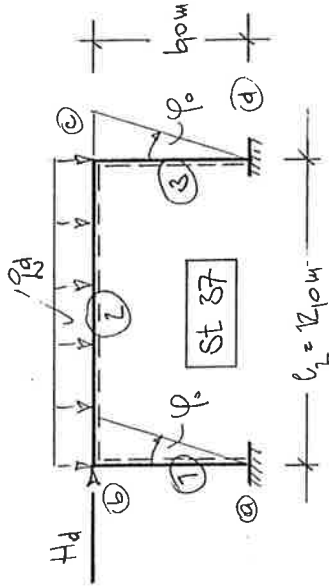
5. BEISPIEL

4.5.1 BERÜCKSICHTIGUNG DER KNOTENNACHGIEBIGKEIT

INFERN EINER POTENTENFEDER MIT ENTSPRECHENDER FEDERCHARAKTERISTIK JE NACH KNOTENAUSBILDUNG UND PROFILTYPEN

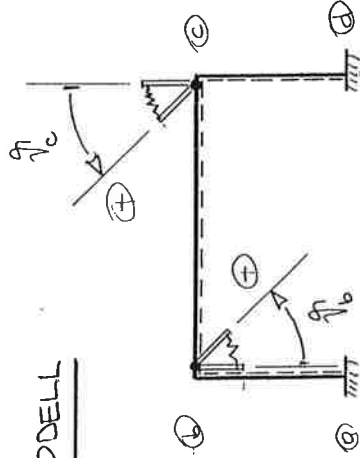
DIE NACHGIEBIGKEIT DER KNOTEN WIRD DURCH ÜBERLAGERUNG VON "KNICKWINKELN" BERÜCKSICHTIGT, NICHT DURCH SYSTEMÄNDERUNG!

SYSTEM UND BELASTUNG



IPE 400
 $E = 21 \cdot 10^4 \text{ kN/cm}^2$
 $G = 81 \cdot 10^3 \text{ kN/cm}^2$
 $\gamma_H = 1,1$

MODELL



a) FÜR $\Pi_1 = 131,4 \text{ kNm}$

$l = 3,0 \text{ m} = s_k \quad \lambda_z = 5774 \rightarrow \sigma_{k,zu} = 1362 \text{ kN/cm}^2$

$\sigma_{k,verh} = \frac{55166}{84,5} + \frac{13140}{107,1160} = 1125 \text{ kN/cm}^2 < \sigma_{k,zu} = 1362 \text{ kN/cm}^2 \checkmark$

b) FÜR $\Pi_1 = 190,2 \text{ kNm}$

$l = 1,0 \text{ m} \quad \rho_0/\rho_1 = 0,6 \quad \lambda_z = 9701 \quad \sigma_{k,zu} = 1734 \rightarrow \sigma_{k,zu} = 165 \text{ kN/cm}^2$

$\sigma_{k,verh} = \frac{55166}{84,5} + \frac{19020}{107,1160} = 1596 \text{ kN/cm}^2 < \sigma_{k,zu} \checkmark$

NACHWEIS VON GRENZE (b/t)

a) STEG

$h = \bar{h} - 2t_f - r = 351,2 \text{ cm} \quad t = 0,86 \text{ cm} \quad \lambda = 40,91 \leq 70$

$\text{VORH} (h/t) = \frac{351,2}{0,86} = 40,93 < \text{GRENZE} (h/t) = 49 \checkmark$

b) FLANSCH

$\rho_1 = b/t_c = \rho_{1,cm1}, \quad t_c = 1,35 \text{ cm} \quad \lambda = 40,91 \leq 80$

$\text{VORH} (h/t) = \frac{70}{1,35} = 51,85 < \text{GRENZE} (h/t) = 80 + 0,1 \cdot \lambda = 127 \checkmark$

VERTIKALUNGEN

$\Pi_1: \Delta W = -0,02015 \text{ m}$

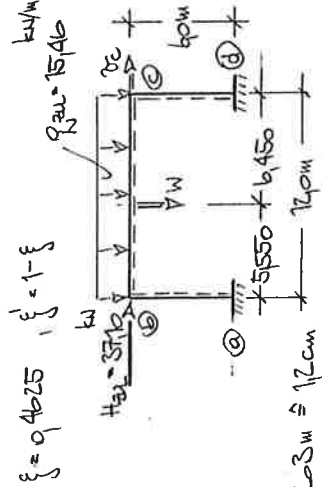
$\Pi_2: \Delta W = -0,03417 \text{ m}$

$\rho_1: \Delta W = 0,08536 \text{ m}$

$\bar{W} = 0,03104 \text{ m} \approx 3,1 \text{ cm}$

$\bar{v}_c = \bar{v}_c/C = \frac{1}{C} \cdot [3150 \cdot (2 \cdot 0)] \cdot \rho_1 = 0,01203 \text{ m} \approx 1,2 \text{ cm}$

$C = \frac{EJ}{l^3} = 8096 \text{ kNm}$



FEDERCHARAKTERISTIK

5.2

STEIFENLOSER KNOTEN

EINLEITUNGSFEDER:

ELAST. BEREICH:

ANNAHME: $a = 7 \text{ mm}$ (STRICH)

$$l_0 = t_k + 2 \cdot \sqrt{2} \cdot a + 2 \cdot (l_s + t_s)$$

$$l_0 = 135 + 2 \cdot \sqrt{2} \cdot 0,7 + 2 \cdot (21 + 1,35) = 162,3 \text{ cm}$$

$$A_c = l_0 \cdot s_s = 162,3 \cdot 0,86 = 140,6 \text{ cm}^2$$

$$(l_k - t_k) = 400 - 1,35 = 398,65 \text{ cm}$$

$$f_{1/2} = 2410 \text{ KN/cm}^2$$

$$\Pi_{EE} = f_y \cdot A_c \cdot (l_k - t_k)$$

$$\Pi_{EE} = 8161 \text{ kNm}$$

$$C_E = \frac{(l_k - t_k)^2}{2} \cdot C_E$$

$$C_E = 8,963 \cdot 10^4 \text{ kNm/RAD} = C_{Ed}$$

PLAST. BEREICH:

$$l_p = t_k + 2 \cdot \sqrt{2} \cdot a + 5 \cdot (l_s + t_s)$$

$$l_p = 135 + 2 \cdot \sqrt{2} \cdot 0,7 + 5 \cdot (21 + 1,35) = 205,8 \text{ cm}$$

$$A_p = l_p \cdot s_s = 205,8 \cdot 0,86 = 177,0 \text{ cm}^2$$

$$\Pi_{pE} = f_y \cdot A_p \cdot (l_k - t_k)$$

$$\Pi_{pE} = 16412 \text{ kNm}$$

ANNAHME: $a = 7 \text{ mm}$ (STRICH)

$$= 162,3 \text{ cm}$$

$$= 140,6 \text{ cm}^2$$

$$= 398,65 \text{ cm}$$

$$f_{1/2} = f_{yk} / \gamma_{F1} = 2102 \text{ KN/cm}^2$$

$$\Pi_{EEd} = 7420 \text{ kNm}$$

$$C_E = 12000 \text{ kJ/cm}$$

$$= C_{Ed}$$

QUERKRAFTFEDER

ELAST. BEREICH

$$\Pi_{eR} = Q_{ps} \cdot (l_k - t_k)$$

$$Q_{ps} = 4606 \text{ kN}$$

$$\Pi_{eR} = 17810 \text{ kNm}$$

$Q_{ps,d} = 4198 \text{ kN}$ (SIEHE NOCHER)

$$\Pi_{eR,d} = 1619 \text{ kNm}$$

$$C_R = s_s \cdot (l_k - t_k) \cdot (l_s - t_s) \cdot C$$

$$C_R = 1,041 \cdot 10^5 \text{ kNm/RAD}, C_{R,d} = 9460 \cdot 10^4 \text{ kNm/RAD}$$

$$\dot{\gamma}_{eR} = \frac{\Pi_{eR}}{C_R}$$

$$\dot{\gamma}_{eR} = 171 \cdot 10^{-3} \text{ RAD}, \dot{\gamma}_{eR,d} = 171 \cdot 10^{-3} \text{ RAD}$$

PLAST. BEREICH

$$\epsilon_k = \left(1 + 2 \cdot \frac{l_s}{t_s}\right) \cdot \frac{l_s \cdot t_s}{s_s \cdot (l_s - t_s) \cdot (l_k - t_k)} = 0,1050$$

$$\Pi_{pR} = \left(0,86 \cdot \left(1 + \frac{l_k - t_k}{240 \cdot t_s}\right) + 2,624 \cdot \epsilon_k \cdot \left(1 - \frac{0,024 \cdot s_s}{l_k - t_k}\right)\right) \cdot Q_{ps} \cdot (l_k - t_k)$$

$$\Pi_{pR} = 18015 \text{ kNm}, \Pi_{pR,d} = 16411 \text{ kNm}$$

$$\dot{\gamma}_{pE}, \dot{\gamma}_{pR} = \dots$$

ABSCHÄTZUNG VON $\dot{\gamma}_{pE}$ UND $\dot{\gamma}_{pR}$ ANHAND DER TABELLEN

FÜR HEA-IFE ÜBER $\Pi_{pE} = 3737 \text{ kNm}$ UND $\Pi_{pE} = 1642 \text{ kNm}$

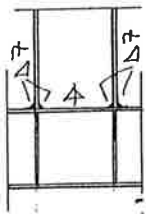
UND $\Pi_{pR} = 18015 \text{ kNm} \rightarrow$

ANNAHME FÜR $\dot{\gamma}_{pE}$: HEA 300 - IFE 400

ANNAHME FÜR $\dot{\gamma}_{pR}$: HEA 260 - IFE 400

$$\dot{\gamma}_{pE} = 153 \cdot 10^{-3} \text{ RAD}$$

$$\dot{\gamma}_{pR} = 154 \cdot 10^{-3} \text{ RAD}$$



KNOTEN MIT EINLEITUNGSSTEIFEN

DIE EINLEITUNGSSTEIFEN WERDEN SO GEWÄHLT, DASS $\Pi_{PE} = \Pi_{PR} = 180,5 \text{ kNm}$ - (QUERKRAFTFEDER MASSGEBEND)

EINLEITUNGSFEDER:

PLAST. BEREICH:

$$\Pi_{PE} = f_y \cdot A_p \cdot (l_k - t_k) + f_y \cdot A_{SE} \cdot (l_k - t_k) = 180,5 \text{ kNm}, \quad \Pi_{PE,d} = 180,5 \text{ kNm}$$

$$\Pi_{PE} = 180,5 + \Delta \Pi_{SE} = 180,5 \text{ kNm} \rightarrow \Delta \Pi_{SE} = 0 \text{ kNm}$$

$$\Rightarrow \text{BRF } A_{SE} = \frac{\Delta \Pi_{SE}}{f_y \cdot (l_k - t_k)} = 1757 \text{ cm}^2$$

ELAST. BEREICH:

$$\Pi_{EE} = 81161 \text{ kNm} + \Delta \Pi_{SE} = 77,91 \text{ kNm}, \quad \Pi_{EE,d} = 87,01 \text{ kNm}$$

$$C_E = \left(1 + \frac{A_{SE}}{A}\right) \cdot \frac{(l_k - t_k)}{2} \cdot C_E \quad C_E = 12000 \text{ kNm/rad}$$

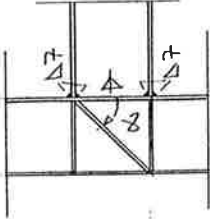
$$C_E = 1,075 \cdot 10^5 \text{ kNm/rad} = C_{EA}$$

QUERKRAFTFEDER:

UNVERÄNDERT

A.5.4

KNOTEN MIT EINLEITUNGS- UND DIAGONALSTEIFEN



DIE STEIFEN WERDEN SO GEWÄHLT, DASS $\Pi_{PE} = \Pi_{PR} = \Pi_{PE,RIEGEL} = 313,9 \text{ kNm}$ ($\Pi_{PE,d} = 265,4 \text{ kNm}$)

EINLEITUNGSFEDER

PLAST. BEREICH:

$$\Pi_{PE} = 180,5 + \Delta \Pi_{SE} = 313,9 \text{ kNm}, \quad \Pi_{PE,d} = 265,4 \text{ kNm}$$

$$\Rightarrow \text{BRF } A_{SE} = \frac{\Delta \Pi_{SE}}{f_y \cdot (l_k - t_k)} = 16,14 \text{ cm}^2$$

ELAST. BEREICH:

$$\Pi_{EE} = 81161 + \Delta \Pi_{SE} = 2317 \text{ kNm}, \quad \Pi_{EE,d} = 2103 \text{ kNm}$$

$$C_E = \left(1 + \frac{A_{SE}}{A}\right) \cdot \frac{(l_k - t_k)}{2} \cdot C_E \quad C_E = 12000 \text{ kNm/rad}$$

$$C_E = 2,541 \cdot 10^5 \text{ kNm/rad} = C_{EA}$$

QUERKRAFTFEDER:

PLAST. BEREICH:

$$\Pi_{PR} = 180,5 + \Delta R_{PS} \cdot (l_k - t_k) = 313,9 \text{ kNm}, \quad \Pi_{PR,d} = 265,4 \text{ kNm}$$

$$\Rightarrow \Delta R_{PS} = 345,1 \text{ kN}, \quad \Delta R_{PS,d} = 313,6 \text{ kN}$$

ANNAHME: DIAGONALSTEIFE:

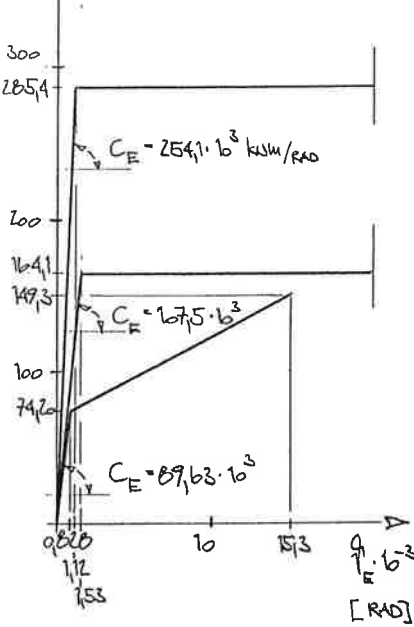
$$\Delta R_{PS} = A_{SE} \cdot f_y \cdot \sin \alpha$$

EINLEITUNGSFEDER ⊕

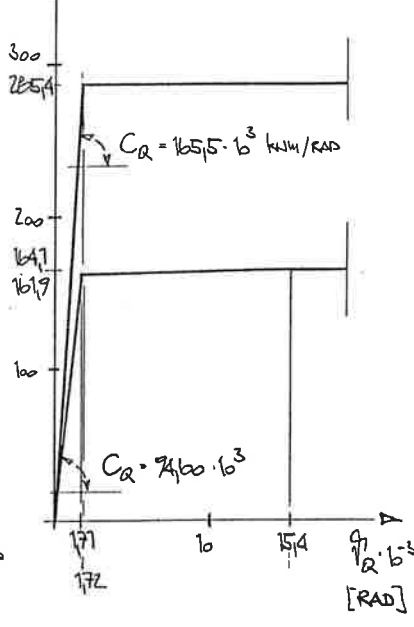
QUERKRAFTFEDER ⊕

⊖ KNOTENFEDER

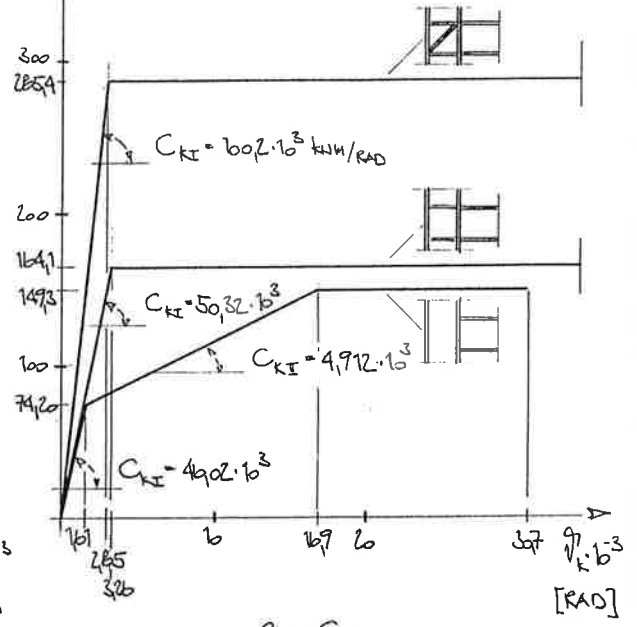
$\Pi_E \Delta$ [kNm]



$\Pi_Q \Delta$ [kNm]



$\Pi_K \Delta$ [kNm]



$$C_{KI} = \frac{C_E \cdot C_Q}{C_E + C_Q}$$

A 5.5 FEDERCHARAKTERISTIKA - TRAGLASTZUSTAND

$$\frac{ERF A_{st}}{f_y \cdot s_{ind}} = \frac{\Delta R_{ps}}{f_y \cdot s_{ind}} = 29,34 \text{ cm}^2$$

ELAST. BEREICH:

$$\Pi_{QR,d} = 1790 + \Delta R_{ps} \cdot (h_k - t_k) = 311,4 \text{ kNm} \quad \Pi_{QR,d} = 285,2 \text{ kNm}$$

$$\bar{s}_s = \bar{s}_s + \frac{A_{st} \cdot s_{ind} \cdot \sqrt{3}}{(h_s - t_s)} = 150,5 \text{ cm} \quad (\text{FÜR DIAGONAL-SEITE})$$

$$C_Q = \bar{s}_s \cdot (h_k - t_k) \cdot (h_s - t_s) \cdot C = 1,621 \cdot 10^5 \text{ kNm/RAD}$$

$$C_{QR,d} = 1,655 \cdot 10^5 \text{ kNm/RAD}$$

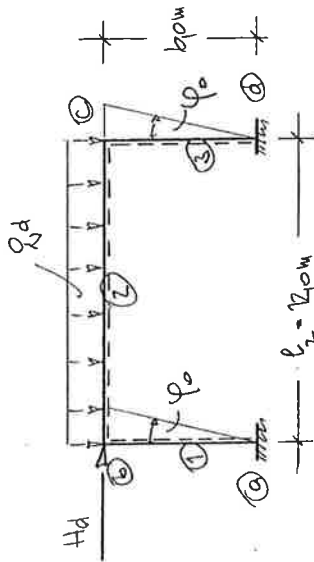
$$\frac{\Pi_{QR,d}}{C_{QR,d}} = \frac{\Pi_{QR}}{C_Q} = 171 \cdot 10^{-3} \text{ RAD} \quad \frac{\Pi_{QR,d}}{C_{QR,d}} = 171 \cdot 10^{-3} \text{ RAD}$$

ASZIELASTIZITÄTSTHEORIE I ORD. - (ELAST. ELAST.)



(STEIFENLOS)

NIT ELAST. NACHGIERIGEN KNOTEN



$$\frac{q_d \cdot l_2}{H_d} = 5$$

IPE 400 - St 37

J = 23.130 cm⁴

E = 21 · 10⁴ kN/cm²

γ_n = 11

φ₀ = 9002598 (WIKWERDR.)

1. ANNAHME:

$$q_d = 674 \text{ kN/m} \rightarrow H_d = 1616 \text{ kN}$$

$$C_d = \frac{N_s}{(EJ)_d} = 7360 \text{ kNm}$$

⑤	N _s	l _s /l _s	ε _s	F ₁	F ₂	F ₃	χ _s	χ _s	γ _s
①	40	10	91806	3996	2001	5997	3996	2001	5997
②	25	95	92855	3989	2003	-	1995	1002	-
③	45	10	91915	3995	2001	5996	3995	2001	5996

BERECHNUNG NACH DER DEFORMATIONSMETHODE

$$[A] \cdot \{X\} + \{B\} = \{F\}$$

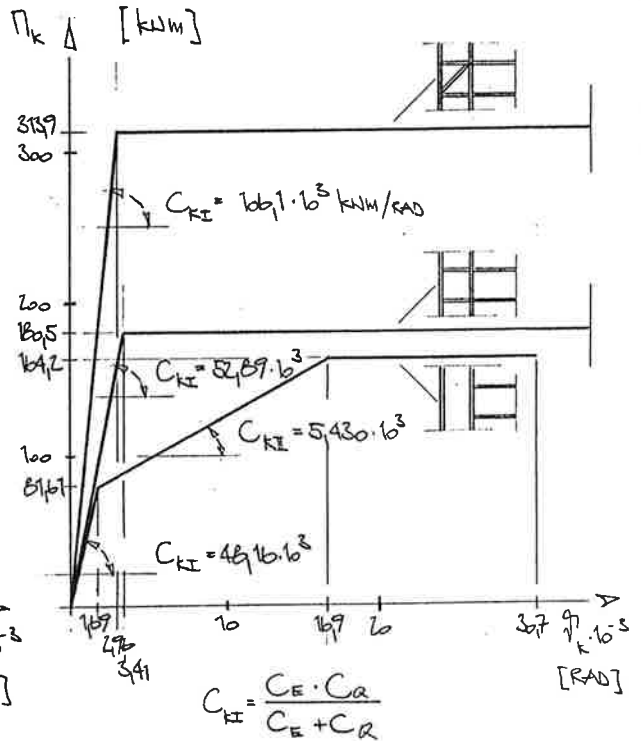
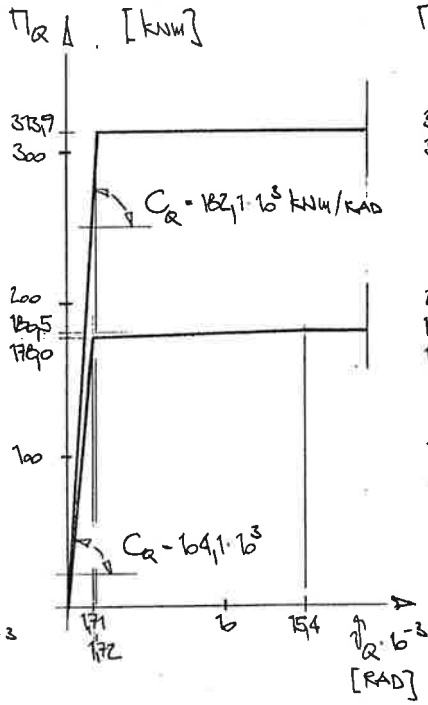
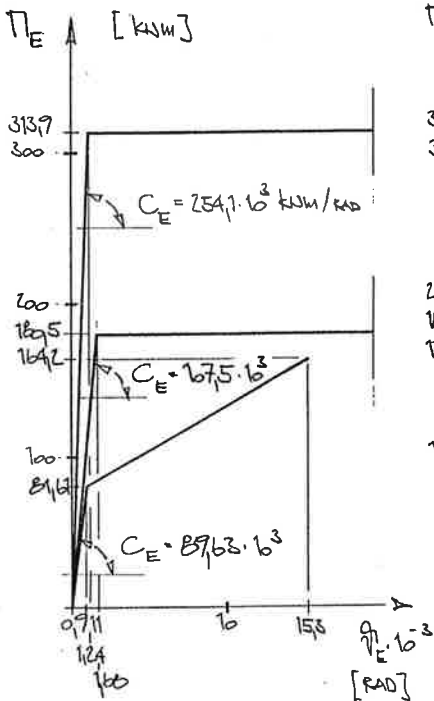
UNBEKANNTES:

$$\varphi_0, \varphi_c, \varphi_b, \varphi_c \text{ (SYSTEM MIT NACHGIERIGEN KNOTEN)}$$

EINLEITUNGSFEDER ⊕

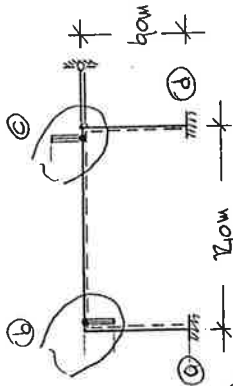
QUERKRAFTFEDER ⊖

KNOTENFEDER



A.5.6 FEDERCHARAKTERISTIKA - GEBRAUCHSLASTZUSTAND

KOEFFIZIENTEN:



LF $\bar{\varphi}_c = 10$:

$a_{11} = \kappa_1 + \kappa_2 = 5991$

$a_{21} = \lambda_2 = 1002$
 $a_{31} = -\frac{1}{l_1} \cdot \eta_1 = -0.9995$

$a_{41} = -\kappa_2 = -1995$
 $a_{51} = -\lambda_2 = -1002$

LF $\bar{\varphi}_c = 10$:

$a_{12} = \kappa_2 + \kappa_3 = 5990$
 $a_{22} = a_{11} = 1002$
 $a_{32} = -\frac{1}{l_3} \cdot \eta_3 = -0.9993$

$a_{42} = -\lambda_2 = -1002$
 $a_{52} = -\kappa_2 = -1995$

LF $\bar{\varphi}_c = 10$:

$a_{13} = a_{31} = -0.9995$
 $a_{23} = a_{32} = -0.9993$

$a_{33} = \frac{1}{l_1} \cdot 2 \cdot \eta_1 - \frac{N_1}{l_1 \cdot C_d} + \frac{1}{l_2} \cdot 2 \cdot \eta_3 - \frac{N_3}{l_2 \cdot C_d} = 0.6644$
 $a_{43} = a_{33} = -0.4355$

LF $\bar{\eta}_b = 10$:

$a_{14} = a_{41} = -\kappa_2 = -1995$
 $a_{24} = a_{42} = -\lambda_2 = -1002$

$a_{34} = \lambda_2 = 1002$
 $a_{54} = \lambda_2 = 1002$

LF $\bar{\eta}_c = 10$:

$a_{15} = a_{51} = -\lambda_2 = -1002$
 $a_{25} = a_{52} = -\kappa_2 = -1995$
 $a_{35} = a_{53} = \lambda_2 = 1002$

$a_{45} = a_{54} = \lambda_2 = 1002$
 $a_{55} = \kappa_2 = 1995$

LF $q_{d1} + d_d$:

$\Pi_{bc}(\bar{\eta}_c) = -0.8345 \cdot \bar{q}_c \cdot \bar{\eta}_c = -80.99 \text{ kNm}$

$a_{10} = -a_{10} = \Pi_{bc} = -80.99 \text{ kNm}$

$a_{30} = -H - \varphi_0 \cdot (N_1 + N_3) = -1640 \text{ kN}$

$a_{40} = -\Pi_{bc} = 80.99 \text{ kNm}$

$\Pi_{bc}(\bar{\eta}_b) = C_{KE} \cdot \bar{\eta}_b = C_{KE} / C_d \cdot \bar{\eta}_b = 6253 \cdot \bar{\eta}_b$

(SIEHE KNOTENFEDERCHARAKTERISTIK)

$a_{30} = \Pi_{b0} = -80.99 \text{ kNm}$

$\Pi_{bc}(\bar{\eta}_c) = C_{KE} \cdot \bar{\eta}_c = -C_{KE} / C_d \cdot \bar{\eta}_c = -6253 \cdot \bar{\eta}_c$

(SIEHE KNOTENFEDERCHARAKTERISTIK)

GLEICHUNGSSYSTEM UND LÖSUNG:

$a_{11} \cdot \bar{\varphi}_b + a_{12} \cdot \bar{\varphi}_c + a_{13} \cdot \bar{\eta}_b + a_{14} \cdot \bar{\eta}_c + a_{15} \cdot \bar{\eta}_c + a_{10} = +$

$a_{21} \cdot \bar{\varphi}_b + a_{22} \cdot \bar{\varphi}_c + a_{23} \cdot \bar{\eta}_b + a_{24} \cdot \bar{\eta}_c + a_{25} \cdot \bar{\eta}_c + a_{20} = +$

$a_{31} \cdot \bar{\varphi}_b + a_{32} \cdot \bar{\varphi}_c + a_{33} \cdot \bar{\eta}_b + a_{34} \cdot \bar{\eta}_c + a_{35} \cdot \bar{\eta}_c + a_{30} = +$

$a_{41} \cdot \bar{\varphi}_b + a_{42} \cdot \bar{\varphi}_c + a_{43} \cdot \bar{\eta}_b + a_{44} \cdot \bar{\eta}_c + a_{45} \cdot \bar{\eta}_c + a_{40} = -\Pi_{bc}(\bar{\eta}_b)$

$a_{51} \cdot \bar{\varphi}_b + a_{52} \cdot \bar{\varphi}_c + a_{53} \cdot \bar{\eta}_b + a_{54} \cdot \bar{\eta}_c + a_{55} \cdot \bar{\eta}_c + a_{50} = -\Pi_{bc}(\bar{\eta}_c)$

$[K] \cdot \{x\} = -\{s\}$

$\bar{\varphi}_b$	$\bar{\varphi}_c$	$\bar{\eta}_b$	$\bar{\eta}_c$	$\bar{\eta}_c$	LF
5991	1002	-0.9995	-1.995	-1002	80.99
1002	5990	-0.9993	-1.002	-1995	-80.99
-0.9995	-0.9993	0.6644	+	+	1640
-1.995	-1002	+	8246 ^(*)	1002	-80.99
-1002	-1995	+	1002	8246 ^(*)	80.99
$\bar{\varphi}_b$	$\bar{\varphi}_c$	$\bar{\eta}_b$	$\bar{\eta}_c$	$\bar{\eta}_c$	DET [K]
22.57	-6.222	49.30	-6.552	11.65	> +

$\varphi_i = \bar{\varphi}_i / C_d$
 $C_d = 7300 \text{ kNm}$

(*) $\bar{a}_{44} = a_{44} + \bar{C}_{KE} = 1995 + 6253 = 8248$

(*) $\bar{a}_{55} = a_{55} + \bar{C}_{KE} = 1995 + 6253 = 8248$

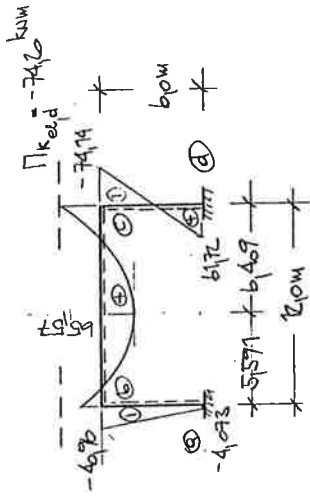
... SYSTEM MIT IDEAL STÄBEN KNOTEN

STABENDTRENTE

$$\begin{aligned} \Pi_{ik} &= \Pi_{ik} + \lambda_s \cdot (\bar{\sigma}_i - \bar{\sigma}_k - \bar{\sigma}_s) + \lambda_s \cdot (\bar{\sigma}_k - \bar{\sigma}_i - \bar{\sigma}_s) \\ \Pi_{ki} &= \Pi_{ki} - \lambda_s \cdot (\bar{\sigma}_i - \bar{\sigma}_k - \bar{\sigma}_s) - \lambda_s \cdot (\bar{\sigma}_k - \bar{\sigma}_i - \bar{\sigma}_s) \end{aligned}$$

TRENTE [kNm]

		$q_d = 674 \text{ kN/m}$	
⑤	i-k	Π_{ik} kNm	Π_{ki} kNm
①	a	+	-4,73
	b	+	-40,99
②	b	-40,99	-40,96
	c	-40,99	-74,14
③	c	+	-74,12
	d	+	61,72



(VERLAUF ZWISCHEN DEN ENDTRENTE NACH TH. I. ORD.)

KONTROLLE: $\Pi_{bc}(\bar{\sigma}_b) = 6253 \cdot \bar{\sigma}_b = -40,97 \text{ kNm} \checkmark$
 $\Pi_{cb}(\bar{\sigma}_c) = -6253 \cdot \bar{\sigma}_c = -74,16 \text{ kNm} \checkmark$

STABENDKRÄFTE R_{ik}

$$R_s = -\frac{1}{\epsilon_s} \cdot (\Pi_{ik} - \Pi_{ki}) - N_s \cdot (\bar{\sigma}_i / \epsilon_s C_d + \varphi_0)$$

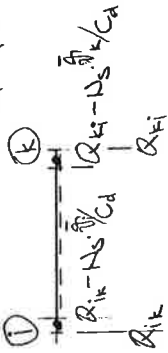
R_{ik} .. QUERKRAFT INFOLGE QUERBELASTUNG

		$q_d = 674 \text{ kN/m}$	
⑤	i-k	R_{ik} kN	R_{ki} kN
①	a	+	-6301
	b	40,44	37168
②	b	-40,44	-43,21
	c	+	22,47

ZH = + / ZV = + ✓

STABENDQUERKRÄFTE R_{ik}

$$R_{ik} = R_{ik} + N_s \cdot (\bar{\sigma}_i / C_d + \varphi_0)$$



		$q_d = 674 \text{ kN/m}$	
⑤	i-k	R_{ik} kN	kN
①	a	-61,97	
	b	-60,74	
②	b	37,76	
	c	-43,23	
③	c	22,55	
	d	22,57	

		$q_d = 674 \text{ kN/m}$	
⑤	i-k	Ns	kN
①	a-b	-37,68	
	b-c	-22,47	
③	c-d	-43,21	

STABENDNORMALKRÄFTE N_s

AUS GLEICHEN. (N <+ DRUCK)

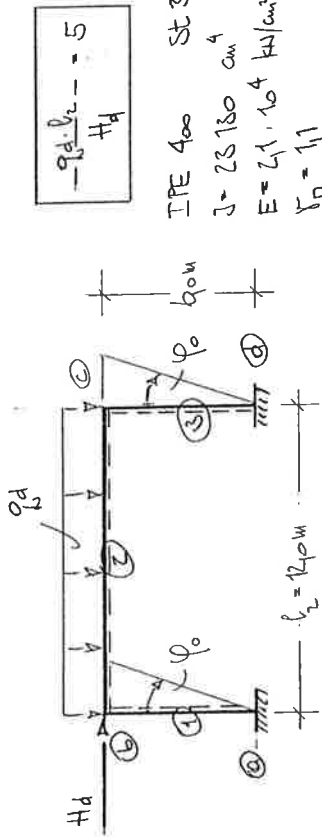
MAX FELD-MOMENT Π_F - STAB ② b-c

$$\begin{aligned} \Pi_b &= \frac{1}{2} \cdot q_d \cdot l^2 \cdot \eta_1 \quad \eta_1 = \frac{\Pi_{ik} + \Pi_{ki} + 2 \cdot \Pi_0}{\cos \epsilon_{ik}} \\ v &= \frac{\Pi_{ik} - \Pi_{ki}}{\Pi_1 \cdot \sin \epsilon_{ik}} \quad \eta_1 = \frac{1}{2} - \frac{1}{6} \cdot \alpha \cdot \eta \cdot v \\ x_{\eta} &= \xi_{\eta} \cdot l \quad [\text{m}] \quad \max \Pi = \frac{1}{2} \cdot (1 + \eta^2) \cdot \Pi_1 - \Pi_0 \quad [\text{kNm}] \end{aligned}$$

		$q_d = 674 \text{ kN/m}$	
Π_0	Π_1	v	ξ_{η}
11910	23750	0,009728	0,4657
x_{η}	51571		
$\max \Pi_F$	65157		

ASTFLIESSCELENKTHEORIE II. ORD. - (PLAST. PLAST.)

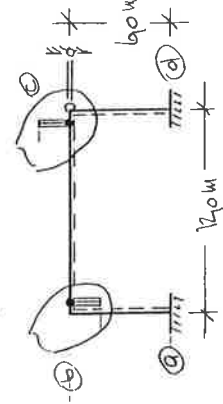
MIT ELAST. PLAST. NACHGIEBIGEN KNOTEN (STEIFELIOS)



1. ANNÄHME
 $q_d = 22.9 \text{ kN/m} \rightarrow H_d = 54.76 \text{ kN}$
 $C_d = 7360 \text{ kNm}$

$\epsilon_s = \epsilon_s \cdot \frac{l_1}{l_2} = \frac{N_s}{(EJ)_d}$

⑤	N_s	l_1/l_2	ϵ_s	F_1	F_2	F_3	χ_s	λ_s	ν_s
①	140	1.0	0.3378	3965	2.004	5787	3785	2.004	5989
②	70	0.5	0.4778	3969	2.008	-	1785	1.004	-
③	145	1.0	0.3438	3984	2.004	5788	3784	2.004	5988



KOEFFIZIENTEN

UNBEKANNTE:

$\phi_1, \phi_2, \epsilon_1, \phi_2, \phi_1$

ERFÜLLUNG WIE VOR (SIEHE E. TH. II. ORD. ELAST. ELAST.)

NACHWEISE

$\max \Pi = -74.14 \text{ kNm}$ - KNOTENMOMENT IN ②
 $\Pi_{d,d} = 233.1 \text{ kNm}$ (RIEGEL BEI. STÜTZE) \rightarrow KNOTENFEDER

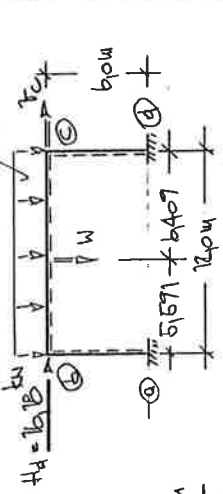
IST TRAGGEBEND (SIEHE FEDERCHARAKTERISTIK)

$\max \Pi = -74.14 \text{ kNm} < \Pi_{k,el,d} = -74.70 \text{ kNm} \checkmark$
 $\max \tau = \tau = \frac{43.23 \cdot 654}{23.130 \cdot 986} = 1.421 \text{ kN/cm}^2 < \tau_{Rd} = 2.260 \text{ kN/cm}^2 \checkmark$

NACHWEIS VON GRENZE (b/t)

ERFÜLLT, SIEHE FG. TH. I. ORD.

VERTORUNGEN:



$\Pi_1: \Delta W = -0.005355 \text{ m}$
 $\Pi_2: \Delta W = -0.002355 \text{ m}$
 $\Pi_3: \Delta W = 0.04132 \text{ m}$
 $\bar{W} = 0.02773 \text{ m} \hat{=} 2.8 \text{ cm}$
 $\bar{\epsilon}_2 = \bar{\epsilon}_2 / C_d = 0.000696 \text{ m} \hat{=} 0.67 \text{ cm}$

BIEGEDRÜCKNACHWEIS:

SIEHE BEISPIEL E. TH. II. ORD.

BERECHNUNG DES SYSTEMS MIT SEITENLOSEN KNOTEN

NACH DEN VERFAHREN - ELAST. PLAST. IST WEGEN DER GROSSEN NICHTLINEARITÄT DER KNOTENFEDER UNZULÄSSIG.

(SIEHE FEDERCHARAKTERISTIK)

LF $q_{d1,hd}$

$\pi_{bc}^0 = \pi_{bc} = -0,06505 \cdot 0 \cdot 0^2 = -275,8 \text{ kNm}$

$q_{s0} = -q_0 - \pi_{bc}^0 = -275,8 \text{ kNm}$

$q_{s0} = -H - q_0 \cdot (N_1 + N_2) = -50,07 \text{ kN}$

$q_{d0} = -\pi_{bc}^0 = 275,8 \text{ kNm}$

$\pi_{bc}(\bar{q}_b) = \pi_k + \bar{C}_{kII} \cdot \bar{q}_b = -66,29 + 0,0674 \cdot \bar{q}_b$

FÜR DIE ANNAHME, DASS $\pi_{bc} < +$ UND $74,205 \leq |\pi_{bc}| \leq 149,3$
 SIEHE TABELLCHARAKTERISTIK - PLAST. BEWEICH

$q_{s0} = \pi_{bc}^0 = -275,80 \text{ kNm}$

$\pi_{bc}(\bar{q}_c) = -149,3 \text{ kNm} = \pi_{k,pl,d} = \text{const.}$

GLEICHUNGSSYSTEM WIE VOR

$[\bar{A}] \cdot \{x\} = -\{s\}$

\bar{q}_b	\bar{q}_c	\bar{q}_e	\bar{q}_f	\bar{q}_g	\bar{q}_h	LF
5970	1004	-9982	-1985	-1004	-95344	275,8
1004	5969	-9980	-1004	-1985	94752	-275,8
-9982	-9980	96569	+	+	+	50,07
-1985	-1004	+	2652 (*)	1004	95344	-269,5
-1004	-1985	+	1004	1985	-94752	26,5
-95344	94752	+	95344	-94752	94710	-147,2
\bar{q}_b	\bar{q}_c	\bar{q}_e	\bar{q}_f	\bar{q}_g	\bar{q}_h	DET(A)
9810	3395	28511	-5997	17716	-	> +
1678	8970	3089	-8255	2193	81,07	> +

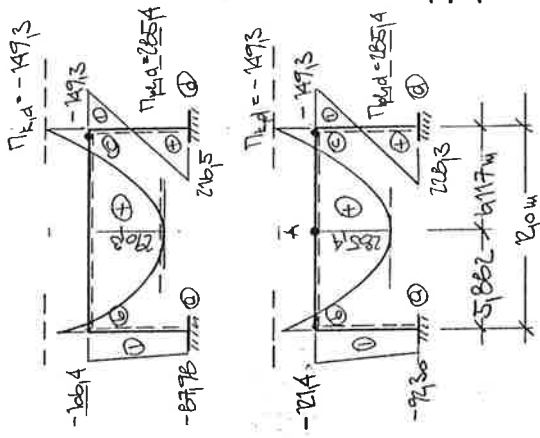
(*) $\bar{q}_{44} = q_{s4} + \bar{C}_{kII} = 1985 + 0,0674 = 2052$

STABENDMOMENTE

$\pi_{ik} = \pi_{ik}^0 + \lambda_s \cdot (\bar{q}_i - \bar{q}_j - \bar{q}_k - \bar{q}_l) + \lambda_s \cdot (\bar{q}_k - \bar{q}_l - \bar{q}_m - \bar{q}_n) - (\lambda_s / l_s) \cdot F_e \cdot S_t$
 $\pi_{ki} = \pi_{ki}^0 - \lambda_s \cdot (\bar{q}_i - \bar{q}_j - \bar{q}_k - \bar{q}_l) - \lambda_s \cdot (\bar{q}_k - \bar{q}_l - \bar{q}_m - \bar{q}_n) - (\lambda_s / l_s) \cdot F_e \cdot S_t$

MOMENTE [kNm]

⑤	i-k	q_{d1} kNm/m		FC A
		π_{ik}^0 kNm	π_{ik} kNm	
①	a	+	-879,8	-92,80
	b	+	-106,4	-121,2
②	b	-275,8	-106,3	-121,4
	c	-275,8	-147,4	-149,3
③	c	+	-149,3	-149,3
	d	+	216,5	226,3
④	A	136,2	-	285,4



STABENDKRÄFTE

⑤	i-k	q_{d1} kNm/m		FC A
		R_{ik} kN	R_{ik} kN	
①	a	+	-4519	-6341
	b	+	1374	1351
②	b	-1374	-141,0	-139,7
	c	+	59,47	61,35

$\sum H = + \checkmark, \sum V = + \checkmark$

STABENDOVERKRÄFTE Q

kn/m	FG A	
$q_d = 22,9$	kn	kn
① i-k	R_{ik}	R_{ik}
① a	-3774	-5776
② b	-2100	-3745
③ b	1347	1361
c	-1407	-1373
c	6070	6270
d	6903	6191

STABNORMALKRÄFTE Ns

kn/m	FG A	
$q_d = 22,9$	kn	kn
① i-k	N_s	N_s
① a-b	-1338	-1351
② b-c	-5747	-6135
③ c-d	-1410	-1377

(N <+ DRUCK)

MAX. FELD MOMENT Π_F - STAB ② b-c

$q_d = 22,9$ kn/m
Π_b 14440
Π_h 29460
V 9006168
f_{η} 94871
χ_{η} 51845
max Π_F 2903

NACHWEISE :

KNOTEN :

max $\Pi = \Pi_{cb} = -147,3$ kNm \checkmark

max $\dot{\varphi} = \dot{\varphi}_c = \frac{f_{cb}}{C_d} = \frac{24,13 \cdot 10^{-3} \text{ RAD}}{0,8} < \dot{\varphi}_{\text{zul}} = 807 \cdot 10^{-3} \text{ RAD} \checkmark$

=> WEITERE ROTATION MÖGLICH !

ANMERKUNG: BEI STEIFEN KNOTEN IST DIE MÖGLICHE ROTATION BECKENZT !
SEHE KNOTENSCHAKARAKTERISTIK

STÄBE :

NACHWEIS DER INTERAKTION :

$\frac{max N}{N_{pEd}} < q_{10} : \frac{max R_{cb,c} = 93400}{R_{pEd}} \rightarrow \Pi_{p,c} = -265,5$ kNm

$\Pi_{cb} = -147,3$ kNm $< \Pi_{p,c} = -265,5$ kNm \checkmark

max $\Pi = \Pi_F = 2903$ kNm $R_{F,+} \rightarrow \Pi_{p,F} = 2854$ kNm

$\Pi_F = 2903$ kNm $> \Pi_{p,F} = 2854$ kNm \rightarrow FC

SYSTEM MIT FG A IN FELD (STAB ②)

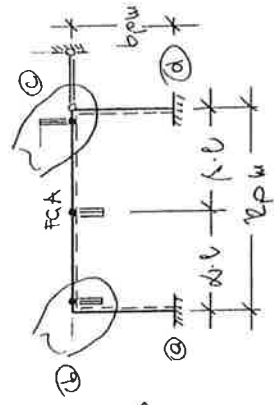
LAGE DES FC'S \rightarrow β -BEDINGUNG

$\beta \leq \frac{1}{2} \cdot \frac{accos \frac{\Pi_b + \Pi_{Fi}}{\Pi_b + \Pi_F}}$

$\beta \leq \frac{1}{2} \cdot \frac{accos \frac{14440 - 1473}{14440 + 2854}}{0,94716} = 0,5098$

$\beta = 0,5098 \rightarrow \alpha = 0,4902$

UNBEKANNTEN $\varphi_b, \varphi_c, \varphi_b, \varphi_c, \varphi_c$



$\tau_{cb} = -147,3 \text{ kNm} \leq \tau_{p,c} = -265,6 \text{ kNm} \checkmark$

$\text{max } \Pi = \Pi_A = 265,4 \text{ kNm} = \tau_{p,d} \checkmark$

$\Rightarrow q_d = 229 \text{ kN/m} = q_{\text{TRAGLAST}} \quad (H_d = 5476 \text{ kN})$

NACHWEIS VON GRENZ (b/t)

ERFÜLLT, SIEHE BEISPIEL FG. TH. I. ORD

VERFORMUNGEN:

- $\Pi_i : \Delta H = -0,0550 \text{ m}$
- $\Pi_k : \Delta W = -0,03076 \text{ m}$
- $\Delta : \Delta W = 0,1433 \text{ m}$
- $S^+ : \Delta H = 0,03303 \text{ m}$

$\underline{W} = 0,1177 \text{ m} \hat{=} 12 \text{ cm}$

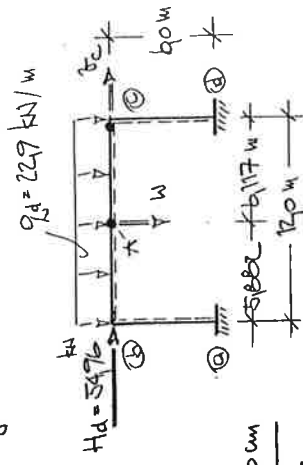
$\underline{\tau_c} = \tau_c / C_d = 0,04177 \text{ m} \hat{=} 4,2 \text{ cm}$

BIEGEDRILLKnickNACHWEIS:

STIELE: SIEHE E. TH. I. ORD (ELAST. - PLAST.)

RIEGEL: SIEHE FG. TH. I. ORD (PLAST. - PLAST.)

MIT $S_k = 1 = 2,0 \text{ m}$



$\xi = 0,402, \xi' = 1 - \xi$

LF $\bar{z}_A = 1,0$:

$q_{b1} = q_{b1} = -(\frac{1}{2} \cdot l_2) \cdot F_c = -0,5344$

$q_{b2} = q_{b2} = (\frac{1}{2} \cdot l_2) \cdot F_c = 0,4752$

$q_{b3} = q_{b3} = -(\frac{1}{2} \cdot l_2) \cdot F_c = -0,4752$

$\Pi_A = \frac{\sin \xi \cdot \xi}{\sin \xi} \cdot \Pi_{ik} + \frac{\sin \xi \cdot \xi}{\sin \xi} \cdot \Pi_{ki} + \frac{1}{2} \cdot \xi \cdot \left[\frac{\cos \xi \cdot (\cos \xi \cdot \xi)}{\cos \xi \cdot \xi} - 1 \right] \cdot q \cdot l^2$

$\xi = 1, \xi' = 0, \xi_2 = 0,4776, l_2 = 2,0 \text{ m}, \Pi_{ik} = \Pi_{ki} = -265,6 \text{ kNm}$



$q_{b0} = -\Pi_A = -132,2 \text{ kNm}$

$\Pi_A = \tau_{p,d} = 265,4 \text{ kNm}$

GLEICHGEWICHTSBEDINGUNG FÜR FG A:

$q_{b1} \cdot \bar{z}_0 + q_{b2} \cdot \bar{z}_0 + q_{b3} \cdot \bar{z}_0 + q_{b0} \cdot \bar{z}_0 + q_{b4} \cdot \bar{z}_0 + q_{b5} \cdot \bar{z}_0 + q_{b6} \cdot \bar{z}_0 = -\Pi_A$

LÖSUNG SIEHE VORHER

NACHWEISE:

KNOTEN (2) TRAGSTREBEND

$\text{max } \Pi_k = \tau_{b0} = -147,3 \text{ kNm} = \tau_{k,p,d} = -147,3 \text{ kNm} \checkmark$

$\text{max } \dot{\varphi} = \dot{\varphi}_c = \tau_c / C_d = 2780 \cdot 10^{-3} \text{ RAD} \leq \tau_{k,d} = 307 \cdot 10^{-3} \text{ RAD}$

(BEI STEIFENLOSEN KNOTEN IST DIE ROTATION BEGRENZT - PROBLEMATIK: TABELLEN GEBN. WERTE FÜR DIE KORREKTUR IPE - IPE)

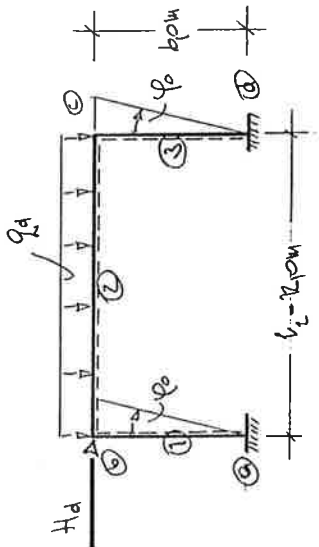
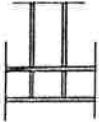
STÄBE:

NACHWEIS DER INTERAKTION FÜR $\frac{N}{N_{\text{Red}}} < q_{1,0}$:

$\text{max } R = R_{\text{stab}} = -141,4 \text{ kN}$
 $R_{\text{stab}} = R_{\text{stab}} = 0,3376 > 0,33 \rightarrow \tau_{p,c} = -265,6 \text{ kNm}$

ASB.1 ELASTIZITÄTSTHEORIE II. ORD. - (ELAST. - ELAST.)

TIT ELAST. NACHGIBIGEN KNOTEN
(EINLEITUNGSSTEIFEN)



$$\frac{-q_d \cdot l_1 \cdot l_2}{H_d} = 5$$

IFE 400 - ST ST
 $J = 25 \cdot 10^8 \text{ cm}^4$
 $E = 21 \cdot 10^4 \text{ kN/cm}^2$
 $F_{II} = 11$
 $q_e = 900 \cdot 25976 \text{ (VORVERD.)}$

1. ANNAHME

$$q_d = 8,00 \text{ kN/m} \rightarrow H_d = 19,20 \text{ kN}$$

$$C_d = 7360 \text{ kN/m}$$

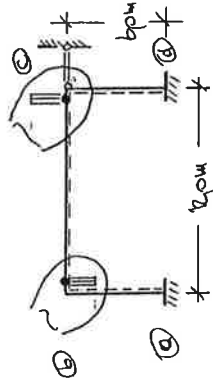
$$\xi_0 = \xi_s \cdot \sqrt{\frac{H_s}{(EJ)_A}}$$

③	H_s	ξ_0	ξ_s	F_3	F_2	F_1	λ_s	λ_s	λ_s
①	50	1,0	0,2019	3995	2001	5996	3995	2001	5996
②	30	0,5	0,3128	3987	2003	-	1993	1002	-
③	55	1,0	0,2118	3994	2001	5996	3994	2001	5996

KOEFFIZIENTEN

UNBEREHNEN:

$$q_e, \varphi_0, \varphi_1, \varphi_2, \varphi_3$$



ERMITTLUNG NIE UNTER E.T.H. I. ORD. (EE)
 (STEIFENLOSER KNOTEN)

LF q_d, H_d :

$$\Pi_{bc}^0 = \Pi_{bb}^0 = -0,08377 \cdot q_d \cdot \bar{v}^0 = -76,716 \text{ kNm}$$

$$q_{1p} = -q_{2p} = \Pi_{bc}^0 = -76,716 \text{ kNm}$$

$$q_{3p} = -H - q_0 \cdot (N_1 + N_2) = -1747 \text{ kN}$$

$$q_{4p} = -\Pi_{bc}^0 = 76,716 \text{ kNm}$$

$$\Pi_{bc}(\bar{v}_0) = C_{KE} / C_d \cdot \bar{v}_0 = \bar{C}_{KE} \cdot \bar{v}_0 = 6,837 \cdot \bar{v}_0$$

FÜR $\Pi_{bc}(\bar{v}_0) \leq \Pi_{k_{ev,d}} = 89,01 \text{ kNm}$ (SIEHE FENDER-CHARAKTERISTIK)

$$q_{5p} = \Pi_{bc}^0 = -76,716 \text{ kNm}$$

$$\Pi_{bc}(\bar{v}_0) = -\bar{C}_{KE} \cdot \bar{v}_0 = -6,837 \cdot \bar{v}_0$$

GLEICHUNGSSYSTEM

(SIEHE VORHER)

$$[A] \cdot \{X\} = -\{B\}$$

\bar{v}_0	\bar{v}_0	\bar{v}_0	\bar{v}_0	\bar{v}_0	LF
5988	1002	-9993	-1993	-1002	96,16
1002	5987	-9993	-1002	-1993	-96,16
-9993	-9993	0,6836	+	+	19,47
-1993	-1002	+	6,836	1002	-96,16
-1002	-1993	+	1002	6,836	96,16
\bar{v}_0	\bar{v}_0	\bar{v}_0	\bar{v}_0	\bar{v}_0	DET (A)
2683	-7731	5806	-7788	1307	> +

$$\varphi_i = \varphi_i / C_d$$

$$C_d = 7360 \text{ kN/m}$$

$$(*) \bar{q}_{4A} = q_{4A} + \bar{C}_{KE} = 1993 + 6,837 = 6,836$$

$$(*) \bar{q}_{5S} = q_{5S} + \bar{C}_{KE} = 1993 + 6,837 = 6,836$$

--- SYSTEM MIT IDEAL STARREN KNOTEN

STABENDQUERKRÄFTE Q_{ik}

STABNORMALKRÄFTE N_s

$Q_d = 800 \text{ kN/m}$	$i-k$	N_s
①	a-b	-44167
②	b-c	-2685
③	c-d	-5131

(N < + DRUCK)

$Q_d = 800 \text{ kN/m}$	$i-k$	Q_{ik}
①	a	-7530
②	b	-7348
③	b	4480
	c	-5134
	c	2674
	d	2679

MAX. FELD MOMENT STAB ② b-c

$Q_d = 800 \text{ kN/m}$	
M_0	11770
M_1	23670
v	0,01076
f_0	0,4655
x_1	5,586
M_{max}	75167

NACHWEISE

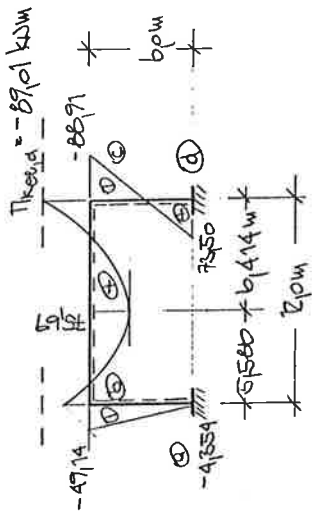
KNOTEN: \ominus MASSGEBEND

$M_{max} = M_{cb} = -8895 \text{ kNm} < -8901 \text{ kNm} = M_{Ked,d} \checkmark$

STABENDMOMENTE

$Q_d = 800 \text{ kN/m}$	$i-k$	M_{ik}	M_{ki}
①	a	-4354	
②	b	-4714	
	b	-9616	-4714
	c	-9616	-8897
③	c		-8897
	d		7350

MOMENTE [kNm]



KONTROLLE: $M_{cb}(\bar{v}_b) = 4837 \cdot \bar{v}_b = -4714 \text{ kNm} \checkmark$
 $M_{cd}(\bar{v}_c) = 4837 \cdot \bar{v}_c = -8895 \text{ kNm} \checkmark$

STABENKRÄFTE R_{ik}

$Q_d = 800 \text{ kN/m}$	$i-k$	R_{ik}
①	a	-7600
②	b	4800
	c	-4800
③	c	
	d	2685

ZH = + \checkmark , ZV = + \checkmark

STÄBE:

$$\begin{aligned} \max \Pi &= \tau_c = -8891 \text{ kNm} \\ \max \sigma &= \frac{N}{A} + \frac{\Pi}{W} = \frac{51,51}{24,50} + \frac{8891}{1160} = 8772 \text{ kN/cm}^2 \\ \max \sigma &= -8702 \text{ kN/cm}^2 < \sigma_{kd} = -2182 \text{ kN/cm}^2 \\ \max \tau &= \frac{51,51 \cdot 654}{23130 \cdot 0,66} = 1086 \text{ kN/cm}^2 < \tau_{kd} = 1200 \text{ kN/cm}^2 \end{aligned}$$

NACHWEIS VON GRENZ (b/k)

ERFÜLLT, SIEHE BEISPIEL FG. TH. II. ORD. (IDEAL STARKER KNOTEN)

VERFORMUNGEN

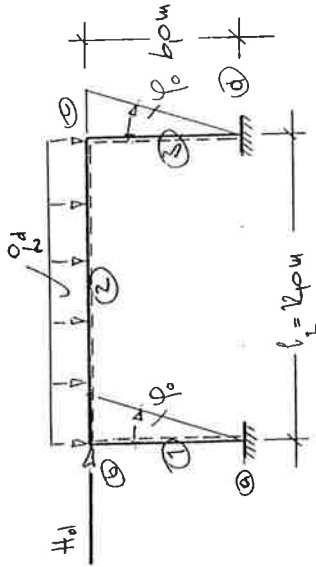
$$\begin{aligned} \xi &= 0,455, \quad \xi = 1 - \xi \\ \eta_1 &: \Delta W = -0,1030 \text{ m} \\ \eta_E &: \Delta W = -0,0781 \text{ m} \\ \eta_2 &: \Delta W = 0,0473 \text{ m} \\ \bar{W} &= 0,02102 \text{ m} \approx 21 \text{ cm} \\ \tau_c &= \tau_c / C_d = 0,007891 \text{ m} \approx 7,9 \text{ mm} \end{aligned}$$

BIEGEDRILLKnickNACHWEIS

SIEHE E-TH. I. ORD (EIE) - IDEAL STARKER KNOTEN

ABZWEIGELASTIGKEITSTHEORIE II. ORD. - (ELAST. PLAST.)

MIT ELAST. NACHGIBIGEN KNOTEN (EINLEITUNGSSTEIFEN)



$$\frac{q_d \cdot l_1}{H_d} = 5$$

IPE 400 - ST 37
 $J = 23130 \text{ cm}^4$
 $E = 21 \cdot 10^4 \text{ kN/cm}^2$
 $\xi_{II} = 1,1$
 $\varphi_0 = 0,003976 \text{ (VORVERDR.)}$

1. ANNAHME

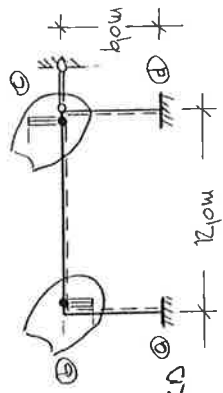
$$\begin{aligned} q_d &= 146 \text{ kN/m} \rightarrow H_d = 35,04 \text{ kN} \\ C_s &= l_2 \cdot \sqrt{\frac{N_s}{(EJ)_d}} \\ C_d &= 7360 \text{ kNm} \end{aligned}$$

③	N _s	k ₁ /l _s	E _s	F ₁	F ₂	F ₃	ℓ _s	λ _s	l _s
①	85	1,0	0,2632	3991	4002	5993	3991	4002	5993
②	55	0,5	0,4235	3976	2,006	-	1988	1,003	-
⑤	75	1,0	0,2632	3990	4003	5992	3990	4003	5992

KOEFFIZIENTEN

UNBEKANNTEN: $\varphi_0, \varphi_1, \varphi_2, \varphi_3, \varphi_4, \varphi_5$

ERFÜLLUNG WIE UNTER E-TH. I. ORD (EIE) - SEITENLOSEN KNOTEN



LF q_d, H_d :

$$\Pi_{bc}^0 - \Pi_{cb}^0 = -0.0558 \cdot q_d \cdot \bar{v}_c^0 = -1757.7 \text{ kNm}$$

$$q_{10} = -q_{20} = \Pi_{bc}^0 = -1757.7 \text{ kNm}$$

$$q_{20} = -H - q_0 \cdot (N_1 + N_2) = -3574 \text{ kN}$$

$$q_{40} = -\Pi_{bc}^0 = 1757.7 \text{ kNm}$$

$$\Pi_{bc}(\bar{f}_b^0) = C_{KE} / C_d \cdot \bar{f}_b^0 - \bar{C}_{KE} \cdot \bar{f}_b^0 = 6637 \cdot \bar{f}_b^0$$

FÜR $\Pi(\bar{f}_b) \leq \Pi_{K, \text{PRD}} = 1641 \text{ kNm}$ SIEHE FEDER-CHARAKTERISTIK

$$q_{60} = \Pi_{cb}^0 = -1757.7 \text{ kNm}$$

$$\Pi_{cb}(\bar{f}_c^0) = -\bar{C}_{KE} \cdot \bar{f}_c^0 = -61637 \cdot \bar{f}_c^0$$

GLEICHUNGSSYSTEM UND LÖSUNG

$$[\bar{A}] \cdot \{x\} = -\{s\}$$

\bar{q}_b	\bar{q}_c	\bar{f}_c	\bar{f}_b	\bar{f}_c	\bar{f}_b	LF
5779	1003	-9788	-1788	-1003	-1003	1757
1003	5776	-9788	-1003	-1788	-1788	-1757
-9788	-9788	0.6618	+	+	+	3574
-1788	-1003	+	8825 ^(*)	1003	-1757	-1757
-1003	-1788	+	1003	8825 ^(*)	1757	1757
\bar{q}_b	\bar{q}_c	\bar{f}_c	\bar{f}_b	\bar{f}_c	\bar{f}_b	DET(A)
4730	-1401	1073	-1311	2385	+	> +

$$\bar{q}_i = \bar{q}_i / C_d$$

$$C_d = 7360 \text{ kNm}$$

$$(*) \bar{q}_{44} = q_{44} + \bar{C}_{KE} = 1788 + 61637 = 81825$$

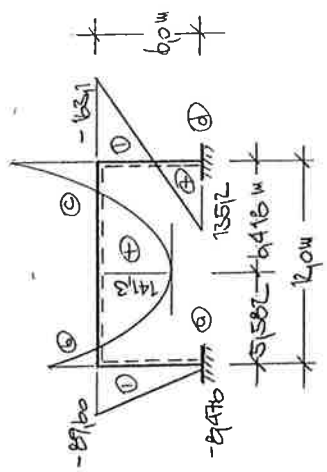
$$* \bar{q}_{55} = q_{55} + C_{KE} = 1788 + 61637 = 81825$$

... SYSTEM MIT IDEAL STARKEN KNOTEN

STABENMOMENTE:

MOMENTE [kNm]

		$q_d = 146 \text{ kN/m}$	
⑤	i-k	Π_{ik}^0 kNm	Π_{ik}^1 kNm
①	a	+	-8476
	b	+	-8958
②	b	-1757	-8910
	c	-1757	-16310
③	c	+	-16311
	d	+	13572



VERLAUF ZWISCHEN DEN AUSSTOßPUNKTEN NACH TH. I. O.K.D.

KONTROLLE:

$$\Pi_{bc} = 6637 \cdot \bar{f}_b^0 = -89163 \text{ kNm} \checkmark$$

$$\Pi_{cb} = -6637 \cdot \bar{f}_c^0 = -16311 \text{ kNm} \checkmark$$

STABENDEKRÄFTE R_{ik}

		$q_d = 146 \text{ kN/m}$	
⑤	i-k	R_{ik}^0 kN	R_{ik}^1 kN
①	a	+	-14.06
	b	+	67.48
②	b	87.60	67.48
	c	-87.60	-93.72
③	c	+	47.12
	d	+	47.12

$$Z_H = + \checkmark, Z_V = + \checkmark$$

STABENDRUCKKRÄFTE R_{ik}

$q_d = 146 \text{ kN/m}$	
⑤ i-k	R_{ik} kN
① a	-1373
② b	-1316
③ b	8105
c	-7362
c	4731
d	4949

STABNORMALKRÄFTE N_s

$q_d = 146 \text{ kN/m}$	
⑤ i-k	N_s kN
① a-b	-8746
② b-c	-4712
③ c-d	-7372

(Nst Druck)

MAX. FELD MOMENT M_f STAB ② b-c

$q_d = 146 \text{ kN/m}$	
M_0	11720
M_1	23720
V	901472
ξ_{η}	94652
x_T	5563
$\max M_f$	14113

NACHWEISE:

KNOTEN: PASSGEBEND ③

$\max M_f = 14113 \text{ kNm} \leq M_{k,pl,d} = 16411 \text{ kNm} \checkmark$

(SIEHE KNOTENFEDERCHARAKTERISTIK)

STÄBE:

NACHWEIS DER INTERAKTION FÜR $\frac{N}{N_{pl,d}} < q_{10}$:

$\max R = R_{cb} = -9362 \text{ kN} \rightarrow \frac{\max R}{R_{pl,d}} = 9240 \rightarrow \eta_{pl,c} = \eta_{pl,d}$

$\max \eta = \eta_{cb} = -1631 \text{ kNm} \leq \eta_{pl,d} = -2854 \text{ kNm} \checkmark$

NACHWEIS VON GRENZE (b/t)

ERFÜLLT, SIEHE FG. TH. I. ORD. - IDEALSTARRE KNOTEN

VERFORMUNGEN

$\eta_i: \Delta W = -0,1074 \text{ m}$

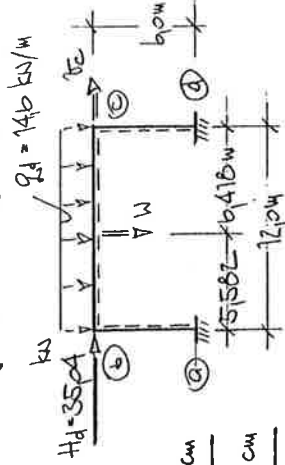
$\eta_k: \Delta W = -0,0392 \text{ m}$

$\eta_s: \Delta W = 0,07040 \text{ m}$

$\overline{W} = 903654 \text{ m} \hat{=} 37 \text{ cm}$

$\overline{v_e} = \overline{v}/c_d = 0,01456 \text{ m} \hat{=} 15 \text{ cm}$

$\xi = 94652, \xi = 1 - \xi$

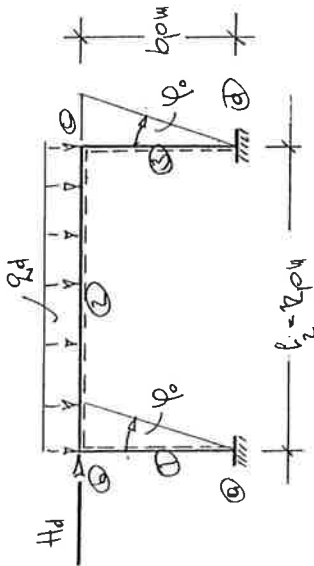
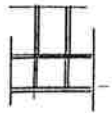


BIEGEDRILLKnickNACHWEIS

SIEHE BEISPIEL E-TH. I. ORD - (EE.) MIT IDEAL STARREN KNOTEN

ASB'S FLIESSGELENKTHEORIE I. ORD. - (PLAST.-PLAST)

MIT ELAST. PLAST. NACHGIBSIREN KNOTEN
(EINLEITUNGSSTEIFEN)



IPE 400 - St 37

J = 23.130 cm⁴

E = 21.10⁴ kN/cm²

delta_H = 11

phi_0 = 900.3896 (VORBEREIT.)

1. ANNAHME

$q_d = 24.5 \text{ kN/m} \rightarrow H_d = 586 \text{ kN}$

$\xi_s = \xi_s \cdot \sqrt{\frac{N_s}{(EJ)_d}}$

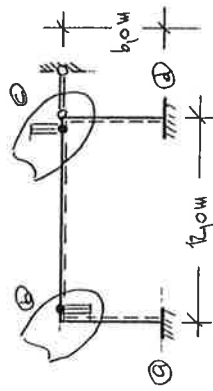
$C_d = 7360 \text{ kN}$

①	N _s [kN]	b ₁ /b _s	xi _s	F ₁	F ₂	F ₃	xi _s	lambda _s	gamma _s
①	150	10	0.3497	3784	2004	5788	3784	2004	5788
②	75	9.5	0.4746	3967	2008	-	1784	1004	-
③	150	10	0.3497	3784	2004	5788	3784	2004	5788

KOEFFIZIENTEN:

UNBEKANNTEN:

q_1, q_2, q_3, q_4, q_5



ERGEBUNG WIE UNTER E-TH. I. ORD. (E.E.) -
STEIFENLOSE KNOTEN

LF 2, 4, 1, 4:

$\Pi_{10} = \Pi_{10}^0 = -0.08366 \cdot \rho \cdot l_s^2 = -275.2 \text{ kNm}$

$q_{10} = -q_{20} = \Pi_{10}^0 = -275.2 \text{ kNm}$

$q_{30} = -H - \varphi_0 \cdot (N_1 + N_2) = -57.97 \text{ kN}$

$q_{40} = -\Pi_{10}^0 = 275.2 \text{ kNm}$

$\Pi_{bc}(\bar{f}_b) = C_{K2}/C_d \cdot \bar{f}_b = \bar{C}_{K2} \cdot \bar{f}_b = 6.637 \cdot \bar{f}_b$

FÜR $\Pi_{bc}(\bar{f}_b) \leq \Pi_{K,PR,d} = 1641 \text{ kNm}$ SIEHE KNOTEN -
FERNCHARAKTERISTIK

$q_{50} = \Pi_{10}^0 = -275.2 \text{ kNm}$

$\Pi_{cb}(\bar{f}_b) = \Pi_{K,PR,d} = -1641 \text{ kNm} = \text{const.}$

GLEICHUNGSSYSTEM UND LÖSUNG

$[K] \cdot \{X\} = \{B\}$

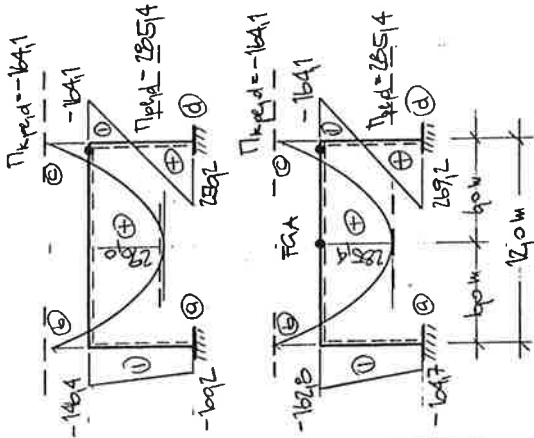
q_b	q_c	q_e	q_b	q_c	q_e	q_b	q_c	q_e	SA	LF
5788	1004	-9780	-1784	-1004	-1004	-1784	-1004	-95051	-95051	275.2
1004	5788	-9780	-1004	-1784	-1004	-1784	-1004	95051	95051	-275.2
-9780	-9780	65885	+	+	+	+	+	+	+	57.97
-1784	-1004	+	8221 ^(*)	1004	1004	8221 ^(*)	1004	95051	95051	-275.2
-1004	-1784	+	1004	1004	1004	1004	1784	-95051	-95051	131.1
-95051	95051	+	+	+	+	+	-95051	94876	94876	-137.3
q_b	q_c	q_e	q_b	q_c	q_e	q_b	q_c	q_e	\bar{q}_s	DET(A)
124.4	46.54	359.2	-21.40	166.4	-	-21.40	166.4	-	-	> +
135.1	53.04	376.2	-23.80	211.5	46.88	-23.80	211.5	46.88	46.88	> +

^(*) $q_{44} = q_{44} + \bar{C}_{K2} = 1784 + 6.637 = 6621$

STABENINNOGENTE

$q_d = 24,5 \text{ kN/m}$		-		FGA	
⑤	i-k	Π_{ik}^{KUM}	Π_{ik}^{KUM}	Π_{ik}^{KUM}	Π_{ik}^{KUM}
①	a	+	-1092	-1092	-1047
②	b	+	-1461	-1461	-1028
③	b	-2752	-1464	-1027	-
④	c	-2752	-1641 ✓	-1641 ✓	-1641 ✓
⑤	c	+	-1641	-1641	-1027
⑥	d	+	2392	2392	2072
⑦	A	1461	-	-	2854 ✓

MOMENTE [kNm]



STABENQUERKRÄFTE R_{ik}

$q_d = 24,5 \text{ kN/m}$		-		FGA	
⑤	i-k	R_{ik}^{KUM}	R_{ik}^{KUM}	R_{ik}^{KUM}	R_{ik}^{KUM}
①	a	-8040	-697	-697	-
②	b	-6304	-8212	-8212	-
③	b	1468	1463	1463	-
④	c	-1460	-1460	-1460	-
⑤	c	6781	7102	7102	-
⑥	d	6680	7073	7073	-

STABENSTÄBKRÄFTE N_s

$q_d = 24,5 \text{ kN/m}$		-		FGA	
⑤	i-k	N_s^{KUM}	N_s^{KUM}	N_s^{KUM}	N_s^{KUM}
①	a-b	-1455	-1469	-1469	-
②	b-c	-6828	-7035	-7035	-
③	c-d	-1465	-1471	-1471	-

(N < + DRUCK)

MAX. FELD MOMENT Π_F STAB ② b-c

$q_d = 24,5 \text{ kN/m}$	
Π_0	14420
Π_1	29420
v	9002458
f_0	94950
x_0	5940
max Π_F	2990

NACHWEISE :

KNOTEN :

max $\Pi = \Pi_{c6} = -1641 \text{ kNm} = \Pi_{\text{FGA,d}} = -1641 \text{ kNm} \checkmark$
 (ROTATION "NICHT" BEGRENZT)

STABENSTÄBKRÄFTE R_{ik}

$q_d = 24,5 \text{ kN/m}$		-		FGA	
⑤	i-k	R_{ik}^{KUM}	R_{ik}^{KUM}	R_{ik}^{KUM}	R_{ik}^{KUM}
①	a	+	-9424	-1155	-
②	b	1470	1455	1467	-
③	c	-1470	-1465	-1471	-
④	c	+	6828	7035	-

$Z_H = +, Z_V = +$

GLEICHWEICHTSBEDINGUNG FÜR FG A:

$$q_{b1} \cdot \bar{q}_b + q_{b2} \cdot \bar{q}_c + q_{b3} \cdot \bar{q}_e + q_{b4} \cdot \bar{q}_c + q_{b5} \cdot \bar{q}_c + q_{b6} \cdot \bar{q}_a + q_{b7} \cdot \bar{q}_c + q_{b8} = -\Pi_A$$

LÖSUNG SIEHE VORHER

NACHWEISE:

KNOTEN:

KN ①: $\Pi_{cb} = -1641 \text{ kNm} = \Pi_{Kp,d} = -1641 \text{ kNm} \checkmark$

KN ②: $\Pi_{bc} = -1626 \text{ kNm} < \Pi_{Kp,d} = -1641 \text{ kNm} \checkmark$
 (→ KEIN WEITERES FG TEAK MÖGLICH!
 KINETW. BALKENKETTE

STABE:

INTERAKTION FÜR $\frac{N}{N_{p,d}} < 0,10$

$\frac{\max R_{ch,el}}{R_{p,d}} = \frac{-146,6}{-418,6} = 0,3503 > 0,33 \rightarrow \Pi_{rec} = -2617 \text{ kNm}$

$\Pi_{cb} = -1641 \text{ kNm} < \Pi_{rec} = -2617 \text{ kNm} \checkmark$

$\max \Pi = \Pi_A = 28514 \text{ kNm} = \Pi_{p,d} \checkmark$

→ $\bar{q}_d = \text{funktionswert} = 245 \text{ kN/m} \rightarrow H_d = 56960 \text{ kN}$

NACHWEIS VON GRENZE (b/t):

ERFÜLLT, SIEHE BEISPIEL FG TH. II. OAD. - IDEAL STABE
 KNOTEN

STABE:

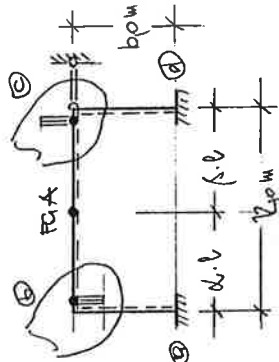
NACHWEIS DER INTERAKTION FÜR $\frac{\max N}{N_{p,d}} < 0,10$:

$\frac{\max R_{ch,el}}{R_{p,d}} = \frac{-147,9}{-418,6} = 0,3537 > 0,33 \rightarrow \Pi_{rec} = -2614 \text{ kNm}$

$\Pi_{cb} = -1641 \text{ kNm} < \Pi_{rec} = -2614 \text{ kNm} \checkmark$

$\max \Pi = \Pi_F = 27900 \text{ kNm} > \Pi_{p,d} = 28514 \text{ kNm} \Rightarrow \text{FG A}$

SYSTEM MIT FG A IM FELD (STAB ②)



LAGE DES FG'S → Δ -BEDINGUNG

$\Delta \leq \frac{1}{2} \cdot \alpha \cdot \cos \frac{\Pi_0 + \Pi_{el}}{\Pi_0 + \Pi_f}$

$\Delta \leq \frac{1}{2} \cdot \alpha \cdot \cos \frac{14420 - 1641}{14420 + 28514} = 0,5012$

→ $\Delta = \alpha = 0,95$

UNBEKANNTEN: $q_b, q_c, q_d, q_e, q_f, q_g, q_h$

LF $\bar{q}_A = l_0$:

$q_b = q_{c1} = -(\frac{l}{l_2}) \cdot F_{R2} = -0,5051$

$q_{b3} = q_{b3} = +$

$q_{b5}, q_{b5} = -(\frac{l}{l_2}) \cdot F_{R3} = -0,5051$

$\Pi_A^0 = 14811 \text{ kNm}$

$q_{b6} = -\Pi_A^0 = -14811 \text{ kNm}$

$\Pi_A = \Pi_{p,d} = 28514 \text{ kNm}$

$q_{b2} = q_{b2} = (\frac{l}{l_2}) \cdot F_{R1} = 0,5051$

$q_{b4} = q_{b4} = (\frac{l}{l_2}) \cdot F_{R2} = 0,5051$

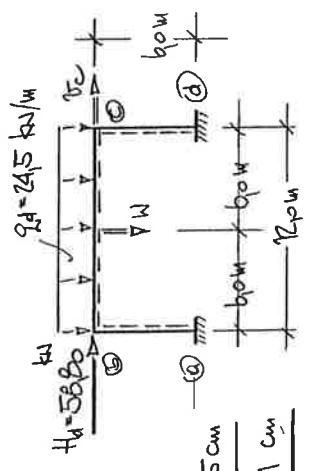
$q_{b6} = (\frac{l}{l_2}) \cdot F_{R4} = 0,48976$

VERFORMUNGEN

- $\Pi_r: \Delta W = -0,03408 \text{ m}$
- $\Pi_k: \Delta W = -0,03433 \text{ m}$
- $\Omega: \Delta W = 0,1537 \text{ m}$
- $\Sigma: \Delta W = 0,0711 \text{ m}$

$\bar{W} = 0,1045 \text{ m} \hat{=} 10,45 \text{ cm}$
 $\bar{E} = \frac{E_0}{C_d} = 0,05114 \text{ m} \hat{=} 5,1 \text{ cm}$

$\xi = 0,5, \quad \xi = 1 - \xi$

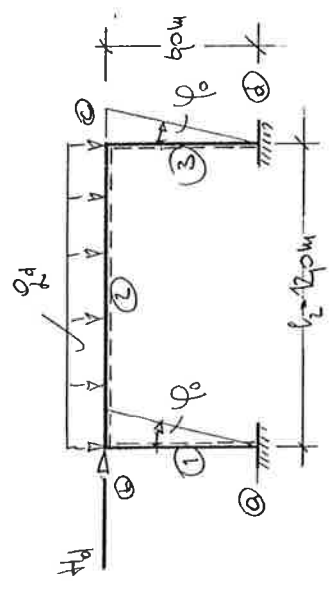
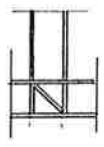


BIEGEDRILLKNICKNACHWEIS:

SIEHE BEISPIEL FG. TH. I. OXS. - IDEAL STARKE KNOTEN

4.5.9 ELASTIZITÄTSTHEORIE II. ORD. - (ELAST.-ELAST.)

MIT ELAST. NACHGIEBIGEN KNOTEN
(EINLEITUNGS- UND QUERKRAFTSTEIFEN)



IPE 400 - St 37
 $J = 23,130 \text{ cm}^4$
 $E = 21,10^4 \text{ kN/cm}^2$
 $\nu = 1/11$
 $\varphi_0 = 9002576 \text{ (VORVERDR.)}$

1. ANNÄHERUNG

$\underline{q_d} = P_{10} \text{ kN/m} \rightarrow h_d = 4172 \text{ kN}$

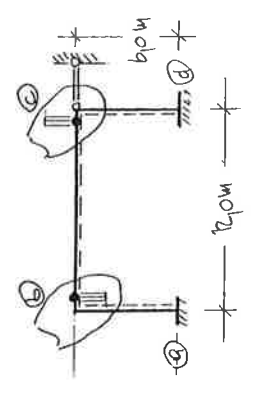
$\xi_s = \xi_s \sqrt{\frac{N_s}{(EJ)_d}}$
 $C_d = 7360 \text{ kNm}$

③	N_s kN	ξ_s / l_s	ξ_s	F_s	F_2	F_3	λ_s	λ_s
①	100	10	0,2555	3787	2003	5797	2003	5797
②	65	0,5	0,4604	3772	2007	-	1986	1004
③	115	10	0,3062	3787	2003	5797	2003	5797

KOEFFIZIENTEN:

UNBEREKNANTEN: $\varphi_0, \varphi_1, \varphi_2, \varphi_3, \varphi_4$

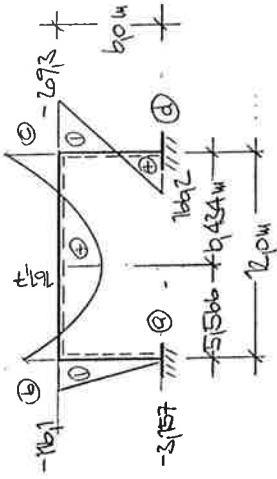
ERMITTLUNG WIE UNTER E-TH. I. OXS.
 E.E. - STEIFENLOSE KNOTEN



STABENKOMPONENTE

⑤ i-k	q _d = 178 kN/m	
	Π _{ik} kNm	Π _{ik} kNm
① a	+	-3157
① b	+	-1154
② b	-2144	-1161
② c	-2144	-2973
③ c	+	-2973
③ d	+	1662

POTENTE [kNm]



(VERLAUF ZWISCHEN DEN ENDPOTENTEN N. TH. I. O.K.D.)

KONTROLLE: Π_{bc}(f̄_b) = 1361 · f̄_b = -1161 kNm ✓
 Π_{cb}(f̄_c) = -1361 · f̄_c = -2973 kNm ✓

STABENKRÄFTE R_{ik}

⑤ i-k	q _d = 178 kN/m	
	R _{ik} kN	R _{ik} kN
① a	+	-1925
① b	1662	97,03
② c	-1662	-114,6
③ d	+	61,76

ZH = +, ZV = +, ✓

LF q_{d1}, H_d:

$\Pi_{bc}^0 = \Pi_{cb}^0 = -0,06563 \cdot q_d \cdot l^2 = -214,4 \text{ kNm}$
 $q_{1p} = -q_{2p} = \Pi_{bc}^0 = -214,4 \text{ kNm}$
 $q_{2p} = -q_{1p} = 214,4 \text{ kNm}$
 $q_{3p} = -q_{4p} = -H - q_0 \cdot (N_1 + N_2) = -43,78 \text{ kN}$

$\Pi_{bc}(f̄_b) = C_{FE}/C_d \cdot f̄_b = \bar{C}_{FE} \cdot f̄_b = 1361 \cdot f̄_b$

(SIEHE KNOTENFEDERCHARAKTERISTIK)

$q_{3p} = \Pi_{bc}^0 = -214,4 \text{ kNm}$

$\Pi_{cb}(f̄_c) = -C_{FE}/C_d \cdot f̄_c = -\bar{C}_{FE} \cdot f̄_c = -1361 \cdot f̄_c$

GLEICHUNGSSYSTEM UND LÖSUNG

(SIEHE VORHER)

$[K] \cdot \{X\} = -\{F\}$

q̄ _b	q̄ _c	f̄ _b	f̄ _c	LF
5975	1004	-9987	-1986	214,4
1004	5973	-9985	-1004	-214,4
-9987	-9985	0,009	+	43,78
-1986	-1004	+	1560 ^(*)	-214,4
-1004	-1986	+	1004	214,4
q̄ _b	q̄ _c	f̄ _b	f̄ _c	DET (Δ)
5970	-2171	122,9	-8529	15137
				> +

$q_i = \bar{q}_i / C_d$

$C_d = 7360 \text{ kNm}$

^(*) $q_{1p} = q_{4p} + \bar{C}_{FE} = 1986 + 1361 = 1560$

^(*) $q_{2p} = q_{3p} + \bar{C}_{FE} = 1986 + 1361 = 1560$

... SYSTEM MIT IDEAL STABEN KNOTEN

STABENDRUCKKRÄFTE Q_k

⑤	i-k	$Q_d = 17,8 \text{ kN/m}$	
		R_{ik}	N_k
①	a	-19,97	
	b	-19,18	
②	b	9,56	
	c	-11,48	
③	c	6,17	
	d	6,26	

STABDRUCKKRÄFTE N_s

⑤	i-k	$Q_d = 17,8 \text{ kN/m}$	
		N_s	N_k
①	a-b	-9,93	
②	b-c	-6,17	
③	c-d	-11,46	

(N < + Druck)

MAX. FELD MOMENT M_F STAB ② b-c

$Q_d = 17,8 \text{ kN/m}$	
M_0	12,070
M_1	24,500
V	9,07667
ξ_1	9,4638
x_{11}	5,566
$\max M_F$	16,17

NACHWEISE:

KNOTEN: $\rightarrow \ominus$ TRAGGERÄND

$\max M_k = M_{b0} = -20,73 \text{ kNm} \leq M_{k,ed} = -210,3 \text{ kNm} \checkmark$

STÄBE:

$\max \Pi = \Pi_c = -2073 \text{ kNm}, N = 1146 \text{ kN (Druck)}$
 $\max \sigma = \frac{N}{A} + \frac{\Pi}{W} = \frac{1146}{845} + \frac{20730}{1160} = 19,40 \text{ kN/cm}^2$
 $\max \sigma = -19,40 \text{ kN/cm}^2 \leq \sigma_{k,d} = -2182 \text{ kN/cm}^2 \checkmark$
 $\max \tau = \frac{R \cdot S}{J \cdot t} = \frac{1148 \cdot 654}{23130 \cdot 0,86} = 377 \text{ kN/cm}^2 < \tau_{k,d} = 4160 \text{ kN/cm}^2 \checkmark$

$\sigma_v \leq \sigma_{k,d}$

ERFÜLLT FÜR $\sigma/\sigma_{k,d} \leq 0,5$ ODER $\tau/\tau_{k,d} \leq 0,5 \checkmark$

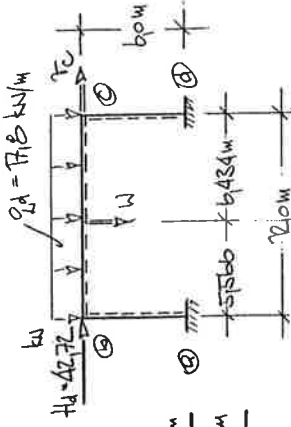
NACHWEIS VON GRENZ (b/c)

ERFÜLLT, SIEHE BEISPIEL FG. TH. I. OAD - IDEAL STARRE KNOTEN

VERTORUNGEN:

$\xi = 9,4638 \quad \xi = 1 - \xi$

$\Pi_1: \Delta N = -902464 \text{ N}$
 $\Pi_k: \Delta N = -904236 \text{ N}$
 $\rho_1: \Delta N = 91165 \text{ N}$
 $\frac{N}{W} = 904350 \text{ N} \hat{=} 44 \text{ cm}$
 $\tau_c = F_c/C_d = 901670 \text{ N} \hat{=} 17 \text{ cm}$

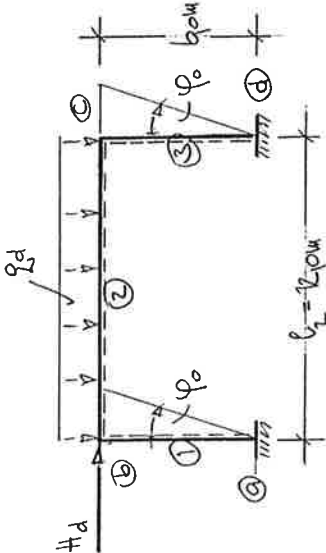
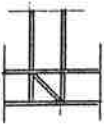


BIEGEDRILLKNICKNACHWEIS:

SIEHE E.-TH. II. OAD. (E.E.) - IDEAL STARRE KNOTEN

5.9.2 ELASTIZITÄTSTHEORIE I. ORD. - (ELAST.-PLAST.)

MIT ELAST. NACHGIEBIGEN KNOTEN
(EINLEITUNGS- UND QUERKRAFTSTEIFEN)



$\frac{-2A' \cdot l_2}{H_d} = 5$

IFE 400 - St St
 $J = 26.130 \text{ cm}^4$
 $E = 21 \cdot 10^4 \text{ kN/cm}^2$
 $\xi_{II} = 11$
 $\varphi_0 = 0.0038976 \text{ (VORVERD.)}$

1. ANNÄHME :

$q_d = 28.7 \text{ kN/m} \rightarrow H_d = 346.66 \text{ kN}$

$\xi_s = \xi_s \sqrt{\frac{N_s}{(E I)_d}}$

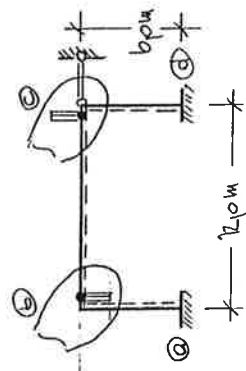
$C_d = 7360 \text{ kNm}$

⑤	N_s	h/b_s	ξ_s	F_s	F_2	F_3	ξ_s	λ_s	ν_s
①	135	10	0.3316	3.985	4.004	5.987	3.985	2.004	5.987
②	85	9.5	0.5265	3.963	2.007	-	1.981	1.005	-
③	155	10	0.3555	3.983	2.004	5.987	3.983	2.004	5.987

KOEFFIZIENTEN :

UNBEKANNTEN : $\varphi_1, \varphi_2, \varphi_3, \varphi_4$

ERTUNTLUNG WIE UNTER E.-TH. I. ORD.
 E.E. - STEIFENLOSER KNOTEN



LF q_d, H_d

$\Pi_{bc} = \Pi_{bc}^0 = -9.08372 \cdot q_d \cdot l_2 = -2857 \text{ kNm}$

$q_{10} = -9.10 = \Pi_{bc}^0 = -2857 \text{ kNm}$

$q_{20} = -H - \varphi_0 \cdot (N_1 + N_2) = -58901 \text{ kN}$

$q_{40} = -\Pi_{bc}^0 = 2857 \text{ kNm}$

$\Pi_{bc}(\varphi_0) = C_{FE}/C_d \cdot \varphi_0 = \bar{C}_{FE} \cdot \varphi_0 = 1361 \cdot \varphi_0$

FÜR $\Pi_{bc}(\varphi_0) \leq \Pi_{bc}^0 = 2857 \text{ kNm}$ (SIEHE KNOTEN -
 FEDERCHARAKTERISTIK)

$q_{30} = \Pi_{bc}^0 = -2857 \text{ kNm}$

$\Pi_{bc}(\varphi_0) = -C_{FE}/C_d \cdot \varphi_0 = -\bar{C}_{FE} \cdot \varphi_0 = -1361 \cdot \varphi_0$ FÜR $\Pi_{bc}(\varphi_0) \leq \Pi_{bc}^0$

GLEICHUNGSSYSTEM UND LÖSUNG

$[A] \cdot \{x\} = -\{b\}$

φ_0	φ_2	φ_3	φ_4	φ_0	φ_2	φ_3	φ_4	LF
5.987	1.005	-0.9782	-1.981	-1.005	-1.981	-1.005	2657	
1.005	5.987	-0.9778	-1.005	-1.981	-1.005	+	-2857	
-0.9782	-0.9778	0.6588	+	15.57	+	1.005	59.01	
-1.981	-1.005	+	1.005	15.57	+	1.005	-2857	
-1.005	-1.981	+	1.005	15.57	+	1.005	2657	
φ_0	φ_2	φ_3	φ_4	φ_0	φ_2	φ_3	φ_4	DET(A)
29.24	-29.66	1.662	-11.30	2.57	2.57	2.57	2.57	> +

$\varphi_0 = \varphi_0 / C_d$

$C_d = 7360 \text{ kNm}$

(*) $q_{44} = q_{44} + \bar{C}_{FE} = 1.981 + 1361 = 1557$

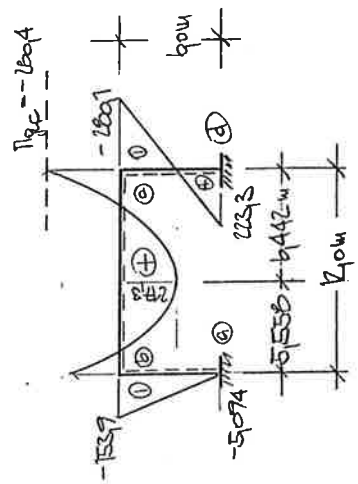
(**) $q_{33} = q_{33} + \bar{C}_{FE} = 1.981 + 1361 = 1557$

... SYSTEM MIT IDEAL STARKEN KNOTEN

STABENMOMENTE:

		$q_d = 237 \text{ kN/m}$	
⑤	i-k	Π_{ik}	Π_{ki}
①	a	+	-5074
	b	+	-1537
②	b	-2657	-1537
	c	-2657	-2601
	c	+	-2600
③	d	+	2233

MOMENTE [kNm]



(BEREIF ZU DEN ENDMOMENTEN NACH TH. I. ORD.)

KONTROLLE: $\Pi_{bc}(\bar{F}_b) = 1361 \cdot \bar{F}_b = -1537 \text{ kNm} \checkmark$
 $\Pi_{cb}(\bar{F}_c) = -1361 \cdot \bar{F}_c = -2602 \text{ kNm} \checkmark$

STABENKRÄFTE R_{ik} :

		$q_d = 237 \text{ kN/m}$	
⑤	i-k	R_{ik}	R_{ki}
①	a	+	-2584
	b	1422	1317
②	c	-1422	-1527
③	d	+	8270

ZH = +, ZV = + ✓

STABENQUERKRÄFTE R_{ik}

		$q_d = 237 \text{ kN/m}$	
⑤	i-k	R_{ik}	R_{ki}
①	a	-2531	
	b	-2384	
②	b	1326	
	c	-1530	
③	c	8270	
	d	8330	

STABENLÄNGENKRÄFTE N_s

		$q_d = 237 \text{ kN/m}$	
⑤	i-k	N_s	R_{ik}
①	a-b	-1317	
②	b-c	-8270	
③	c-d	-1527	

(N < + DRUCK)

MAX. FELDNOTENT Π_T SPAR ② b-c

		$q_d = 237 \text{ kN/m}$	
		Π_0	Π_1
V		0,0736	
$\int q$		0,4632	
X_T^m		5,557	
max Π_T		2173	

NACHWEISE:

KNOTEN: → ☉ TRASSIEREND

max $\Pi_k = \Pi_{cb} = -2601 \text{ kNm} \leq \Pi_{k,erl,d} = 2654 \text{ kNm} \checkmark$

STÄBE:

NACHWEIS DER INTERAKTION FÜR $\frac{N}{H_{td}} < 0,10$

$\frac{R_{cb}}{R_{td}} = \frac{-1530}{-4180} = 0,365 > 0,33 \rightarrow \tau_{pc} = 2604 \text{ kNm}$

$\tau_{cb} = -2601 \text{ kNm} < \tau_{pc} = -2604 \text{ kNm} \checkmark$

$\frac{\max \tau}{R_{td}} = \frac{R_{dc}}{R_{td}} \leq 0,33 \rightarrow \tau_{pd} = \tau_{pd} = 2854 \text{ kNm}$

$\tau_{dc} = 2853 \text{ kNm} \leq \tau_{pd} = 2854 \text{ kNm} \checkmark$

NACHWEIS VON GRENZE (b/t)

ERFÜLLT, SIEHE BEISPIEL FG. TH. II. OKD. - IDEAL STARRE KNOTEN

VERFORMUNGEN:

$\tau_i: \Delta W = -0,03270 \text{ m}$

$\tau_k: \Delta W = -0,05706 \text{ m}$

$\tau_{\Sigma}: \Delta W = 0,1482 \text{ m}$

$\tau_c = \frac{W}{E \cdot C_d} = \frac{0,51824 \text{ m}}{0,2250 \text{ m}} \approx 2,3 \text{ cm}$

1. ANNAHME

$q_d = 27,8 \text{ kNm} \rightarrow H_d = 71,52 \text{ kN}$

$\xi_s = \frac{l_s}{3} \sqrt{\frac{N_s}{(EJ)_d}} \quad C_d = 7360 \text{ kNm}$

⑤	N _s	h _i /l _s	ξ _s	F _i	F ₂	F ₃	χ _s	λ _s	γ _s
①	180	10	0,3031	3780	2,005	5785	3780	2,005	5785
②	75	0,5	0,5846	3757	2,010	-	1979	1,005	-
③	180	10	0,3031	3780	2,005	5785	3780	2,005	5785

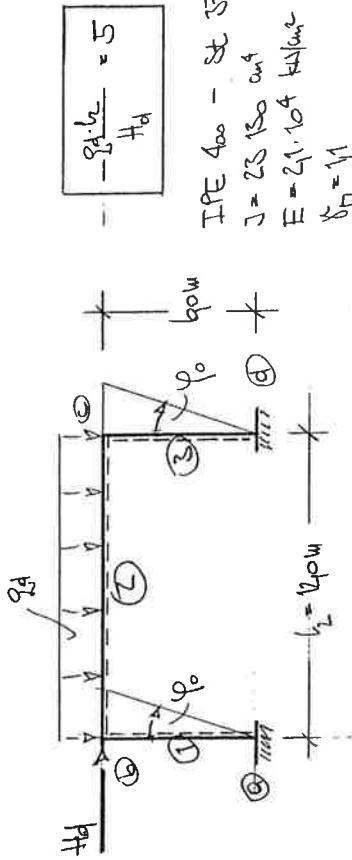
BIEGEDRILLKNICKNACHWEIS:

SIEHE E-TH. II. OKD. (EP) - IDEAL STARRE KNOTEN

MIT $\xi_k = l_{\text{eff}} = 2,0 \text{ m}$ FÜR DEN RIEGEL

4573 FLIESSGELENKTHEORIE II. ORD - (PLASTI-PLASTI)

MIT ELAST., PLAST. NACHGIEBEN KNOTEN (EINLEITUNGS- UND QUERKRAFTSTEIFEN)



$-\frac{q_d \cdot l_c}{H_d} = 5$

IPE 400 - St 37

J = 23 150 cm⁴

E = 21.10⁴ kN/cm²

phi_1 = 11

phi_0 = 9005976 (UNVERDOR.)

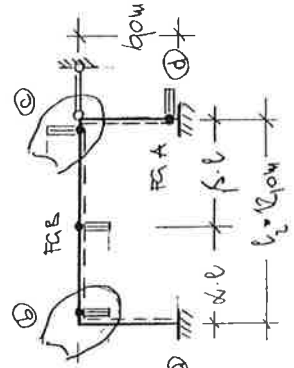
KOEFFIZIENTEN:

UNBEKANNTEN:

$\phi_0, \phi_1, \phi_2, \phi_b, \phi_c, \phi_s, \phi_t, \phi_e$

ERMITTLUNG FÜR $\phi_0, \phi_1, \phi_2, \phi_b, \phi_c, \phi_s, \phi_t, \phi_e$ NIE

UNTER E-TH. II. OKD. (EIE) - STEIFENLOSE KNOTEN



LF $\bar{S}_A = 10$
 $a_{16} = a_{14} = +$
 $a_{16} = a_{14} = +$

$q_b - a_{16} = -\lambda_2 = -2005$
 $a_{16} = a_{14} = +$
 $a_{16} = a_{14} = +$

LF $\bar{S}_6 = 10$
 LAGE DES FC'S β ?

$\beta \leq \frac{1}{2} \cdot \frac{0.0005}{\pi_0 + \pi_4} \cdot \pi_0 = 13850 \text{ kNm}$, $\pi_{41} = \pi_{40} = -2721 \text{ kNm}$ (ANNAHME)
 $\pi_4 = \pi_8 = \pi_{41} = 2654 \text{ kNm}$

$\beta \leq 95063$ ANNAHME: $\beta = 10 = 95$

$a_{17} = a_{21} = -(\frac{1}{2} \cdot \frac{1}{l_2}) \cdot F_{12} = -95065$
 $a_{17} = a_{21} = +$
 $a_{17} = a_{21} = -(\frac{1}{2} \cdot \frac{1}{l_2}) \cdot F_{12} = -95065$
 $a_{17} = a_{21} = +$

LF g_{41}, H_{41} :

$\pi_{16} = \pi_{10} = -0.08377 \cdot g_{12} \cdot l_2 = -3575 \text{ kNm}$
 $g_{16} = -g_{10} = \pi_{16} = -3575 \text{ kNm}$
 $g_{16} = -H - \varphi_0 \cdot (N_1 + N_2) = -7292 \text{ kN}$
 $g_{16} = -\pi_{16} = 3575 \text{ kNm}$
 $\pi_{16}(\bar{f}_b) = \bar{C}_{12} \cdot \bar{f}_b = 1361 \cdot \bar{f}_b$ FÜR $\pi_{16}(\bar{f}_b) \leq \pi_{16}(\bar{f}_A) = 2654 \text{ kNm}$
 (SIEHE KNOTENFUNKTIONSKARAKTERISTIK)
 $g_{16} = \pi_{16} = -3575 \text{ kNm}$
 $\pi_{16} = \pi_{10} = -2721 \text{ kNm}$ (ANNAHME)

(STAB TRAGGEREICH - AUS INTEGRATION! DENN $\pi_{16}(\bar{f}_A) = 2654 \text{ kNm}$)

$q_{10} = +$
 $\pi_{16} = \pi_{10} = 2654 \text{ kNm}$
 $\pi_{16} = 1804 \text{ kNm}$
 $g_{16} = -\pi_{16} = -1804 \text{ kNm}$ $\pi_{16} = \pi_{10} = 2654 \text{ kNm}$

GLEICHUNGSSYSTEM UND LÖSUNG

$a_{11} \cdot \bar{f}_b + a_{12} \cdot \bar{f}_c + a_{13} \cdot \bar{f}_d + a_{14} \cdot \bar{f}_e + a_{15} \cdot \bar{f}_f + a_{16} \cdot \bar{f}_g + a_{17} \cdot \bar{f}_h + a_{18} = +$
 $a_{21} \cdot \bar{f}_b + a_{22} \cdot \bar{f}_c + a_{23} \cdot \bar{f}_d + a_{24} \cdot \bar{f}_e + a_{25} \cdot \bar{f}_f + a_{26} \cdot \bar{f}_g + a_{27} \cdot \bar{f}_h + a_{28} = +$
 $a_{31} \cdot \bar{f}_b + a_{32} \cdot \bar{f}_c + a_{33} \cdot \bar{f}_d + a_{34} \cdot \bar{f}_e + a_{35} \cdot \bar{f}_f + a_{36} \cdot \bar{f}_g + a_{37} \cdot \bar{f}_h + a_{38} = +$
 $a_{41} \cdot \bar{f}_b + a_{42} \cdot \bar{f}_c + a_{43} \cdot \bar{f}_d + a_{44} \cdot \bar{f}_e + a_{45} \cdot \bar{f}_f + a_{46} \cdot \bar{f}_g + a_{47} \cdot \bar{f}_h + a_{48} = -\pi_{16}(\bar{f}_b)$
 $a_{51} \cdot \bar{f}_b + a_{52} \cdot \bar{f}_c + a_{53} \cdot \bar{f}_d + a_{54} \cdot \bar{f}_e + a_{55} \cdot \bar{f}_f + a_{56} \cdot \bar{f}_g + a_{57} \cdot \bar{f}_h + a_{58} = \pi_{16}$
 $a_{61} \cdot \bar{f}_b + a_{62} \cdot \bar{f}_c + a_{63} \cdot \bar{f}_d + a_{64} \cdot \bar{f}_e + a_{65} \cdot \bar{f}_f + a_{66} \cdot \bar{f}_g + a_{67} \cdot \bar{f}_h + a_{68} = \pi_{16}$
 $a_{71} \cdot \bar{f}_b + a_{72} \cdot \bar{f}_c + a_{73} \cdot \bar{f}_d + a_{74} \cdot \bar{f}_e + a_{75} \cdot \bar{f}_f + a_{76} \cdot \bar{f}_g + a_{77} \cdot \bar{f}_h + a_{78} = -\pi_{16}$

$[K] \cdot \{X\} = -\{F\}$

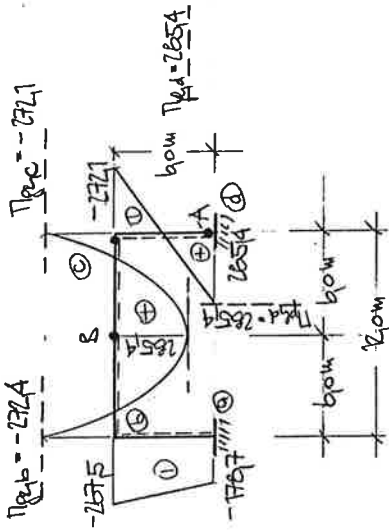
\bar{f}_b	\bar{f}_c	\bar{f}_d	\bar{f}_e	\bar{f}_f	\bar{f}_g	\bar{f}_h	LF
5959	1005	-9975	-1977	-1005	+	-95065	3575
1005	5959	-9975	-1005	-1977	-21005	95065	-3575
-9975	-9975	95065	+	+	99775	+	7292
-1977	-1005	+	15157 ^(x)	1005	+	95065	-3575
-1005	-1977	+	1005	1977	+	-95065	8740
+	-2005	99775	+	+	3980	+	2654
-95065	95065	+	95065	-95065	+	94870	-16510
\bar{f}_b	\bar{f}_c	\bar{f}_d	\bar{f}_e	\bar{f}_f	\bar{f}_g	\bar{f}_h	DET(K)
2258	6227	63310	-1765	3062	-5555	2734	> +

(x) $g_{16} = a_{44} + \bar{C}_{12} = 1977 + 15161 = 15157$ $\varphi_1 = \varphi_1 / C_d$
 $C_d = 7360 \text{ kNm}$

STABENNOTENANTE

		$q_d = 29,8 \text{ kN/m}$	
⑤	i-k	Π_{ik}^o kNm	Π_{ik} kNm
①	a	+	-178,7
	b	+	-267,3
②	b	-357,5	-267,5
	c	-357,5	-272,1 ✓
③	c	+	-272,1
	d	+	285,4 ✓
④	s	180,5	285,5 ✓

TOTENTE [kNm]



KONTROLLE: $\Pi_{bc}(\bar{M}_b) = 13,61 \cdot \bar{M}_b = -267,4 \text{ kNm} \checkmark$

STABENKRÄFTE R_{ik}

		$q_d = 29,8 \text{ kN/m}$	
⑤	i-k	R_{ik} kN	R_{ik} kN
①	a	+	-18,05
	b	178,6	178,4
②	b	-178,6	-177,2
	c	+	89,63

ZH = +, ZV = + ✓

STABENDRUCKKRÄFTE Q_{ik}

		$q_d = 29,8 \text{ kN/m}$	
⑤	i-k	Q_{ik} kN	kN
①	a	-17,35	
	b	-11,83	
②	b	18,13	
	c	-178,4	
③	c	91,85	
	d	9,33	

STABENZUGKRÄFTE N_s

		$q_d = 29,8 \text{ kN/m}$	
⑤	i-k	N_s kN	kN
①	a-b	-178,4	
	b-c	-89,63	
③	c-d	-177,2	

(N < + DRUCK)

NACHWEISE:

KNOTEN:

①: $\Pi_{bc} = -267,5 \text{ kNm} \leq \Pi_{k,pe,d} = -285,4 \text{ kNm} \checkmark$
 ②: $\Pi_{cb} = -272,1 \text{ kNm} \leq \Pi_{k,pe,d} = -285,4 \text{ kNm} \checkmark$

STABE:

NACHWEIS DER INTERAKTION FÜR $\frac{N}{N_{pl,d}} < 0,10$:

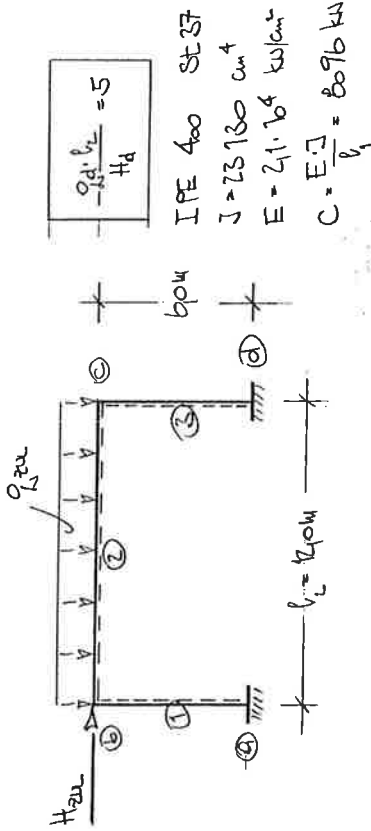
$\max Q = Q_{a,b,i} = -182,4 \text{ kN}$
 $\frac{Q_{a,b,i}}{Q_{pl,d}} = 0,4355 > 0,33 \rightarrow \Pi_{q,c} = -272,1 \text{ kNm}$

$\Pi_{cb} = -272,1 \text{ kNm} = \Pi_{q,c} = -272,1 \text{ kNm} (\hat{=} \text{ANNAHME}) \checkmark$

FG A: (in ①): $\frac{R}{R_{pl,d}} = 0,2157 < 0,33 \rightarrow \Pi_{pe,d} = \Pi_{pe,d} = 285,4 \text{ kNm}$

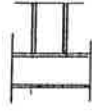
$\Pi_d = \Pi_b = 285,4 \text{ kNm} = \Pi_{pe,d} = 285,4 \text{ kNm} (\hat{=} \text{ANNAHME}) \checkmark$

A 5.10 GEBRAUCHSTAUGLICHKEIT - (EINGESPANNTE STIELE)
TIFF ELAST., PLAST. NACHGIEBIGEN KNOTEN - TH. I OKD



ANNAHME: KEIN AUSSATZ VON VERFORMUNGEN
TELSICHERHEITSBEWERTE: $\gamma_F = 1.0$ $\psi = 1.0$ (ANNAHME)
 $\gamma_M = 1.0$

q_gau, H_gau:
 STÄNDIGE EINWIRKUNG ... $\gamma_F = 1.35$
 VERÄNDERL. ... $\gamma_F = 1.5$
 $q_{A, \text{gau}} = q \cdot \gamma_F + p \cdot \gamma_F \cdot \psi = 135 \cdot q_{\text{gau}}$
 $\psi = 0.9 \rightarrow \gamma_F = 1.35$



STEIFENLOSER KNOTEN

$$\epsilon_s = \epsilon_e \cdot \sqrt{\frac{N_s}{EJ}}$$

$q_d = 674 \text{ kN/m} \rightarrow q_{\text{gau}} = 499 \text{ kN/m}$

⑤	N_s kN	l_e/l_{s0}	ϵ_s	F_1	F_2	F_3	λ_s	γ_s
①	30	1.0	0.1471	3997	2100	5998	3997	2100
②	20	0.5	0.2435	3992	2100	-	1996	1001
③	35	1.0	0.1611	3997	2100	5997	3997	2100

FG B: $R = t \rightarrow \pi_{p1A} = \pi_{p1D} = 2854 \text{ kNm}$
 $\pi_k = \pi_{p1A} = 2854 \text{ kNm}$ (ANNAHME) ✓
①: $\frac{R_{be}}{R_{p1d}} = 0.4329 \rightarrow \pi_{p1b} = -2724 \text{ kNm}$
 $\pi_{pe} = -267.5 \text{ kNm} \leq \pi_{p1b} = -2724 \text{ kNm}$ ✓

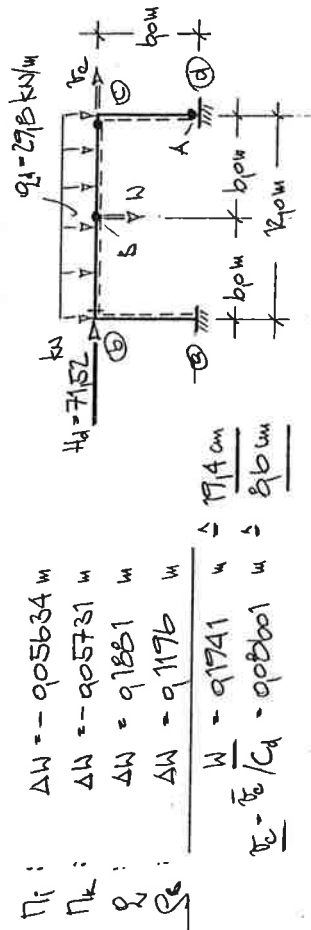
\rightarrow WEITERES FG W ② \rightarrow KIN. BALKENKETTE \rightarrow

$q_d = q_{\text{TRAGWERK}} = 297.8 \text{ kN/m} (\rightarrow H_d = 7152 \text{ kN})$

NACHWEIS VON GRENZE (b/l_e)

ERFÜLLT, SIEHE FG. TH. II. OKD. - IDEAL STARKE KNOTEN

VERFORMUNGEN:



$\xi = 0.95$ $\xi = 1 - \xi$

$\pi_i: \Delta N = -0.05634 \text{ m}$
 $\pi_k: \Delta N = -0.05731 \text{ m}$
 $q: \Delta N = 0.1881 \text{ m}$
 $s: \Delta N = 0.1176 \text{ m}$

$\frac{N}{E \cdot I_c / C_d} = 0.08001 \text{ m} \hat{=} 17.4 \text{ cm}$
 $\frac{v_e}{E \cdot I_c / C_d} = 0.08001 \text{ m} \hat{=} 8.6 \text{ cm}$

BEGEDRILLNICKNACHWEIS

SIEHE FG. TH. II. OKD. - IDEAL STARKE KNOTEN

(*) $\bar{q}_{44} = q_{44} + \bar{C}_{KE} = 1989 + 96707 = 2660$
 $\frac{\Pi(\bar{f}_b)}{\infty} = \Pi_k + \bar{C}_{KE} \bar{f}_b = -7243 + 96707 \cdot \bar{f}_b$
 $\frac{\Pi(\bar{f}_c)}{\infty} = \Pi_{k,pe} = -1642 \text{ kNm}$

(SIEHE KNOTENFEDERCHARAKTERISTIK)
 \Rightarrow KNOTEN VERFORMEN SICH UNTER DER GEBRAUCHSLAST
 ($q_{zul} = 16,76 \text{ kN/m} \rightarrow H_{zul} = 60,76 \text{ kN}$) PLASTISCH ?

VERFORMUNGEN

$\frac{\text{kNm}}{q_{zul}}$	499	1676	$\Delta W \text{ [m]}$
Π_b	-9005749	-901774	
Π_c	-9009662	-903025	
q_j	902776	907547	
W	901215	904748	
V_c	9004465	901743	

$\frac{\text{kN/m}}{q_{zul}}$	499	1676
Π_b	-3030	-9267
Π_c	-5434	-1642
Π_b	12120	14760
Π_1	24340	30320
v	9008132	901176
f_{II}	94666	94709
$w_{max} \Pi_F$	5040	1610

STÄBE:

$\Pi_{el} = f_{jd} \cdot W_{el} = 24,0/1,0 \cdot 1160 = 2784 \text{ kNm} \rightarrow$
REIN ELAST. VERHALTEN BEI STÄBE

$[A] \cdot \{x\} = -\{b\}$

$\bar{\varphi}_b$	$\bar{\varphi}_c$	\bar{f}_b	\bar{f}_c	LF
5993	1001	-1996	-1001	5994
1001	5993	-1001	-1996	-5994
-9997	-9995	+	+	1198
-1996	1001	7945 (*)	1001	-5994
-1001	-1996	1001	7945 (**)	5994
$\bar{\varphi}_b$	$\bar{\varphi}_c$	\bar{f}_b	\bar{f}_c	
1662	-4,558	3615	-5094	7,135

(*) $\bar{q}_{44} = q_{44} + \bar{C}_{KE} = 1989 + 5949 = 7945$ $\varphi_i = \bar{\varphi}_i / C$
 (**) $\bar{q}_{55} = q_{55} + \bar{C}_{KE} = 1989 + 5949 = 7945$ $\bar{C}_{KE} = C_{KE} / C$
 (SIEHE KNOTENFEDERCHARAKTERISTIK - GEBRAUCHSLAST)

$q_{jd} = 22,7 \text{ kN/m} \rightarrow q_{zul} = 16,76 \text{ kN/m}$

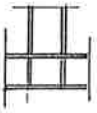
N_s	$\frac{h}{N_s}$	ε_s	F_1	F_2	F_3	λ_s	ν_s
105	10	9676	3990	2003	5992	2003	5992
55	9,5	9488	3988	2005	-	1989	1003
110	10	9255	3989	2003	5992	2003	5992

$[A] \cdot \{x\} = -\{b\}$

$\bar{\varphi}_b$	$\bar{\varphi}_c$	\bar{f}_b	\bar{f}_c	LF
5979	1003	-9987	-1003	2041
1003	5978	-9987	-1003	-2041
-9987	-9987	96614	+	4070
-1989	-1003	+	2660 (**)	1003
-1003	-1989	+	1003	1989
$\bar{\varphi}_b$	$\bar{\varphi}_c$	\bar{f}_b	\bar{f}_c	
5855	-5826	1411	-3017	15897

$= 7243 - 2041$
 $= -642 + 2041$

KNOTEN MIT EINLEITUNGSSTEIFEN



$$e_s = l_s \sqrt{\frac{N_s}{EI}}$$

$q_d = 8,00 \text{ kN/m} \rightarrow q_{zul} = 5,93 \text{ kN/m}$

⑤	N_s	l_s	e_s	F_1	F_2	F_3	δ_s	λ_s	$\downarrow s$
①	40	10	0,1722	3976	2001	5997	3976	2001	5997
②	25	9,5	0,1722	3970	2002	-	1995	1001	-
③	40	10	0,1722	3976	2001	5997	3976	2001	5997

$[\bar{A}] \cdot \{X\} = \{S\}$

$\bar{\varphi}_b$	$\bar{\varphi}_c$	\bar{r}_c	\bar{r}_b	\bar{r}_c	LF
5997	1001	-9995	-1995	-1001	7125
1001	5997	-9995	-1001	-1995	-7125
-9995	-9995	0,6647	+	+	1423
-1995	-1001	+	6,526 ^(*)	1001	-7125
-1001	-1995	+	1001	6,526 ^(*)	7125
$\bar{\varphi}_b$	$\bar{\varphi}_c$	\bar{r}_c	\bar{r}_b	\bar{r}_c	
1976	-5,679	4255	-5575	9975	

^(*) $\bar{q}_{44} = q_{44} + \bar{c}_{44} = 1995 + 6533 = 8528$ $\varphi_i = \bar{\varphi}_i / C$

* $\bar{q}_{55} = q_{55} + \bar{c}_{55} = 1995 + 6533 = 8528$

$q_d = 14,6 \text{ kN/m} \rightarrow q_{zul} = 10,81 \text{ kN/m}$

⑤	N_s	l_s	e_s	F_1	F_2	F_3	δ_s	λ_s	$\downarrow s$
①	65	10	0,2195	3994	2002	5995	3994	2002	5995
②	45	9,5	0,2195	3982	2004	-	1991	1002	-
③	75	10	0,2358	3973	2002	5994	3973	2002	5994

$[\bar{A}] \cdot \{X\} = \{S\}$

$\bar{\varphi}_b$	$\bar{\varphi}_c$	\bar{r}_c	\bar{r}_b	\bar{r}_c	LF
5985	1002	-9992	-1991	-1002	1300
1002	5984	-9990	-1002	-1991	-1300
-9992	-9990	0,6632	+	+	2594
-1991	-1002	+	8,524 ^(*)	1002	-1300
-1002	-1991	+	1002	8,524 ^(*)	1300
$\bar{\varphi}_b$	$\bar{\varphi}_c$	\bar{r}_c	\bar{r}_b	\bar{r}_c	
3614	-640	7790	-1618	1617	

^(*) $\bar{q}_{44} = q_{44} + \bar{c}_{44} = 1991 + 6533 = 8524$ $\varphi_i = \bar{\varphi}_i / C$

^(*) $\bar{q}_{55} = q_{55} + \bar{c}_{55} = 1991 + 6533 = 8524$

$q_d = 24,15 \text{ kN/m} \rightarrow q_{zul} = 18,15 \text{ kN/m}$

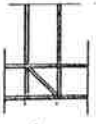
⑤	N_s	l_s	e_s	F_1	F_2	F_3	δ_s	λ_s	$\downarrow s$
①	115	10	0,2919	3989	2003	5971	3989	2003	5971
②	55	9,5	0,2919	3976	2005	-	1989	1003	-
③	115	10	0,2919	3989	2003	5971	3989	2003	5971

$[\bar{A}] \cdot \{X\} = \{S\}$

$\bar{\varphi}_b$	$\bar{\varphi}_c$	\bar{r}_c	\bar{r}_b	\bar{r}_c	LF
5976	1003	-9985	-1989	-1003	2164
1003	5976	-9985	-1003	-1989	-2164
-9985	-9985	0,6609	+	+	4356
-1989	-1003	+	8,522 ^(*)	1003	-2164
-1003	-1989	+	1003	1989	3790
$\bar{\varphi}_b$	$\bar{\varphi}_c$	\bar{r}_c	\bar{r}_b	\bar{r}_c	
6841	-4,630	1623	-1677	5748	

$= -1605 + 2164$ $\varphi_i = \bar{\varphi}_i / C$

KNOTEN MIT EINLEITUNGS- UND DRUCKKRAFTSTEIFEN



$$c_s = c_s \cdot \sqrt{\frac{N_s}{EJ}}$$

$$q_{21} = 178 \text{ kN/m} \rightarrow q_{220} = 13,17 \text{ kN/m}$$

⊙	N _s	b _i /b _s	c _s	F ₁	F ₂	F ₃	x _e	λ _s	y _s
①	75	10	0,2556	3993	2002	5994	3993	2002	5994
②	50	95	0,3850	3980	2005	-	1990	1002	-
③	85	10	0,2510	3992	2002	5994	3992	2002	5994

(*) $\bar{c}_{44} = c_{44} + \bar{c}_{KI} = 1987 + 6533 = 8522$
 $\Pi_b(\bar{f}_b) = \bar{c}_{KI} \cdot \bar{f}_b = 6533 \cdot \bar{f}_b$
 $\Pi_{bb}(\bar{f}_b) = \Pi_{KI} = -160,5 \text{ kNm}$

(SIEHE KNOTENFEDERCHARAKTERISTIK)

⇒ KNOTEN ⊕: ELAST. VERHALTEN

KNOTEN ⊙: PLAST. VEKTORUNGEN

VEKTORUNGEN

	ΔW [m]		
$\frac{\text{kN/m}}{q_{220}}$	5993	1061	1615
Π _b :	-900819	-901271	-902121
Π _c :	-901186	-902183	-903833
q:	903302	906056	91022
W:	901424	902602	904766
f _e :	9005256	9007622	902005

$\frac{\text{kN/m}}{q_{220}}$	5993	1061	1615
Π _b	-36142	-6651	-167
Π _c	-6530	-1174	-1895
Π ₀	11530	11670	16030
Π ₁	23170	23550	32430
V	9009187	901237	901670
∫ ₁₁	94663	94661	94735
Max Π _F	55149	1659	1659

STÄBE:

$$\Pi_{02} = f_{11} \cdot W_{02} = 240/10 \cdot 1160 = 2784 \text{ kNm} \rightarrow$$

REIN ELAST. VERHALTEN DER STÄBE

\bar{f}_b	\bar{f}_c	\bar{f}_0	\bar{f}_1	\bar{f}_2	\bar{f}_3	LF
5983	1002	-9990	-1990	-1002	-	1587
1002	5982	-9990	-1002	-1990	-	-1587
-9990	-9990	96627	+	+	+	3166
-1990	-1002	+	1510 ^(*)	1002	-	-1587
-1002	-1990	+	1002	1510 ^(*)	-	1587
\bar{f}_b	\bar{f}_c	\bar{f}_0	\bar{f}_1	\bar{f}_2	\bar{f}_3	
4401	-1606	8968	-6556	1175	-	

$$[\bar{A}] \{x\} = -\{b\}$$

(*) $\bar{c}_{44} = c_{44} + \bar{c}_{KI} = 1990 + 1311 = 1510$
 (**) $\bar{c}_{55} = c_{55} + \bar{c}_{KI} = 1990 + 1311 = 1510$

$$q_i = \bar{q}_i / c$$

⊙	N _s	b _i /b _s	c _s	F ₁	F ₂	F ₃	x _e	λ _s	y _s
①	100	10	0,2722	3990	2002	5993	3990	2002	5993
②	65	95	0,4370	3974	2006	-	1987	1003	-
③	115	10	0,2919	3989	2003	5991	3989	2003	5991

$$q_A = 237 \text{ kN/m} \rightarrow q_{220} = 17,56 \text{ kN/m}$$

(*) $\bar{\sigma}_{44} = \sigma_{44} + \bar{\sigma}_{44} = 1986 + 1311 = 1510$
 (**) $\bar{\sigma}_{55} = \sigma_{55} + \bar{\sigma}_{55} = 1986 + 1311 = 1510$

$\frac{N_{be}(\bar{f}_b)}{A_{be}(\bar{f}_b)} = \bar{\sigma}_{44} \cdot \bar{f}_b = 1311 \cdot \bar{f}_b$
 $\frac{N_{bo}(\bar{f}_b)}{A_{bo}(\bar{f}_b)} = \bar{\sigma}_{55} \cdot \bar{f}_b = 1311 \cdot \bar{f}_b$

(SIEHE KNOTENFEDERCHARAKTERISTIK)

⇒ KNOTEN ⊕ VERFORMT SICH UNTER DER GERRAUCHLAST
 ($\sigma_{zul} = 22,07 \text{ kN/m} \rightarrow H_{zul} = 52,97 \text{ kN}$) ELASTISCH!
KNOTEN ⊙ PLASTISCH!

VERFORMUNGEN:

\bar{q}_b	\bar{q}_e	\bar{f}_e	\bar{f}_b	\bar{f}_c	LF
5977	1003	-9988	-1987	-1003	211,4
1003	5977	-9985	-1003	-1987	-211,4
-9988	-9985	96614	+	+	4214
-1987	-1003	+	15110 ^(*)	1003	-211,4
-1003	-1987	+	1003	15110 ^(**)	211,4
\bar{q}_b	\bar{q}_e	\bar{f}_e	\bar{f}_b	\bar{f}_c	
5876	-2143	1291	-6732	15100	

$\varphi_i = \bar{f}_i / c$

(*) $\bar{q}_{44} = q_{44} + \bar{\sigma}_{44} = 1987 + 1311 = 1510$
 (**) $\bar{q}_{55} = q_{55} + \bar{\sigma}_{55} = 1987 + 1311 = 1510$

$[K] \cdot [X] = -[B]$

$q_A = 1986 \text{ kN/m} \rightarrow q_{zul} = 22,07 \text{ kN/m}$

⊙	N_s	k_1/k_2	ϵ_s	F_1	F_2	F_3	δ_s	λ_s	ν_s
①	135	10	0,3163	3987	2003	5990	3987	2003	5990
②	70	0,5	0,4555	3972	2007	-	1986	1004	-
③	140	10	0,3221	3986	2003	5990	3986	2003	5990

$[K] \cdot [X] = -[B]$

\bar{q}_b	\bar{q}_e	\bar{f}_e	\bar{f}_b	\bar{f}_c	LF
5973	1004	-9983	-1986	-1004	265,6
1004	5972	-9983	-1004	-1986	-265,6
-9983	-9983	96599	+	+	52,97
-1986	-1004	+	15110 ^(*)	1004	-265,6
-1004	-1986	+	1004	15110 ^(**)	265,6
\bar{q}_b	\bar{q}_e	\bar{f}_e	\bar{f}_b	\bar{f}_c	
74,02	-2691	1515	-697	1971	

$\varphi_i = \bar{f}_i / c$

$\frac{kN/m}{q_{zul}}$	13,17	17,56	22,07
Π_b :	-0,01647	-0,2205	-0,02772
Π_c :	-0,02815	-0,03771	-0,04753
q_i :	0,07876	0,09896	0,1245
w :	0,02936	0,03920	0,04925
\bar{f}_c :	0,01110	0,01483	0,01871

$\frac{kN/m}{q_{zul}}$	13,17	17,56	22,07
Π_b	-85,95	-114,5	-143,6
Π_c	-154,0	-205,3	-258,4
Π_b	12810	13120	15320
Π_1	25860	26500	31040
v	0,01375	0,01570	0,01635
ξ	0,4643	0,4642	0,4641
$w_{max/F}$	21,2	16,16	20,21

STÄBE:

$\bar{N}_{el} = f_{yd} \cdot N_{el} = 24 \cdot 10^6 \cdot 1160 = 2784 \text{ kN}$

REIN ELAST. VERHALTEN DER STÄBE

